

UNIVERSIDADE ESTADUAL DE CAMPINAS

INSTITUTO DE QUÍMICA



1150054981



T/UNICAMP P278e 2

**“ESTUDO DA REAÇÃO DE ARILAÇÃO DE HECK
DE ENECARBAMATOS, ENAMIDAS E ENOLÉTERES ENDOCÍCLICOS
UTILIZANDO SAIS DE DIAZÔNIO.”**

DANIELA DA CUNHA SOUZA PATTO

TESE DE DOUTORADO

PROF. Dr. CARLOS ROQUE DUARTE CORREIA

ORIENTADOR

i

GRADE	I Ch
CHIEF INVESTIGATOR	John Smith
SEARCHED	<input checked="" type="checkbox"/>
INDEXED	<input checked="" type="checkbox"/>
SERIALIZED	<input checked="" type="checkbox"/>
FILED	<input checked="" type="checkbox"/>
EX	
54981	
J6-124103	
C <input type="checkbox"/>	D <input checked="" type="checkbox"/>
ECO R\$11.00	
PA 0210.8103	
CPD	

B1B D 297155

CH001HE019-1

**FICHA CATALOGRÁFICA ELABORADA PELA
BIBLIOTECA DO INSTITUTO DE QUÍMICA
UNICAMP**

P278e Patto, Daniela da Cunha Souza
Estudo da reação de Heck com sais de diazônio
e enecarbamatos, enamidas e enoléteres endoci-
clicos / Daniela da Cunha Souza Patto. --
Campinas, SP: [s.n], 2003.

Orientador: Carlos Roque Duarte Correia.

Tese (doutorado) – Universidade
Estadual de Campinas, Instituto de Química.

1. Reação de Heck. 2. Enecarbamatos.
3. Sais de arenodiazônio. I. Correia, Carlos
Roque Duarte. II. Universidade Estadual de
Campinas. III. Título.



"Grande espírito
Assegure que eu não critique
meu vizinho
Antes de ter andado uma milha
com seus mocassins."

Autor desconhecido



Dedico este trabalho a todos que fizeram parte da minha vida nestes últimos 4 anos, principalmente a minha família e especialmente:

Aos meus pais, **Ulysses** e Altina que me ensinaram a lutar pela vida e viver todos os dias intensamente como se fosse o último, pois pode não existir um amanhã.

Ao Sergio (Belli Occhi) por trazer de volta o meu sorriso e por me fazer acreditar no amor e que somos duas metades da mesma maçã, grazie di esistere.

À Maria Helena S. Patto (Tia Nena) por sempre ter cuidado de mim, me ouvido e apoiado nos piores e no melhores momentos.

Ao Eliseu (papà) e Eloísa (mamma) por estarem sempre presentes me aconselhando desde assuntos do coração até nos grandes dilemas de ordem química.

Ao Geraldo S Patto (Tio Ge) e Gilda Leal Patto (Du) por transformarem todos os dias em que passamos juntos em dias de festa.

À Vovó Yone por ser a grande responsável pela existência desta família.

À minha irmã Alice Patto Gomes Ferreira por me dar a maior de todas as alegrias, o convívio com o Marcinho, num momento muito difícil.

Ao Dr. Carlos Alexandre Cerny que me ensinou que lutar é preciso, mesmo a derrota sendo quase certa.

À minha amiga Vânia, companheira de grandes jornadas e grandes descobertas, que me ensinou que além de inteligente também posso cuidar do meu lado mulher.





AGRADECIMENTOS

Ao Prof. Carlos Roque pela orientação na realização deste projeto e pelo exemplo de dedicação à Química Orgânica.

Ao Instituto de Química e seus professores, técnicos e funcionários.

Ao Prof. Jairton Dupont (UFRGS) pela doação do catalisador paladaciclo e do líquido iônico.

Ao Aarão e Jayne por terem me apoiado e acreditado na minha capacidade desde os tempos de graduação.

Especialmente ao Sergio “Belli Occhi” por todo apoio, incentivo, amor, paciência, e principalmente ao patrocínio as idas a congressos.

Aos amigos de ontem, hoje e sempre Mary Anne (a enantiomera) e Nunes, pela compreensão e apoio nas horas difíceis, mesmo de longe.

Ao Edson pela verdadeira amizade, demonstrando o seu apoio em todos os momentos, nos acidentes de carro, perda de parentes, nas horas de dúvida, sem falar no apoio químico. –Sem você e o Elias eu teria desistido!

Ao Elias II pela amizade, sempre me incentivando em momentos de desanimo, elogiando o meu trabalho e me fazendo acreditar que eu era capaz. Além da troca de experiências e informações dentro e fora do laboratório. –Sem você e o Edson eu teria desistido!

Ao Davi pela grande demonstração de amizade e confiança durante todo o período de convivência.

Ao meu “amigo da Heck” Angelo por ter tido tanta paciência lendo, corrigindo e depois discutindo comigo cada detalhe da redação deste trabalho.





Ao Ariel por ter sido amigo e ter me dado suporte quando eu já não estava mais em Campinas.

À Kezia pela amizade, hospedagem, companheirismo, apoio e suporte técnico.

À Pat, e Claudia Urbano pela amizade, companheirismo e compreensão.

Aos demais membros do grupo.

A todos dos grupos do Prof. Pilli e Prof. Fernando Coelho que contribuíram com a troca de informações e um reagente e outro.

À Jimena por ter me ensinado uma Arte e à Juliana por ter feito eu me apaixonar por ela.

À Vânia e Sheila principalmente pela amizade nas horas de descontração.

À Marina, Isabel, Nádia, Maria Cláudia, Michele e Milena, pelo companheirismo e descontração nas tardes de sábado e pelos passeios em São Paulo.

Ao CNPq e Fapesp pelo apoio financeiro.

E finalmente, à Isis e Osíris, por todos os objetivos alcançados.

ESTUDO DA REAÇÃO DE HECK COM SAIS DE DIAZÔNIO E ENECARBAMATOS, ENAMIDAS E ENOLÉTERES ENDOCÍCLICOS

A arilação de Heck de enecarbamatos, enamidas e enoléteres com sais de diazônio foi investigada de forma sistemática objetivando futuras aplicações sintéticas. A aplicação de sais de diazônio nesta reação oferece diversas vantagens sobre a Heck tradicional, tais como condições suaves de reação e livres de fosfinas, além do curto tempo de reação. Nosso interesse nesta reação deriva da importância biológica e farmacológica das diversas classes de heterocíclcos e alcalóides de potencial aplicação terapêutica.

Submetemos enecarbamatos de 5 membros a reação de Heck com diferentes sais de diazônio, contendo grupos doadores de elétrons, grupos retiradores de elétrons ($R=OMe$, H, Cl, F, NO_2 , CO_2Me), ou mesmo sem substituintes. Com $R=OMe$ o rendimento da reação foi de 86%, com $R=H$ o rendimento foi de 80%, porém grupos retiradores de elétrons causam decréscimo acentuado no rendimento da reação, de 80 para até 8%.

Nas arilações de enamidas e os enoléteres endocíclicos observamos a mesma tendência reacional. Os rendimentos da reação das enamidas se mantiveram entre 75 e 90% para $R=OMe$, H ou mesmo Cl, porém caíram para 40% quando $R=F$. Novamente, não observamos reação com sais de diazonio contendo $R=NO_2$ e CO_2Me . Enoléteres endocíclicos reagiram bem com sais de diazônio contendo grupos doadores de elétrons (95-98% para $R=OMe$ e H), porém não observamos reação quando $R=Cl$, NO_2 e CO_2Me .

Enecarbamatos endocíclicos de 6 membros, também foram avaliados quanto a arilação de Heck, porém diferentemente dos enecarbamatos de 5 membros levaram a misturas de três regiosômeros. Diversas condições reacionais foram testadas procurando controlar a isomerização da ligação dupla, com relativo sucesso. Enoléteres de 6 membros tiveram comportamento análogo aos enecarbamatos.

Os enecarbamatos de 7 membros apresentaram um comportamento semelhante aos de 5 membros, fornecendo basicamente um único produto de reação. Os rendimentos variaram entre 72-97% dependendo da natureza do sal de diazônio.

Através deste estudo ficou demonstrado que reação de arilação de Heck de enecarbamatos, enamidas e enoléteres endocíclicos com sais de tetrafluoroborato

diazônio é um processo sintético viável e com grande potencial. Com exceção dos sistemas de 6 membros, a reação de arilação fornece basicamente um único produto em rendimentos de moderados a excelentes, dependendo da natureza do substituinte no sal de diazônio empregado.

Os resultados alcançados neste estudo permitiram também comparar melhor a reação de arilação de Heck empregando sais de diazônio com as arilações tradicionais empregando halatos de arila e triflatos de arila. Observa-se fortes indicações de que a arilação de Heck de olefinas ricas em eletrons envolve um mecanismo iônico, com a participação de um intermediário paládio cationico estabilizado parcialmente pelo solvente da reação e pelo substituinte do anel aromático do sal de diazônio empregado.

ABSTRACT

The Heck arylation of olefins with aryltriflates and arylhalides is a well-established synthetic methodology for C-C bond formation. The Heck arylation employing diazonium salts (Heck-Matsuda reaction) is a much less explored methodology but offers a number of advantages over the traditional Heck protocol. These advantages comprise its mildness, shorter reaction times, and phosphine-free conditions. Despite several applications of the Heck reaction to the synthesis of a number of biologically important heterocycles and alkaloids by our research a systematic investigation of this reaction was still needed.

Therefore, we decided to carry out a study to probe the scope of the Heck arylation with aryldiazonium tetrafluoroborates employing endocyclic enecarbamates, enamides e enol ethers as olefin partners. We also tested several different reaction variables in order to find optimum reaction conditions.

First, a series of endocyclic enecarbamates, enamides and enolethers of varying ring size were synthesized and submitted to the Heck-Matsuda arylation. Also examined were: the stoichiometry of reaction, the electronic characteristic of the substituents on the diazonium salt, the catalyst, the amount of catalyst used, the temperature, the solvent and the use of additives.

For the five-membered enecarbamate, we noticed that yields of the Heck reaction depend on the nature of the aryldiazonium salt. Yields are usually good to hight (60-86%) with electron-donating substituents on aryldiazonium salt ($R=OMe$, H , Me), whereas electron-withdrawing groups ($R=Cl$, F) led to a decrease in yields (8-40%).

For enamides yields ranged from good to excellent (75-90%) when $R=OMe$, Me , H or Cl . Strong electron-withdrawing groups such as fluor led to a sharp decrease in yields (40%). No reaction was observed when $R=NO_2$ or CO_2Me . Endocyclic enolethers reacted smoothly with aryldiazonium salts bearing electron-donating substituents (95-98% for $R=OMe$, H). However no reaction was observed when $R=Cl$, NO_2 or CO_2Me .

Six-membered endocyclic enecarbamates were equally reactive but contrary to five membered enecarbamates they provided mixtures of regioisomer in variable ratios. Several reaction conditions had been tested in an attempt to control the isomerization of the

double bond, with only moderate success. The use of paladacycle, at 110°C, gave the arylated enecarbamate as the major Heck adduct. Six-membered enolethers were as reactive as six-membered enecarbamates toward arylation.

Seven-membered enecarbamates behaved similarly to five-membered enecarbamates. Heck arylation with diazonium salts afforded essentially a single regioisomer in good to excellent yields (72-97%).

Heck arylation of the electron rich enecarbamates, enamides and enolethers with aryl diazonium salts is an effective arylation protocol with great synthetic potential. With exception of six-membered system, Heck arylations produced a single regioisomeric adduct in good to excellent yields.

Enecarbamates are more sensitive to electronic nature of the substituent on the aryl diazonium salts, whereas the less electron-rich enamides and enol ethers seem less sensitive to such effects.

The results obtained in this study had also allowed a better comparison between Heck arylation with diazonium salts and Heck arylation with halides and triflates. We observed strong indications that the Heck arylation with electron-rich olefins involves a ionic mechanism, with the participation of a cationic palladium intermediate, partially stabilized for the solvent.

Curriculum Vitae

Abril/2003

Dados Pessoais

Nome Daniela da Cunha Souza Patto
Nascimento 08/09/1971 - São Paulo/SP - Brasil
CPF 15011414817

Formação Acadêmica/Titulação

- 1998 - Doutorado em Química.
2003 Universidade Estadual de Campinas, UNICAMP, Campinas, Brasil
Título: Estudo da Reação de Arilação de Heck de Enecarbamatos, Enamidas e Enoléteres Endocíclicos Utilizando Sais de Diazônio, Ano de obtenção: 2003
Orientador: Carlos Roque Duarte Correia
Bolsista do(a): Conselho Nacional de Desenvolvimento Científico e Tecnológico
- 1995 - Mestrado em Química.
1998 Universidade Estadual de Campinas, UNICAMP, Campinas, Brasil
Título: Síntese de monossacarídeos a partir de alfa-aminoácidos. Síntese da aza-ribose a partir de enecarbamatos endocíclicos enantiomericamente puros.", Ano de obtenção: 1998
Orientador: Carlos Roque Duarte Correia
Bolsista do(a): Conselho Nacional de Desenvolvimento Científico e Tecnológico
- 1990 - Graduação em Engenharia Química.
1994 Faculdade de Engenharia Química de Lorena, FAENQUIL, Lorena, Brasil
Título: Síntese da Metacaína
Orientador: Antônio Aarão Serra
Bolsista do(a): Conselho Nacional de Desenvolvimento Científico e Tecnológico
- 1987 - Ensino Médio (2º grau).
1989 Escola Henriqueta Vialta Saad, SAAD, Brasil
1978 - Ensino Fundamental (1º grau).
1986 Scuola Media Statale Felice Maritano, SMSFM, Itália
-

Outras produções técnicas

1.
PATTO, D. C. S., CORREIA, C. R. D.
Estudo da Reação de Heck envolvendo enecarbamatos endocíclicos, enamidas e enoléteres., 2002. (Congresso,Apresentação de Trabalho)

2.
PATTO, D. C. S., CORREIA, C. R. D.
A Study of the Heck Arylation of Endocyclic Enecarbamates, Eno Etheres and Enamides with Arenediazonium Salts, 2001. (Congresso,Apresentação de Trabalho)

3.
PATTO, D. C. S., CORREIA, C. R. D.
Estudo da reação de Heck de enecarbamatos endocíclicos de 5,6 e 7 membros com sais de diazônio, 2001. (Congresso,Apresentação de Trabalho)
4.
PATTO, D. C. S., SEVERINO, E. A., CARPES, M. J. S., COSTENARO, E. R., CORREIA, C. R. D.
Heck arylation of endocyclic enecarbamates with diazonium salts. Scope and synthetic applications., 2001. (Simpósio,Apresentação de Trabalho)
5.
PATTO, D. C. S., CORREIA, C. R. D.
Azasugar from alfa-aminoacids. Synthesis of aza-ribose from enantiomerically pure endocyclic enecarbamates., 1998. (Congresso,Apresentação de Trabalho)
6.
PATTO, D. C. S., POHLIT, A. M., CORREIA, C. R. D.
Ene carbamatos endocíclicos em síntese orgânica: Estudos sobre a síntese de derivados de aza-açúcares de cinco membros, 3-hidroxibulgecinóides e síntese da 2,3-trans-3,4-cis-diidroxiprolina., 1997. (Congresso,Apresentação de Trabalho)
7.
PATTO, D. C. S., OLIVEIRA, D. F., CORREIA, C. R. D.
Synthesis of enantiomerically pure endocyclic enecarbamates and applications to the synthesis of alkaloids and neuroexcitatory alfa-aminoacids., 1996. (Congresso,Apresentação de Trabalho)
8.
PATTO, D. C. S., BARBOZA, J. C. S., SERRA, A. A., SILVA, O. L., FERREIRA, M. R.
Processo para obtenção de anestésico, 1994. (Congresso,Apresentação de Trabalho)

ÍNDICE

INTRODUÇÃO	01
A reação de Heck	01
Mecanismo geral da reação de Heck	02
Mecanismo da reação de Heck com olefinas cíclicas	06
Introdução de sais de diazônio na reação de Heck	07
O mecanismo da reação de Heck empregando sais de diazônio	10
Reações de Heck com sais de diazônio	12
Síntese da (-)-codonopsina e da (-)-codonopsinina	19
Síntese do baclofeno e do homobaclofeno	21
OBJETIVOS	22
RESULTADOS E DISCUSSÃO	24
Síntese de enecarbamatos endocíclicos de 5 membros	24
Estudos preliminares da reação de Heck com anéis de 5 membros	25
Mecanismo proposto	30
Estudo da variação do substituinte do sal de diazônio	31
Estudo da variação do grupo protetor do átomo de nitrogênio	34
Variação da posição do substituinte no anel benzênico do sal de diazônio	45
Estudo da base utilizada no ciclo catalítico	47
Estudo da influência do catalisador na reação de Heck	49
Estudo da influência do solvente na reação de Heck	50
Estudo da reação de Heck com enecarbamatos endocíclicos de 6 membros	55
Estudo da variação do sal de diazônio com anéis de 6 membros	68
Estudo da reação de Heck com um enecarbamato de 6 membros substituído	70
Estudo da reação de Heck utilizando uma enamida de 6 membros	74
Síntese de enecarbamatos endocíclicos de 7 membros	76
Estudos preliminares da reação de Heck com anéis de 7 membros	77
Estudo da variação do sal de diazônio com anéis de 7 membros	80
Conclusões	82
Materiais e métodos	84

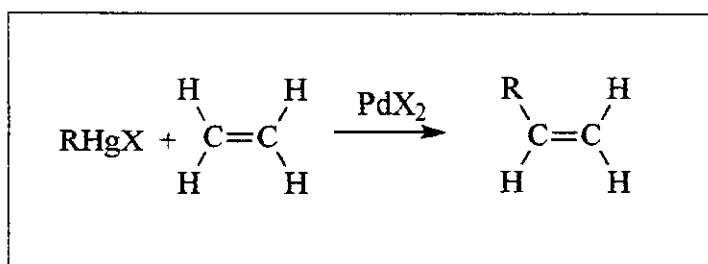
Procedimento geral para síntese de sais de diazônio	87
Procedimento geral para a reação de Heck	88
Procedimento para a reação de Heck tradicional	88
Procedimento utilizado para remoção do grupo Boc	142
Síntese do Composto 58	172
Síntese do Composto 59	172
Síntese do Composto 60	173
Síntese do Composto 61	174
Hidrogenação de olefinas	178
Síntese do Composto 65	183
Síntese do Composto 66	184
Síntese do Composto 67	188
Construção da curva de calibração	214
REFERÊNCIAS	216

INTRODUÇÃO

Atualmente a reação de Heck¹, arilação e vinilação de olefinas catalisadas por paládio, tem sido uma poderosa ferramenta em química orgânica. Desde sua descoberta na década de 60^{2,3} a reação tem sofrido várias modificações, principalmente quanto ao solvente, catalisador e aditivos, os quais melhoraram não somente a eficiência e os recursos sintéticos, mas também tem proporcionado estratégias para o controle da régio- e estereoseletividade, onde aplicável. Como resultado, a reação de Heck é um dos métodos de formação de ligação C-C catalisado por metal de transição mais utilizado em síntese orgânica.

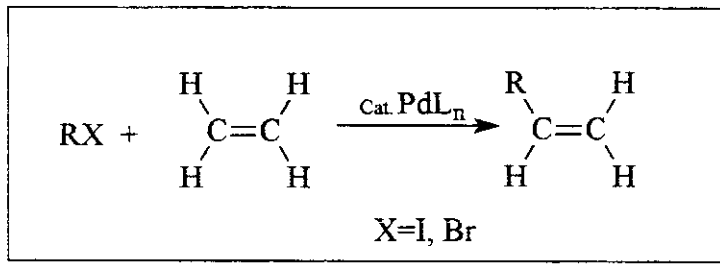
A Reação de Heck

A Reação de Heck foi descoberta no final da década de 60 independentemente por Mizoroki² e Heck³. O primeiro experimento foi realizado utilizando cloreto de fenilmercúrio, cloreto de paládio, em acetonitrila, sob 1 atm de etileno a temperatura ambiente. A reação ocorria em condições suaves, com alcenos, dienos e alcinos mesmo na presença de outros grupos funcionais. Porém, os dois maiores problemas desta reação eram o preço e a toxicidade dos reagentes de mercúrio, além da necessidade de quantidades estequiométricas de paládio, bastante caro⁴ (esquema 1).



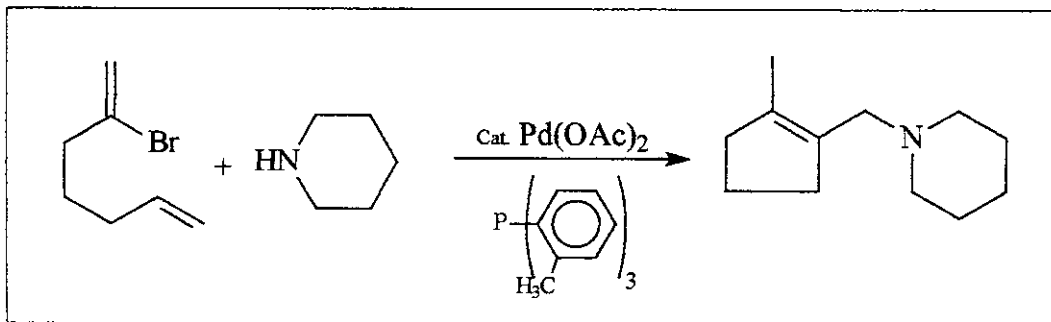
Esquema 1

Na década de 70, surgiram publicações utilizando o paládio em quantidade catalítica e os sais de mercúrio foram substituídos por halatos de arila^{4,5}. Nesta mesma década, iniciaram os estudos utilizando fosfinas como ligante quiral^{6,7} (esquema 2).



Esquema 2

Na década de 80, surgiu a primeira reação de Heck intramolecular⁸ (esquema 3). Somente em 1989 surgiu o primeiro exemplo bem sucedido da reação de Heck assimétrica, permitindo gerar centros terciários ou quaternários com excessos enantioméricos maiores ou igual a 80%. Os exemplos relatados envolvem reações intramoleculares, como o fechamento de anéis^{1b}.



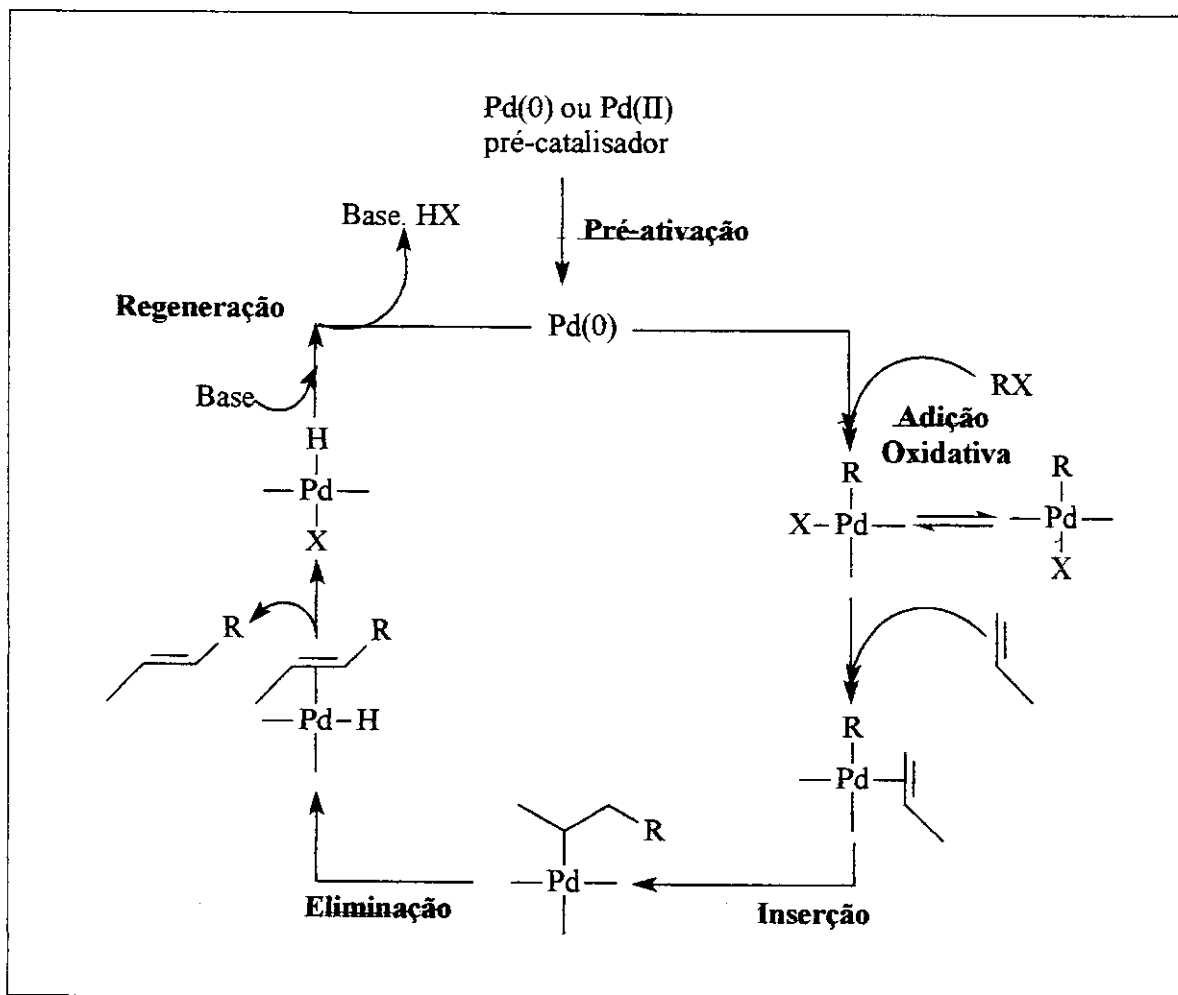
Esquema 3

Somente na década de 90 surgiram discussões mecanísticas mais precisas abordando aspectos relevantes como a régio e enantiosseletividade da reação de Heck.

Mecanismo geral da reação de Heck.

O mecanismo da reação de Heck clássico utilizando fosfinas, pode ser explicado através de um ciclo catalítico (esquema 4). O ciclo catalítico é dirigido pela reatividade do

paládio, e está relacionado a habilidade da espécie Pd(0) em sofrer adição oxidativa com várias ligações C-X.

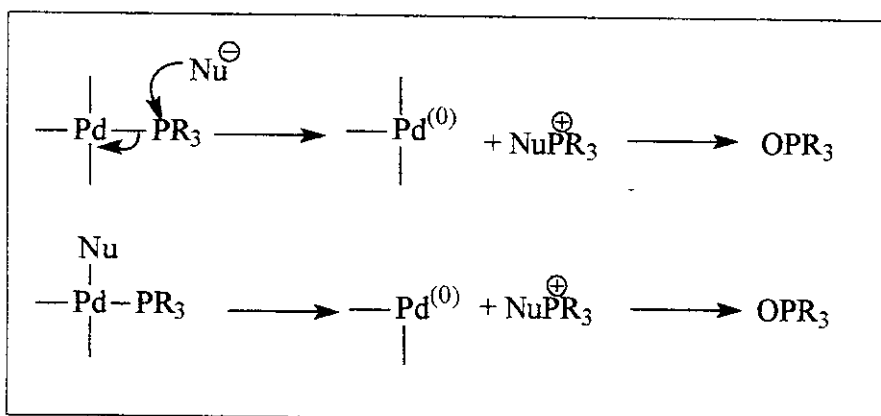


Esquema 4

A etapa de **pré-ativação** é a entrada do ciclo catalítico, incluindo a redução de complexos de Pd(II) a Pd(0), gerando espécies ativas do catalisador através de trocas de equilíbrio com ligantes. A pré-ativação têm sido muito estudada por Amatore e Jutand e colaboradores⁹ em reações assistidas por fosfinas.

A redução primária do Pd(II) à Pd(0) é, provavelmente, realizada pela fosfina, quando esta é utilizada como ligante¹⁰⁻¹². Esta redução é assistida por nucleófilos e os mais utilizados são: hidróxidos¹³, íons alcóxidos¹⁴, água¹⁵ e íons acetatos¹¹. Pode estar ocorrendo

um ataque de um nucleófilo a fosfina coordenada ao paládio, ou uma eliminação redutiva, gerando um fosfônio intermediário e um óxido de fosfina nos dois casos (esquema 5).



Esquema 5

Em sistemas livres de fosfinas, a redução do Pd(II) pode ser efetuado por aminas, se forem utilizadas como base, ou pela própria olefina. É interessante notar que nem Et₃N ou a olefina têm influência detectada na redução do catalisador na presença de fosfinas¹².

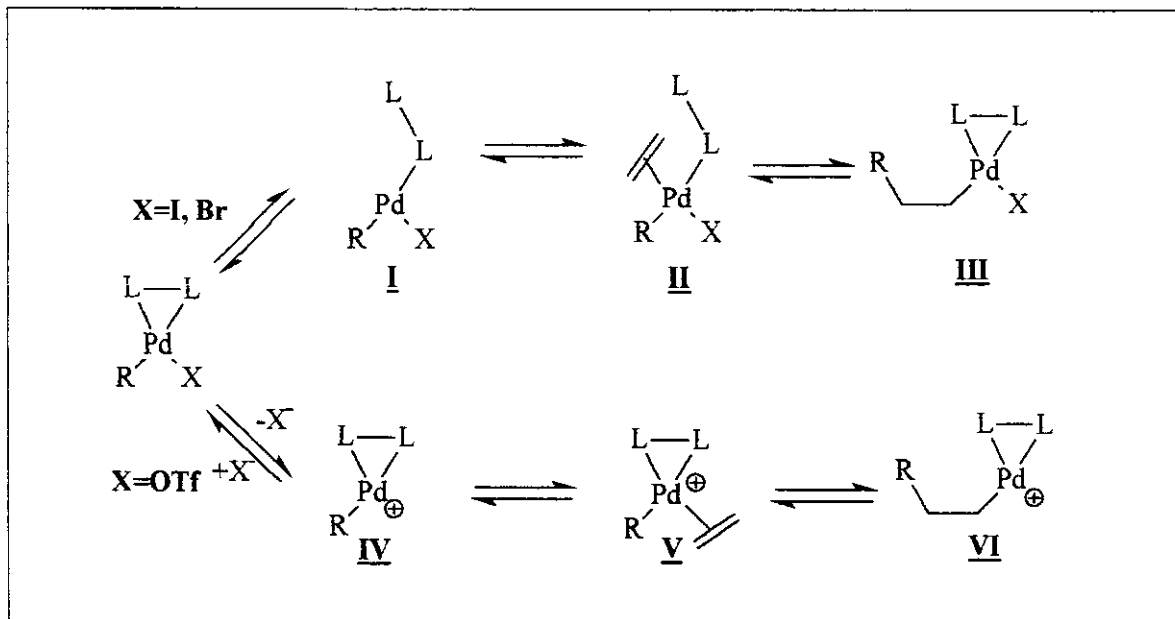
A **adição oxidativa** ocorre como um processo concertado onde a ruptura da ligação C-X é sincronizada com a formação da ligação M-C e M-X. A adição oxidaiva é pouco sensível a presença de substituintes no sistema insaturado e muito sensível a natureza do grupo de saída e força da ligação C-X e M-X. A ordem de reatividade para adição oxidativa é: I>> OTf>>Br>>Cl¹⁶, não havendo precedentes na substituição nucleofílica no carbono sp², que de maneira geral, apresenta ordem oposta de reatividade como grupos abandonadores.

Em muitos casos, o produto isolado da adição oxidativa possui geometria *trans*. Acredita-se que o complexo *cis* seja formado primeiramente e isomerize para o aduto *trans*, através de uma associação-pseudorotação-dissociação.

A **inserção** é a etapa de formação do produto no ciclo de Heck, onde uma nova ligação C-C é formada¹⁷. Intermediários RPdX e RPd⁺ são adicionados a ligação dupla num processo concertado.

A reação do produto de adição oxidativa com a olefina requer que o paládio se livre de um dos ligantes deixando um sitio de coordenação livre para o alceno. Duas rotas diferentes têm sido propostas e provadas para este processo para reações contendo fosfinas.

Uma rota não polar iniciando pelo desligamento de um ligante neutro e uma rota catiônica, iniciada pelo desligamento de um ligante aniónico¹⁸⁻²⁰. A natureza do ligante é essencial para determinação da rota a ser seguida (esquema 6).



Esquema 6

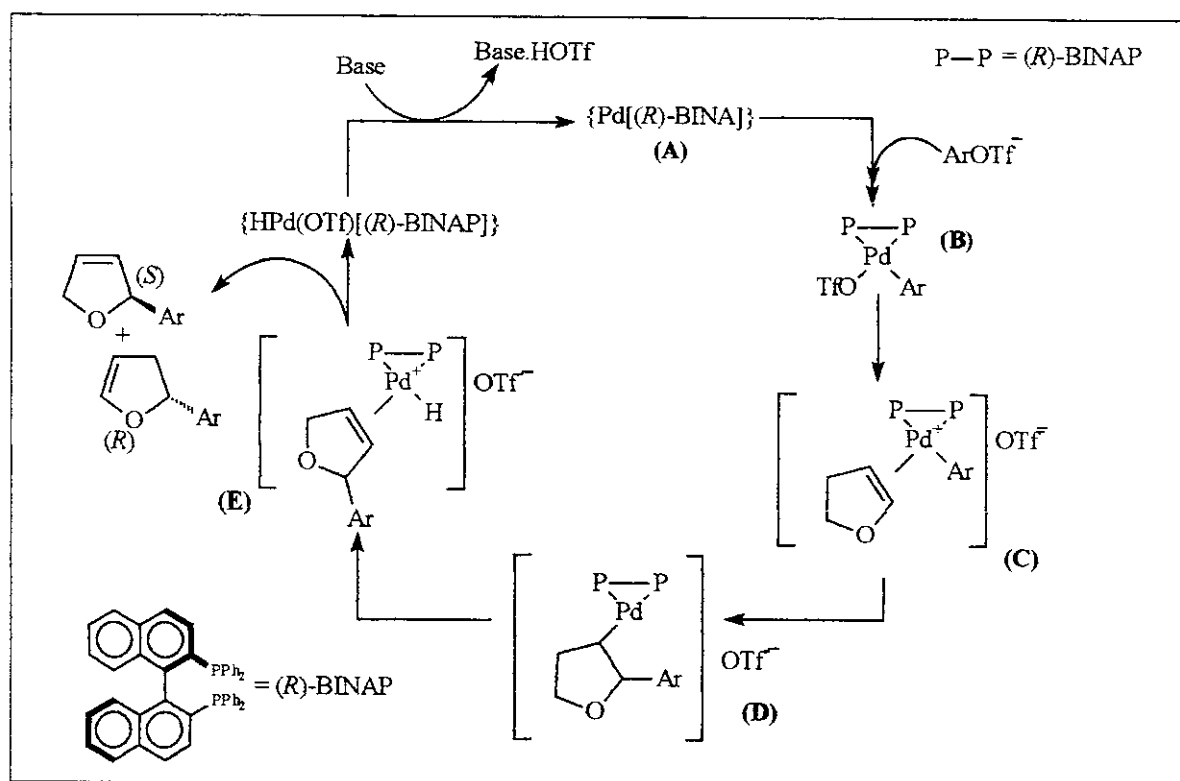
O caminho não polar geralmente ocorre quando X=I, Br. Inicialmente ocorre a dissociação de um dos braços da fosfina bidentada, formando a espécie neutra **I**, a associação e complexação da olefina ao sítio livre forma a espécie **II**, também neutra, onde a inserção da olefina na ligação R-Pd e a recomplexação do ligante, forma o intermediário **III**. O caminho catiônico ocorre quando X=OTf ou quando X=I, Br utilizando Ag₂CO₃ ou TlOAc como aditivo, neste caso o ligante pode ser mono ou bidentado. O caminho catiônico inicia-se com a dissociação de X, gerando um complexo catiônico tricoordenado com 14 elétrons **IV**. A complexação da olefina na valência livre forma uma espécie de 16 elétrons **V**, e a inserção da olefina na ligação R-Pd forma o intermediário **VI**.

A **eliminação**, ou β-eliminação é estereoseletiva e ocorre apenas com o hidrogênio *syn* ao paládio. Em sistemas acíclicos, a ligação C-C sofre rotação para permitir a β-eliminação, dissociando a olefina do complexo de HPd(II)XL₂. A β-eliminação é um processo reversível, portanto uma dissociação lenta pode determinar a formação de vários produtos devido a isomerização da ligação dupla.

A **regeneração** do catalisador ocorre na presença de uma base, removendo HX, transformando HPd(II)XL₂em L₂Pd(0) novamente e assim fechando o ciclo catalítico. As bases mais utilizadas são Et₃N, *i*-Pr₂Net ou sais inorgânicos como AcONa e K₂CO₃.

Mecanismo da reação de Heck com olefinas cílicas.

O mecanismo da reação de Heck com olefinas cílicas (esquema 7)¹⁸ é muito semelhante ao mecanismo mostrado anteriormente no esquema 4, sofrendo diferenças apenas na etapa de eliminação redutiva.

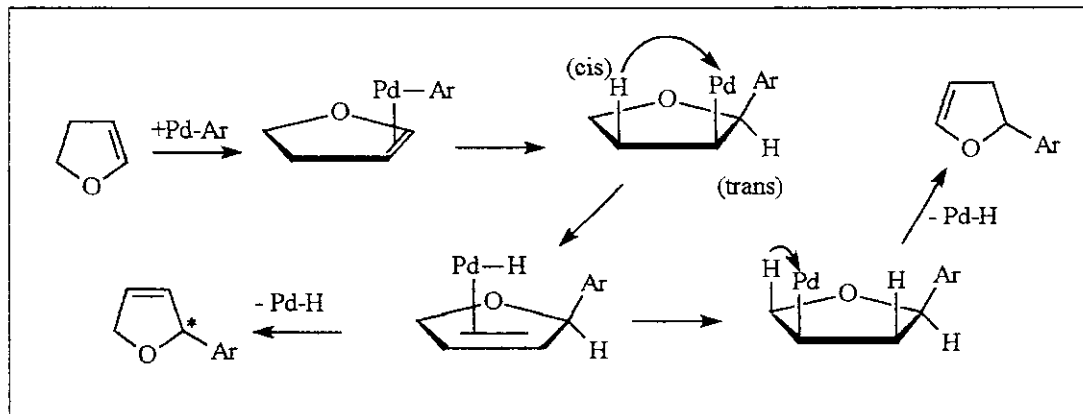


Esquema 7

O processo catalítico envolvendo um complexo catiônico tetracoordenado arilpaládio(II)-olefina (**C**) como intermediário chave tem sido proposto para obter alta enantiosseletividade com aril trifaltos (esquema 7). A adição oxidativa do aril trifato à espécie de Pd(0) gera o complexo (**B**). A coordenação do 2,3 diidrofuran em (**B**) forma o complexo (**C**). A inserção do diidrofuran na ligação Pd-Ar em (**C**) gera o intermediário

alquilpaládio (**D**), que subsequentemente sofre uma β -eliminação para formar o 2-aryl-2,5-diidrofurano coordenado à espécie hidropaládio (**E**). A dissociação da olefina coordenada de (**E**) forma o (*S*)-2-aryl-2,5-diidrofurano, enquanto a inserção da olefina na ligação Pd-H do complexo (**E**), seguido de β -eliminação resultante da espécie alquilpaládio forma o composto (*R*)-2-aryl-2,3-diidrofurano termodinamicamente mais estável (isomerização da ligação dupla). Quando utilizamos olefinas cíclicas como substrato, não observamos a formação da ligação dupla α a posição de arilação, pois como o anel aromático que está sendo inserido e o complexo de paládio estão do mesmo lado, não existe um hidrogênio *syn* ao paládio neste carbono para que a β -eliminação possa ocorrer (esquema 8).

O triflato do complexo (**B**) é um bom grupo abandonador, que pode ser substituído facilmente pela olefina, formando o intermediário catiônico (**C**), conveniente para inserção enantiosseletiva da olefina.



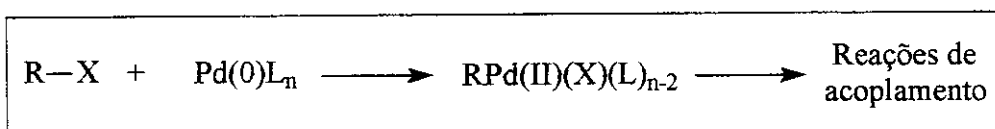
Esquema 8

Introdução de sais de diazônio na reação de Heck.

A maioria das reações de acoplamento C-C, que utilizam paládio como catalisador, têm como etapa comum, a adição oxidativa de uma espécie RX a um complexo de Pd(0), onde R é um esqueleto carbônico e X é um grupo de saída (esquema 9).

A etapa de adição oxidativa é dependente da natureza de RX. Bons grupos de saída X favorecem a ativação de RX para a adição oxidativa¹⁶, bem como grupos R tendo ligado

a si funções orgânicas retiradoras de elétrons. Essa característica limita o número de substâncias que eventualmente possam participar dessas reações de acoplamento.



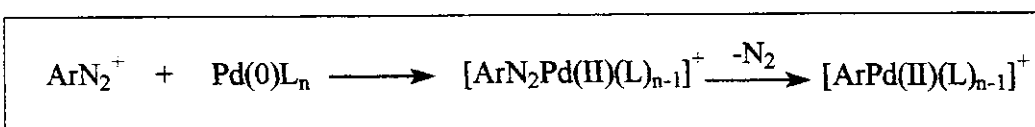
Esquema 9

Entre os grupos de saída, os mais tradicionais são haletos e triflatos. Em meio aos haletos, têm-se observado que à medida que se diminui a eletronegatividade há uma maior facilidade para a realização da adição oxidativa. Essa preferência pelos menos eletronegativos vai de encontro ao custo desses reagentes uma vez que brometos e iodetos, quando disponíveis comercialmente, são de valor superior aos cloretos correspondentes. A instabilidade e o elevado custo do preparo dos triflatos também se colocam como fator limitante na sua utilização.

A fim de contornar essas limitações, alguns pesquisadores têm buscado a utilização de substâncias capazes de se adicionar oxidativamente em espécies de Pd(0)^{1d}. Uma alternativa que vem sendo estudada é a utilização de sais de diazônio como RX.

Complexos do tipo Pd(II)-sal de diazônio, se decompõem facilmente, levando à formação de um complexo do tipo $[\text{ArPd(II)L}_{n-1}]^+$ com perda do nitrogênio molecular. Isto tende a anular a dependência da velocidade desta reação com relação à natureza eletrônica do anel aromático, contornando a limitação na utilização de compostos aromáticos que contém grupos doadores de elétrons (esquema 10).

Associados à possibilidade de formação de espécies do tipo $[\text{ArPd(II)L}_{n-1}]^+$ potencialmente capazes de catalisar acoplamentos C-C, deve-se ressaltar que o custo das anilinas, precursores diretos dos sais de diazônio, é inferior ao dos haletos e fenóis (precursores dos triflatos).



Esquema 10

Tabela A – Arilação de olefinas com sais de diazônio catalisadas por paládio²¹.

Olefina	Cond.	p- RArN₂ ⁺	ArN ₂ ⁺ /Pd	Produto	Rend (%)
Estireno	A	H	50	<i>trans</i> -estilbeno	8
Estireno	A	CH ₃	10	<i>trans-p</i> -Me-estilbeno	57
Estireno	A	CH ₃	100	<i>trans-p</i> -Me-estilbeno	5
Ciclopenteno	B	H	50	1- e 3-Ph-CP (41:59)	70
Ciclopenteno	C	H	50	1- e 3-Ph-CP (58:42)	60
Ciclopenteno	A	CH ₃	50	1- e 3-Tol-CP (54:46)	30
Ciclopenteno	B	CH ₃	50	1- e 3-Tol-CP (70:30)	41
Ciclopenteno	C	CH₃	50	1- e 3-Tol-CP (50:50)	53
Ciclopenteno	B	NO ₂	50	3-nitrociclopenteno	11
Ciclopenteno	C	Cl	50	1- e 3-Cl-CP (10:90)	10
Álcool alílico	B	H	50	1- e 3-Ph-Pra (10:90)	41
Álcool alílico	A	CH ₃	50	2- e 3-Tol-Pra (20:80)	17
Álcool alílico	B	CH ₃	10	2- e 3-Tol-Pra (20:80)	39
Álcool alílico	B	CH ₃ O	50	2- e 3-Na-Pra (30:70)	20
Álcool alílico	B	NO ₂	50	2- e 3-Na-Pra (30:70)	Traços
2-metilalil álcool	B	H	50	2-benzilpropionaldeído	52
2-metilalil álcool	B	H	10	2-benzilpropionaldeido	64
Etil acrilato	A	CH ₃	50	Etil-p-Me-cinamato	10
n-butil vinil éter	B	H	50	Acetofenona e fenilacetaldeído (85:15)	15

Cond A: a uma mistura da olefina e LiPdCl₃ em acetonitrila adicionou-se uma mistura aquosa do sal de diazônio e formato de sódio.

Cond B: O sal de diazônio dissolvido em água foi adicionado a uma mistura da olefina, LiPdCl₃ e formato de sódio em acetonitrila. Cond

C: idem cond B utilizando Pd₂(bda)₃.dba como catalisador. Abreviações: Me=metil; Ph=fenil; Tol=p-toluil; Na=p-metoxifenil; CP=ciclopenteno; Pra=propionaldeído.

Baseados na química desses sais frente ao paládio, Matsuda, Kikukawa e colaboradores²¹ apresentaram em 1977 um trabalho onde sais de diazônio são utilizados na reação de Heck. Estireno, ciclopentano álcoois alílico e 2-metil alílico, acrilato de etila e n-

butil vinil éter foram submetidos à reação com o cloreto de *p*-R-benzenodiazônio (*R*=H, CH₃, NO₂, Cl) na presença de acetato de sódio tendo como catalisador LiPdCl₃ ou Pd₂(dba)₃. dba, onde o último apresentou melhores resultados (tabela A).

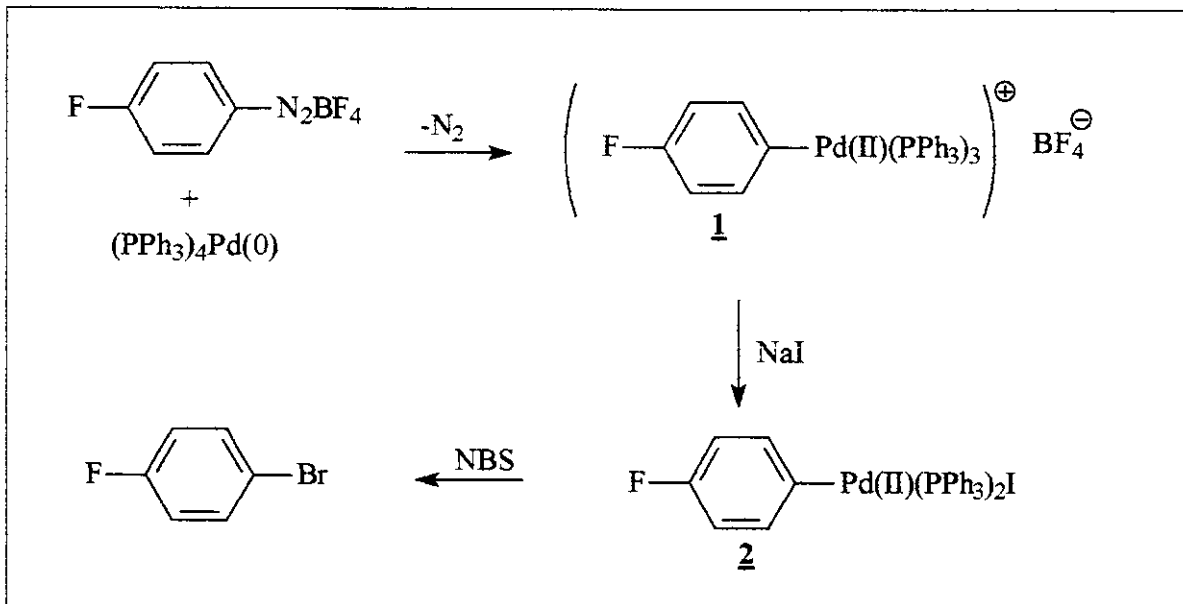
Sais de diazônio contendo grupos doadores de elétrons apresentaram melhores resultados que aqueles que contém grupos retiradores de elétrons (em negrito na tabela A). Este resultado é contrário aos protocolos tradicionais para arilação de Heck utilizando halogenos e triflatos de arila. Desta forma, esta nova abordagem na química de acoplamentos C-C mediados por paládio se mostra, no mínimo, complementar aos procedimentos já existentes.

O mecanismo da reação de Heck empregando sais de diazônio.

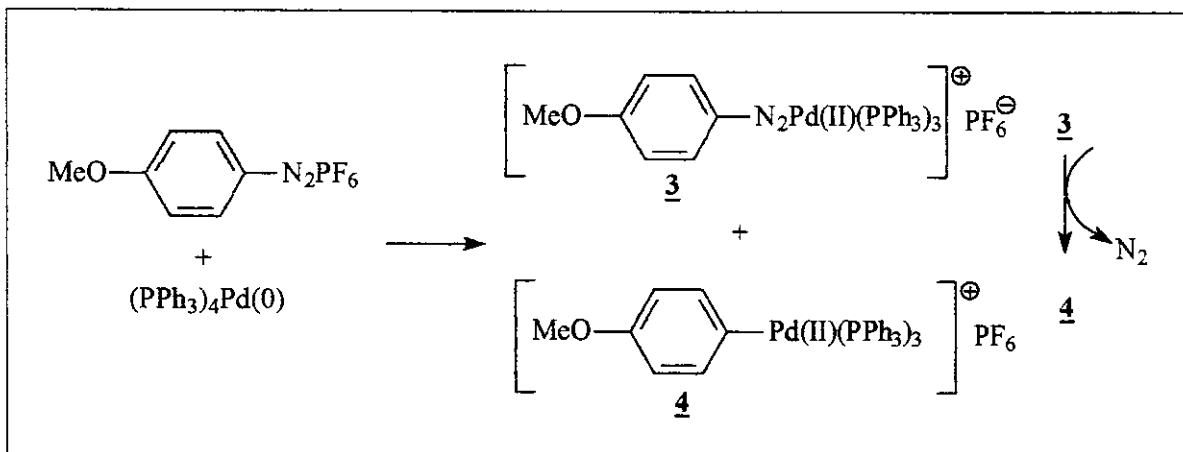
Não existe, até onde este levantamento bibliográfico alcançou, nenhum estudo detalhado sobre o mecanismo desta variante da reação de Heck com sais de diazônio.

Matsuda e colaboradores relataram que a reação de quantidade estequiométrica de tetrafluoroborato de benzenodiazônio com Pd₂(dba)₃. dba promove a evolução de N₂ em quantidade equimolar àquela do sal de diazônio. Essa informação, aliada à caracterização do iodeto **2** (esquema 11), bem como sua reação à fonte de bromo, *N*-bromosuccinimida (NBS), levam a crer que um complexo catiônico semelhante ao tetrafluoroborato **1** seja o intermediário reativo após a adição oxidativa (esquema 11)²¹.

Em um trabalho posterior²², esses mesmos autores isolaram o complexo arildiazênato de paládio **3** e comprovaram que esta espécie é a precursora do intermediário reativo tipo 1 responsável pelo acoplamento C-C (esquema 12).



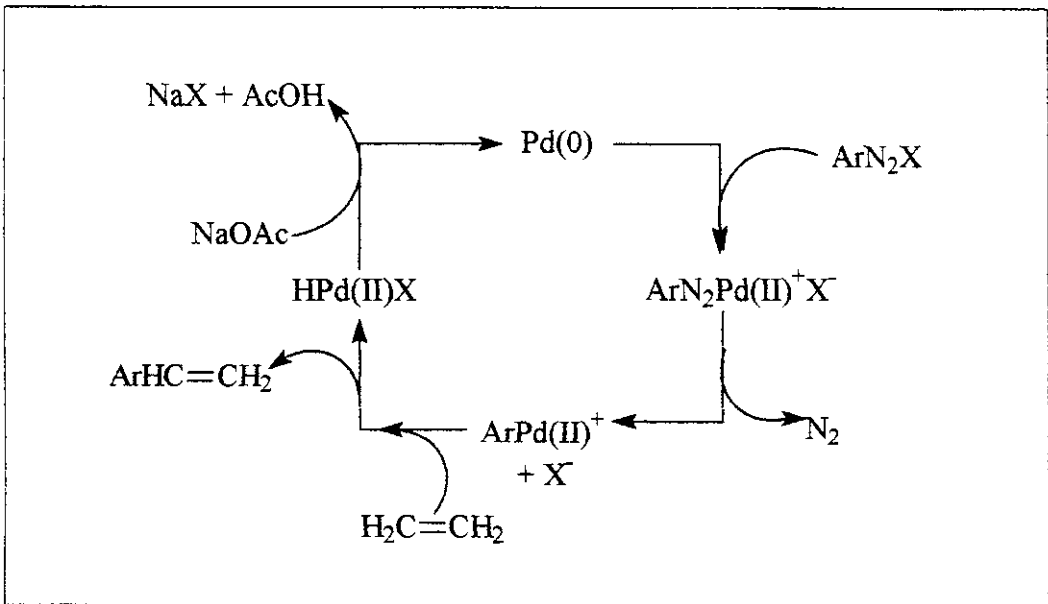
Esquema 11



Esquema 12

Foi observado que a arilação iniciada com uma fonte de Pd(0) apresenta velocidade maior que aquela iniciada com uma fonte de Pd(II). Isso colabora para que a espécie catalítica que sofre adição oxidativa seja um complexo de paládio zerovalente^{21,23}.

Baseados nestes resultados e na semelhança dos complexos **1** e **4** com aqueles já propostos por Amatore e colaboradores⁹ como sendo as espécies reativas para o ciclo catalítico dos protocolos tradicionais de Heck, é possível que o esquema 13 represente a seqüência de reações que compõe o ciclo catalítico para esta variante da reação de Heck com sais de diazônio.



Esquema 13

A utilização de sais de diazônio tem a vantagem de gerar a espécie de paládio catiônico, com a extrusão de N_2 , no meio reacional sem necessitar da adição de sais de prata, condição necessária quando se deseja acelerar a etapa de adição oxidativa ou eliminação redutiva do ciclo catalítico, quando a espécie de arilação tem como grupo de abandonador um haleto ou triflato.

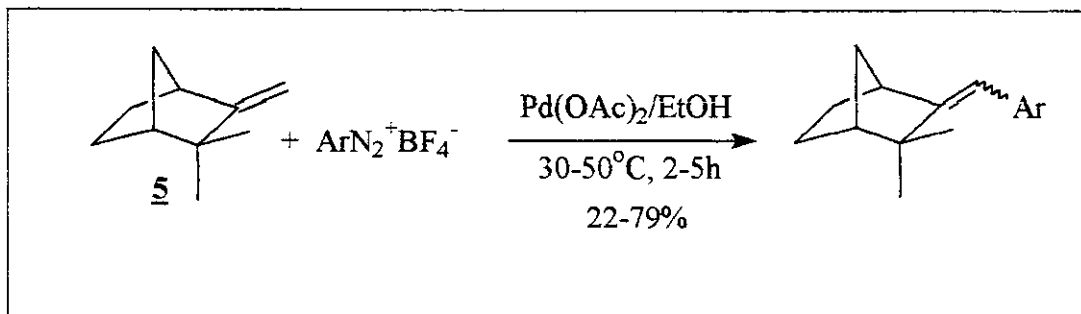
Reações de Heck com sais de diazônio.

Esta variante da reação de Heck se mostra como uma metodologia alternativa àquelas já existentes, porque dispensa a utilização de fosfinas e desgaseificação de solventes. Nos estudos iniciais de Matsuda e Kikukawa^{21,23}, o acetato de sódio foi empregado como base, contudo, Saeki e colaboradores²⁴ demonstraram que a ausência de base não é prejudicial, porém em alguns casos a adição de base se faz necessária a fim de ser evitado processos de decomposição e polimerização de olefinas ricas eletronicamente.

Em catalise homogênea, duas condições reacionais são comumente empregadas quando se parte diretamente dos sais de diazônio. A primeira delas²¹ se dá em acetonitrila à

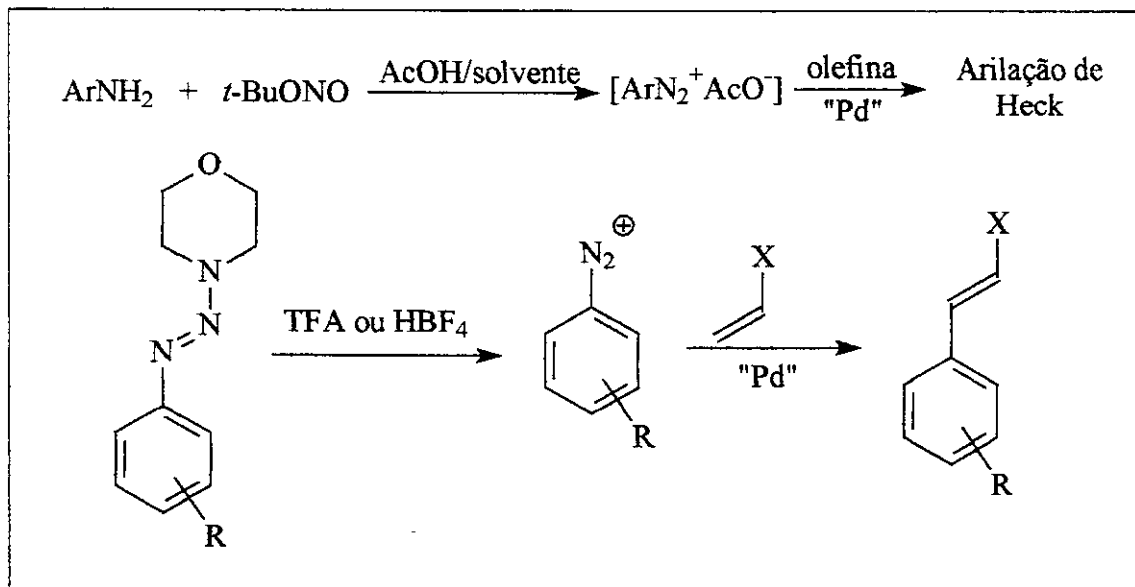
temperatura ambiente e tem por fonte de paládio o $\text{Pd}_2(\text{dba})_3\text{.dba}$. Este se mostrou bastante eficaz frente aos mais variados tipos de olefinas e sais de diazônio^{21,23,24,25,26,27}.

Como alternativa a este procedimento, Zhuangyu e colaboradores²⁸ utilizaram etanol como solvente, $\text{Pd}(\text{OAc})_2$ como fonte de paládio em temperaturas da ordem de 30-50°C. Neste trabalho os autores buscavam a arilação do canfeno **5**, que não havia sido realizada via os protocolos tradicionais de Heck (esquema 14).



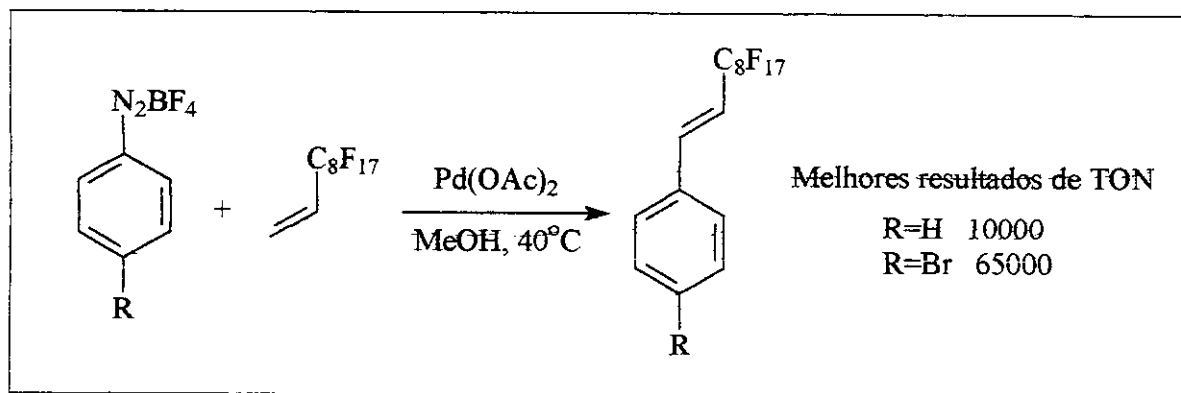
Esquema 14

A qualidade e a estabilidade dos sais de diazônio são limitantes no rendimento da reação. Os tetrafluoroboratos e trifluoroacetatos²⁹ apresentam melhores resultados se comparados a contra-íons cloreto e brometo. Os iodetos e percloratos também se mostram eficientes neste tipo de reação²⁹.



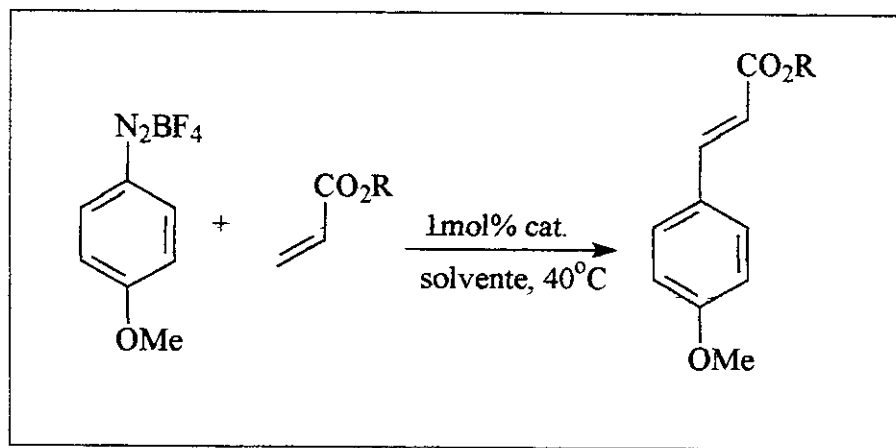
Esquema 15

Uma alternativa para o problema de estabilidade de sais de diazônio está na geração *in situ* do diazônio. Isto tem sido realizado pela reação da anilina com nitrito de *t*-butila frente a ácidos orgânicos³⁰ ou pela decomposição de espécies como ariltriazenos em meio ácido²² (esquema 15).



Esquema 16

As quantidades de catalisador empregadas são, geralmente, da ordem de 1 mol%, o que não garante números de “Número de Rotação”(TON) superiores a 100. Contudo, ao que parece, nenhum dos autores se preocupou em avaliar a eficiência do sistema catalítico, com exceção de Genêt e colaboradores³¹, que relataram ter alcançado TON da ordem de 65000 (esquema 16).



Esquema 17

Beller e colaboradores³² buscaram recuperar o paládio do meio, via catálise heterogênea. Neste trabalho, os autores empregaram 1 mol% de diversas fontes comerciais de Pd(0) suportado (Pd/C, Pd/Al₂O₃, Pd/BaSO₄) e obtiveram bons resultados com relação aos rendimentos (esquema 17, tabela 1), mas a tentativa de reutilização do catalisado não rendeu mais de 31% de rendimento para uma reação de Heck subsequente.

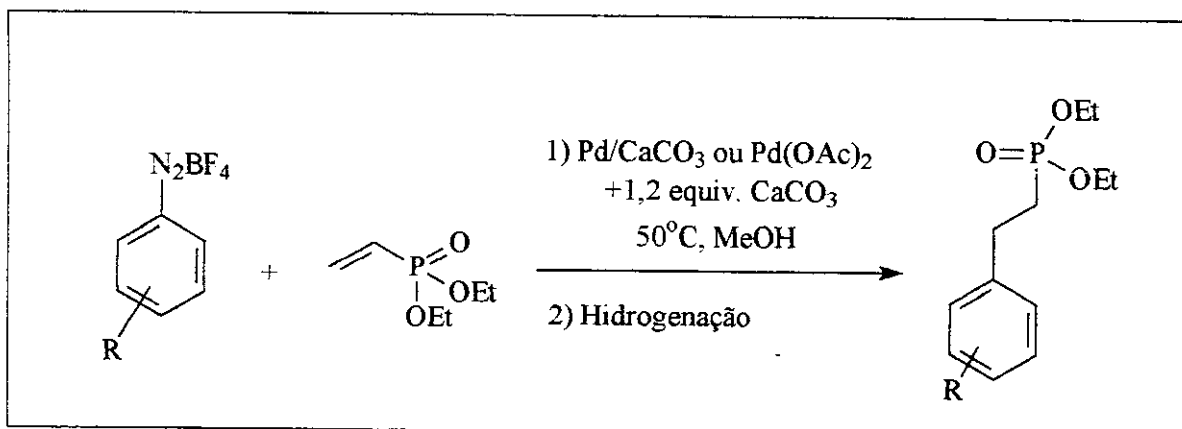
Do ponto de vista sintético esta metodologia se mostra atraente, uma vez que a arilação de Heck utilizando halobenzenodiazônios é quimiosseletiva para porção diazônio, possibilitando uma posterior funcionalização do carbono ligado ao haleto²³.

Tabela 1 – Tentativas de catalise heterogênea.

Solvente	R	Cat. ^a	Rendimento (%)
MeOH	CH ₃	Pd/C	95
EtOH	C ₂ H ₅	Pd/C	98
EtOH	C ₂ H ₅	Pd/Al ₂ O ₃	89
EtOH	C ₂ H ₅	Pd/BaSO ₄	94
DMSO	C ₈ H ₁₇	Pd/C	67
MeCN	C ₈ H ₁₇	Pd/C	<5
Tolueno	C ₈ H ₁₇	Pd/C	<5
2-etilexan-1-ol	C ₈ H ₁₇	Pd/C	<5
EtOH	C ₂ H ₅	Pd/C ^b	31

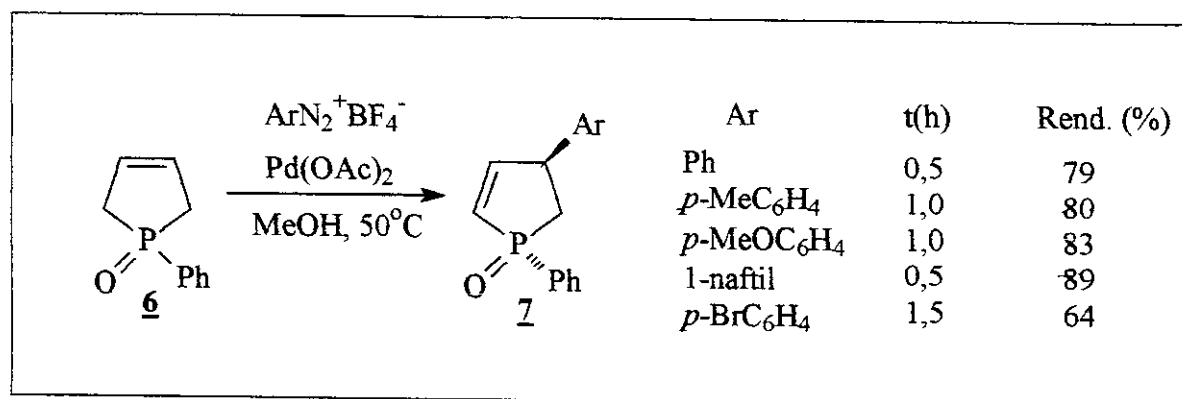
a) O paládio está a 5% sobre C; b) catalisador reutilizado.

Genêt e colaboradores³³ relataram a primeira reação de Heck aeróbica utilizando sais de arenodiazônio para preparar arilvinilfosfatos na presença de Pd/CaCO₃ e Pd/(OAc)₂/CaCO₃ como sistema catalítico (esquema 18). A reação é estereosseletiva e os isômeros *E* são formados exclusivamente. A maior vantagem desta metodologia é a utilização de Pd como catalisador em solventes alcoólicos. Permitindo um procedimento “one-pot” na preparação de novos reagentes Wadsworth-Emmons combinando reação de Heck e hidrogenação.



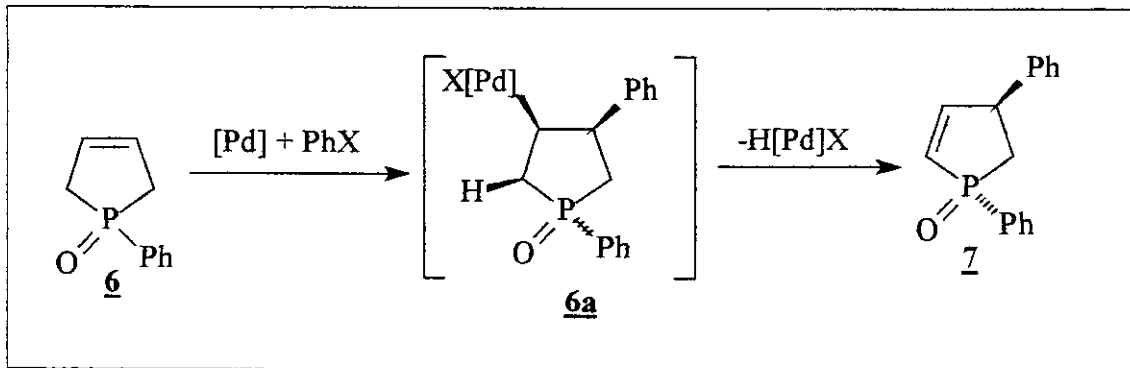
Esquema 18

Desmazeau e colaboradores³⁴ submeteram o 1-fenilfosfol-3-ene-1-oxido 6 à reação de Heck, utilizando 3 mol% de Pd(OAc)₂, 1,25 equiv. de sal de diazônio em metanol a 50°C, gerando 7 em bons rendimentos (esquema 19). Este substrato é precursor de novos ligantes monofosfinais baseados no esqueleto de fosfolanos.



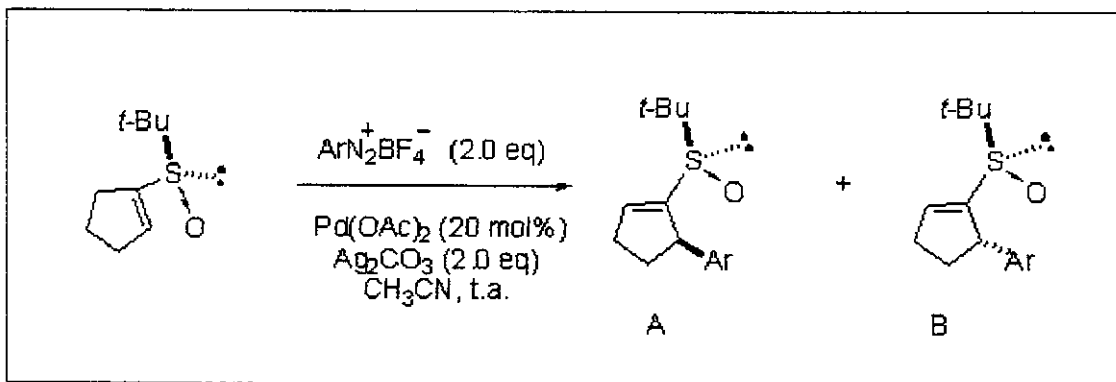
Esquema 19

A estereoquímica do composto 7 mostra que a reação é totalmente estereoseletiva, resultando da aproximação do complexo do paládio pela face menos impedida de 6 (esquema 18).



Esquema 20

Carretero e Priego³⁵ estudaram a reação de Heck assimétrica com o substrato (*R*)-1-*t*-butilsulfinil-1-ciclopenteno, primeiramente buscando as melhores condições de reação (tabela 2A em negrito) e em seguida, realizaram uma série de reações entre o (*R*)-1-*t*-butilsulfinil-1-ciclopenteno e uma variedade de sais de diazônio (esquema 21, tabela 2B). A reação ocorre em bons rendimentos (72-79%) com alta diastereoseletividade ($de=82\text{-}92\%$).



Esquema 21

Foi muito gratificante para os autores encontrarem as melhores condições de reação para este sistema, utilizando Ag_2CO_3 como base, pois a utilização do mesmo em reações de Heck com sais de diazônio ainda não tinha sido previamente descrita³⁵.

Tabela 2A – Reações de Heck com (*R*)-1-*t*-butilsulfinil-1-ciclopenteno.

Entrada	Base (2 equiv)	Solvante	Conversão (%) ^a	A:B
				razão ^a
1	-	MeOH	-	-
2	-	CH ₃ CN	11	-
3	NaOAc	CH ₃ CN	27	-
4	K ₂ CO ₃	CH ₃ CN	-	-
5	AgBF ₄	CH ₃ CN	23	20:80
6	Tl(OAc) ₃	CH ₃ CN	23	22:78
7	Ag ₂ CO ₃	CH ₃ CN	>98	9:91
8	Ag ₂ CO ₃	DMF	>98	37:63
9	Ag ₂ CO ₃	DMSO	27	48:52

a) Determinado por RMN H¹ do bruto da reação.

Como descrito na tabela 2B a reação ocorre com tetrafluoroborato fenildiazônio ou sais *p*-substituídos com grupos eletrodoadores ou eletroretiradores. O resultado indica o sucesso do grupo *t*-butilsulfinila como um novo auxiliar quiral em reações de Heck assimétrica quando diferentes sais de arenodiazônio são usados como reagentes de arilação.

Tabela 2B – Reações de Heck com (*R*)-1-*t*-butilsulfinil-1-ciclopenteno.

Ar	Tempo (h)	Conversão (%)	A:B	Rend.* (%)
<i>p</i> -MeOC ₆ H ₄	10	>98	9:91	78
C ₆ H ₅	8	>98	5:95	72
<i>p</i> -MeC ₆ H ₄	8	>98	8:92	72
<i>p</i> -BrC ₆ H ₄	8	>98	4:96	79
<i>p</i> -NO ₂ C ₆ H ₄	24	18	-	-
<i>m</i> -MeC ₆ H ₄	24	64	7:93	54
<i>o</i> -MeC ₆ H ₄	24	16	-	-
<i>o</i> -ClC ₆ H ₄	24	<2	-	-

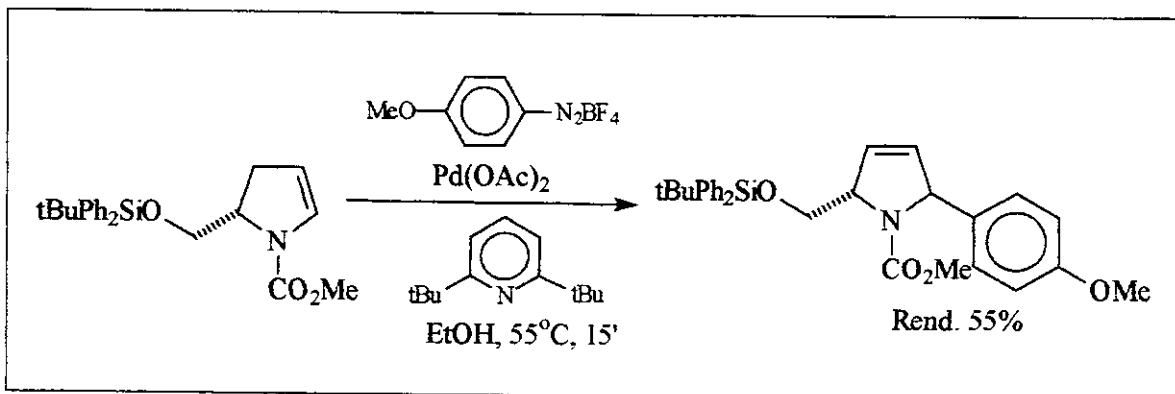
*rendimentos estimados por CG.

Síntese da (-)-codonopsina e da (-)-codonopsina.

Nos últimos anos, o nosso grupo de pesquisa tem se interessado pela síntese de alcalóides pirrolidínicos³⁶. Recentemente foi realizada a síntese total da (-) codonopsinina^{26,27}, onde empregou-se um enecarbamato endocíclico como material de partida. A etapa chave da rota sintética consistiu na reação de arilação de Heck. Inicialmente, optou-se pela reação de Heck tradicional³⁷. Foram feitas algumas tentativas utilizando iodeto e brometo de fenila, Pd(OAc)₂ e ligantes de fosfina bidentado (Ph₂P(CH₂)₃PPH₂, PPH₃) na presença de base (*i*-Pr₂Net, Ag₂CO₃, Bu₄NCl) em DMF a 100°C, mas o produto de Heck, quando detectado, era formado em rendimento muito baixos (10-20%) e não se mostrou um processo facilmente reproduzível. Questionou-se a estabilidade do catalisador gerado *in situ*, mas apesar dos cuidados experimentais tomados os resultados iniciais pouco se alteraram. Acredita-se que a utilização de aparelhagem inadequada (foram utilizadas vidrarias usuais de síntese orgânica) permitiu a entrada de oxigênio no meio reacional desativando o catalisador³⁷.

Em decorrência dos resultados negativos, buscou-se uma alternativa que nos pareceu muito interessante e viável, a utilização de sais de diazônio em substituição aos tradicionais haletos e triflatos de arila.

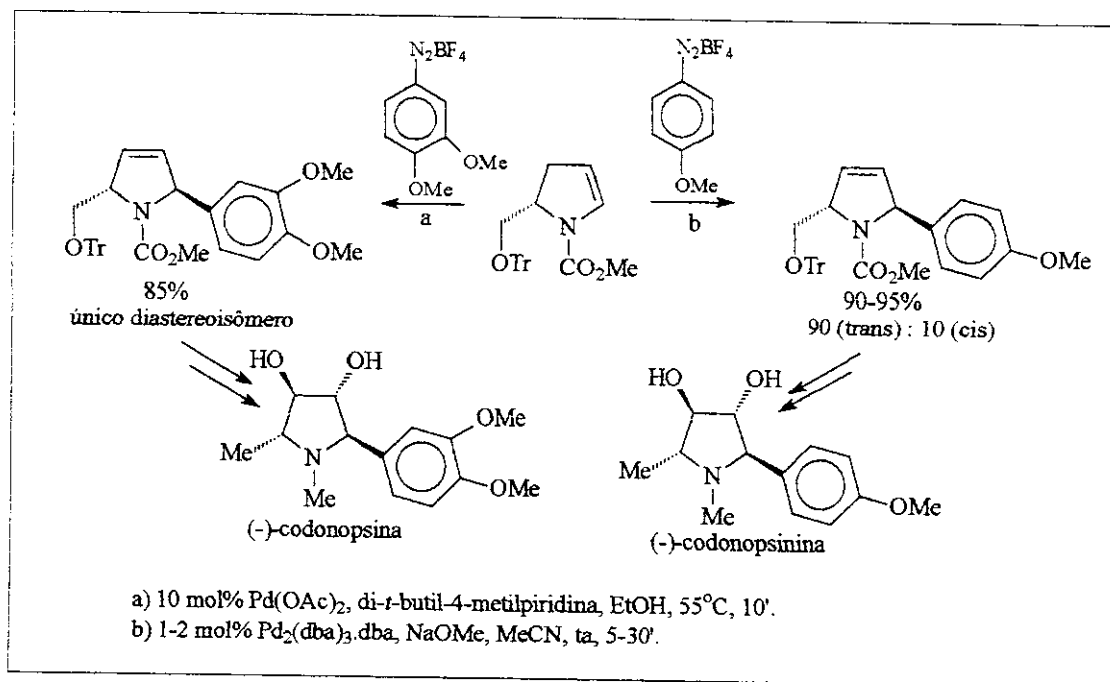
Após algumas tentativas, foram encontradas condições de reação que formaram o produto de Heck em rendimentos reproduzíveis de 55%²⁶ (esquema 22).



Esquema 22

Inicialmente utilizou-se 1 equivalente do enecarbamato, 1 equivalente do sal de diazônio, 10 mol% de $\text{Pd}(\text{OAc})_2$ e 8 equivalentes de 2,6-di-*terc*-butilpiridina em etanol a 55°C por 15 minutos, obtendo-se um rendimento de 55%. Buscando otimizar o rendimento do processo, variou-se a quantidade de enecarbamato até 2 equivalentes, o que permitiu elevar o rendimento para 85%, recuperando-se, após coluna cromatográfica, parte do material de partida utilizado em excesso (60-80%)²⁶.

Buscando ainda a otimização do processo, descobriu-se que a reação de Heck pode ser realizada em bons rendimentos e com alta estereosseletividade utilizando apenas 1-2 mol% de $\text{Pd}_2(\text{dba})_3\text{.dba}$ em acetonitrila a temperatura ambiente, na presença de acetato de sódio como base²⁷. Este procedimento é mais simples, brando e mais econômico que o utilizado no esquema 22, pois não utiliza excessos do enecarbamato nem do sal de diazônio, formando o aduto de Heck em bons rendimentos (90-95%)²⁷.



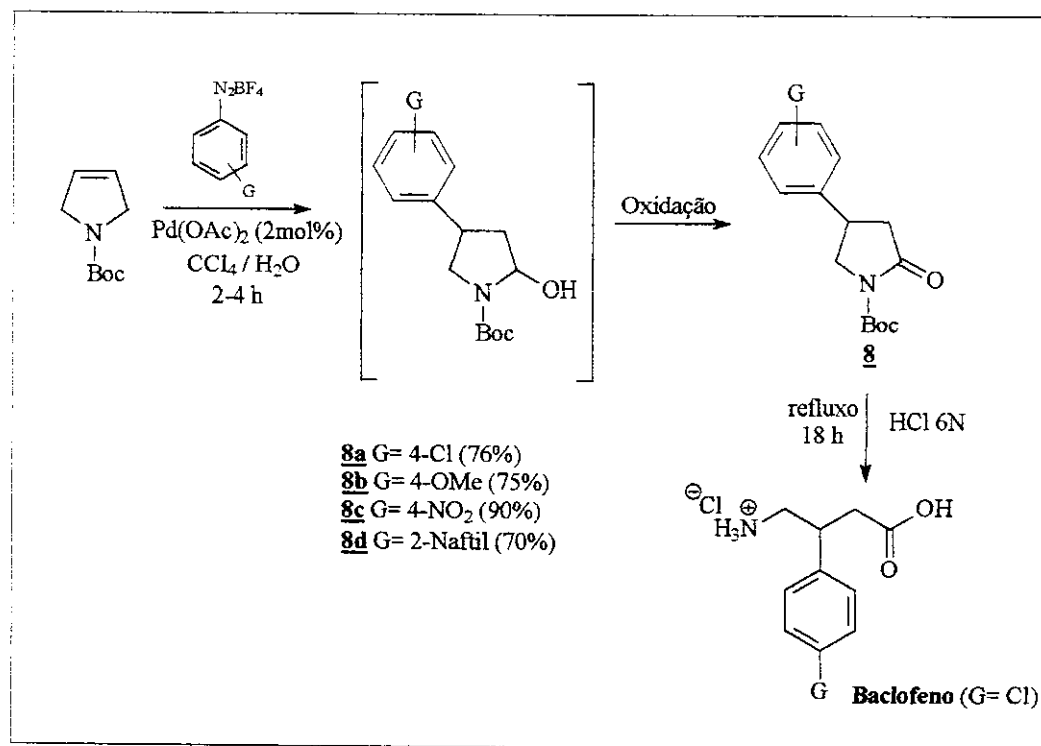
Esquema 23

O aduto de Heck possui um novo centro estereogênico gerado estereosseletivamente. A ligação dupla, posteriormente funcionalizada permitiu alcançar os alcalóides (-)-codonopsina e da (-)-codonopsinina (esquema 23)^{26,27}.

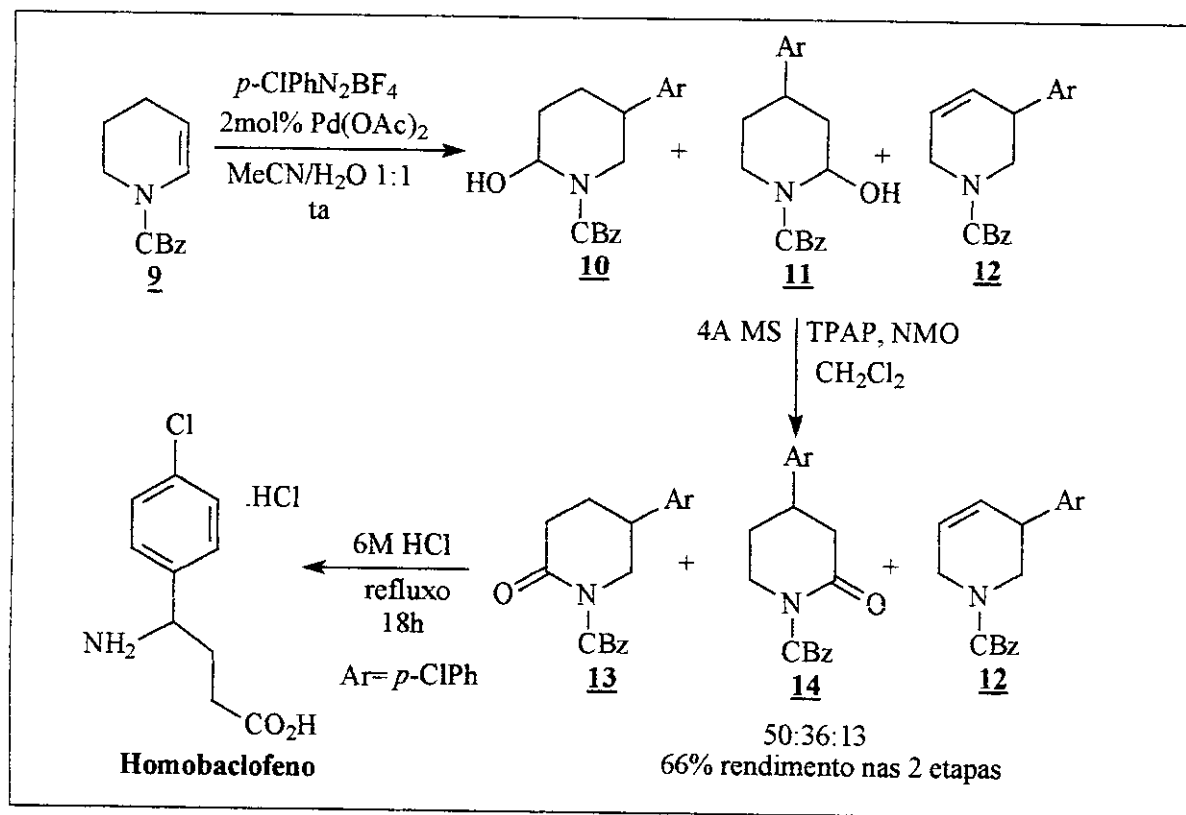
Síntese do Baclofeno e do Homobaclofeno.

Com o objetivo de estender a aplicação da reação de Heck com sais de diazônio para síntese de outros produtos com atividade farmacológica, o nosso grupo de pesquisa sintetizou o baclofeno (esquema 24)³⁸ e o homobaclofeno (esquema 25)³⁸, utilizando novamente a reação de Heck como etapa chave da síntese.

A arilação de Heck do *N*-CBz tetraidropiperidina **9** com o tetrafluoroborato de *p*-clorobenzenodiazônio ocorre em condições semelhantes aquelas utilizadas na esquema 24. Observou-se a formação de 3 adutos de Heck. Após a oxidação da mistura, as lactamas **13** e **14** foram utilizadas na síntese de homobaclofenos isoméricos (esquema 25).



Esquema 24



Esquema 25

OBJETIVOS

A reação de Heck vem sendo muito utilizada sinteticamente na arilação de olefinas das mais variadas naturezas eletrônicas. Recentemente, nosso grupo de pesquisa mostrou seu potencial na síntese da codonopsina, codonopsinina^{26,27}, onde a etapa chave da seqüência sintética foi a arilação de enecarbamatos endociclicos quirais com sais de diazônio.

Apesar da arilação de Heck com sais de diazônio apresentar vantagens, tais como as condições suaves de reação, emprego de apenas 1 equivalente da olefina cíclica, condições livres de fosfinas, fácil operacionalidade do sistema e curto tempo de reação, esta metodologia não tem sido explorada sinteticamente com a mesma freqüência que os protocolos de Heck que empregam haletos e triflados de arila.

Devido aos excelentes resultados obtidos pelo nosso grupo de pesquisa na utilização desta metodologia^{26,27,38}, resolvemos realizar um estudo sistemático da arilação de Heck com sais de diazônio, uma vez que não existem relatos deste tipo na literatura.

Temos por objetivo estudar a reação de Heck com sais de diazônio de enecarbamatos endocíclicos, investigando a influência do tamanho do anel (5, 6 e 7 membros) e verificando o número de produtos formados, visto que em olefinas cílicas a ligação dupla pode isomerizar.

Em seguida, pretendemos variar o substituinte dos sais de diazônio, avaliando a influência de grupos doadores e retiradores de elétrons no processo de arilação. Neste ponto, pretendemos avaliar igualmente outras olefinas, tais como as enamidas e os enoléteres cílicos. Desta forma poderemos avaliar algumas limitações do método de arilação.

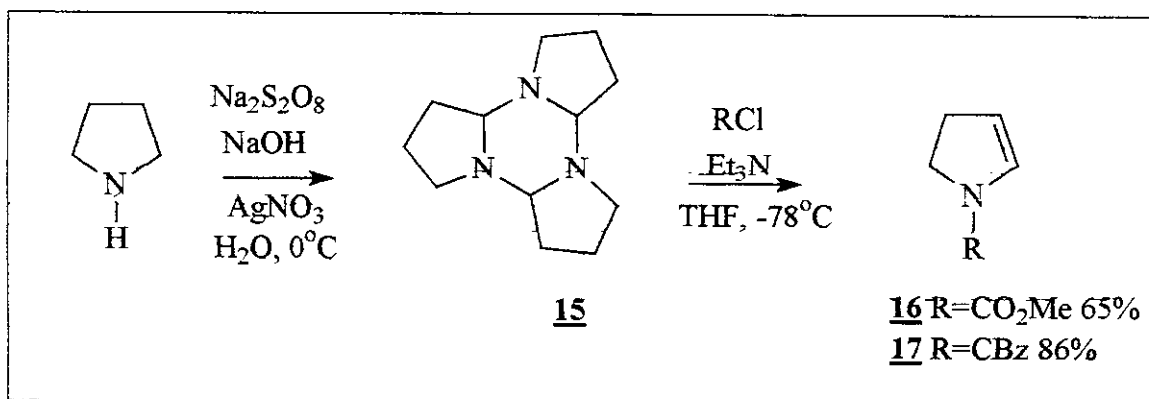
Para melhor entendermos esta variante da reação de Heck, resolvemos estudar alguns aspectos do ciclo catalítico, investigando a influência da base, do catalisador e do solvente.

Devido a formação de mais de um produto quando da arilação de enecarbamatos endocíclicos de 6 membros, resolvemos estudar alternativas sintéticas que permitissem direcionar a isomerização da ligação dupla para um produto majoritário. Entre os parâmetros estudados nesses casos estão: a temperatura de reação, a variação de solvente, a utilização de aditivos, a utilização de outros catalisadores e a presença de substituintes estrategicamente posicionados na olefina.

RESULTADOS E DISCUSSÃO

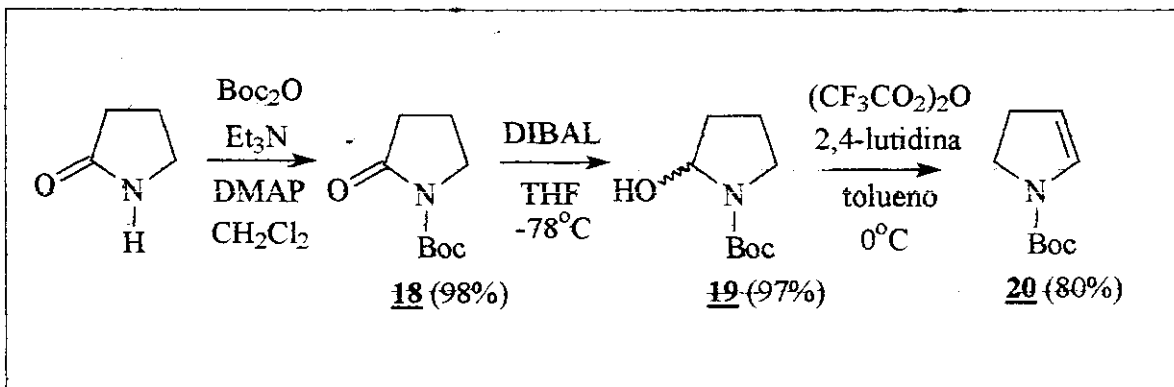
Síntese de enecarbamatos endocíclicos de 5 membros.

Iniciamos este estudo com a síntese de enecarbamatos endocíclicos de 5 membros (esquemas 26 e 27). Os enecarbamatos 16 e 17 foram obtidos em bons rendimentos pelo método de Kraus^{39,40} (Esquema 26).



Esquema 26

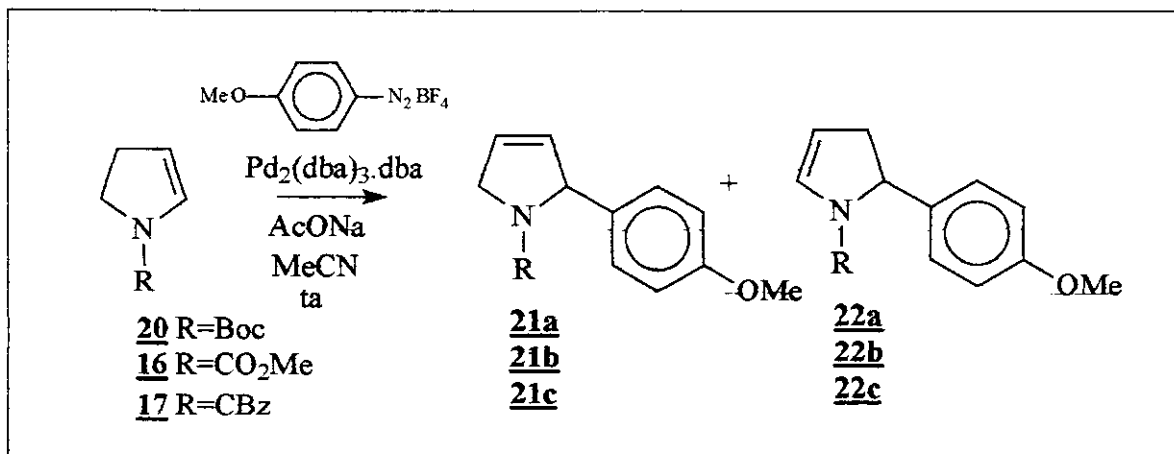
O enecarbamato protegido com dicarbonato de di-*terc*-butila (Boc), foi sintetizado a partir da 2-pirrolidinona (esquema 27), utilizando a mesma metodologia desenvolvida pelo grupo de pesquisa para a síntese de enecarbamatos enantiomericamente puros⁴¹. A lactama protegida com Boc 18 foi obtida com 98% de rendimento⁴². Em seguida, esta foi reduzida com DIBAL⁴³, obtendo-se o lactamol 19 em 97% de rendimento. O composto 19 foi, então, submetido às condições de eliminação⁴¹ em presença de anidrido trifluoracético, 2,4-lutidina e tolueno a 0°C por uma noite e, em seguida, aquecido a refluxo por 20 minutos, gerando o enecarbamato 20 com 80% de rendimento.



Esquema 27

Estudos preliminares da reação de Heck com anéis de 5 membros.

Com os enecarbamatos 16, 17 e 20 em mãos, efetuamos três séries de reações de Heck^{23,27}, utilizando tetrafluoroborato de *p*-metoxibenzenodiazônio⁴⁴, Pd₂(dba)₃.dba⁴⁵ e acetato de sódio em acetonitrila anidra (esquema 28). Essas reações foram efetuadas em meio anidro e sob atmosfera inerte, pois o enecarbamato é sensível a umidade, podendo ser hidratado. Inicialmente variamos a quantidade de catalisador e em alguns casos a quantidade de olefina, visando maximizar a conversão e identificar os produtos formados.



Esquema 28

Tabela 3 - Reação de Heck utilizando os enecarbamatos 20, 16 e 17.

R	Olefina (equiv.)	Sal Diaz. (equiv.)	Pd ₂ (dba) ₃ (mol%)	Conv. (%)	<u>21*</u> (%)	Tempo (min)
Boc	1	1	0,5	69	52	40
Boc	1	1	1	86	63	40
Boc	1	1	1,5	97	85	40
Boc	1	1	2	100	86	40
CO ₂ Me	1	1	0,5	92	61	30
CO ₂ Me	1	1	1	99	75	30
CO ₂ Me	1	1	1,5	100	76	30
CO ₂ Me	1	1	2	100	86	30
CO ₂ Me	2	1	2,5	-	95 ^a	30
CBz	1	1	0,5	95	60	60
CBz	1	1	1	95	76	60
CBz	1	1	1,5	95	79	60
CBz	1	1	2	98	80	60
CBz	2	1	1	-	91 ^a	60

* rendimentos isolados. a) rendimento baseado no sal de diazônio. Conversão baseada na recuperação do material de partida.

Os enecarbamatos 16, 17 e 20 se comportaram de maneira análoga frente a reação de Heck, formando um produto majoritário, 21a, 21b e 21c e traços (detectável apenas por CG) do outro isômero 22a, 22b e 22c, respectivamente. A medida em que fomos aumentando a quantidade do catalisador, notamos o aumento da conversão do material de partida em produto e consequentemente, observamos o aumento dos rendimentos. Os melhores resultados foram obtidos quando utilizamos 2 mol% de catalisador, como observamos nas tabela 3 (destacado em negrito).

A identificação do isômero minoritário 22 não ocorreu de maneira direta. Quando realizamos os estudos preliminares, notamos a presença apenas do isômero majoritário 21, mas para termos certeza de que somente 21 estaria sendo formado, foi necessário sintetizarmos o isômero minoritário para constatarmos ou não a sua presença.

De acordo com a literatura¹⁸, reações de Heck utilizando o procedimento tradicional, com iodetos ou triflatos a temperaturas elevadas, geram o composto **22** como produto majoritário.

Os compostos **21a**, **21b** e **21c** foram caracterizados por infravermelho, RMN H¹ e C¹³ e massa de alta resolução. Os espectros dos compostos **21a**, **21b** e **21c** são muito semelhantes, variando apenas pelo grupo de proteção do átomo de nitrogênio. Comparando os espectros de RMN H¹ do enecarbamato **16** com os espectros do aduto de Heck **21b**, observamos o aparecimento de um duplodubletos em 7,09 ppm e um dupletos em 6,70 ppm indicando a presença dos hidrogênios do anel aromático. Os hidrogênios da ligação dupla do enecarbamato que apareciam na forma de 2 singletos largos em 5,54 e 6,40 ppm e um dubletos em 4,95 ppm, no aduto de Heck os hidrogênios da ligação dupla aparecem como um duplodubletos em 5,82 ppm e 2 dubletos em 5,72 e 5,65 ppm no aduto de Heck. Observamos também o aparecimento de 1 singletos em 3,73 ppm indicando a presença da metoxila.

Na sequência, resolvemos submeter os enecarbamatos **16**, **17** e **20** a reação de Heck, utilizando as mesmas condições anteriores, mas aquecendo o meio reacional a refluxo (tabela 3a).

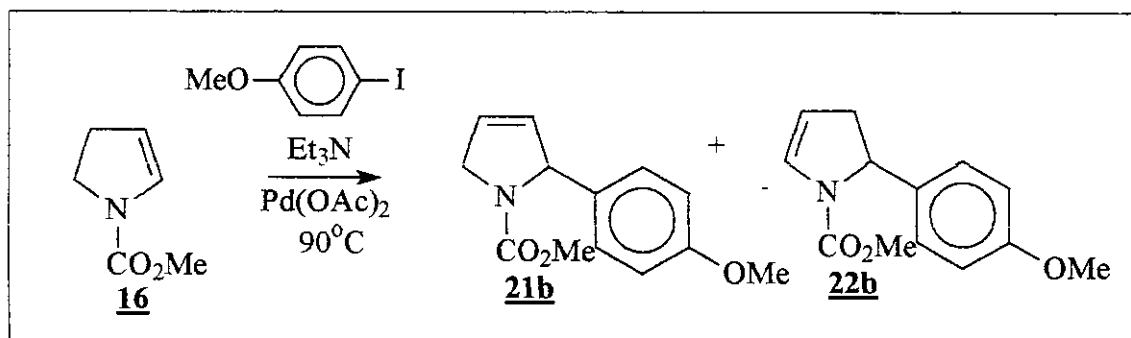
Tabela 3a – Influência da temperatura na reação de Heck.

EneC	Sal Diaz.	Pd ₂ (dba) ₃	21a	22a	Rend.*	Tempo
	(equiv.)	(mol%)	(%)	(%)	(%)	(h)
16	1	2	60	40	11	3,5
17	1	2	40	60	30	3,5
20	1	2	50	50	5	3,5

a) Proporções determinadas por CG. *rendimentos isolados.

Pudemos observar, que o produto principal da reação de Heck com enecarbamatos de 5 membros a altas temperaturas, é um polímero de cor escura que não nos preocupamos em identificar. Também não conseguimos separar os dois adutos de Heck por cromatografia flash. Conseguimos obter apenas um espectro de CG/EM das misturas, onde

notamos a presença de duas substâncias com o mesmo íon molecular, com a mesma fragmentação, mas com diferentes intensidades nos sinais, mostrando serem isômeros.



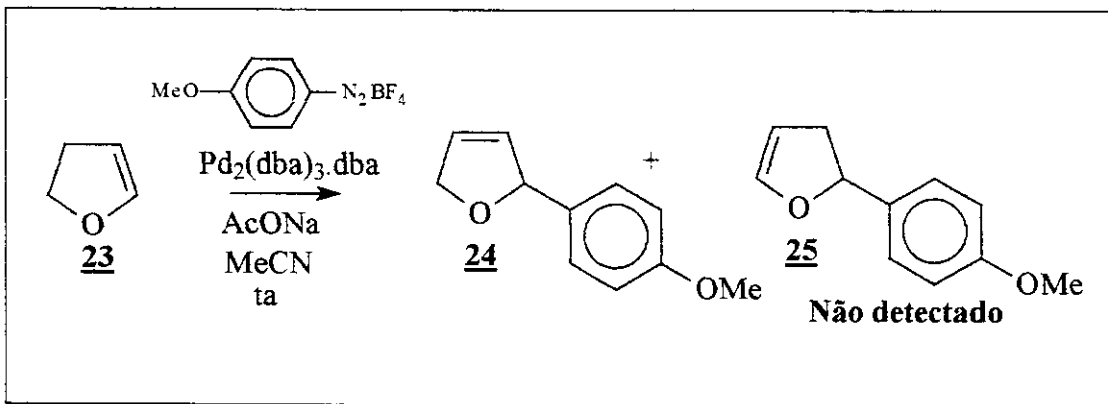
Esquema 29

Ainda não satisfeitos com a identificação do isômero minoritário **22**, resolvemos sintetizá-lo utilizando o *p*-iodoanisol (esquema 29), através de um procedimento descrito por Hallberg⁴⁶.

Utilizamos 4 equiv. da olefina, 3 mol% de acetato de paládio, 1,2 equiv. de trietilamina e aquecemos a mistura a 90°C por 24 horas, obtendo um óleo viscoso escuro como produto. O espectro de CG mostrou a presença dos dois isômeros **21b** e **22b** na proporção 1 : 5. Esta mistura foi submetida à cromatografia *flash*, permitindo a separação de 4 mg do isômero **22b** permitindo a sua caracterização. Somente desta maneira nos demos por satisfeitos e pudemos afirmar com certeza que notamos a formação de traços do isômero **22**, que são detectados apenas nos espectros de CG do bruto da reação.

Comparando os espectros de RMN H¹ dos compostos **21b** e **22b**, notamos diferenças nas posições da dupla ligação. Para o composto **21b** os hidrogênios da ligação dupla aparecem como um duplo-doblete em 5,82 ppm e 2 doubletos em 5,72 e 5,65 ppm. Os hidrogênios da ligação dupla do aduto de Heck **22b** aparecem na forma de dois multipletos em 6,80-6,60 ppm e 5,05 ppm, esta dupla é bem característica de enecarbamatos (lembrando que para o enecarbamato **16** os hidrogênios da dupla ligação aparecem como 2 singletos largos em 5,54 e 6,40 ppm e um doubleto em 4,95 ppm).

Com a intenção de complementar o estudo dos anéis de 5 membros, submetemos o 2,3-diidrofurano **23** as mesmas condições de reação utilizadas anteriormente (esquema 30).



Esquema 30

Tabela 5 - Reação de Heck utilizando o 2,3-diidrofurano 23.

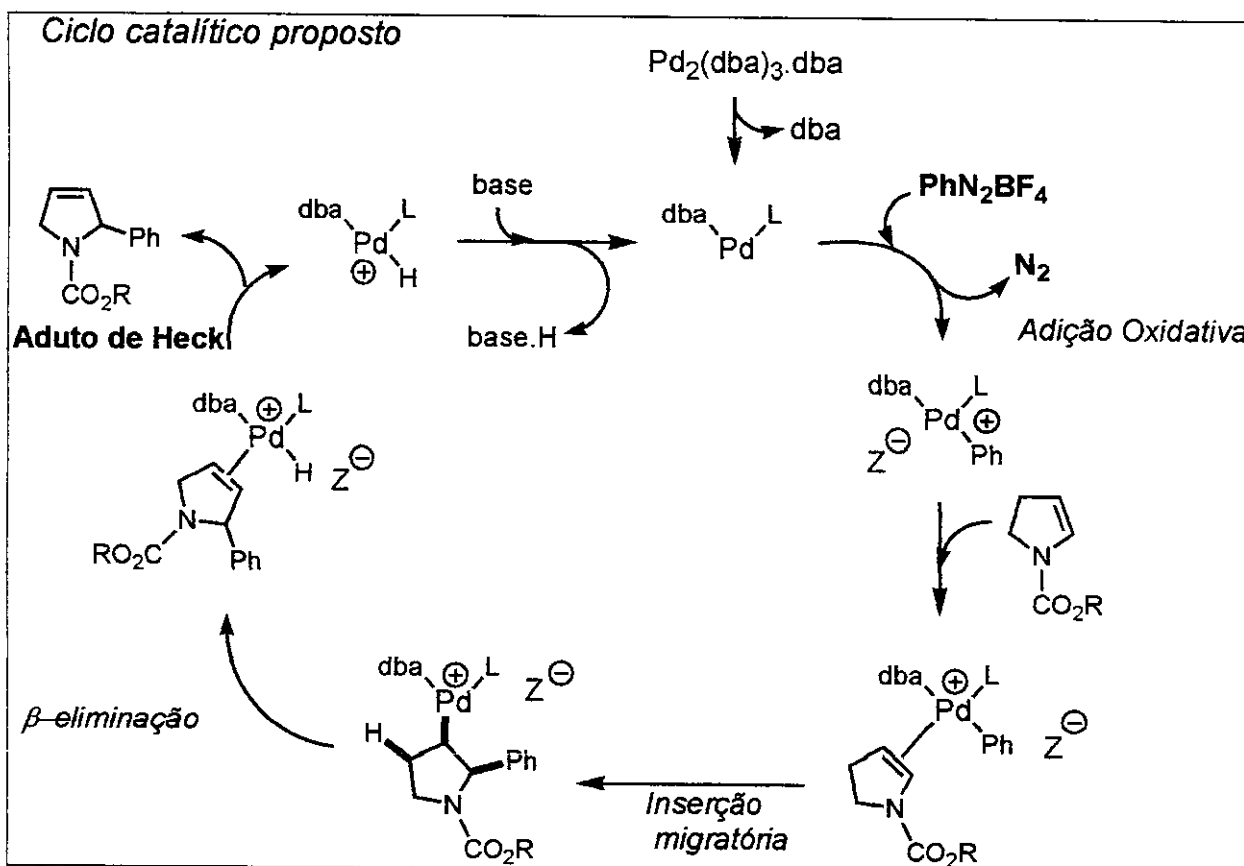
<u>23</u> (equiv.)	Sal Diaz. (equiv.)	<u>Pd₂(dba)₃</u> (mol%)	<u>24*</u> (%)	Tempo (min)
1	1	0,5	60	30
2	1	0,5	74 ^a	30
3	1	0,5	74 ^a	30
2	1	1	95 ^a	30

*rendimentos isolados. a) rendimento baseado no sal de diazônio.

Para o 2,3-diidrofurano, foi necessário uma quantidade menor do catalisador, 1 mol%. Como o 2,3-diidrofurano é muito volátil, utilizamos 2 equiv de 23, para garantir a presença do substrato no meio reacional. Neste caso, observamos a formação apenas do composto 24, com 95% de rendimento quando utilizamos 2 equiv da olefina e 1 mol% do catalisador. A caracterização do composto 24 confere com os dados relatados na literatura por Ozawa e Hayashi^{18a}. Observamos a presença dos hidrogênios do anel aromático na forma de dois doubletos em 7,20 e 6,67 ppm, os dois multipletos em 5,87 e 5,73 ppm indicam a presença dos hidrogênios da ligação dupla. Um multiplet em 5,55 ppm indica a presença de um hidrogênio alílico. Um multiplet em 4,60 ppm indica a presença de dois hidrogênios α ao átomo de oxigênio e um singuleto em 3,66 ppm indica a presença da metoxila.

Mecanismo proposto.

Sabemos que a reação de Heck empregando sais de diazônio segue o mecanismo catiônico^{23, 19b} (esquema 31). Acreditamos que após a adição oxidativa do sal de diazônio ao catalisador, um complexo catiônico de paládio (II) seja formado.



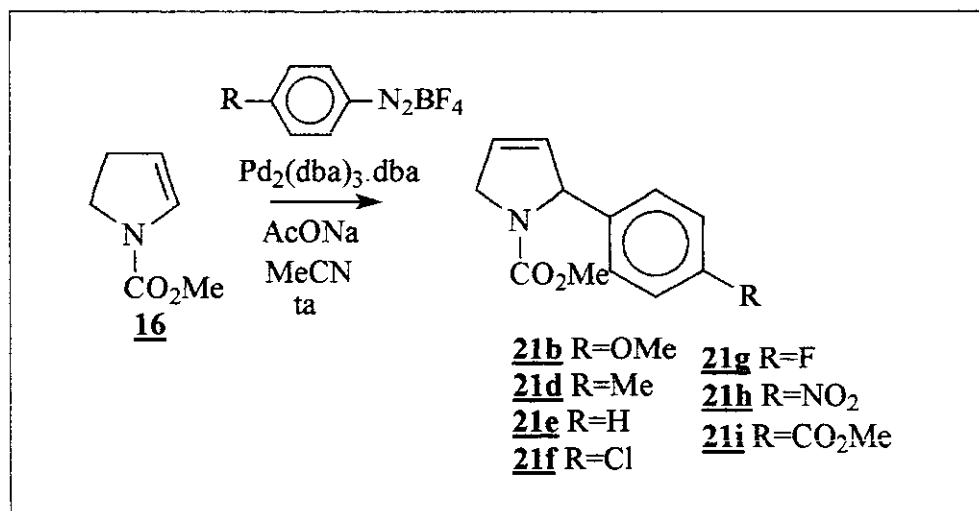
Este complexo, deficiente eletronicamente, associaria-se rapidamente ao enecarbamato, que é uma olefina rica em elétrons. Ocorreria então, a inserção da olefina na ligação Pd-Ar seguida de uma β -eliminação, gerando o aduto de Heck e o hidropaládio, que ao regir com a base (acetato de sódio) regenera a espécie de Pd(0) que volta ao ciclo catalítico.

A partir dos resultados promissores dos estudos preliminares da reação de Heck, verificamos que geralmente, as olefinas de 5 membros (2-pirrolina e 2,3-diidrofurano) se

comportaram de maneira semelhante. Optamos pela utilização do enecarbamato **16** ($R = CO_2Me$), devido a sua facilidade de síntese^{39,40} para prosseguirmos os nossos estudos, variando agora o sal de diazônio.

Estudo da variação do substituinte do sal de diazônio.

O enecarbamato **16** foi testado frente a 7 diferentes sais de diazônio. Utilizamos as condições que forneceram os melhores resultados nos estudos preliminares, isto é, 1 equivalente da olefina, 1 equivalente do sal de diazônio, 2 mol% de $Pd_2(dba)_3.dba$, como catalisador, 3 equivalentes de acetato de sódio, em acetonitrila a temperatura ambiente por 30 minutos (esquema 32, tabela 5).



Esquema 32

Quando trocamos o substituinte metóxi do sal de diazônio por outros grupos, diminuímos a densidade eletrônica do anel benzênico. A metoxila funciona como um grupo doador de elétrons, formando o produto com 86% de rendimento. Quando trocamos a metoxila por uma metila obtivemos 60% de rendimento. Com o tetrafluoroborato de benzenodiazônio, notamos um aumento no rendimento da reação para 80%. Quando utilizamos o *p*-clorobenzenodiazônio, observamos que o rendimento foi reduzido para 42% e ao aumentarmos a eletronegatividade do substituinte utilizando para o *p*-fluor derivado, notamos que o rendimento cai bruscamente para 8%. Quando utilizamos grupos fortemente

retiradores de elétrons como *p*-nitro e *p*-metoxicarbonil ao contrário da reação de Heck tradicional, a reação não ocorre. Assim, acreditamos que a etapa determinante da velocidade não é a etapa de adição oxidativa, mas sim a inserção da olefina na ligação Pd-Ph. Nestes casos, as reações foram muito sujas, impossibilitando o isolamento e caracterização dos produtos.

Tabela 5 – Influência da variação do sal de diazônio na reação de Heck com 16.

R	<u>16</u> (equiv.)	Sal Diaz. (equiv.)	Pd ₂ (dba) ₃ (mol%)	<u>21</u> * (%)	Tempo (min)
OMe	1	1	2	86	30
Me	1	1	2	60	30
H	1	1	2	80	30
Cl	1	1	2	42	30
F	1	1	2	8	30
NO ₂	1	1	2	-	30
CO ₂ Me	1	1	2	-	30

*rendimentos isolados. Conversão de 100% em todos os casos.

Estes resultados nos fazem acreditar que sais de diazônio com grupos doadores de elétrons estabilizam o complexo de paládio catiônico, favorecendo a reação de Heck, enquanto sais de diazônio com grupos fortemente retiradores de elétrons deixam o complexo catiônico instável, favorecendo reações paralelas (figura 1). Porém quando utilizamos o tetrafluorobotato de *p*-metilbenzenodiazônio, obtivemos um resultado inesperado, pois o composto 21d foi obtido com rendimento de apenas 60%, um resultado bastante inferior, quando comparado com os rendimentos obtidos para os compostos 21b e 21e (tabela 5). Inicialmente imaginamos que o sal de diazônio tetrafluorobotato de *p*-metilbenzenodiazônio poderia não estar puro, comprometendo o rendimento da reação. Este foi então, recristalizado e a reação foi repetida algumas vezes, mantendo-se o rendimento apresentado na tabela 5. Não está claro o porquê deste decréscimo no rendimento.

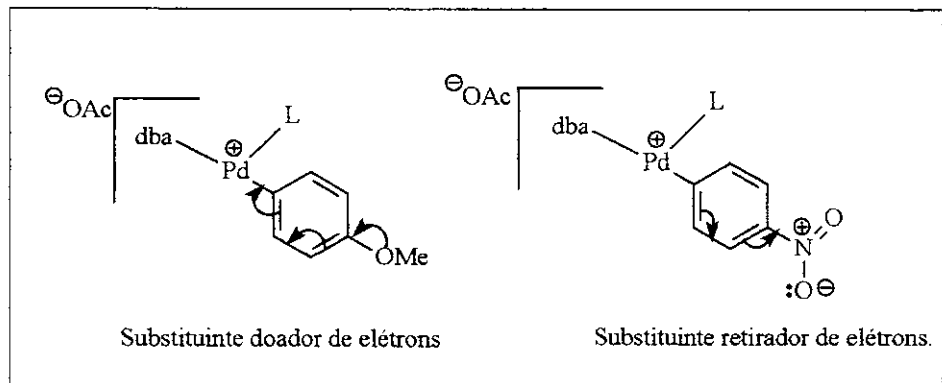
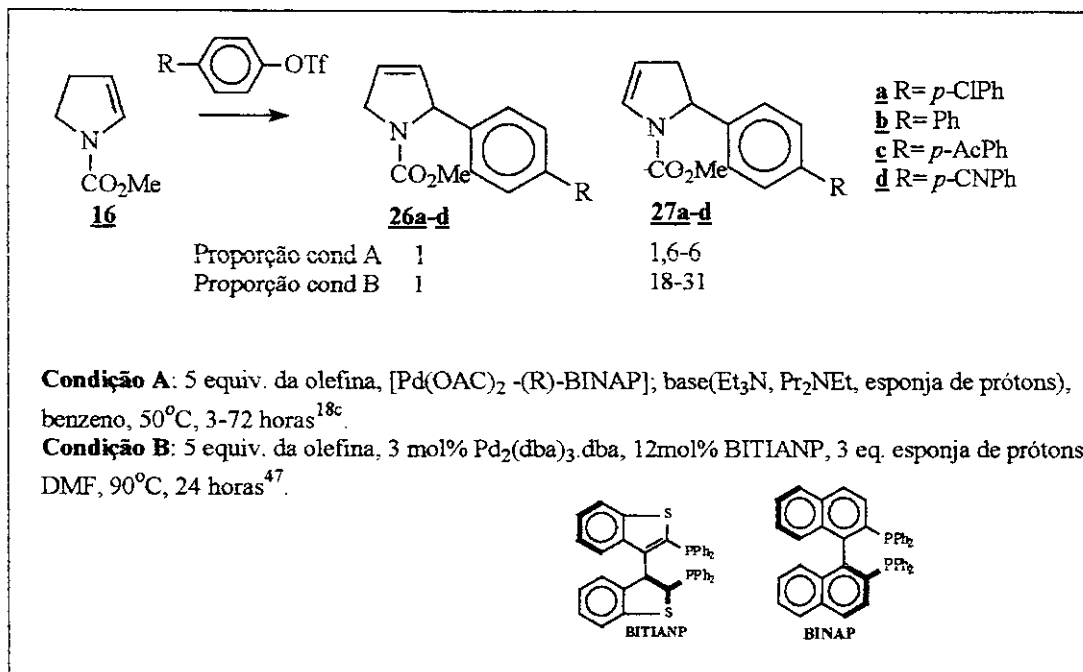


Figura 1

Todos os compostos **21** foram caracterizados por infravermelho, RMN H¹, C¹³ e massa de alta resolução. Os espectros de maneira geral são bastante semelhantes. Os dados obtidos para compostos **21e** e **21f** conferem com os dados relatados na literatura por Ozawa e Hayashi^{18c}.

A reação de Heck tradicional foi muito pouco explorada utilizando o enecarbamato 16 como a olefina. No entanto podemos citar alguns exemplos que foram relatados por Ozawa e Hayashi^{18c} e mais recentemente por Tietze e Thede⁴⁷. Nos dois casos, os autores obtiveram uma mistura de produtos, sendo o composto 27 majoritário, com rendimentos variando entre 77-92%.(Esquema 33).



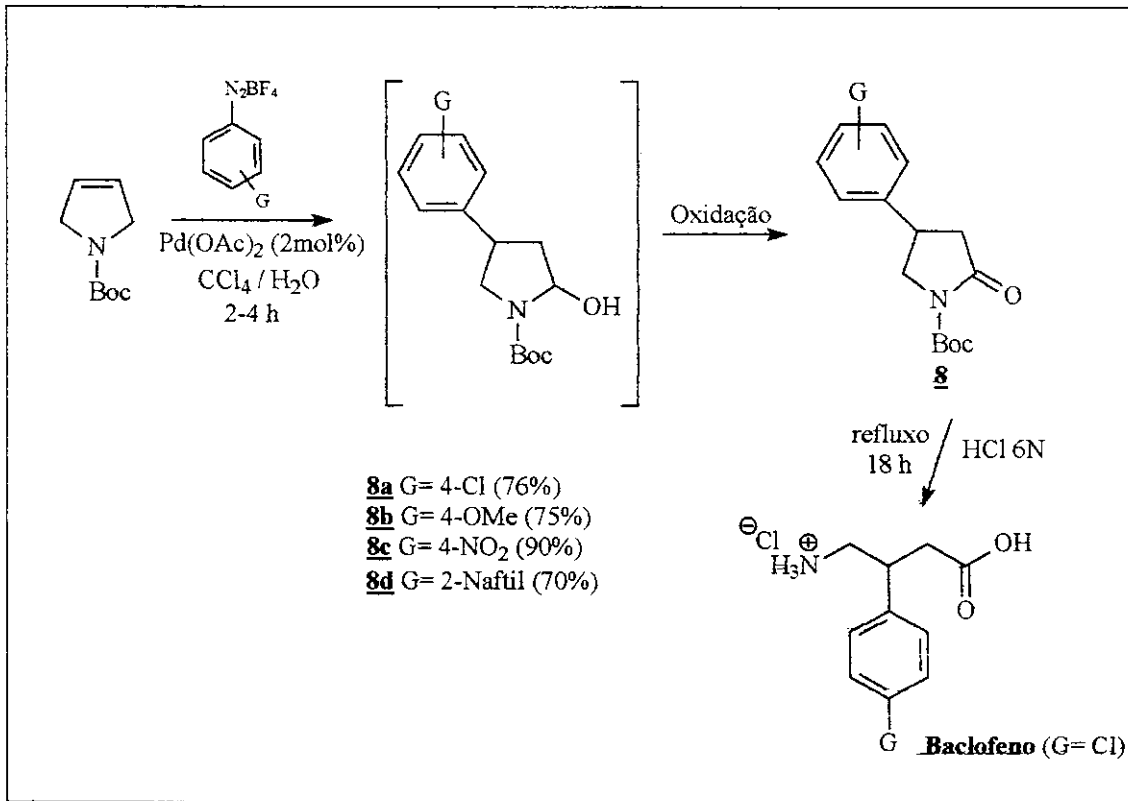
Esquema 33

Quando comparamos os nossos resultados com os relatados por Ozawa e Hayashi^{18c} e por Tietze e Thede⁴⁷, podemos observar que obtivemos basicamente um produto, o composto **26**, enquanto os autores acima obtiveram **27** como produto majoritário. Utilizamos apenas 1 equivalente da olefina, enquanto estes autores utilizaram 5 equivalentes da olefina (enecarbamato). As nossas reações ocorrem à temperatura ambiente, enquanto as reações relatadas na literatura^{18c,47} ocorrem a temperaturas mais elevadas (50-90°C). Além disso, ainda podemos mencionar que quando utilizamos sais de diazônio o tempo de reação foi de 30 minutos, enquanto a reação de Heck tradicional, utilizando triflatos ou iodetos de arila, necessita de várias horas de reação (24-71 horas).

Estudo da variação do grupo protetor do átomo de nitrogênio.

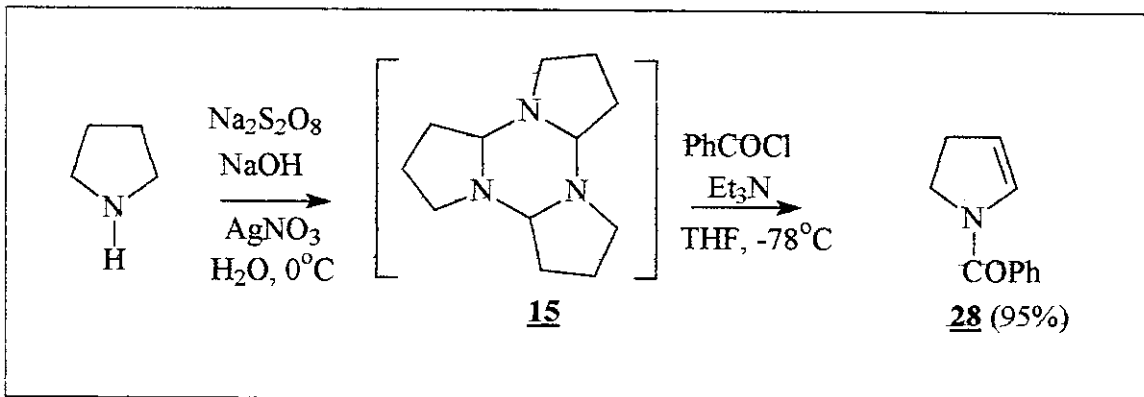
Baseados em resultados já obtidos no grupo de pesquisa⁴⁸ e na literatura^{49,50}, sabemos que a reação de Heck ocorre, em bons rendimentos, utilizando-se sais de diazônio com grupos retiradores de elétrons quando a ligação dupla da olefina não é rica em elétrons. Podemos encontrar um exemplo deste tipo de reação na síntese do bacioleno, desenvolvida em nosso grupo³⁸, utilizando como material de partida a *N*-acil-3-pirrolina. (esquema 34).

Isso nos sugeriu que para melhorarmos os rendimentos da reação, quando utilizamos sais de diazônio contendo grupos retiradores de elétrons, deveríamos modular a densidade eletrônica da ligação dupla da olefina, alterando o grupo protetor do átomo de nitrogênio.



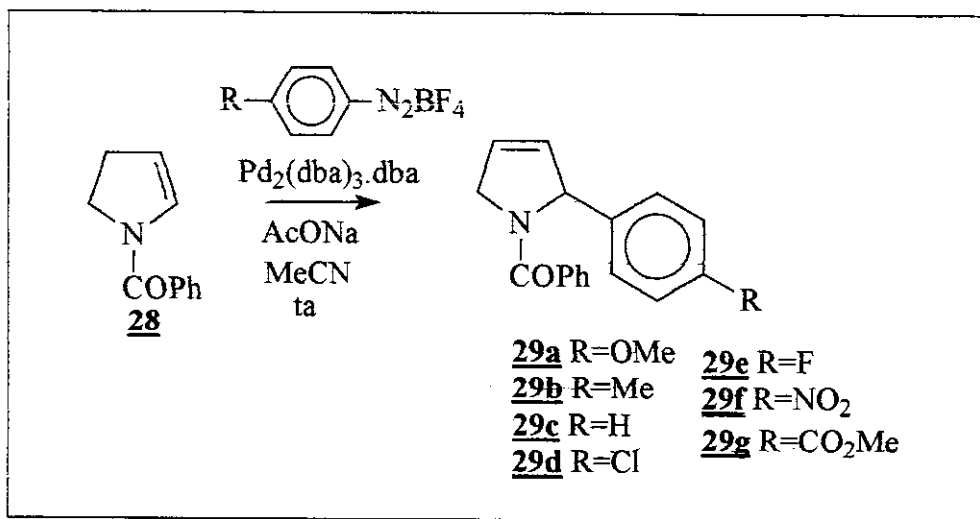
Esquema 34

Com a finalidade de obter-se *N*-acilenamidas menos ricas em elétrons preparamos a enamida **28**¹⁵, pelo método de Kraus^{39,40} em 95% de rendimento (esquema 35). A enamida **28** foi caracterizada por infravermelho, RMN H¹ e massa de alta resolução. Os dados obtidos conferem com os dados relatados por Holzapfel e Marais⁵¹, onde um multiplet em 7,40 ppm indica a presença dos hidrogênios do anel aromático do grupo protetor, os hidrogênios da ligação dupla aparecem na forma de dois multipletos em 6,40 e 5,13 ppm, os dois hidrogênios α ao átomo de nitrogênio aparecem como um triploto em 3,98 ppm e um multiplet em 2,65 ppm indica a presença dos dois hidrogênios α à ligação dupla.



Esquema 35

Submetemos a enamida **28**, às mesmas condições de reação utilizadas anteriormente (1 equivalente da olefina, 1 equivalente do sal de diazônio, 2 mol% de catalisador, 3 equivalentes da base em acetonitrila a temperatura ambiente por 30 minutos), utilizando 7 sais de diazônio diferentes (esquema 36).



Esquema 36

Podemos observar na tabela 6, que de maneira geral a enamida **28** se comportou de maneira muito semelhante ao enecarbamato **16**. Neste caso detectamos a formação de apenas um isômero em rendimentos ligeiramente superiores àqueles observados para os enecarbamatos.

Tabela 6 – Influência da variação do sal de diazônio na reação de Heck com a enamida **28**.

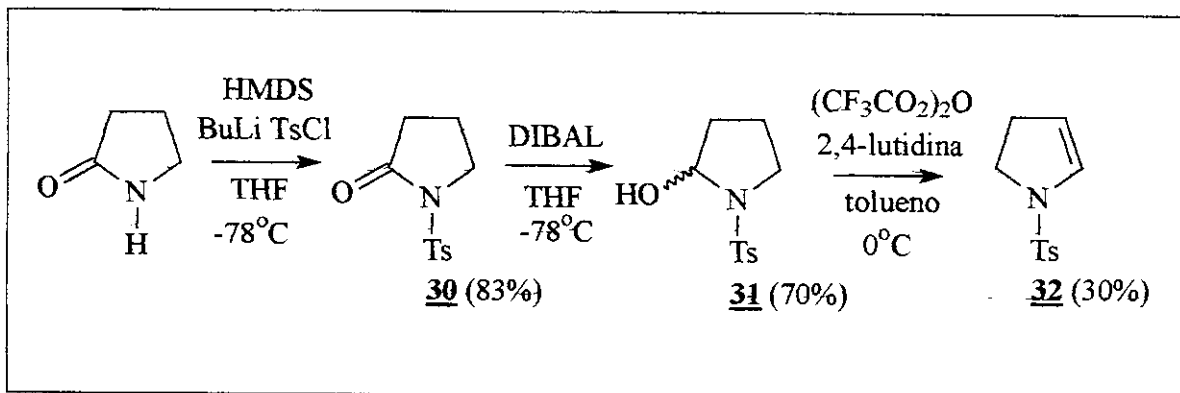
R	28 (equiv)	Sal Diaz. (equiv)	Pd ₂ (dba) ₃ (mol%)	29* (%)	Tempo (min)
OMe	1	1	2	85	30
Me	1	1	2	72	30
H	1	1	2	91	30
Cl	1	1	2	80	30
F	1	1	2	38	30
NO ₂	1	1	2	-	30
CO ₂ Me	1	1	2	-	30

*rendimentos isolados.

A enamida **28** reagiu com o *p*-metoxibenzenodiazônio formando o produto **29a** com 85% de rendimento. Quando utilizamos *p*-metilbenzenodiazônio o rendimento obtido foi de 72%, um rendimento um pouco maior do que foi obtido para o enecarbamato **16** (60%), mas ainda assim abaixo do esperado. Ocorreu um aumento no rendimento para 91% quando não utilizamos substituinte no anel benzênico do sal de diazônio. O produto **29d** foi obtido com 80% de rendimento, quando utilizamos um sal de diazônio com grupo retirador de elétrons (R=Cl), um rendimento bem maior do que o obtido na reação entre o enecarbamato **16** e o mesmo sal de diazônio (produto **21f** com 42% de rendimento) o que indica que nossa hipótese sobre a natureza eletrônica da olefina e sua reatividade com diferentes sais de diazônio encontra fundamentos. Aumentando a eletronegatividade do substituinte (R=F), o produto **29e** foi obtido com apenas 38% de rendimento (em realidade quadruplicando o rendimento em relação à mesma reação utilizando o enecarbamato **16**). Supomos que com o *p*-fluorobenzenodiazônio, o complexo catiônico de paládio está sendo pouco estabilizado, favorecendo reações paralelas. Quando utilizamos R= *p*-nitro e *p*-metoxicarbonil, mais uma vez não observamos a formação do produto desejado.

Todos os compostos **29** foram caracterizados por infravermelho, RMN H¹, C¹³, CG/EM e massa de alta resolução. De maneira geral os espectros são muito semelhantes entre si e quando comparados com os espectros compostos **21**.

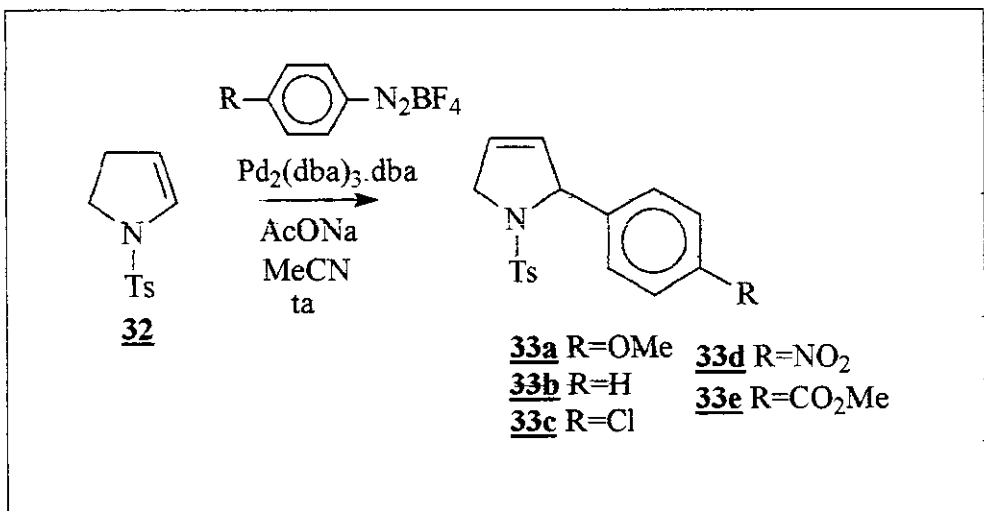
Notamos uma melhora significativa nos rendimentos quando diminuímos a densidade eletrônica da ligação dupla da olefina, mas esta diminuição de densidade eletrônica ainda não parece suficiente para favorecer o acoplamento entre a enamida e os sais de diazônio contendo grupos fortemente retiradores de elétrons, tais como o NO₂ e CO₂Me. Assim, partimos para síntese de uma olefina ainda menos rica em elétrons que a enamida **28**, a *N*-tosilenamina **32**^{52,53} (Esquema 37).



Partindo da 2-pirrolidinona, a *N*-tosilenamina **32** foi sintetizada através da proteção do átomo de nitrogênio utilizando hexametildisilazida de lítio e cloreto de tosila⁵². A lactama protegida **30**, foi obtida com 83% de rendimento. O composto **30** foi reduzido com DIBAL em THF^{43,53}, gerando o lactamol **31** com 70% de rendimento. Finalmente a olefina **32** foi obtida através da eliminação com anidrido trifluoracético⁴¹ com apenas 30% de rendimento.

A olefina **32** foi caracterizada por infravermelho, RMN H¹, C¹³ e CG/EM. Os dados obtidos conferem com os dados relatados por Somfai e Ahman⁵³.

Testamos a *N*-tosilenamina **32** frente a alguns sais de diazônio (esquema 38), utilizando as mesmas condições anteriores, (1 equivalente da olefina, 1-2 equivalentes do sal de diazônio, 2 mol% de catalisador, 3 equivalentes da base em acetonitrila a temperatura ambiente por 30 minutos).



Esquema 38

Tabela 7 – Influencia da variação do sal de diazônio na reação de Heck com **33.**

R	Sal Diaz. (equiv)	Pd ₂ (dba) ₃ (mol%)	Conv. (%)	33* (%)	Tempo (min)
OMe	2	2	100	82	120
H	2	2	100	83	120
Cl	2	2	86	80	120
NO ₂	2	2	15	-	120
CO ₂ Me	2	2	10	-	120

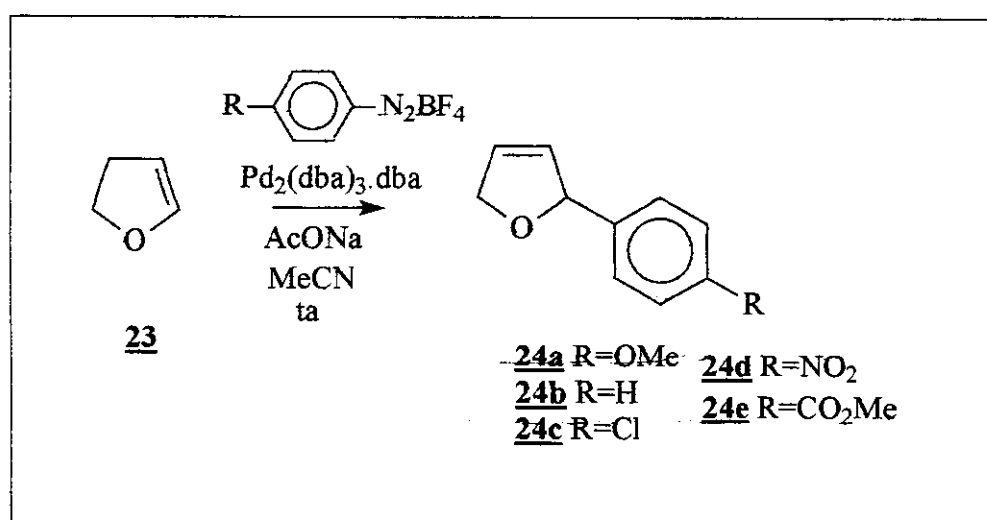
*rendimentos isolados. Conversão baseada na recuperação do material de partida.

A *N*-tosilenamina **32** mostrou-se muito menos reativa do que as olefinas utilizadas anteriormente, precisando de 2 equivalentes do sal de diazônio para produzir resultados equivalentes aos obtidos com as olefinas **16** e **28**. As reações foram acompanhadas por cromatografia de camada delgada (CCD). No início da reação, foi adicionado 1 equivalente do sal de diazônio. Após 1 hora, ainda observávamos a presença de grande quantidade do material de partida, então mais um equivalente de sal de diazônio foi adicionado ao meio, levando mais 1 hora para o completo consumo do material de partida. Quando utilizamos R= OMe e H, o produto foi formado com 82 e 83% de rendimento, respectivamente para os compostos **33a** e **33b**. Quando utilizamos o *p*-clorobenzenodiazônio nas mesmas condições de reação, recuperamos 14% do material de partida e o produto foi obtido com 80% de

rendimento sobre o material convertido. Mais uma vez, não foi possível o acoplamento entre a olefina 32 e os sais de diazônio com substituintes fortemente retiradores de elétrons ($R=p\text{-NO}_2$ e $p\text{-CO}_2\text{Me}$).

Os adutos de Heck obtidos utilizando a olefina 32 como material de partida, foram caracterizados por infravermelho, RMN H¹ e C¹³ e massa de alta resolução. Os espectros são bastante semelhantes entre si variando apenas pelo substituinte do anel aromático. No espectro de RMN H¹ do composto 32a, por exemplo, notamos dois doubletos: um em 7,50 ppm e outro em 6,81 ppm que indicam a presença dos hidrogênios do anel aromático proveniente da arilação, enquanto o duplodoubleto em 7,18 ppm indica a presença dos hidrogênios do anel aromático da tosila. Os hidrogênios da ligação dupla aparecem como dois multipletos em 5,79 e 5,63 ppm. O hidrogênio alílico α ao átomo de nitrogênio aparece em 5,50 ppm na forma de um multiplet. Um multiplet em 4,40-4,20 ppm indica a presença dos dois hidrogênios α ao átomo de nitrogênio. Os hidrogênios da metoxila aparece como um singuleto em 3,80 ppm e os hidrogênios da metila do grupo tosila aparecem em 2,39 ppm também na forma de um singuleto.

Completando o estudo relacionado a influência da densidade eletrônica da ligação dupla da olefina com diferentes sais de diazônio, efetuamos a mesma série de reações para o 2,3 diidofurano 23 (Esquema 39).



Esquema 39

Observando os dados da tabela 8, verificamos que olefinas ricas em elétrons como o 2,3-diidrofuranô **23** e o enecarbamatos **16**, não reagem com sais de diazônio deficientes eletrônicamente nas condições testadas. Diferentemente do enecarbamato **16**, o diidrofuranô **23** não forma o produto de Heck quando reage com o *p*-clorobenzenodiazônio, um resultado também inesperado.

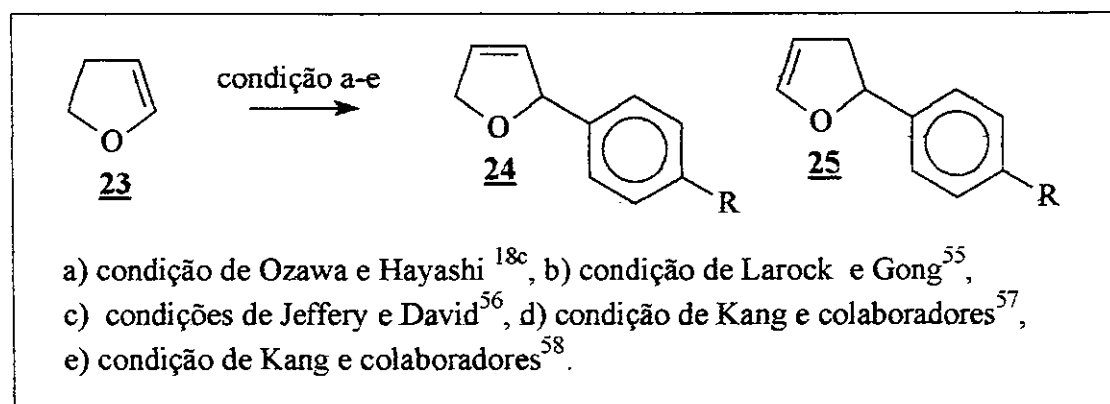
Tabela 8 - Variação do sal de diazônio na reação de Heck com o 2,3-diidrofuranô **23.**

R	23 (equiv)	Sal Diaz. (equiv)	Pd ₂ (dba) ₃ (mol%)	24* (%)	Tempo (min)
OMe	2	1	1	95	30
H	2	1	1	93	30
Cl	2	1	1	-	30
NO ₂	2	1	1	-	30
CO ₂ Me	2	1	1	-	30

*rendimentos isolados.

O composto **24b** foi caracterizado por CG/EM: 146 (M+); 115 (80%); 105 (100%); 77 (70%). Estes dados estão de acordo com os dados relatados por Pfaltz e colaboradores⁵⁴.

O 2,3-diidrofuranô foi muito utilizado como olefina em estudos da reação de Heck, principalmente utilizando triflatos e iodetos de arila (esquema 40).



Esquema 40

Tabela 9 – Reações de Heck relatadas na literatura, utilizando o diidrofuranô 23.

Autor	Larock ³⁵	Larock ³⁵	Larock ³⁵	Larock ⁵⁵	Jeffery ⁵⁶	Jeffery ⁵⁶	Kang ⁵⁷	Kang ⁵⁸
<u>23</u> (equiv.)	5	1	1	1	10	10	5	1,2
ArX (equiv.)	ArOTf	ArI	ArI	ArI	ArI	ArI	S.I.	S.C.
Base (equiv)	DIPEA (3)	KOAc (3)	-	KOAc (3)	-	KOAc (2)	E.P (3)	NaOMe (4)
Catalisador (mol%)	Pd(OAc) ₂ (3)	Pd(OAc) ₂ (2,5)	Pd(OAc) ₂ (3-4)	Pd(OAc) ₂ (2,5)	Pd(OAc) ₂ (5)	Pd(OAc) ₂ (5)	Pd(OAc) ₂ (5)	Pd ₂ (dba) ₃ CHCl ₃ (0,5)
Ligante (mol%)	BINAP (6)	-	PPh ₃ (9)	PPh ₃ (2,5)	-	-	-	-
Aditivo (equiv)	-	Bu ₄ NCl (1)	Ag ₂ CO ₃ (2)	Bu ₄ NCl (1)	Bu ₄ NCl (2)	Bu ₄ NCl (2)	-	-
Solvente	Benzeno	DMF	MeCN	DMF	DMF	DMF	AN/A(4:1)	M/A(4:1)
<u>24</u> (%)	11-29	66	100	-	100	-	100	100
<u>25</u> (%)	71-89	34	-	100	-	100	-	-
Rend. (%)	42-86	80	98	76	75-95	75-92	82	65-80
Tempo (h)	11-76	24	30	30	5-6	5-6	10min	2-10

DIPEA = *i*-Pr₂NEt; S.I.= Ph₂IBF₄; S.C.= RPhPb(OAc)₃; E.P.=esponja de prótons; AN/A= acetonitrila/água; M/A =metanol/água.

As condições utilizadas por Ozawa e Hayashi^{18a} seguem o mecanismo iônico, com a presença de uma fosfina como ligante, formando como produto majoritário 25 com rendimentos de moderados a excelentes.

Nas três condições utilizadas por Larock e Grong⁵⁵, apenas a segunda, onde os autores utilizam carbonato de prata, segue o mecanismo iônico, também na presença de fosfina, formando seletivamente o isômero 24. As demais condições utilizadas por estes autores seguem o mecanismo não iônico.

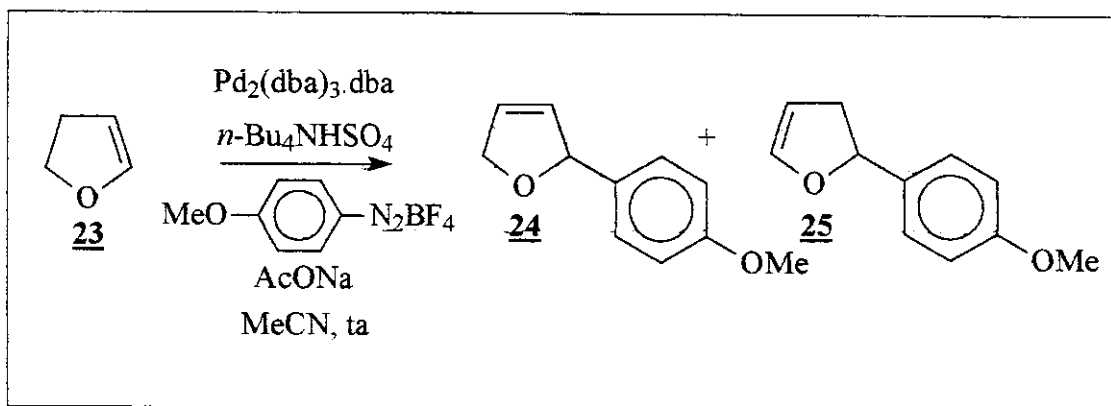
Jeffery e David⁵⁶, também utilizaram condições que seguem o mecanismo não iônico, direcionando a reação para a formação do isômero 24 ou 25. O sal de amônio quaternário é utilizado para estabilizar o complexo de paládio na ausência da fosfina como ligante.

As condições utilizadas por Kang e colaboradores^{57,58}, tanto empregando sais de iodônio, como compostos organochumbo, seguem o mecanismo iônico, formando como produto apenas o composto 24 em bons rendimentos.

Ao compararmos os nossos resultados com os relatados acima que seguem o mecanismo iônico, podemos dizer que as reações de Heck com sais de diazônio apresentam vantagens sobre as reações de Heck com iodetos e triflatos de arila, pois além de utilizarem apenas 1 equivalente da olefina, ainda estão livres de fosfinas, facilitando a operacionalidade do sistema, evitando condições anidras e desgaseificação dos solventes.

Quando comparamos os resultados obtidos por Kang e colaboradores^{57,58} com os nossos resultados, observamos resultados equivalentes, em relação a quantidade de olefina e a operacionalidade do sistema. A quantidade do catalisador utilizada pelo autor é de 0,5 mol%, bem menor do que a que utilizamos, porém nossos rendimentos são melhores.

Em vista dos resultados obtidos por Larock⁵⁵ e Jeffery⁵⁶ no controle da isomerização da dupla ligação do produto, efetuamos algumas tentativas para gerar o isômero 25, utilizando *n*-Bu₄NHSO₄ como aditivo, baseados principalmente nos resultados de Jeffery e colaboradores⁵⁶, na expectativa de que o sal de amônio estabilize o complexo de paládio catiônico, dificultando a descomplexação do hidropaládio da ligação dupla, favorecendo assim a isomerização da mesma (esquema 41 e tabela 10).



Esquema 41

Tabela 10 – Influência do $n\text{-Bu}_4\text{NHSO}_4$ como aditivo na reação de Heck.

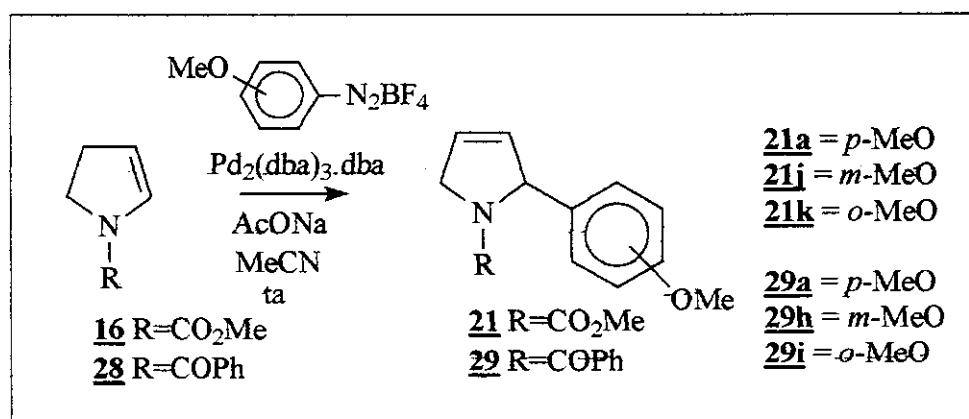
<u>23</u> (equiv)	Bu_4NHSO_4 (equiv.)	<u>24</u> (%)	<u>25</u> (%)	Rend*. (%)	Tempo (h)	T (°C)
10	2,5	42	58	94	5,5	25
5	2,5	49	51	95	5,5	25
2	2,5	70	30	70	5,5	25
1,5	2,5	83	17	43	5,5	25
5	2,0	64	36	37	13	25
5	0,5	92	8	98	5	25
5	0,5	62	38	22	5	100
5 ^a	2,0	38	62	76	5	25

*rendimentos isolados. a) 5mol% $\text{Pd}(\text{OAc})_2$ em DMF

Utilizando (0,5-2,5 equiv.) de $n\text{-Bu}_4\text{NHSO}_4$, observamos apenas a formação da mistura de produtos 24 e 25. Conseguimos promover a isomerização da ligação dupla, mas não foi possível a isomerização total, levando apenas ao isômero 25. O maior grau de isomerização obtido foi quando utilizamos $\text{Pd}(\text{OAc})_2$ em DMF, gerando uma mistura 1:1,6 dos compostos 24:25.

Variação da posição do substituinte no anel benzênico do sal de diazônio.

Investigando ainda a influência do substituinte do sal de diazônio na reação de Heck, estudamos a posição do substituinte no anel benzênico. Tratamos o enecarbamato 16 e a enamida 28 com tetrafluoroborato de *orto*, *meta* e *p*-metoxibenzenodiazônio (esquema 42, tabela 11).



Esquema 42

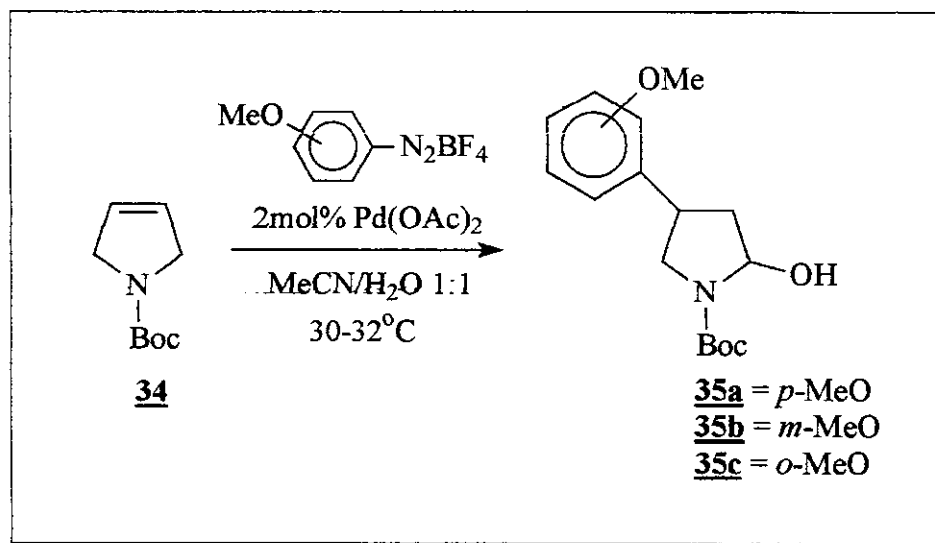
Tabela 11 – Influência da posição do substituinte do sal de diazônio na reação de Heck.

R	R ₁	Sal Diaz	Rend*	Tempo	T
		(equiv.)	(%)	(min)	(°C)
<u>16</u>	<i>o</i> -MeO	1	36	30	25
<u>16</u>	<i>o</i> -MeO	1	25	30	40
<u>16</u>	<i>o</i> -MeO	1,5	86	30	30
<u>16</u>	<i>m</i> -MeO	1	18	30	25
<u>16</u>	<i>m</i> -MeO	1	18	30	40
<u>16</u>	<i>m</i> -MeO	1,5	19	30	30
<u>16</u>	<i>p</i> -MeO	1	86	30	25
<u>28</u>	<i>o</i> -MeO	1	72	30	25
<u>28</u>	<i>m</i> -MeO	1	25	30	25
<u>28</u>	<i>p</i> -MeO	1	75	30	25

*rendimentos isolados.

Realizamos uma série de experimentos, variando alguns parâmetros como temperatura de reação e quantidade de sal de diazônio, buscando melhorar o rendimento da reação (tabela 11).

Observando a tabela 11, notamos a importância da posição do substituinte no anel benzênico para estabilização do complexo catiônico durante a reação de Heck. Quando utilizamos o *p*-MeO, necessitamos de 1,5 equivalentes de sal de diazônio para obtermos um rendimento comparável ao *p*-MeO. Acreditamos que a metoxila na posição *ortho* e *para* ative o anel benzênico eletronicamente, estabilizando o complexo catiônico de paládio, favorecendo a reação de Heck. Quando a metoxila se encontra na posição *meta*, esta ativação eletrônica deve ser de menor intensidade, favorecendo em menor extensão o acoplamento e produzindo reações paralelas, reduzindo o rendimento. A despeito dessas considerações, esses são resultados que nos surpreenderam visto que mesmo com o grupo doador em meta, deveríamos observar uma certa estabilização do intermediário paládio catiônico, o que deveria favorecer a arilação quando comparado ao benzenodiazônio, cujo rendimento da arilação é de 80 e 91% respectivamente para o enecarbamato **16** (tabela 5) e enamida **28** (tabela 6).



Esquema 43

Um estudo semelhante de variação do substituinte no anel benzênico do mesmo sal de diazônio utilizando como olefina a 3-pirrolina **34**, realizado pelo grupo de pesquisa

(esquema 43, tabela 12)⁵⁹, mostra que o menor rendimento (57%) foi obtido quando foi utilizado o tetrafluoroborato de *o*-metoxibenzenodiazônio, obtendo o composto **35c**. Isto pode ser explicado por efeito estereo da metoxila na formação do complexo de paládio catiônico, enquanto os outros dois isômeros **35a** e **35b** são formados com 73 e 78% de rendimento respectivamente.

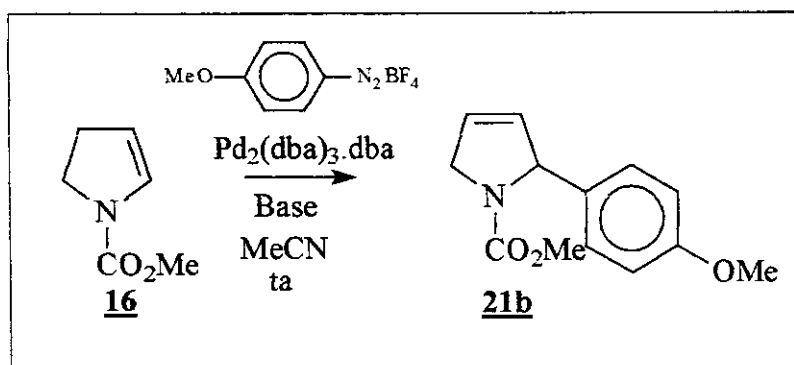
Tabela 12 – Influência da posição do substituinte do sal de diazônio na reação de Heck.

34 (equiv.)	R	Sal Diaz (equiv.)	Rend* (%)	Tempo (min)	T (°C)
1	<i>p</i> -MeO	2	73	180	30-32
1	<i>m</i> -MeO	2	78	150	30-32
1	<i>o</i> -MeO	2	57	240	30-32

* rendimentos isolados.

Estudo da base utilizada no ciclo catalítico.

Com a intenção de conhecer, com maior profundidade, o ciclo catalítico da reação de Heck, avaliamos os efeitos da base. Na literatura encontramos vários estudos sobre a importância da base na reação de Heck tradicional^{18b, 60, 61} e efetuamos um estudo semelhante para as nossas condições. (esquema 44).



Esquema 44

Submetemos o enecarbamato **16** a algumas reações utilizando as bases mais empregadas em reações de Heck e disponíveis em nosso laboratório (tabela 13).

Tabela 13 – Influência da base na reação de Heck.

Base	pKa	Rend*	Tempo	T
		(%)	(min)	(°C)
AcONa	3,5	86	30	25
NaHCO ₃	~7,0	-	30	25
Et ₃ N	~10,0	-	30	25
Cs ₂ CO ₃		-	30	25

*rendimentos isolados.

Confirmamos que para as condições utilizadas por nós, a base mais indicada é o acetato de sódio, mesmo esta sendo pouco solúvel em acetonitrila. As demais bases testadas não fornecem produtos de acoplamento de Heck nas condições utilizadas.

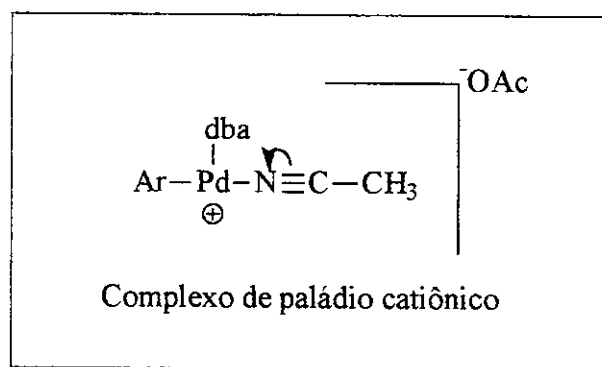
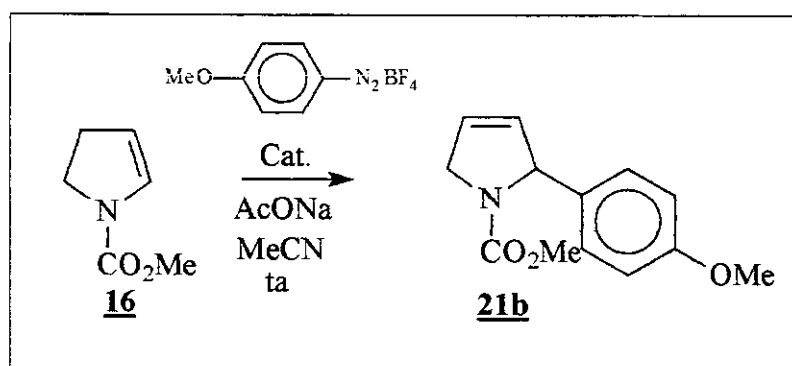


Figura 2

Sabemos que a base possui um papel importante no ciclo catalítico da reação de Heck na etapa de regeneração do catalisador. Provavelmente a base não participe da reação como ligante do paládio, pois a reação ocorre em acetonitrila (MeCN), que pode atuar como um ligante melhor do que o acetato (OAc). Este íon acetato, também pode atuar como contra-íon ao complexo de paládio catiônico (figura 2).

Estudo da influência do catalisador na reação de Heck.

Investigamos também a influência do acetato de paládio, o catalisador mais utilizado na reação de Heck tradicional, nas nossas condições de reação (esquema 45).



Esquema 45

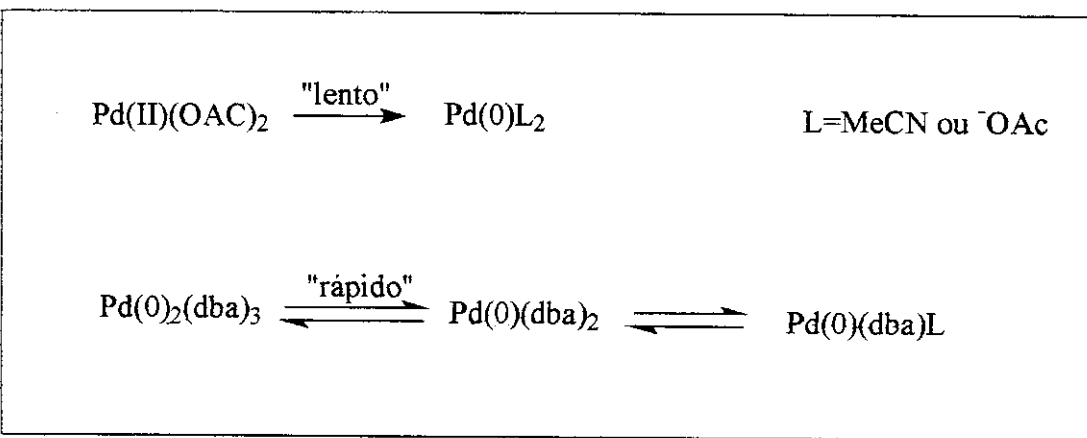
Tabela 14 – Estudo da influência do catalisador na reação de Heck.

Catalisador	Catalisador (mol%)	Rend*	Tempo (min)	T (°C)
Pd ₂ (dba) ₃ .dba	2	86	30	25
Pd(OAc) ₂	5	88	120	25
Pd(OAc) ₂	5	60	120	40

*rendimentos isolados.

A troca do catalisador não parece provocar mudanças significativas nos rendimentos da reação, mas sim no tempo total de reação. Devemos considerar que utilizando Pd₂(dba)₃.dba, a reação ocorre mais rapidamente. Isto pode estar ocorrendo, pois o Pd₂(dba)₃.dba é Pd(0) e pode ser utilizado prontamente no ciclo catalítico, enquanto o Pd(OAc)₂ é Pd(II) e precisa ser reduzido. A redução do Pd(II) pode ocorrer gradativamente, não liberando todas as partículas de paládio(0) simultaneamente, retardando a reação.

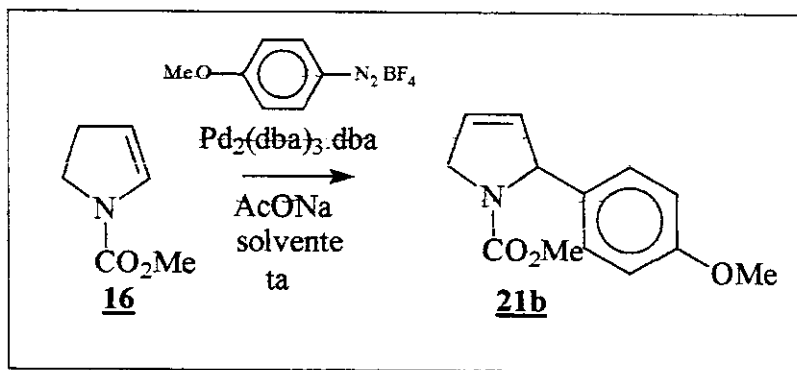
A única diferença entre as duas espécies catalíticas ativas é a aparente presença de uma molécula de dba (dibenzilidenoacetona) na esfera de coordenação do Pd(0)^{1d} (esquema 46).



Esquema 46

Esses resultados indicam que se o Pd(0) tiver apenas acetonitrila na sua esfera de coordenação, a reação é mais lenta (ciclo catalítico com menor número de “turnover”) do que aquela onde o Pd(0) tem uma molécula de dba na sua esfera de coordenação. Isto é importante, desde que todo o Pd(OAc)₂ seja convertido em Pd(0), pois a maior lentidão na reação com Pd(OAc)₂ pode gerar uma menor disponibilidade de Pd(0), do que quando se utiliza Pd₂(dba)₃.dba, que já é fonte de Pd(0).

Estudo da influência do solvente na reação de Heck.



Esquema 47

Com a intenção de continuar investigando com maior profundidade o ciclo catalítico da reação, resolvemos realizar um estudo de solventes, pois como se trata de um ciclo

catalítico com paládio “nucleofílico” a utilização de solventes coordenantes pode influenciar na velocidade de reação.

Como observamos no esquema 46, acreditamos que o segundo ligante do complexo de paládio seja uma molécula de solvente. Assim, esta molécula de solvente poderia auxiliar na estabilização do complexo de paládio catiônico. Para confirmar esta hipótese, realizamos um estudo de efeito de solvente. Devido as nossas condições de reação optamos pela utilização de solventes polares (DMA, DMF, MeCN, NMP, H₂O) (esquema 47).

Tabela 15 – Estudo da influência do solvente na reação de Heck.

Solvente	Proporção	Rend*	Tempo	T
		(%)	(min)	(°C)
THF	100	10	30	25
AN	100	86	30	25
NMP	100	16	180	25
DMF	100	-	30	25
DCM	100	3	30	25
BN	100	84	30	25
BMI.BF ₆	100	3	30	25
AN/DMA	75/25	10	90	25
AN/DMA	95/5	60	90	25
AN/NMP	75/25	9	180	25
AN/NMP	90/10	65	180	25
AN/H ₂ O	50/50	7	40	25
AN/H ₂ O	90/10	45	30	25
AN/Tol	80/20	32	30	25

*rendimentos estimados por CG através de padrão interno (benzofenona).

AN= acetonitrila; DMA= dimetilacetamida; NMP= N-metilpirrolidinona, Tol= tolueno;

DMF= dimetilformamida; DCM= diclorometano; BN= benzonitrila;

BMI.BF₆= Hexafluoroborato de 1-butil-3-metilimidazolio.

Iniciamos este estudo utilizando amidas como solvente (DMA, NMP e DMF) com a intenção de estabilizar o complexo de paládio visando provocar a isomerização da ligação dupla, visto que estes solventes são muito utilizados na reação de Heck tradicional. No entanto, o uso destes solventes levou a baixos rendimentos do produto primário. Investigando os motivos destes baixos rendimentos na literatura, encontramos alguns estudos sobre a desdiazotização de sais de diazônio^{62,63,64}, que ocorre em bons rendimentos quando o sal de diazônio é adicionado a estes solventes. Geralmente a desdiazotização ocorre por um processo radicalar^{62,63,64}, formando o radical Ar·, que pode ser capturado pelo ácido iodoacético, formando o iodeto de arila⁶². Além deste processo, devem ocorrer outras reações paralelas, fazendo com que a reação produza diversos produtos, o que atrapalha enormemente a caracterização dos demais produtos.

Os resultados apresentados na tabela 15 nos mostram que os melhores solventes para o nosso sistema são a acetonitrila e a benzonitrila, que devem estabilizar o complexo catiônico de paládio, levando ao produto de Heck em ótimos rendimentos em curtos períodos de tempo (figura 3).

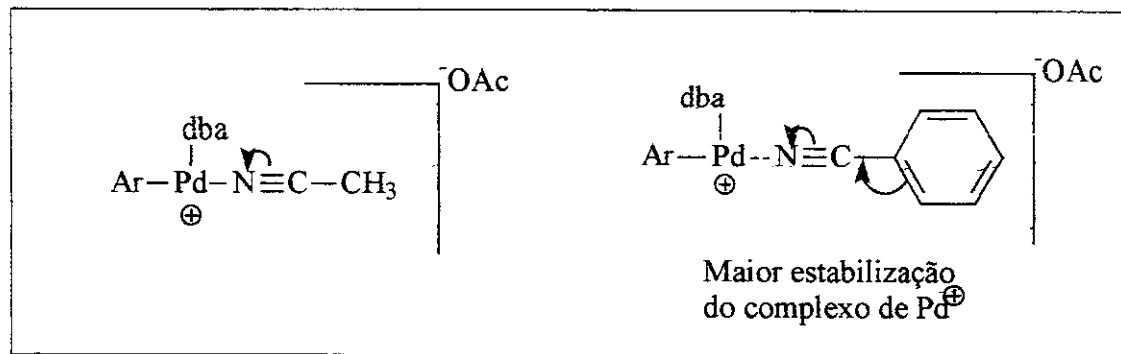
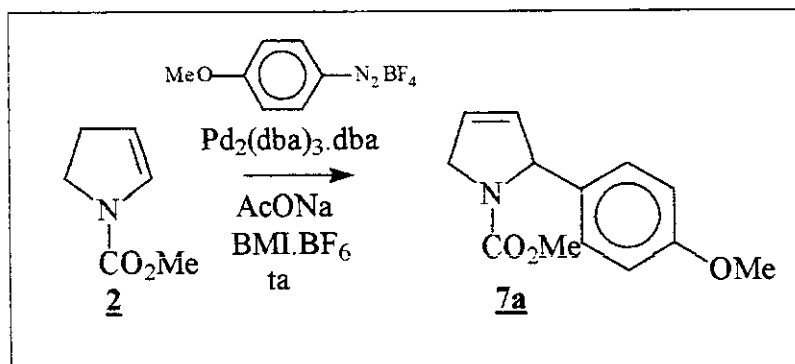


Figura 3

Gagne e colaboradores⁶⁵, utilizaram benzonitrilas para estabilizar catalisadores de platina e paládio em reações de Diels-Alder, pois estes catalisadores sem benzonitrilas e nitrilas complexadas são muito higroscópicos. Entretanto, os autores observaram que a benzonitrila estava inibindo a reação de Diels-Alder em muitos casos. O problema foi resolvido, quando benzonitrilas foram previamente incorporadas ao catalisador. Não observamos este tipo de problema quando utilizamos a benzonitrila, pois a conversão do material de partida em produto foi completa e os rendimentos equivalentes.

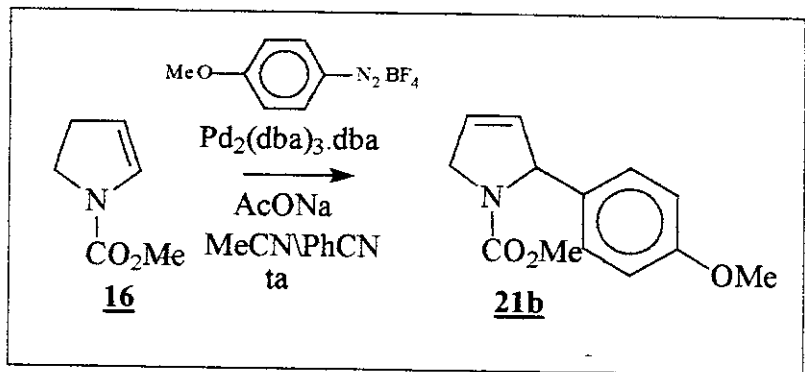
De acordo com a literatura^{66,67} arilações de Heck de olefinas ricas em elétrons catalisadas por paládio ocorrem em rendimentos moderados, utilizando o líquido iônico como solventes. Mas não obtivemos sucesso na reação de Heck com sais de diazônio em líquido iônico (BMI.BF₄), obtendo-se o produto desejado em apenas 3% de rendimento (esquema 48).



Esquema 48

Quando utilizamos a mistura de solventes AN /NMP (90/10), o rendimento obtido foi apenas razoável 65%, e o tempo de reação aumentou para 180 minutos, 6 vezes maior que o necessário para reação utilizando 100% de acetonitrila. Quando utilizamos 95/5 acetonitrila/ dimetilacetamida obtivemos um rendimento um pouco menor de 60%, mas o tempo de reação foi reduzido para 90 minutos.

Observamos que em todas as reações de Heck efetuadas em acetonitrila ou em outro solvente, a precipitação do paládio coloidal ocorria a medida em que a reação se processava, deixando o meio reacional escuro. Quando utilizamos a benzonitrila, não observamos o escurecimento imediato do meio e verificamos, que mesmo 24 horas após o término da reação, o paládio ainda estava ativo, mostrando que a benzonitrila realmente estabiliza o complexo de paládio catiônico, fazendo com que ele permanecesse ativo por muito mais tempo, sem influenciar muito no tempo da reação. Porém, a utilização da benzonitrila como solvente pode ser problemática na purificação do produto, já que a benzonitrila é um líquido viscoso de alto ponto de ebulição e de odor irritante.



Esquema 49

Tabela 16 – Estudo da influência da benzonitrila na reação de Heck.

Pd ₂ (dba) ₃ .dba (mol%)	MeCN/PhCN	Rend* (%)	Tempo (min)	T (°C)
2	0/100	84	30	25
2	50/50	61	30	25
2	93/7	67	30	25
2	96/4	88	30	25
1	96/4	64	30	25
1	96/4	80	60	25
0,5	96/4	73	60	25

*rendimentos calculados por CG através do uso de padrão interno (benzofenona).

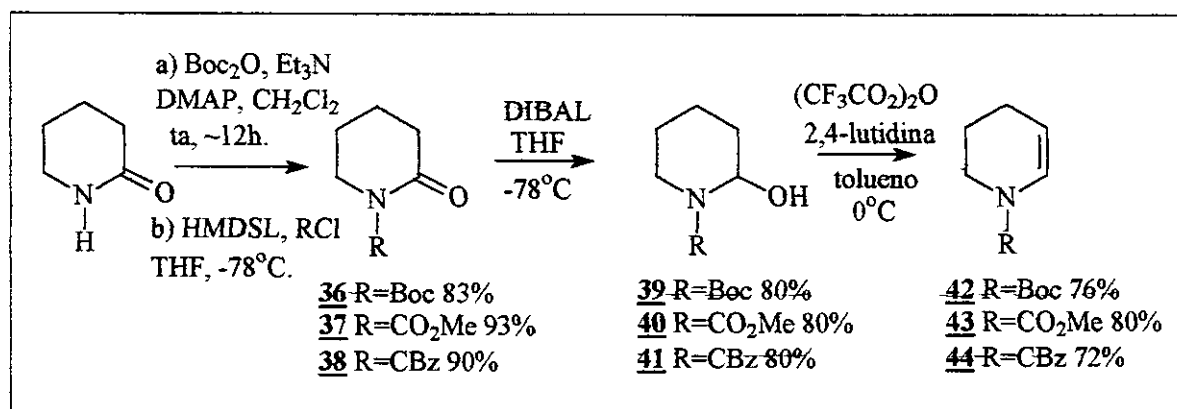
Assim, realizamos alguns experimentos buscando otimizar as condições de reação (esquema 47, tabela 15). Primeiramente testando misturas de acetonitrila e benzonitrila e em seguida, diminuindo a quantidade do catalisador (esquema 49, tabela 16).

Observando a tabela 16 verificamos que é possível utilizar a benzonitrila como um aditivo na reação de Heck, diminuindo a quantidade de catalisador utilizada de 2 para 0,5 mol%, aumentando o tempo de reação de 30 para 60 minutos. Durante estes experimentos observamos um ligeiro escurecimento do meio reacional ao longo do tempo de reação, enquanto nos experimentos onde utilizamos apenas a acetonitrila como solvente, notamos um escurecimento imediato do meio. Este resultado parece confirmar a nossa hipótese de que uma molécula de solvente participe do complexo de paládio catiônico como ligante.

Estudo da reação de Heck com enecarbamatos endocíclicos de 6 membros.

Visto que, diferentemente da literatura, os anéis de 5 membros formam quase que exclusivamente um regioisômero, resolvemos verificar se a reação de Heck envolvendo enecarbamatos de 6 membros e sais de diazônio, também conduziriam a formação de um único regioisômero.

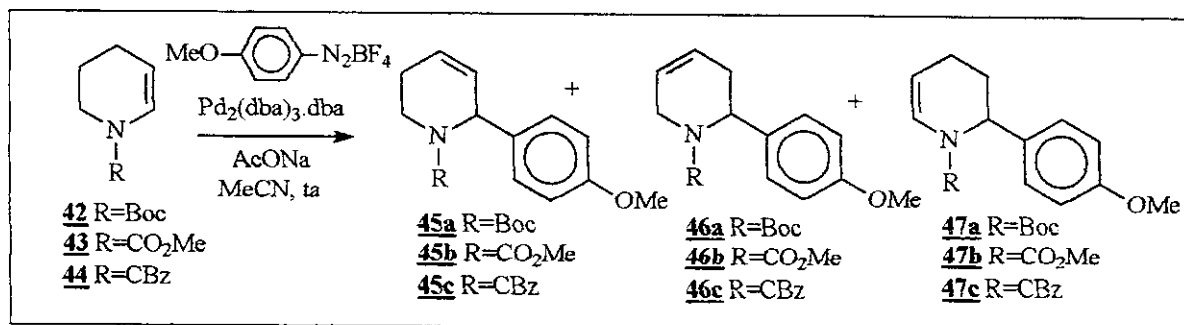
De maneira análoga aos anéis de 5 membros, sintetizamos 3 enecarbamatos de 6 membros. Partimos da δ -valerolactama, que foi protegida com Boc^{42b}, CO₂Me⁴¹ e CBz⁴¹. Quando a lactama foi protegida com Boc, utilizamos o dicarbonato de di-*terc*-butila, DMAP em acetonitrila a temperatura ambiente por uma noite^{42b}, obtendo a lactama protegida **36** em 83% de rendimento. A proteção da lactama com carbometóxi e carbobenzilóxi foi efetuada utilizando hexametildisilazida de lítio e o cloroformiato correspondente em THF a -78°C durante 3 horas⁴¹. O rendimento obtido para as lactamas **37** e **38** foram de 93 e 90% respectivamente. Em seguida as lactamas protegidas foram tratadas com DIBAL em THF a -78°C durante 2 horas, obtendo-se os lactamóis correspondentes em bons rendimentos (80%)⁴³. Os lactamóis foram submetidos a condições de eliminação com 2,4-lutidina, anidrido trifluoroacético em tolueno a 0°C por uma noite e posteriormente aquecido a refluxo por 20 minutos, gerando os enecarmatos **42**, **43** e **44** em bons rendimentos (esquema 50)⁴¹.



Esquema 50

De maneira análoga aos enecarbamatos de 5 membros, submetemos os enecarbamatos **42**, **43** e **44** as condições de Heck utilizando 1 equivalente da olefina, 1

equivalente do tetrafluoroborato *p*-metoxibenzenodiazônio, $\text{Pd}_2(\text{dba})_3\text{.dba}$ e 3 equivalentes de acetato de sódio em acetonitrila a temperatura ambiente (esquema 51). Buscando otimizar as condições de reação, variou-se a quantidade de catalisador e a quantidade da olefina, como podemos observar na tabela 17, 18 e 19.



Esquema 51

A análise da reação por cromatografia gasosa (CG), indicou a formação de 3 compostos, decorrentes da isomerização da ligação dupla, embora estes apareçam em CCD como uma única mancha. Esses compostos foram analisados por CG/EM, onde os 3 sinais apresentaram o mesmo íon molecular, mas a fragmentação apresentava intensidades diferentes, mostrando que poderiam ser isômeros.

Tabela 17 – Reação de Heck utilizando o enecarbamato **42**.

42 (equiv)	S.D. (equiv)	Pd₂(dba)₃ (mol%)	45a	46a	47a	Rend.* (%)	Conv. (%)	Tempo (min)
1	1	0,5	55	27	18	70	52	60
1	1	1,0	36	22	42	94	88	60
1	1	1,5	30	20	50	95	94	60
1	1	2,0	27	19	54	95	100	60
1	1	1,0	44	39	17	90	87	240

*rendimentos isolados e proporções relativas avaliadas por CG. A conversão baseada no material de partida recuperado.

Tabela 18 – Reação de Heck utilizando o enecarbamato **43**.

43 (equiv.)	S.D. (equiv.)	Pd ₂ (dba) ₃ (mol%)	45b	46b	47b	Rend.* (%)	Conv. (%)	Tempo (min)
1	1	0,5	24	61	15	15	41	30
1	1	1,0	64	26	13	25	50	30
1	1	1,5	59	30	11	60	56	30
1	1	2,0	71	20	9	60	68	30
1	1	2,5	64	30	6	75	87	30
1	1	3,5	63	30	6	73	71	30
2	1	1,5	47	40	13	40	-	30
1	1	1,5	68	22	10	40	66	60
1	1	1,5	77	16	8	32	70	240

*rendimentos isolados e proporções relativas avaliadas por CG. A conversão baseada no material de partida recuperado.

A mistura de compostos **45a**, **46a** e **47a** foi submetida à cromatografia *flash*, empregando 5% de AgNO₃, onde conseguimos separar o composto **47a** que foi devidamente caracterizado. No espectro de RMN H¹ de **47a**, podemos observar os prótons da ligação dupla em 6,95 ppm na forma de um singuleto largo e 5,35 ppm na forma de dois singletos largos e no espectro de infravermelho observamos um sinal em 1651 cm⁻¹, sinal característico da dupla ligação de enecarbamatos.

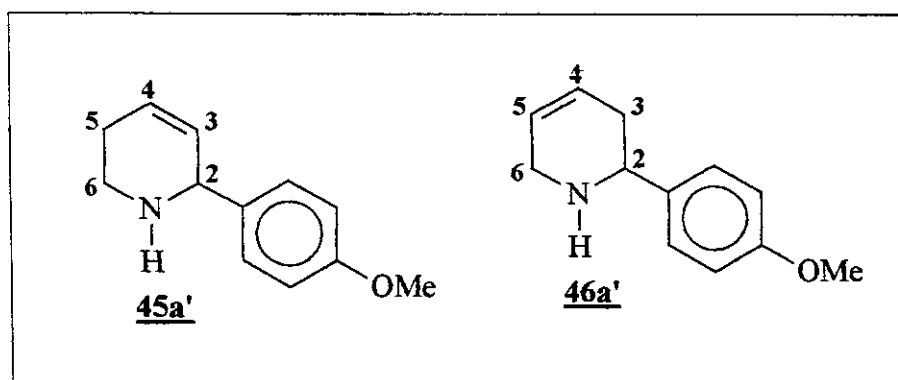


Figura 4

A mistura de compostos **45a** e **46a** foi então submetida a reação de desproteção do átomo de nitrogênio com ácido trifluoracético em diclorometano por 3 horas, formando uma mistura de aminas insaturadas. Através de uma nova cromatografia *flash* utilizando 5% de AgNO₃, conseguimos separar o composto **45a'** e caracterizá-lo, enquanto o composto **46a'** continuou contaminado pelo composto **45a'**. Este último foi caracterizado através de um espectro de RMN H¹ da mistura **45a'/46a'**, subtraindo-se os sinais referentes ao composto **46a'**. Diferenciamos os dois compostos através do espectro de RMN COSY, onde para o composto **45a'**, observamos a interação do multiplet em 6,12 ppm relativo a (H-4), interagindo com o duplo dubbleto em 5,74 ppm relativo a (H-3) e interagindo ainda com multiplet em 2,48-2,35 ppm relativo aos dois hidrogênios (H-5). O (H-3), por sua vez, interage com o singlet em 4,88 ppm relativo a (H-2). Para o composto **46a'**, observamos que o multiplet em 6,05 ppm é relativo ao hidrogênio (H-4), que interage com o multiplet em 5,70 ppm relativo ao (H-5), e ainda interage com o multiplet em 2,40 ppm relativo ao (H-3). O (H-5) interage com o multiplet em 3,45 ppm relativo ao (H-6) e o (H-3) interagem com o multiplet em 4,20 ppm relativo ao (H-2).

Tabela 19 – Reação de Heck utilizando o enecarbamato **44**.

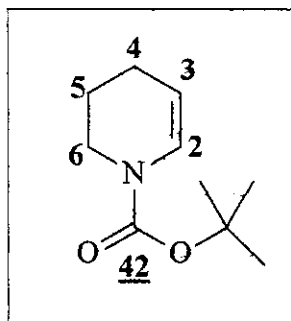
44 (equiv)	S.D. (equiv)	Pd ₂ (dba) ₃ (mol%)	45c	46c	47c	Rend.* (%)	Conv. (%)	Tempo (min)
1	1	0,5	68	21	11	44	12	45
1	1	1,0	69	24	8	5	30	45
1	1	1,5	63	27	10	47	49	45
1	1	2	67	25	8	53	57	45
1	1	2,5	66	24	10	63	58	45
1	1	1	70	22	8	73	46	210

*rendimentos isolados e proporções relativas avaliadas por CG. A conversão baseada no material de partida recuperado.

Os compostos **45b** e **47b** foram isolados e caracterizados, já o composto **46b** foi obtido como uma mistura **45b/46b** e foi identificado por diferença de espectros. Também utilizamos espetros de RMN gCOSY para diferenciarmos os compostos **45b** e **46b**. Os

espectros se mostraram semelhantes aos obtidos para os compostos 45a, 46a e 47a. Já os compostos 45c, 46c e 47c foram caracterizados como mistura, fazendo analogia aos espectros dos compostos semelhantes já caracterizados.

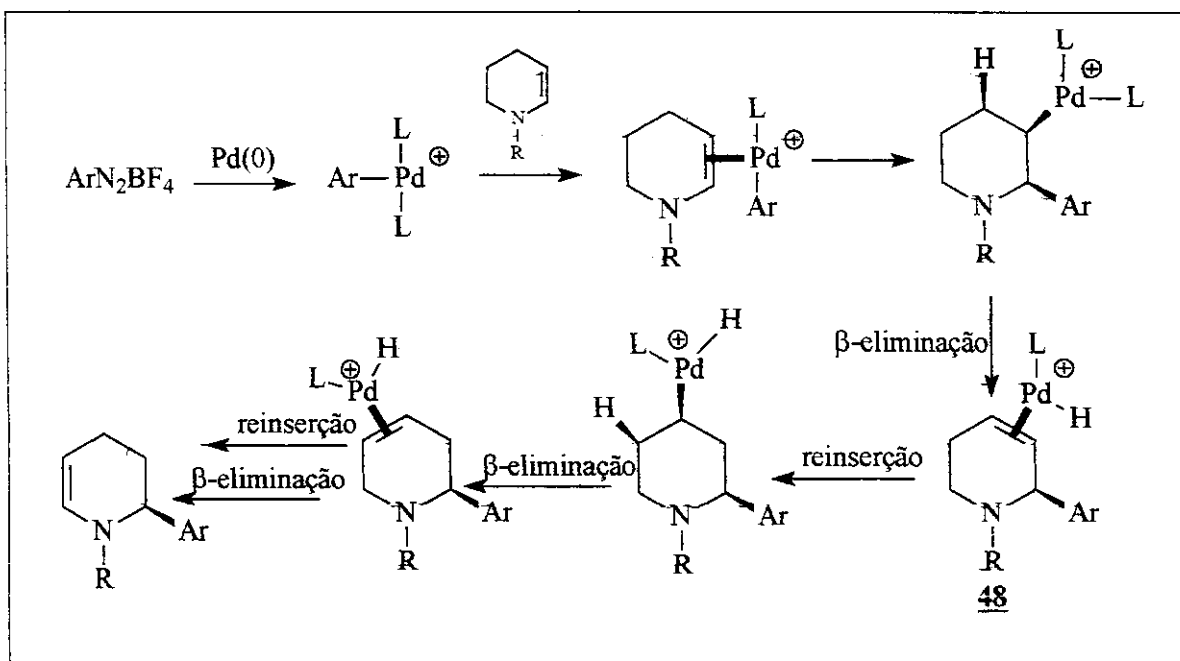
Pudemos observar que para os 3 casos obtivemos a formação dos 3 possíveis regioisômeros, sendo para a reação de Heck com o enecarbamato 42 o produto majoritário foi 47a (enenecarbamato), enquanto para os enecarbamatos 43 e 44, os produtos majoritários foram 45b e 45c (produtos primários da arilação de Heck), respectivamente. Os melhores resultados nas tabelas 17, 18 e 19 estão destacados em negrito.



O fato do enecarbamato 42 propiciar um grau de isomerização maior da ligação dupla pode estar relacionado ao grupo de proteção do átomo de nitrogênio. Como a *t*-butila do Boc é mais volumosa que a metila ou a benzila, este grupo pode possuir interações estéreas com os carbonos (C-2) e (C-6) do enecarbamato. Essa interação dificulta o posicionamento da carbonila no plano formado por (C-6)-N-(C-2), condição necessária para a conjugação do par de eletrôns do nitrogênio com o carbono carbonílico. Isto faz com que o caráter sp^3 da ligação N-C_{carbonílico} aumente, o que pode ser evidenciado por sua menor barreira rotacional, (barreira rotacional para R=Boc é de 4,7-5,4 kcal.mol⁻¹, para R=CO₂Me é de 8,6-8,7 kcal.mol⁻¹ e para R=CBz é de 10,3-10,5 kcal.mol⁻¹)⁶⁸.

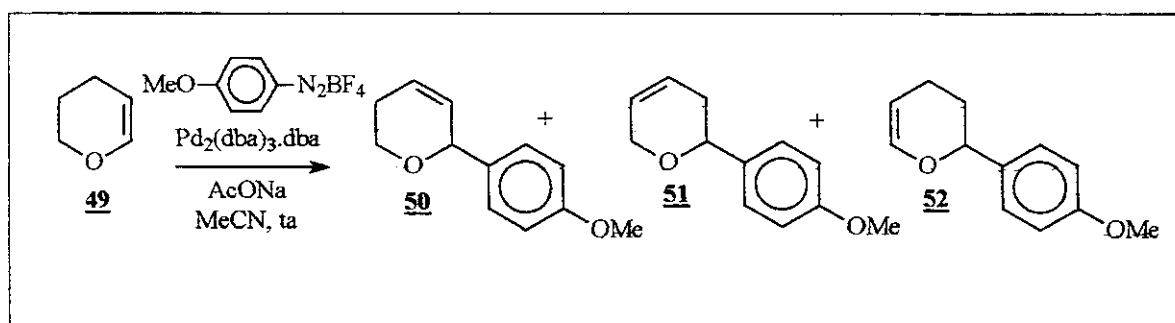
Quando R=CBz, observamos uma baixa conversão do enecarbamato nos produtos de Heck, mas não temos uma boa justificativa porque isto está ocorrendo.

Fazendo uma analogia com a literatura⁴⁶, imaginamos que a arilação/isomerização ocorre como mostrado no esquema 52. A adição do organopaládio à ligação dupla fornece um intermediário instável 48. A posterior readição e reeliminação do paládio faz com que a dupla ligação migre para outras posições no anel.



Esquema 52

Com a intenção de completar o estudo da reação de Heck para anéis de 6 membros, submetemos o 3,4 diidropirano **49** às condições de reação desenvolvidas pelo grupo de pesquisa (esquema 53). Realizamos mais uma vez, uma série de experimentos variando parâmetros como quantidade de catalisador e quantidade de olefina.



Esquema 53

Nestes experimentos observamos também a formação de 3 produtos regioisoméricos, sendo **50** o majoritário. Os rendimentos obtidos com o 2,3-diidrofurano foram bem melhores que os obtidos com os enecarbamatos, com apenas 1 mol% do

catalisador. Também não encontramos grandes dificuldades em separar os 3 isômeros por cromatografia “flash”.

Tabela 20 – Reação de Heck utilizando o 3,4-diidropirano **49**.

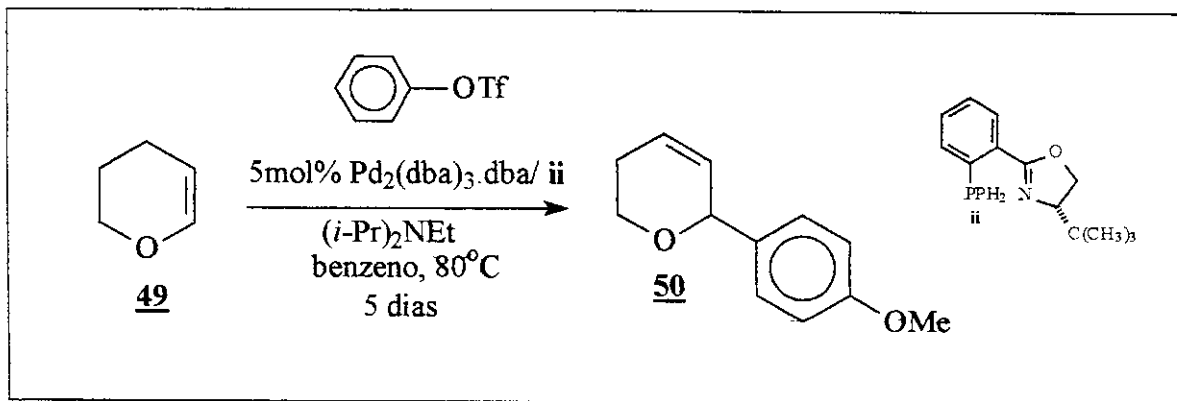
49 (equiv)	S.D. (equiv)	Pd ₂ (dba) ₃ (mol%)	50	51	52	Rend.* (%)	Tempo (min)
1	1	0,5	44	50	6	24	60
1	1	0,5	65	31	4	28	120
1,5	1	0,5	46	44	10	25	60
1,5	1	1,0	49	40	11	47	60
1,5	1	1,5	57	30	13	59	60
1,5	1	2,0	55	34	11	85	60
3	1	0,5	29	67	4	27	60
3	1	1,0	52	32	16	80	60

*rendimentos isolados e proporções relativas estimadas por CG.

Como já observamos anteriormente, a medida em que aumentamos a quantidade do catalisador, notamos um aumento no rendimento da reação. Sendo o 3,4-diidropirano muito volátil, utilizamos 3 equivalentes para garantirmos uma boa quantidade da olefina no meio reacional. A melhor condição neste estudo está destacada em negrito na tabela 20.

Os compostos **50**, **51** e **52** forma caracterizados por infravermelho, RMN H¹ e C¹³, CG/EM e massa de alta resolução. O composto **52** é identificado facilmente identificado por infravermelho devido à presença de um sinal significativo em 1651 cm⁻¹ relativo da ligação dupla α ao átomo de oxigênio. Para identificarmos os compostos **50** e **51** utilizamos espectros de RMN COSY, em analogia à identificação dos compostos **45a**, **46a**.

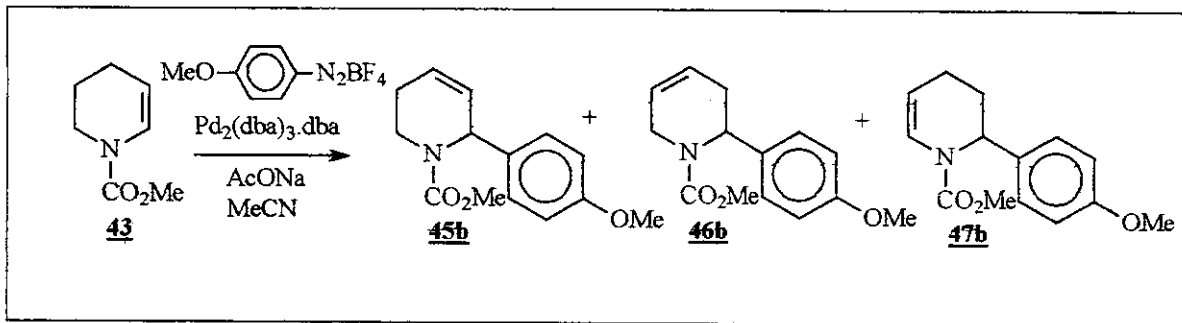
Pfaltz e colaboradores⁵⁴ estudaram a reação de Heck com o 3,4-diidropirano (esquema 54), utilizando triflato de arila, 5 mol% de Pd₂(dba)₃.dba, fosfinooxazolinas, (*i*-Pr)₂Net em benzeno a 80°C durante 5 dias, com rendimento de 78%para o composto **50**.



Esquema 54

Para a arilação do 3,4-dihidropirano utilizando o sal de diazônio tetrafluoroborato de *p*-metoxibenzenodiazônio, obtivemos um rendimento de 80% para o composto **50** além de empregarmos apenas 1 equivalente do catalisador de paládio, num período de 60 minutos. Outra vantagem importante é que utilizamos condições livres de fosfinas.

A principal desvantagem da reação de Heck utilizando olefinas de 6 membros é a formação de uma mistura de regioisômeros. Na tentativa de minimizar este problema, realizamos vários experimentos, com a intenção de controlar a isomerização da ligação dupla, modificando alguns parâmetros de reação, como a temperatura e o catalisador (esquema 55).



Esquema 55

Submetemos o enecarbamato **43** as condições de arilação de Heck, utilizando 1 equivalente da olefina, 1 equivalente do sal de diazônio, 2-5 mol% de $\text{Pd}_2(\text{dba})_3.\text{dba}$ e 3 equivalentes de NaOAc em acetonitrila, variando a temperatura (tabela 21).

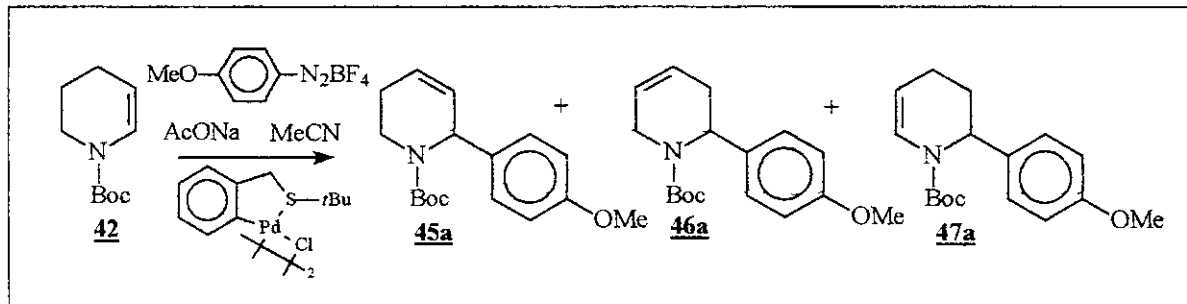
Tabela 21 – Influência da temperatura na reação de Heck.

Pd ₂ (dba) ₃ (mol%)	45b	46b	47b	Rend.* (%)	Conv. (%)	Tempo (min)	T (°C)
2	42	16	42	57	66	8	80
2	67	4	29	85	90	120	80
2	30	8	62	85	89	120	Refluxo
5	14	16	70	92	96	120	Refluxo
2	21	13	66	75	97	210	Refluxo

*rendimentos isolados e proporções relativas estimadas por CG. Conversão baseada na recuperação do material de partida.

Verificamos que com o aumento da temperatura, a isomerização da ligação dupla é mais acentuada. A isomerização ocorre em maior extensão quando aumentamos a quantidade do catalisador de 2 para 5 mol% (resultado em negrito), pois com mais paládio no meio, a reinserção pode ocorrer em maior extensão. Mantendo-se 2% de Pd₂(dba)₃.dba e aumentando-se o tempo de reação, obtivemos o mesmo efeito na isomerização, com uma diminuição no rendimento, de 88% para 73%. O processo de isomerização da ligação dupla também pode estar ocorrendo por uma reação paralela, onde o Pd(0) presente no meio pode promover a isomerização do produto **45b** para **46b** e consequentemente de **46b** para **47b**, visto que este tipo de isomerização já foi descrita por Wanner e Kärtner⁶⁹.

Buscando obter apenas um regioisômero, não ficamos satisfeitos com os resultados obtidos com a elevação da temperatura, pois ainda observamos a formação dos outros dois isômeros, resolvemos trocar o catalisador por um paladaciclo, sintetizado por Dupont e colaboradores⁷⁰ (esquema 56). Realizamos um estudo variando a quantidade do catalisador, tempo de reação e temperatura, mantendo as quantidades estequiométricas da olefina e do sal de diazônio (tabela 22).



Esquema 56

Tabela 20 – Influência do catalisador paladaciclo na reação de Heck.

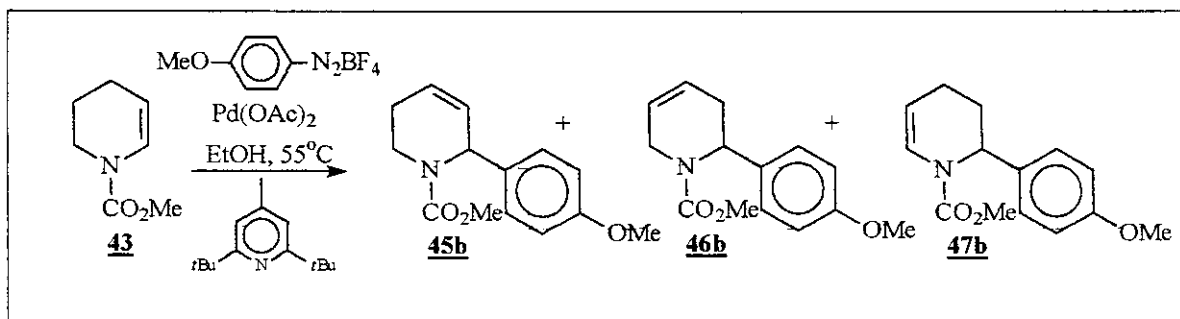
Paladaciclo (mol%)	45a	46a	47a	Rend.* (%)	Conv. (%)	Tempo (min)	T (°C)
1,0	52	22	26	13	27	30	25
2,4	8	5	87	86	100	180	Refluxo
0,5	43	23	34	32	65	120	Refluxo

*rendimentos isolados e proporções relativas estimadas por CG. Conversão baseada na recuperação do material de partida.

Empregando o paladaciclo, conseguimos direcionar a isomerização da ligação dupla para o composto **47a** embora ainda ocorra a formação dos outros dois regioisômeros.

Não sabemos ao certo, como esta reação com paladaciclo ocorre. Supomos que o mecanismo mais provável pode estar envolvendo um ciclo catalítico envolvendo Pd(II) / Pd(IV) , em analogia com a literatura⁷⁰, apesar de haver divergências sobre a espécie de Pd(IV) .

Testamos ainda outro sistema catalítico, utilizando Pd(OAc)_2 , em analogia as condições utilizadas pelo grupo durante a síntese da (-)-codonopsinina^{26,27} (esquema 57). Realizamos variações na quantidade da olefina, do catalisador e no tempo de reação. A quantidade de sal de diazônio foi mantida em 1 equivalente e utilizamos 2 equivalentes da base (tabela 23).



Esquema 57

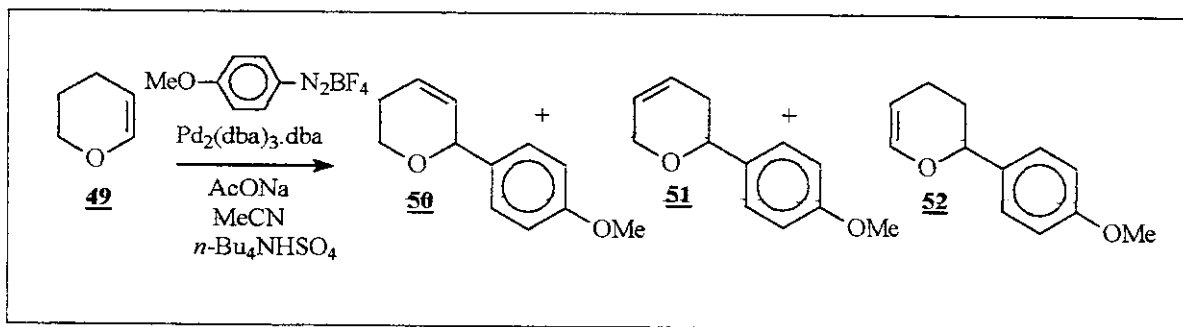
Tabela 23 – Influência do catalisador acetato de paládio na reação de Heck.

43 (equiv)	Pd(OAc)₂ (mol%)	45b	46b	47b	Rend* (%)	Tempo (min)
2,0	10	3	3	94	46	30
1,5	5	3	1	96	40	30
1,5	5	3	1	96	30	120

*rendimentos isolados e proporções relativas estimadas por CG.

Os dados apresentados na tabela 23 são os melhores resultados para a obtenção do produto de isomerização total, mas os rendimentos obtidos foram baixos.

Resolvemos ainda testar as condições de Jeffery e David⁵⁶ para os anéis de 6 membros, utilizando *n*-Bu₄NHSO₄ como aditivo, na tentativa de controlarmos a isomerização. Para este estudo, utilizamos o 3,4-diidropirano **49**. Inicialmente utilizamos as condições padrões para este substrato, isto é: 3 equivalentes da olefina, 1 mol% do catalisador, 1 equivalente do sal de diazônio, 3 equivalentes de acetato de sódio em acetonitrila. Variamos a temperatura da reação, o tempo e acrescentamos o sal de amônio (esquema 58).



Esquema 58

Tabela 24 – Influência do *n*-Bu₄NHSO₄ na reação de Heck.

<u>49</u> (equiv)	<u>Pd₂(dba)₃</u> (mol%)	<u>n</u> Bu ₄ NHSO ₄ (equiv)	<u>50</u>	<u>51</u>	<u>52</u>	Rend.*. (%)	Tempo (min)	T (°C)
3	1,0	-	52	32	16	80	60	25
3	1,0	-	20	17	63	88	180	Refluxo
3	1,0	0,23	23	11	66	41	40	25
3	1,0	2,0	100	-	-	15	40	25

*rendimentos isolados e proporções relativas estimadas por CG.

De maneira geral, o sal de amônio, *n*-Bu₄NHSO₄ provoca uma diminuição considerável no rendimento da reação, não oferecendo vantagem sobre o método utilizado inicialmente. Podemos observar na tabela 24, que quando não utilizamos o sal de amônio os rendimentos estão na ordem de 80-88%, porém quando utilizamos o *n*-Bu₄NHSO₄ como aditivo, os rendimentos caíram para 15-41% dependendo da quantidade empregada.

Também realizamos alguns experimentos modificando o solvente da reação de acetonitrila para *N*-metilpirrolidinona, ou uma mistura dos dois solventes, na tentativa de estabilizar o catalisador, deixando-o mais tempo em contato com a olefina, favorecendo assim a isomerização da dupla ligação. Submetemos então, 1 equivalente do enecarbamato 43 as condições de Heck, (1 equivalente do sal de diazônio, 2 mol% de Pd₂(dba)₃.dba e 3 equivalentes de acetato de sódio) (esquema 59).

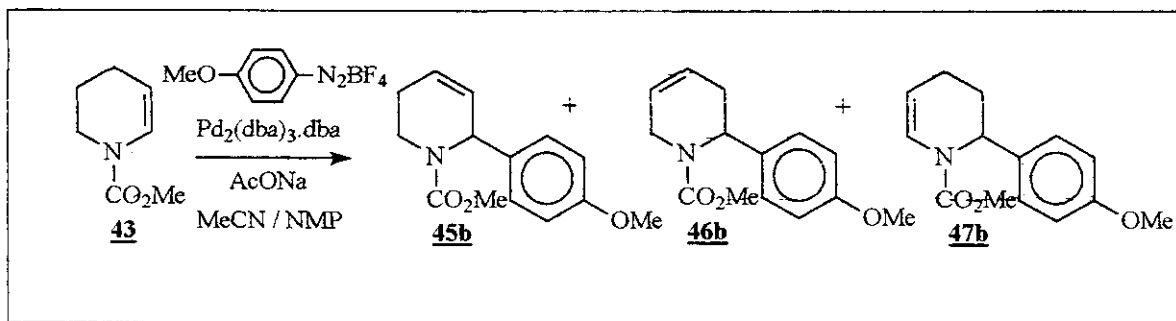


Tabela 25 – Influência do solvente na isomerização da ligação dupla do produto de Heck.

Solvente	<u>45b</u>	<u>46b</u>	<u>47b</u>	Rend.*. (%)	Conv. (%)	Tempo (min)	T (°C)
a	20	19	61	5	75	60	25
a	17	18	65	6	82	120	25
a	11	-	89	13	92	120	Refluxo
b	53	33	14	75	43	120	25
b	100	-	-	4	77	360	25

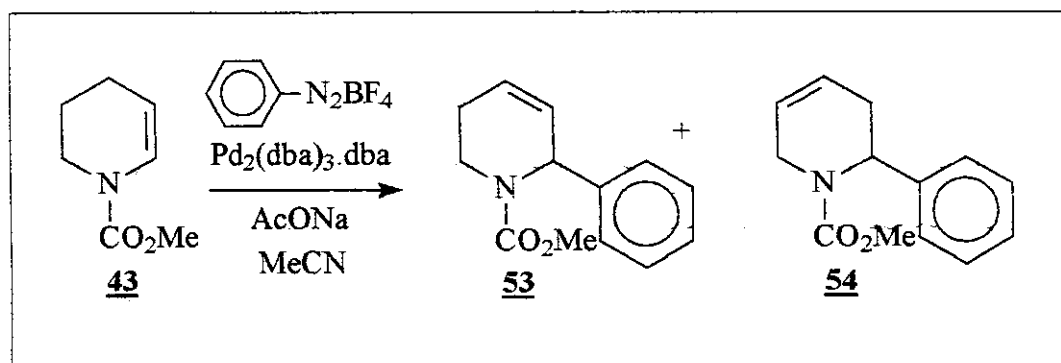
*rendimentos isolados e proporções relativas estimadas por CG. Conversão baseada na recuperação do material de partida. a) MeCN. b) MeCN/NMP (3:1).

O rendimento obtido foi muito baixo quando utilizamos a *N*-metilpirrolidinona como solvente, ao diminuirmos a NMP para 25% em acetonitrila, ocorreu um aumento considerável no rendimento, de 6 para 75%. No entanto, a reação se processou de forma mais lenta, mostrando que a utilização da NMP pode realmente estar estabilizando o complexo de paládio catiônico. Outra evidência de que essa estabilização pode estar ocorrendo está no aumento do grau de isomerização da dupla quando utilizamos 100% de NMP como solvente. Pudemos observar que com a redução da NMP no meio reacional provocou também uma diminuição na conversão do enecarbamato em produto. Isso nos faz pensar que a *N*-metilpirrolidinona, favorece um grande número de reações paralelas, além de provocar a desdiazotização do sal de diazônio^{62,63,64}, pois quando esta amida é utilizada como solvente, observamos baixos rendimentos e alta conversão. Utilizando-se uma

mistura de solventes observamos uma melhora no rendimento e uma diminuição na conversão.

Estudo da variação do sal de diazônio com anéis de 6 membros.

Em analogia com os anéis de 5 membros, estudamos o efeito das variações no sal de diazônio, para os anéis de 6 membros. Realizamos alguns experimentos somente com o tetrafluoroborato benzenodiazônio⁴⁴, variando apenas a temperatura e mantendo as demais condições reacionais (esquema 60).



Esquema 60

Tabela 26 – Influência do substituinte do sal de diazônio na seletividade da reação.

Pd ₂ (dba) ₃ (mol%)	53	54	Rend*	Conv.	Ph ₂ **	Tempo (min)	T (°C)
2	76	24	25	66	36	120	25
2	74	26	18	85	41	90	32
2	73	27	21	79	39	45	32
2	70	30	22	82	38	45	40

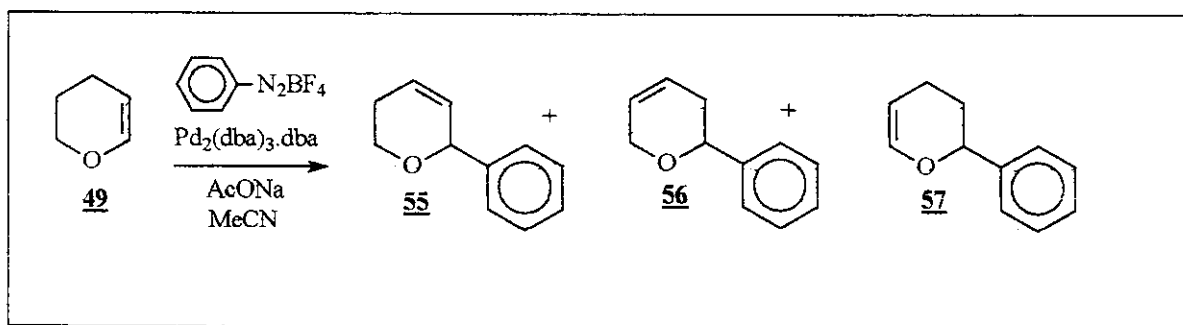
*rendimentos isolados e proporções relativas estimadas por CG. **Rendimento isolado.

Conversão baseada na recuperação do material de partida.

Podemos observar na tabela 26 que o produto majoritário isolado foi o bifenil (o rendimento do bifenil foi calculado em relação estequiométrica ao próprio bifenil se este

fosse o produto principal da reação). Devido à formação do bifenil, os rendimentos da reação foram baixos. Detectamos apenas dois produtos de Heck, **53** e **54**, que foram obtidos na forma de uma mistura inseparável. Estes compostos foram caracterizados por analogia aos com posto **45b** e **46b** obtidos através da reação de Heck entre o enecarbamato **43** e o tetrafluoroborato *p*-metoxibenzenodiazônio.

Também efetuamos o mesmo estudo utilizando o 3,4-diidropirano **49** (esquema 61). O enoléter **49** foi submetido às condições de Heck, com o tetrafluoroborato benzenodiazônio. Buscando as melhores condições, variamos temperatura e tempo de reação (tabela 27).



Esquema 61

Tabela 27 – Influência do substituinte do sal de diazônio na reação de Heck.

49 (equiv)	Pd₂(dba)₃ (mol%)	55	57	Rend* (%)	Ph₂** (%)	Tempo (min)	T (°C)
5	1	61	39	71	14	80	25
5	1	70	30	41	29	80	32
5	1	62	38	12	44	40	32
5	1	61	39	40	30	40	40

*rendimentos isolados e proporções relativas estimadas por CG. **Rendimento isolado.

Os rendimentos obtidos utilizando o 3,4-diidropirano como substrato foram baixos, com exceção do experimento realizado a 25°C, como podemos observar na tabela 27, devido à formação do bifenil como produto lateral. O rendimento do bifenil foi calculado

em relação estequiométrica de formação da bifenila, caso esta fosse o produto principal da reação.

Esta reação paralela também foi observada por Hallberg e Nilsson⁴⁶. Acreditamos que a formação do bifenil como produto principal da reação de Heck seja dividida a falta de reatividade entre benzeno e olefinas de 6 membros complexados ao átomo de paládio, visto que a formação deste ocorre independente da utilização de sais de diazônio, iodetos ou triflatos.

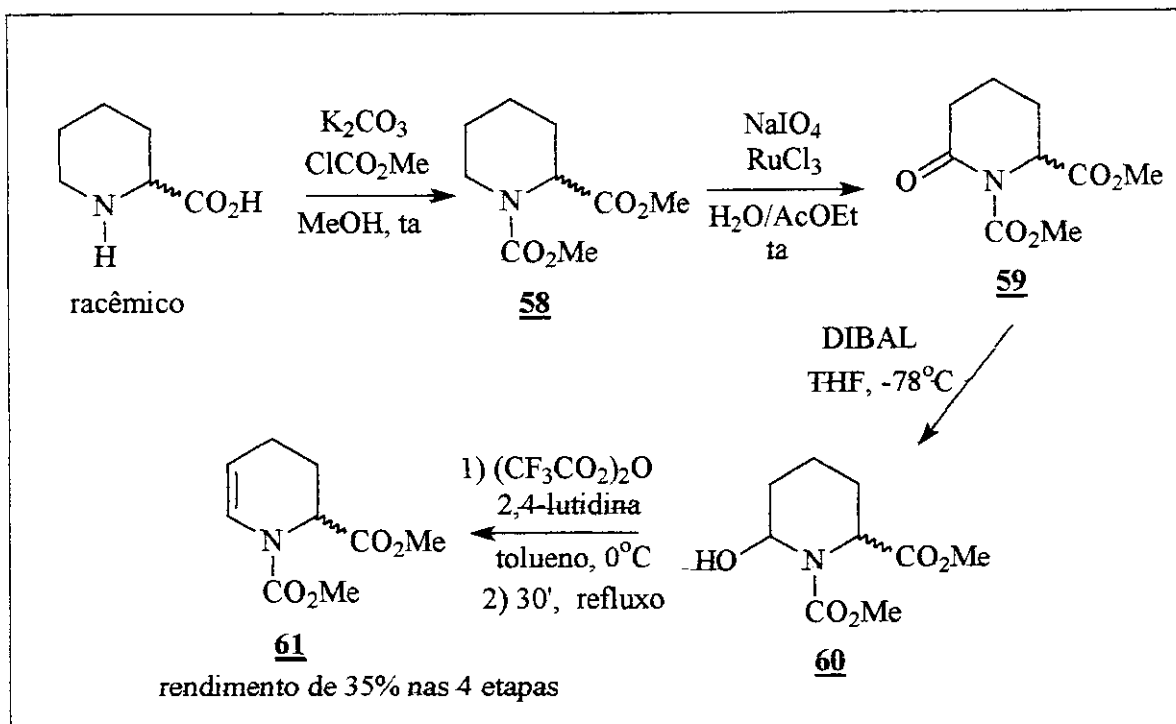
Mais uma vez obtivemos uma mistura de compostos 55 e 57 inseparáveis, que foram caracterizados na forma de mistura por CG/EM, reproduzindo dados já existentes na literatura⁵⁴.

Pfaltz e colaboradores⁵⁴, como vimos anteriormente no esquema 54 (página 62), utilizando a reação de Heck tradicional (5mol% Pd₂(dba)₃.dba/ligante quiral, (i-Pr)₂Net, benzeno, 80°C, 5 dias), 3,4 diidropirano e triflato de fenila, obtiveram o produto 50 com 78%. Neste caso nada foi mencionado sobre a presença de bifenil.

Estudo da reação de Heck com um enecarbamato de 6 membros substituído.

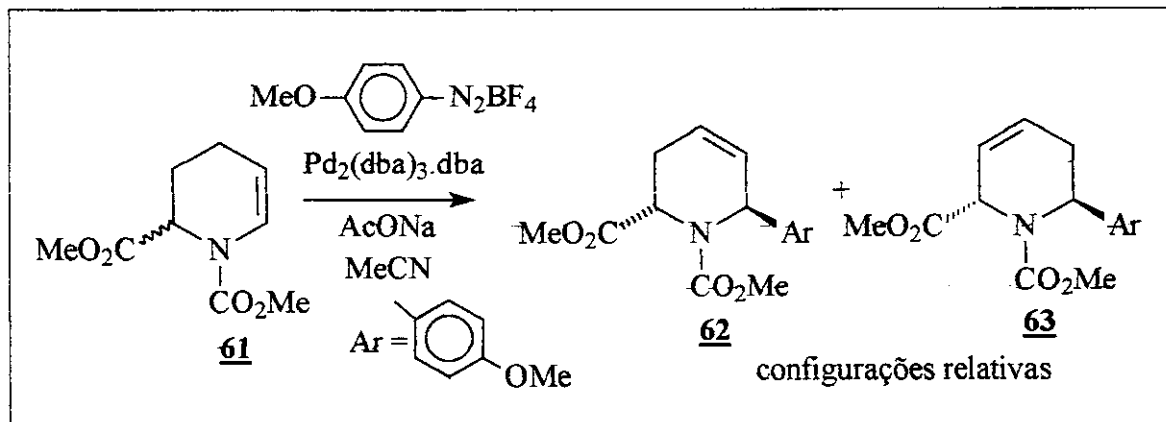
Resolvemos estudar também a arilação de Heck com sais de diazônio sobre enecarbamatos de 6 membros substituídos, para verificar se o substituinte do anel do enecarbamato interfere na isomerização da dupla ligação.

Iniciamos este estudo pela síntese do enecarbamato 51 a partir do ácido pipecólico racêmico. O ácido foi submetido à proteção do átomo de nitrogênio e do grupo ácido carboxílico utilizando carbonato de potássio e cloroformiato de metila em metanol durante 48 horas⁷¹, fornecendo 58. O composto 58 foi oxidado com cloreto de rutênio e periodato de sódio em uma mistura de água e acetonitrila durante 72 horas, para formar a lactama 59⁷². Em seguida, a lactama gerada foi submetida a condições de redução com DIBAL em THF a -78°C, formando o lactamol 60⁴³. Finalmente, a lactama foi tratada com anidrido trifluoracético, 2,4-lutidina em tolueno a 0°C por uma noite e aquecida a refluxo por 30 minutos⁴¹. O enecarbamato 51 foi obtido na forma de um óleo amarelo com 35% de rendimento global a partir do ácido pipecólico (esquema 62).



Esquema 62

Submetemos o enecarbamabamato **61** as condições de Heck, (esquema 63) utilizando 1 equivalente de tetrafluoroborato de *p*-metoxibenzenodiazônio , 2 mol% de Pd₂(dba)₃.dba, 3 equivalentes de acetato de sódio em acetonitrila a temperatura ambiente durante uma hora.



Esquema 63

Observamos que apenas 30% do enecarbamato havia sido convertido em produto. O produto foi obtido com 10% de rendimento e após análise de CG/EM, notamos a presença de 3 isômeros na proporção (12:12:1), (os 3 sinais do cromatograma apresentaram o mesmo íon molecular, mas com diferentes intensidades de fragmentação). Imaginamos, inicialmente, a formação de dois isômeros *trans* **62** e **63** e traços de um terceiro isômero, inseparáveis por cromatografia *flash*. Identificamos a formação da mistura de compostos **62** e **63** pela semelhança entre o seu espectro de RMN H¹ e o da mistura de compostos **45b** e **46b**. Devido a pouca disponibilidade, o terceiro isômero não pode ser identificado.

Buscando melhorar a conversão e o rendimento desta reação, resolvemos realizar um estudo da reação de Heck variando quase todos os parâmetros: quantidade de catalisador, quantidade de sal de diazônio, tempo e temperatura de reação. Desta vez, não adicionamos todo catalisador e sal de diazônio ao início da reação. Adicionamos 0,5 equivalente de sal de diazônio e 2 mol% Pd₂(dba)₃.dba a cada 90 minutos, até somarmos a quantidade total adicionada, em seguida, o meio reacional foi deixado sobre agitação por uma noite em alguns casos.

Tabela 28 – Estudo da reação de Heck com o enecarbamato **61**.

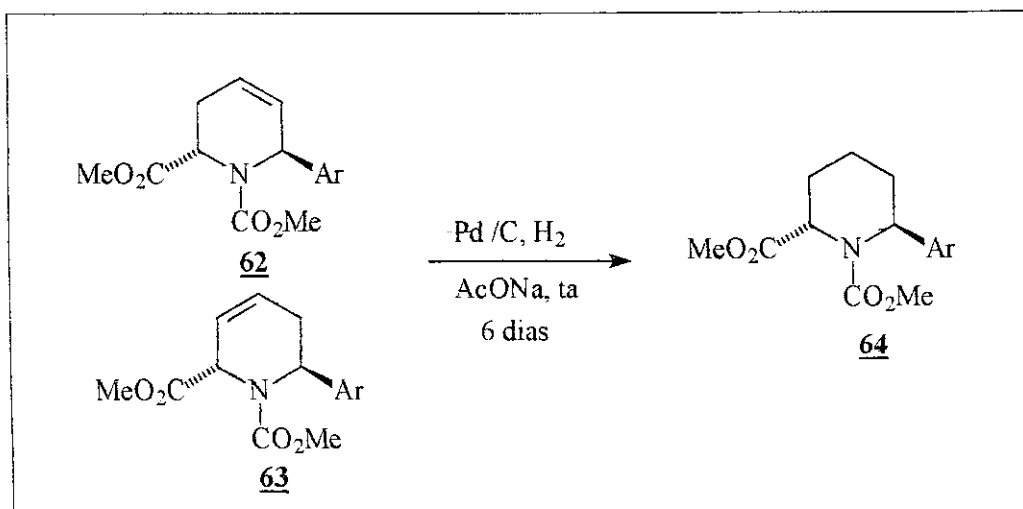
Entrada	61 (equiv)	S.Diaz (equiv)	Pd ₂ (dba) ₃ (mol%)	62/63	Rend*. (%)	Conv. (%)	Tempo (h)	T (°C)
1	1	1	2	1/1	10	30	1	25
2	1	2	2	2/1	22	40	2	25
3	1	2	2	2/1	34	67	5	25
4	1	2	2	1/ 1,5	43	87	5	refluxo
5	1	5	4,5	1/1	70	70	24	25
6	1	3,5	7	1/2	94	96	41	25
7	1	4	7	1/2	81	96	23	25
8	1	4	7	2,5/ 1	46	67	7	25
9	1	4	7	1/ 2,5	67	96	7	refluxo

*rendimentos isolados. Conversão baseada na recuperação do material de partida.

Como podemos observar na tabela 28, a reação de Heck com este enecarbamato é bem mais lenta que com as demais olefinas testadas anteriormente. Para se obter conversão de 96% foram necessários 4 equivalentes de sal de diazônio e 7 mol% de catalisador. Imaginamos que o grupo carbometoxi, α ao átomo de nitrogênio, esteja dificultando a aproximação do complexo de paládio, diminuindo a velocidade da reação. Acreditamos que a inserção do anel aromático ocorra pelo lado oposto ao substituinte α -carbometoxi, gerando principalmente 2 isômeros *trans*.

Analizando a tabela 28, observamos que quando a reação foi interrompida com 7 horas de agitação (entrada 8), obtivemos o isômero **62** como majoritário. Quando reproduzimos a mesma reação, sobre agitação por 23 horas (entrada 7, tabela 28), obtivemos como composto majoritário o isômero **63**. O mesmo foi observado quando aquecemos o meio reacional a refluxo (entrada 9). Quanto maior o tempo de reação, maior o rendimento da reação. Estes resultados mostram que ao contrário do que imaginávamos até o momento, o catalisador permanece ativo por tempo suficiente para completar a reação, desde que o sal de diazônio seja adicionado ao longo da reação.

Para eliminarmos o problema dos isômeros resultantes da isomerização da ligação dupla e confirmarmos assim a configuração relativa dos isômeros formados submetemos a mistura de isômeros **62** e **63** a uma hidrogenação catalisada por Pd/C em acetato de etila, durante 6 dias, quando detectamos a presença de apenas um produto isolado em 75% de rendimento (esquema 64).



Esquema 64

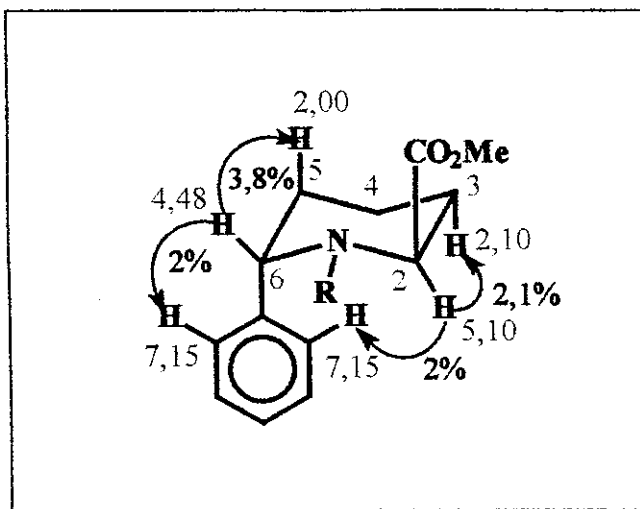
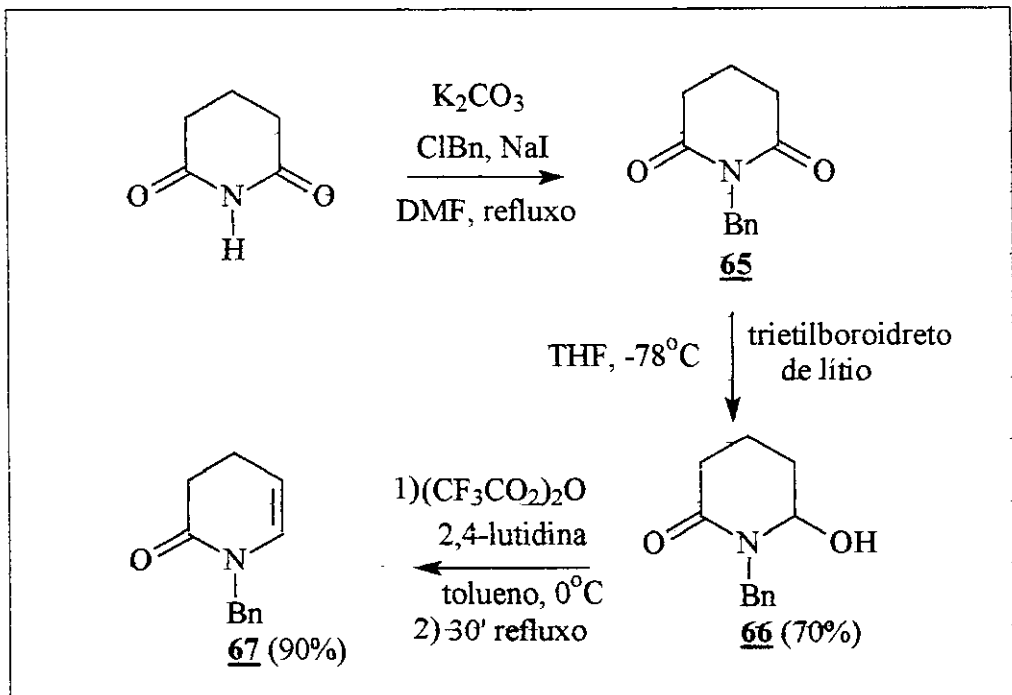


Figura 7

A configuração relativa do produto de redução **64** foi determinada por NOESY 1D. Quando (H-6) foi irradiado, observamos nOe na fenila de 2,0% e em (H-5) de 3,83%. Quando irradiamos (H-2), Observamos nOe em (H-3) de 2,13% e na fenila de 2,0% (figura 5). A ausência de efeito nOe entre (H-2) e (H-6) serviu como diagnóstico para estabelecimento da esteroquímica entre o grupo α -CO₂Me e o grupo fenila. Devido à presença de rotâmeros, as constantes de acoplamento não puderam ser utilizadas na determinação da esteroquímica relativa.

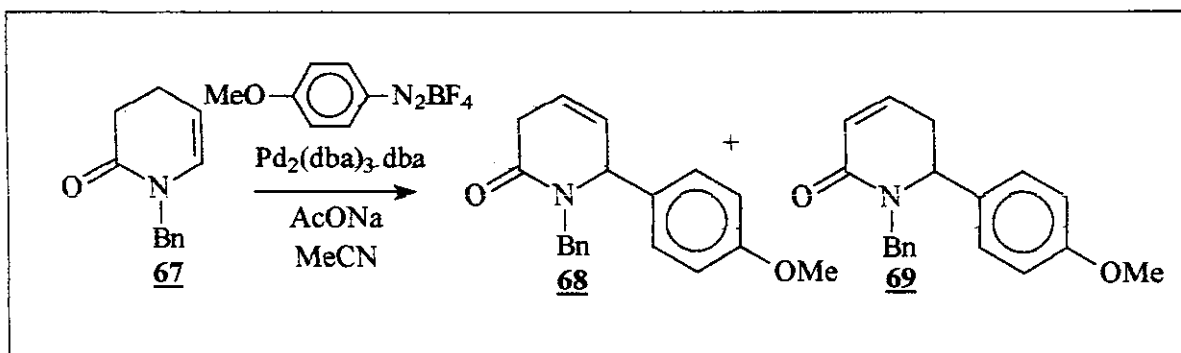
Estudo da reação de Heck utilizando uma enamida de 6 membros.

Iniciamos este estudo com a síntese da enamida a partir da glutarimida. (esquema 65). A glutarimida foi protegida com cloreto de benzila, gerando a lactama protegida **65**, que foi reduzida com superidreto (trietil boroidreto de lítio) em THF a -78°C por 90 minutos, gerando o lactamol **66**, com 70% de rendimento para as duas etapas. Este foi submetido a condições de eliminação com 2,4-lutidina, anidrido trifluoracético em tolueno a 0°C por uma noite⁵ e aquecida a refluxo por 30 minutos⁴¹. O enecarbamato **67** foi obtido na forma de um óleo transparente com o rendimento de 90%.



Esquema 65

Realizamos o mesmo estudo de arilação feito anteriormente com a lactama de 6 membros 67, para verificarmos se a carbonila da lactama interfere na isomerização da ligação dupla. Tratamos o enecarbamato com 1 equivalente do sal de diazônio tetrafluoroborato p-metoxibenzenodiazônio, 2 mol% de $\text{Pd}_2(\text{dba})_3\text{.dba}$, 3 equivalentes de acetato de sódio em acetonitrila a ta por 1 hora. Neste estudo, variaremos apenas a quantidade do sal de diazônio (esquema 66).



Esquema 66

Tabela 29 – Estudo da reação de Heck com a lactama 67.

<u>67</u> (equiv)	S.D. (equiv)	Pd ₂ (dba) ₃ (mol%)	<u>68</u>	<u>69</u>	Rend*. (%)	Conv. (%)	Tempo (min)	T (°C)
1	1,0	2	37	63	70	85	60	25
1	1,3	2	28	72	81	96	60	25
1	1,5	2	28	72	92	100	60	25
1	2,0	2	28	72	89	100	60	25

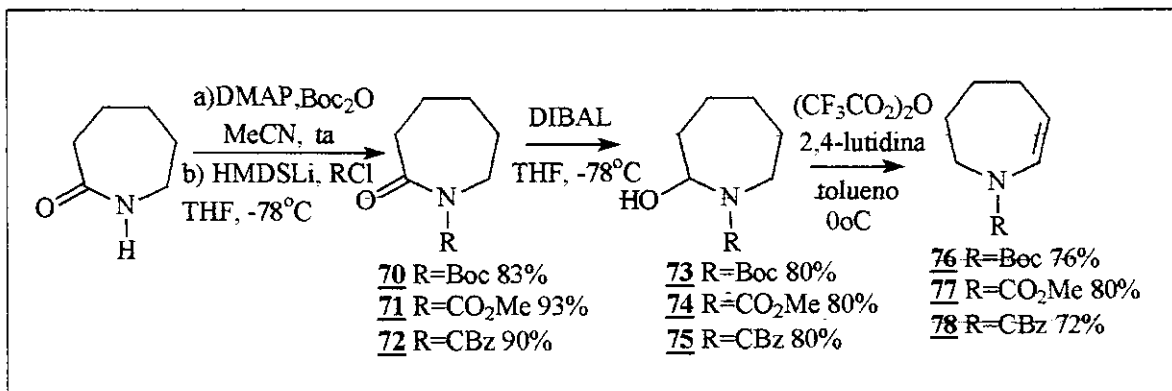
*rendimentos isolados. Conversão baseada na recuperação do material de partida.

Obtivemos como produto da reação de Heck os compostos 68 e 69, sendo o composto 69 o majoritário. A medida em que aumentamos a quantidade do sal de diazônio, observamos também um aumento na conversão e no rendimento da reação.

Observamos que a reação de Heck com sais de diazônio e enecarbamatos de 6 membros geram regioisômeros em proporções variadas. Verificamos que podemos aumentar o grau de isomerização da dupla ligação, aumentando o tempo de reação, a quantidade de catalisador ou utilizando outros catalisadores de paládio. Quando submetemos enecarbamatos substituídos as condições de arilação de Heck verificamos a formação de 2 regioisômeros majoritários, mas devido a formação de traços de um terceiro isômero não identificado, não podemos afirmar com certeza se o substituinte no enecarbamato limita a isomerização da ligação dupla. Os resultados obtidos na reação de Heck utilizando a enamida de 6 membros 67 (esquema 66), nos faz acreditar que o substituinte no anel do enecarbamato, limita a isomerização da ligação dupla, gerando apenas 2 adutos de Heck 68 e 69.

Síntese de enecarbamatos endocíclicos de 7 membros.

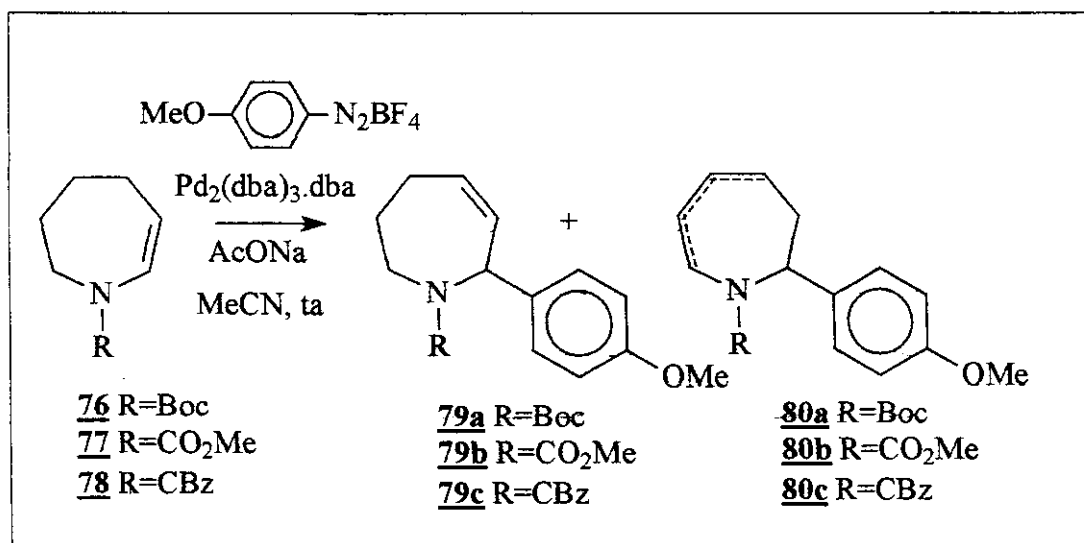
Os enecarbamatos de 7 membros foram sintetizados de maneira análoga aos enecarbamatos de 5 e 6 membros. Partimos da ε-caprolactama, que foi protegida com Boc^{42b}, CO₂Me e CBz⁴¹. Em seguida, estas lactamas foram reduzidas aos respectivos lactamóis⁵, que sofreram desidratação para fornecer os enecarbamatos desejados⁴¹ (esquema 67).



Esquema 67

Estudos preliminares da reação de Heck com anéis de 7 membros.

Com os enecarbamatos 76, 77 e 78 em mãos, realizamos reações de Heck com cada um deles empregando tetrafluoroborato p-metoxibenzenodiazônio, $\text{Pd}_2(\text{dba})_3 \cdot \text{dba}$ e acetato de sódio em acetonitrila variando-se apenas a quantidade de catalisador buscando maximizar a conversão e os rendimentos além de identificar os produtos formados (esquema 68, tabelas 30, 31 e 32).



Esquema 68

Na arilação do enecarbamato 76 (tabela 30), observamos a formação apenas do regioisômero 79a. Na arilação dos enecarbamatos 77 e 78 (tabela 31 e 31) notamos a formação de um produto majoritário, as arilazepinas 79b e 79c, respectivamente, e somente traços do que parecem ser outros isômeros, representados pela estrutura 80b e 80c no esquema 32.

Tabela 30 - Reação de Heck utilizando o enecarbamato 76.

<u>76</u> (equiv)	S.D. (equiv)	Pd ₂ (dba) ₃ (mol%)	<u>79a</u>	<u>80a</u>	Rend*. (%)	Conv. (%)	Tempo (min)
1	1	0,5	100	-	78	72	60
1	1	1,0	100	-	71	93	60
1	1	1,5	100	-	72	100	60
1	1	2,0	100	-	73	100	60
1	1	1,0	100	-	84	100	180

*rendimentos isolados. Os experimentos foram realizados a 25°C. Conversão baseada na recuperação do material de partida.

Tabela 31 - Reação de Heck utilizando o enecarbamato 77.

<u>77</u> (equiv)	S.D. (equiv)	Pd ₂ (dba) ₃ (mol%)	<u>79b</u>	<u>80b</u>	Rend*. (%)	Conv. (%)	Tempo (min)
1	1	0,5	80	20	43	46	60
1	1	1,0	93	7	90	82	60
1	1	1,5	94	6	90	90	60
1	1	2,0	93	7	95	90	60
2	1	1,0	94	6	80	-	60

*rendimentos isolados. Os experimentos foram realizados a 25°C. Conversão baseada na recuperação do material de partida.

Tabela 32 - Reação de Heck utilizando o enecarbamato **78**.

78 (equiv)	S.D. (equiv)	Pd ₂ (dba) ₃ (mol%)	79c	80c	Rend.*. (%)	Conv. (%)	Tempo (min)
1	1	0,5	100	-	50	6	60
1	1	1,0	92	8	60	11	60
1	1	1,5	85	15	78	64	60
1	1	2,0	85	17	89	70	60
1	1	2,5	100	-	88	69	60
2	1	1,0	87	13	28	-	60
1	1	1,0	100	-	27	27	120
1	1	1,5	100	-	52	52	120
1	1	2,0	100	-	96	68	180

*rendimentos isolados. Os experimentos foram realizados a 25°C. Conversão baseada na recuperação do material de partida.

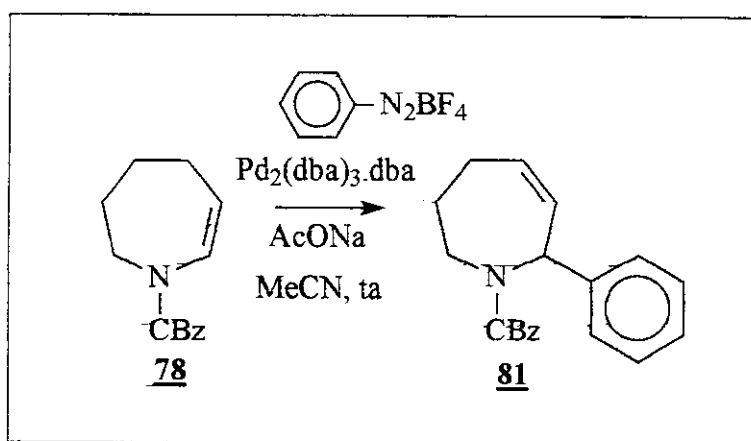
O aduto de Heck **79a** foi caracterizado por infravermelho, RMN H¹, C¹³ e massa de alta resolução. Comparando o seu espectro de RMN H¹ com o do enecarbamato **76**, notamos o aparecimento de dois doubletos em 7,20 e 6,75 ppm indicando a presença dos hidrogênios da fenila, os hidrogênios da ligação dupla aparecem na forma de um singuleto largo em 6,06 ppm e um múltiplo em 5,85 ppm, enquanto os hidrogênios da ligação dupla do enecarbamato que aparecem como dois singletos em 6,40 e 4,82 ppm e os hidrogênios da metoxila aparecem na forma de um singuleto em 3,36 ppm.

A análise do bruto das reações de Heck utilizando o enecarbamato **77** como substrato, apresentou 3 sinais no espectro de CG/EM, que correspondendo a 3 isômeros, pois apresentaram o mesmo íon molecular, porém com sinais de fragmentação com intensidades diferentes. Conseguimos isolar e caracterizar apenas o composto majoritário **79b**, devido à pequena escala em que estes experimentos foram realizados. Os espectros obtidos para o composto **79b** são semelhantes aos do composto **79a**, diferenciando-se apenas pelo grupo protetor do átomo de nitrogênio. Quando comparamos os espectros de infravermelho do composto **77** e do enecarbamato **79b**, observamos um deslocamento no

sinal referente a ligação dupla de 1651 para 1610 cm⁻¹, indicando que esta mudou de posição no anel.

O composto 79c, também foi caracterizado por infravermelho, RMN H¹, C¹³, GC/EM e massa de alta resolução, como esperado, apresentou espectros semelhantes aos adutos de Heck 79a e 79b, diferenciando-se apenas pelo grupo de proteção do átomo de nitrogênio.

Estudo da variação do sal de diazônio com anéis de 7 membros.



Esquema 69

Em analogia com os anéis de 5 e 6 membros, estudamos o efeito de substituinte no sal de diazônio. Realizamos experimentos apenas com o tetrafluoroborato de benzenodiazônio, variando a temperatura de reação (esquema 69). No acoplamento com este sal de diazônio, utilizamos o enecarbamato 78, mesmo sendo este o menos reativo da série, pois era o único disponível naquele momento.

Tabela 33 – Estudo da influência do substituinte do sal de diazônio na reação de Heck.

<u>78</u> (equiv)	S.D. (equiv)	Pd ₂ (dba) ₃ (mol%)	<u>81</u> * (%)	Conv. (%)	Tempo (min)	T (°C)
1	1	1,5	80	58	90	32
1	1	1,5	70	37	90	25

* rendimentos isolados. Conversão baseada na recuperação do material de partida.

Os resultados obtidos (tabela 33), mostram que o enecarbamato 78 reage com o tetrafluoroborato benzenodiazônio em bons rendimentos, embora com uma conversão moderada. Detectamos apenas o regioisômero 81 como produto desta reação. Não está claro para nós o porque desta baixa conversão.

Analogamente aos anéis de 5 membros, observamos apenas traços da formação do subproduto bifenil (Ph_2).

Podemos concluir que os enecarbamatos de 7 membros frente a reação de Heck se comportam de maneira semelhante aos enecarbamatos de 5 membros, formando um regioisômero como produto majoritário. O fato de obtermos majoritariamente um isômero foi surpreendente, pois Hallberg e Nilsson afirmam em um de seus artigos¹⁹ que olefinas cíclicas de 7 membros formam misturas de regioisômeros em longos períodos de reação, utilizando as condições da reação de Heck tradicional.

Acreditamos que quando o produto primário de Heck dos anéis de 5 e 7 membros são formados, o anel benzênico assuma uma posição tal, que dificulte a permanência do hidropaládio no sistema, por razões estéreas, expulsando a olefina da esfera de coordenação do paládio, desfavorecendo a isomerização da ligação dupla. Isso já não ocorre com os anéis de 6 membros, pois o anel benzênico do produto primário encontra-se mais afastado do hidropaládio. Ao permanecer complexada ao hidropaládio a ligação dupla, apresenta maiores chances de isomerização através do processo de reinserção-eliminação. (figura 6).

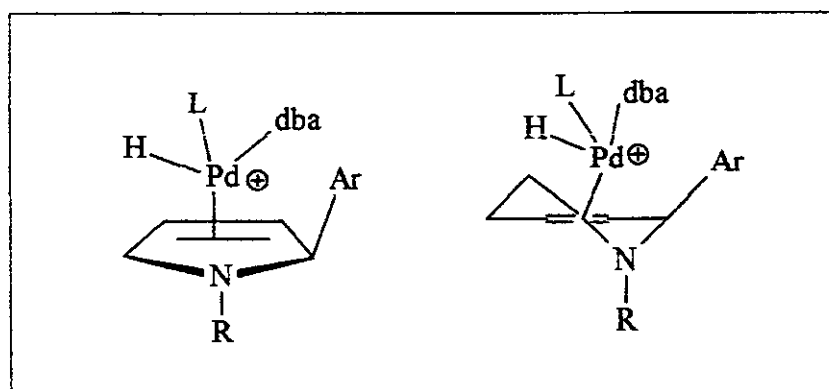


Figura 9

Conclusões.

Neste trabalho, verificamos que a reação de Heck entre enecarbamatos, enamidas e enoléteres endocíclicos com sais de diazônio ocorre em rendimentos de bons a moderados em quase todos os casos estudados, com exceção dos sais de diazônio contendo *p*-NO₂ e *p*-CO₂Me).

Para os enecarbamatos e enamidas endocíclicas de 5 membros obtivemos a formação de um regiosômero como produto majoritário da reação de arilação. Foram avaliadas algumas variáveis de reação tais como: quantidade do catalisador de paládio, temperatura, bases e solventes. Verificamos que a reação de Heck com enecarbamatos de cinco membros ocorre mais efetivamente quando o sal de diazônio possui um grupo doador de elétrons. Para R=OMe foi obtido um rendimento de 86%, enquanto R= H acarretou em um rendimento de 80%. A medida que reduzimos a densidade eletrônica do anel aromático, utilizando grupos retiradores de elétrons (R= Cl e F), verificamos um descrescimo acentuado no rendimento da reação, de 80 para até 8%. À medida que diminuímos a densidade eletrônica da ligação dupla da olefina, empregando-se enamidas ao invés dos enecarbamatos, observamos um comportamento análogo ao do enecarbamato quando o no entanto, quando utilizamos sais de diazônio com R= Cl e F os rendimentos foram de 80 e 38% respectivamente, rendimentos estes, maiores do que os observados anteriormente, mostrando o acoplamento com sais de diazônio portando substituintes deficientes eletronicamente foi favorecido. Quando o sal de diazônio possuia substituintes fortemente retiradores de elétrons (testados NO₂ e CO₂Me), a arilação de Heck não ocorreu nas condições testadas.

Estudo do efeito do solvente, levou a observação de que a utilização de benzonitrila como aditivo aumenta consideravelmente o tempo de vida do catalisador. Isto permitiu reduzir as quantidades do catalisador em estudos subsequentes. Este resultado permitiu reavaliar algumas limitações da reação de Heck, tais com a conversão total de enecarbamatos substituídos de 6 membros, através da adição gradativa do sal de diazônio.

Para sistemas de 6 membros foi observada a formação de adutos olefinicos regiosôméricos em proporções variadas. Neste estudo foi verificado ser possível aumentar o grau de isomerização da dupla ligação, aumentando-se o tempo de reação, a quantidade

de catalisador ou utilizando outros catalisadores de paládio, tais como o Pd(OAc)₂ ou paladaciclo (esquema 56 página 64), formando-se como produto majoritário o isômero **47** (enecarbamato). Ao submeter-se os enecarbamato substituído **61** as condições de arilação de Heck verificamos a formação de 2 regioisômeros, e traços de um terceiro isômero não identificado.

Submissão da enamida endocíclica de 6 membros as condições de arilação de Heck com sais de diazônio, resultou em 2 regioisômeros como produtos de reação. Estes resultados indicam que substituintes no anel da enamida (ou enecarbamato) limitam a isomerização da ligação dupla.

Para os sistemas de 7 membros foi observado a formação de um produto majoritário e somente traços dos demais isômeros. Uma hipótese que explique o baixo grau de isomerização da ligação dupla em sistemas de 7 membros parece estar relacionada ao fato de que quando o produto de Heck primário é formando, a interação estérica entre o anel benzênico, introduzido α ao átomo de nitrogênio, e o hidropaládio catiônico gerado após a β -eliminação, force a eliminação do hidropaládio da esfera de coordenação da olefina, impedindo a re-inserção deste, desfavorecendo assim isomerização da ligação dupla.

Podemos afirmar que a reação de Heck utilizando sais de diazônio apresenta vantagens em relação à reação de Heck tradicional, tais como: empregam apenas 1 equivalente de olefina, reações curtas (30-60 min), utilização de 1-2 mol% de Pd₂(dba)₃.dba, condições livres de fosfinas, facilidades de operacionalidade do sistema, evitando desgaseificação de solventes, atmosfera inerte e meio anidro. Enquanto a Heck tradicional precisa de 2-5 equivalentes da olefina, 2-10 mol% de catalisador, fosfinas como ligantes, e longos tempos de reação (2-72 horas) a temperaturas elevadas.

Materiais e métodos.

Salvo quando mencionado de outra forma no texto, todas as reações foram feitas sob as seguintes condições: anidras, utilizando atmosfera de argônio 99,999%. Agitadas por placas agitadoras magnéticas, com aquecimento, da Corning ou Fisaton.

Em reações sensíveis a umidade, a vidraria foi seca em estufa a 140-160°C por um período mínimo de 4 horas. Esta foi resfriada em dessecadores com pentóxido de fósforo ou Drierite.

Na cromatografia de adsorção em coluna foi realizado o procedimento sugerido por Still⁷³, utilizando-se sílica gel (230-400mesh, 60A). A cromatografia analítica em camada fina (CCF) foi realizada em cromatofolhas com sílica gel suportada em placa de alumínio Merck (com ou sem revelador para UV), Riehdel ou J.T. Baker. A visualização dependeu do analito e da fase estacionária mas, de um modo geral, utilizou-se vapor de iodo, iodo adsorvido em sílica, ácido fosfomolíbdico 5% em etanol (seguido de aquecimento), lâmpada UV e/ou *p*-anisaldeído/AcOH/EtOH/ ácido sulfúrico (2,4/1/90/3,3), seguido de aquecimento.

As análises por cromatografia em fase gasosa foram realizadas em um aparelho HP-5890 ou HP-6890, com colunas capilares HP-5 registradas por um integrador HP- 3395.

Os espectros de ressonância magnética nuclear foram obtidos nos seguintes aparelhos: Bruker AC 300/P ou Varian Gemini 2000 (300 MHz para o H¹ e 75 MHz para C¹³); e Varian Inova 500 (500 MHz para o H¹ e 125 MHz para C¹³). Os deslocamentos químicos (δ) foram referenciados pelo sinal do clorofórmio ($\delta=7,27$) para o RMN-H¹ e ($\delta=77,0$) para RMN-C¹³ quando o solvente foi CDCl₃. Quando o solvente foi CCl₄, o TMS foi utilizado como referência. Já as análises de C¹³ foi utilizado um capilar contendo DHO.

Os espectros de infravermelho foram obtidos em um Perkin-Elmer 1600 FTIR ou em um Nicolet 410 com uma resolução de 4 cm⁻¹. A não ser quando mencionado explicitamente, as amostras foram aplicadas como filme em uma janela de NaCl.

Os espectros de massa de baixa resolução, acoplados ou não à cromatografia gasosa, foram obtidos em um GC/MS HP-5988-A.

Os espectros de massa de alta resolução foram obtidos em um aparelhos Autoespec VG-autospec através de injeção direta.

Os pontos de fusão foram lidos em um aparelho Unimelt-Capilar da Thomas Hoover e não foram corrigidos.

Os solventes e reagentes, quando tratados, foram da seguinte forma:

- 2-Pirrolidinona** - Destilada a vácuo e guardada sob peneira molecular 4 Å.
- 2,4 –Lutidina** - Destilada de hidreto de cálcio sob atmosfera de nitrogênio seco e guardada sobre peneira molecular 4 Å.
- Água** - Destilada.
- Anidrido acético** - Tratado com pentóxido de fósforo e filtrado. Tratado com carbonato de potássio e novamente filtrado. Tratado com pentóxido de fósforo e destilado sob atmosfera de nitrogênio seco.
- Butillítio** - Titulado com *N*-(*o*-toluil)-pivalamida segundo a literatura⁷⁴.
- (CF₃CO₂)₂O** - Destilado de pentóxido de fósforo, sob atmosfera de nitrogênio seco.
- Peneira Molecular** - Foram secas em mufla a 300°C por 6 horas.
- Piridina** - Destilada de hidreto de cálcio sob atmosfera de nitrogênio seco e guardada sobre peneira molecular 4 Å.
- Pirrolidina** - Destilada de KOH, sob atmosfera de nitrogênio seco.
- Tetraidrofurano** - Destilado de sódio e benzofenona.
- Tolueno** - Destilado de sódio.
- Trietilamina** - Destilado de hidreto de cálcio.

Os substratos citados a seguir já foram relatados na literatura.

N-(terc-butoxicarbonil)-2-pirrolina 20 Sintetizado de acordo com a metodologia desenvolvida no grupo de pesquisa por Denílson Oliveira^{41,42,43} em sua tese de doutorado defendida em 1998.

N-(metoxicarbonil)-2-pirrolina 16 Sintetizado de acordo com a literatura^{39,40}.

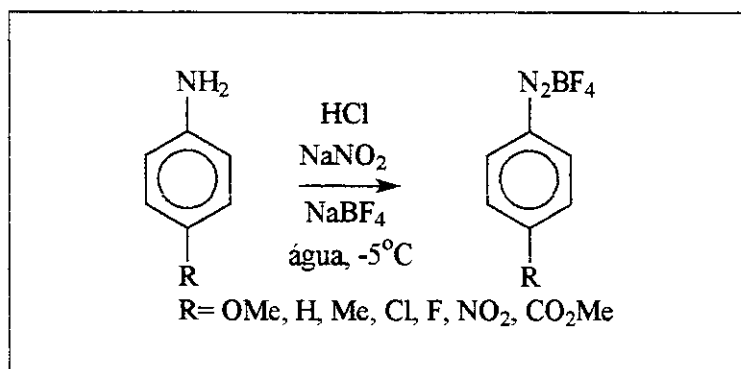
N-(benziloxicarbonil)-2-pirrolina 17 Sintetizado de acordo com a literatura^{39,40}.

N-(benzoil)-2-pirrolina 28 Sintetizado de acordo com a literatura^{39,40,51}.

N-(p-toluenosulfonil)-2-pirrolidinona 30 Sintetizado de acordo com a literatura⁵².

N-(p-toluenosulfonil)-2-pirrolina 32 Sintetizado de acordo com a metodologia desenvolvida no grupo de pesquisa por Denílson Oliveira^{41,53,43,52} em sua tese de doutorado defendida em 1998.

Procedimento geral para síntese de sal de diazônio⁴⁴.

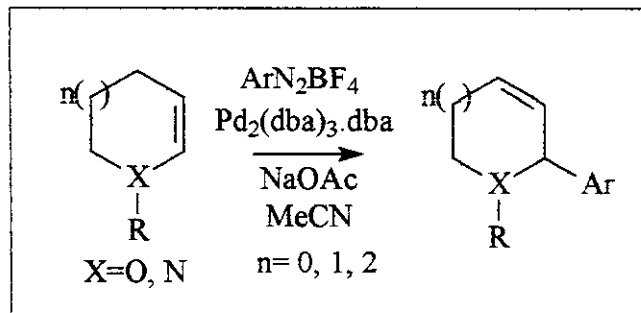


Em um erlenmeyer de 250mL, foram adicionados (50mmol) da anilina, 12,6mL de água e 12,6mL de ácido clorídrico concentrado. Após 20 minutos de forte agitação o erlenmeyer foi mergulhado num banho de salmora e gelo seco. Uma solução de 4,5g (65 mmol) de nitrito de sódio em 9 mL de água foi adicionada, mantendo a temperatura do meio reacional abaixo de -5°C . Após 15 minutos do término da adição, outra solução, contendo 7,6g (69 mmol) de tetrafluorborato de sódio em 15mL de água, foi adicionada de uma só vez, causando a precipitação do produto. A suspensão foi então filtrada e lavada com éter etílico. O precipitado foi dissolvido em 150mL de acetona e novamente filtrado. Ao filtrado foram adicionados 100mL de éter etílico que causou a precipitação do produto. O sal de diazônio foi obtido na forma de um sólido, após filtração. Os rendimentos variaram de 21-72% dependendo da anilina utilizada.

Tabela 34 –Ponto de Fusão dos Sais de Diazônio.

R	Rend (%)	PF (°C)
OMe	66	137,0-137,5
H	70	128,8-129,0
Me	72	103,2-103,5
Cl	44	132,8-133,5
F	48	146,6-146,9
NO ₂	65	153,0-153,2
CO ₂ Me	21	100,2-100,4

Procedimento padrão para reação de Heck^{23,27}.



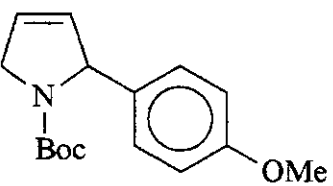
Em uma solução contendo 0,3 mmol da olefina em 2 mL (0,15M) de acetonitrila, foi adicionada uma mistura, formada por 2 mol% de $\text{Pd}_2(\text{dba})_3\text{.dba}$, 0,3 mmol do sal de diazônio e 0,9 mmol de acetato de sódio anidro. Observa-se desprendimento de nitrogênio durante a reação. Ao término do borbulhamento (5-20 minutos), o meio reacional foi filtrado em silíca gel e lavado com 50mL de acetato de etila. O óleo obtido foi submetido à cromatografia *flash* com acetato de etila 20% em hexano, (revelado em ácido *p*-anisaldeído), para purificação.

Este procedimento, também foi utilizado como procedimento geral, quando das alterações da quantidade do catalisador, temperatura do sistema e solvente.

Procedimento para reação de Heck tradicional⁴⁶.

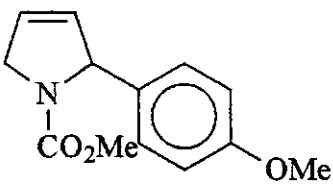
Em um balão de 5mL, foram adicionados 0,56g (4 mmol) do enecarbamato 2, 0,2g (1mmol) de iodeto de *p*-anisol, 0,2mL (1 mmol) de trietilamina e 7,4 mg (3 mol%) de $\text{Pd}(\text{OAc})_2$. O meio reacional foi aquecido a 90°C por 24 horas. O produto foi extraído com (10mL) de acetato de etila, lavado com 10mL de água e em seguida lavado com (2X 10 mL) de solução saturada de cloreto de sódio. A fase orgânica recolhida foi tratada com sulfato de sódio anidro. O óleo obtido foi submetido a cromatografia flash com acetato de etila 10% em hexano, (revelado em *p*-anisaldeído). Após a remoção dos eluentes, foram obtidos 6,8mg (3% de rendimento) de um óleo transparente que foi caracterizado como 22b.

N-(terc-Butoxicarbonil)-2-(4-metoxifenil)-2,5-diidropirrolina 21a.



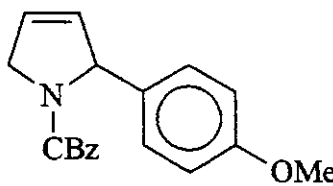
I.V. (filme cm⁻¹) 2974, 2862, 2837, 1693, 1610, 1587, 1512, 1392, 1248, 1173, 1111, 829. **RMN H¹(CCl₄, δ, ppm, 500 MHz, ta)** 7,05 (2H, dd, *J*= 6 e 19); 6,70 (2H, d, *J*=6); 5,80 (1H, s); 5,60 (1H, 2s); 5,20 (1H, 2s); 4,23 (2H, s); 3,73 (3H, s); 1,20 (9H, s). **RMN C¹³(CCl₄, δ, ppm, 125 MHz, ta)** 28,1 (CH₃); 54,5 (CH₃); 53,4 (CH₂); 66,8 (CH); 78,3 (C), 113,1 (2CH), 124,2 (CH); 127,5 (2CH); 131,2 (CH); 134,4 (C); 152,6 (C); 158,6 (C). **E.M. principais sinais** 275 (M⁺), 218 (52%), 174 (100%), 57 (50%). **Espectrometria de Massa de Alta Resolução** Calculado: 275,15214; Obtido: 275,15211.

N-(metoxicarbonil)-2-(4-metoxifenil)-2,5-diidropirrolina 21b.

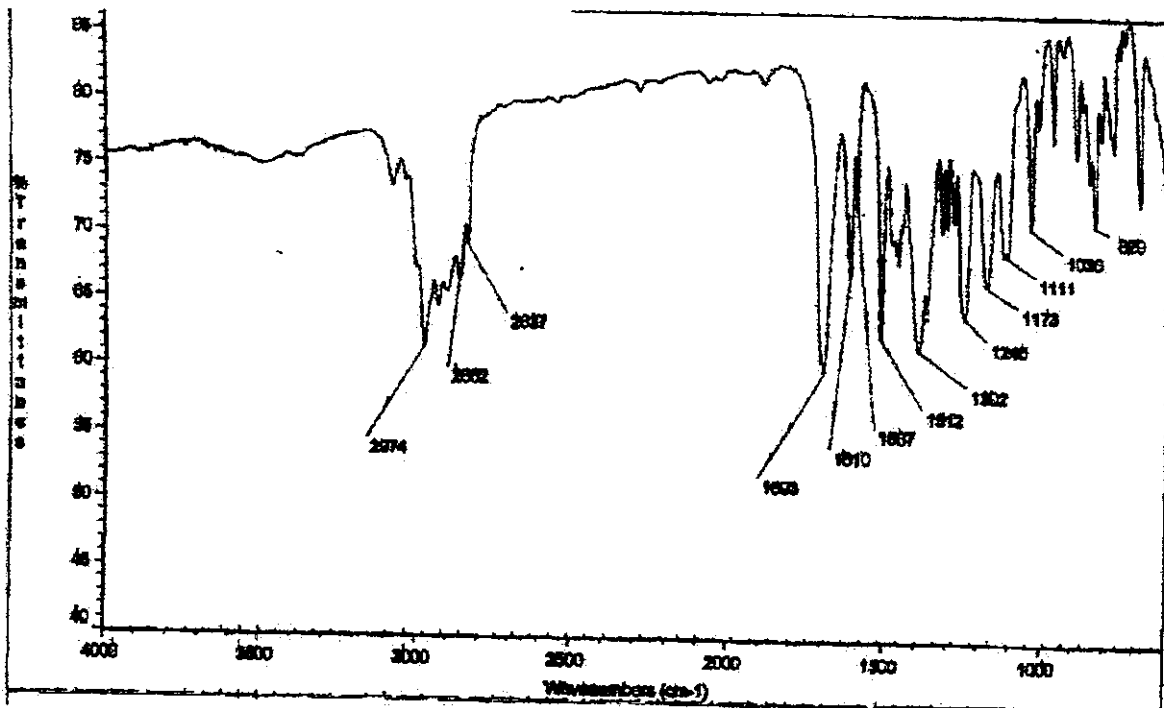


I.V. (filme cm⁻¹) 2952, 1705, 1610, 1512, 1448, 1244, 1174, 1120, 1034, 829. **RMN H¹(CCl₄, δ, ppm, 300 MHz, ta)** 7,09 (2H, dd, *J*= 8 e 26); 6,70 (2H, d, *J*=8); 5,82 (1H, dd, *J*=2 e 6); 5,72+5,65 (1H, 2d, *J*=4 e 6); 5,39+5,32 (1H, 2s); 4,23 (2H, dd, *J*=2 e 12); 3,73 (3H, s); 3,57+3,49 (3H, 2s). **RMN C¹³(CCl₄, δ, ppm, 75 MHz, ta)** 51,7 (CH₃); 53,0 (CH₂); 54,5 (CH₃); 67,2 (CH); 113,3 (2CH), 124,2 (CH); 127,3 (2CH); 131,3 (C); 133,6 (CH); 153,6 (C); 158,7 (C). **E.M. principais sinais** 233 (M⁺), 218 (40%), 174 (100%), 158 (10%); 134 (5%). **Espectrometria de Massa de Alta Resolução** Calculado: 233,10519; Obtido: 233,10531.

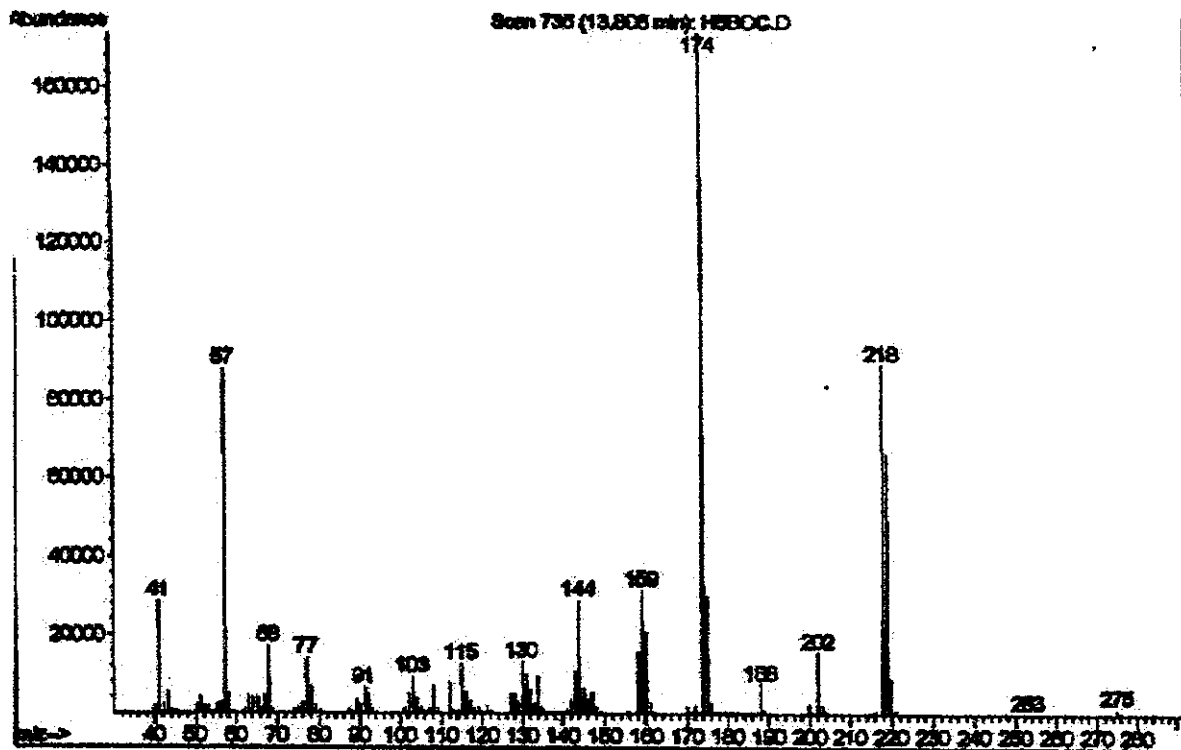
N-(Benzolicarbonil)-2-(4-metoxifenil)-2,5-diidropirrolina 21c.



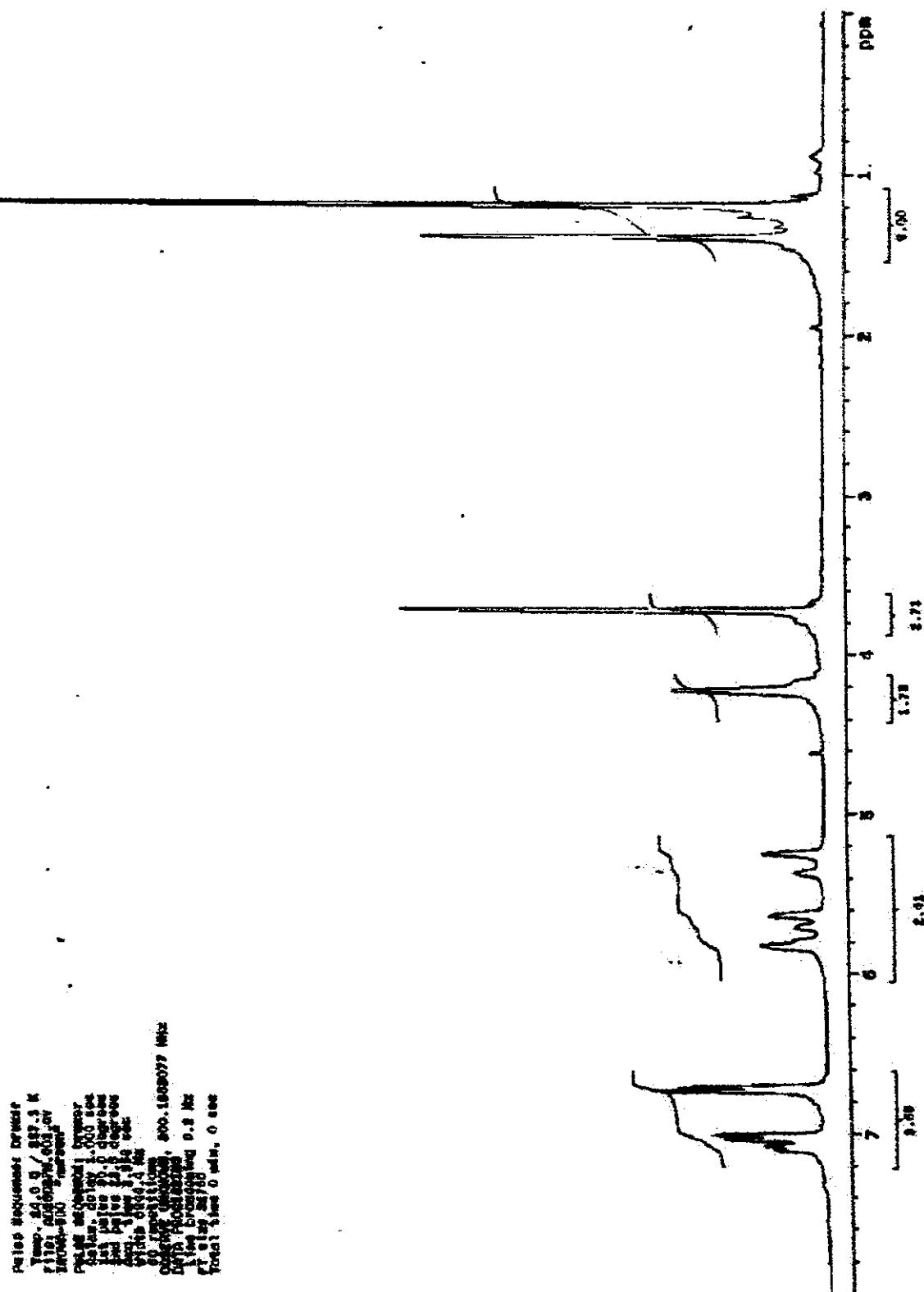
I.V. (filme cm⁻¹), principais sinais 3032, 2860, 1705, 1608, 1510, 1410, 1356, 1242, 1173, 1105. **RMN H¹(CCl₄, δ, ppm, 300 MHz, ta)** 7,15-6,60 (9H, m); 5,80 (1H, t, *J*=6); 5,70 (1H, 2dd, *J*=2 e 6); 5,40 (1H, dd, *J*=2 e 20); 4,98 (2H, m); 4,30 (2H, m); 3,70 (3H, s). **RMN C¹³(CCl₄, δ, ppm, 75 MHz, ta)** 53,9 (CH₂); 54,5 (CH₃); 66,0 (CH₂); 67,0 (CH); 113,4 (2CH); 124,1 (CH); 127,1 (2CH); 131,3 (CH); 133,7 (C); 153,2 (C); 158,7 (C). **E.M. principais sinais** 309 (M⁺), 218 (85%), 174 (40%), 91 (100%). **Espectrometria de Massa de Alta Resolução** Calculado: 309,13649; Obtido: 309,13649.



Espectro de infravermelho de 21a.



Espectro de massa de 21a.

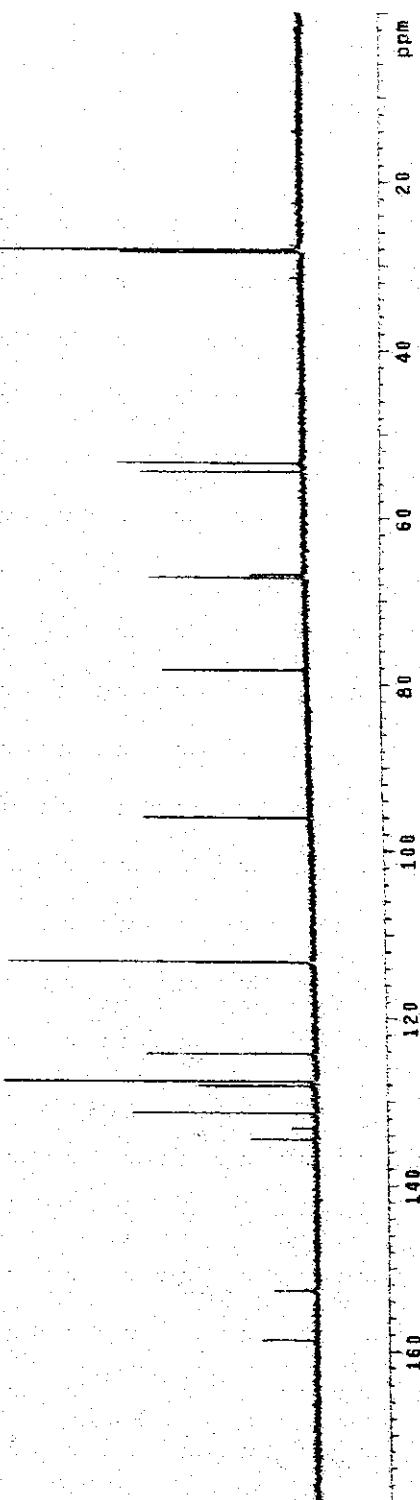


Espectro de RMN H¹(500MHz) em CCl₄ de 21a.

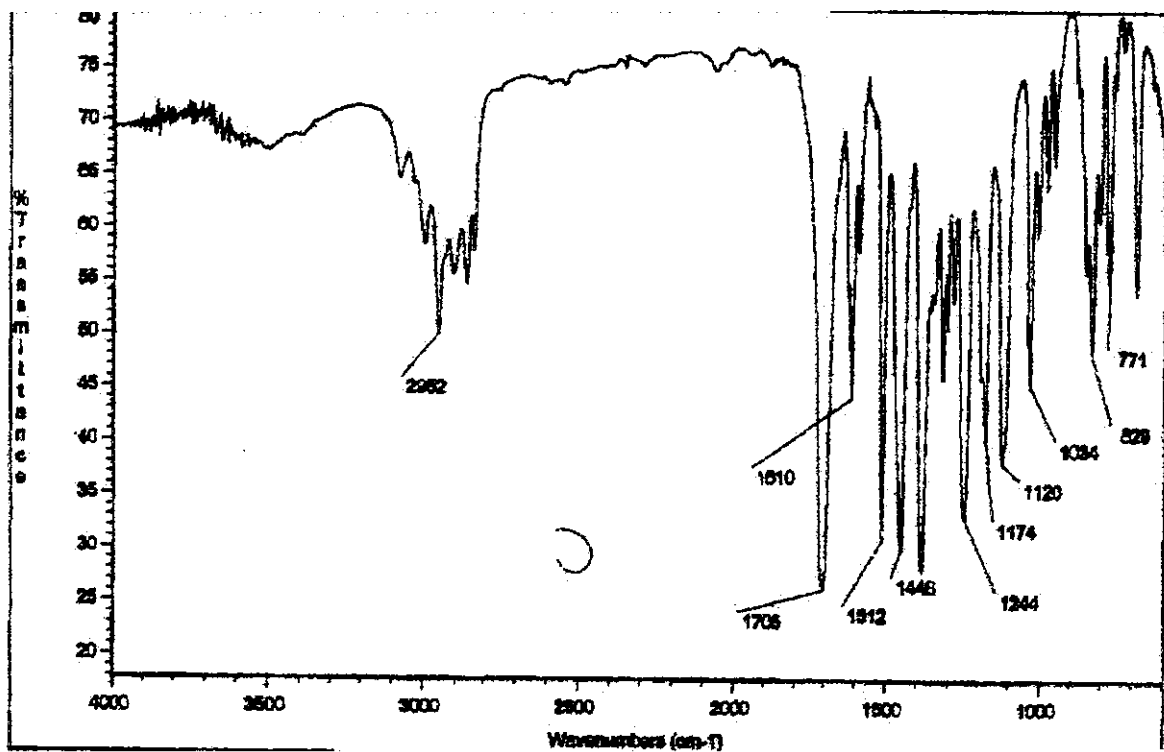
Daniel's Neck S. do Minas Gerais
 pulse sequence: spin

Scans: 300
 Ambient temperature:
 29.1°C
 T₁: 1.1487 sec
 FID: 4012140C
 TDR: 500 "Free Run"

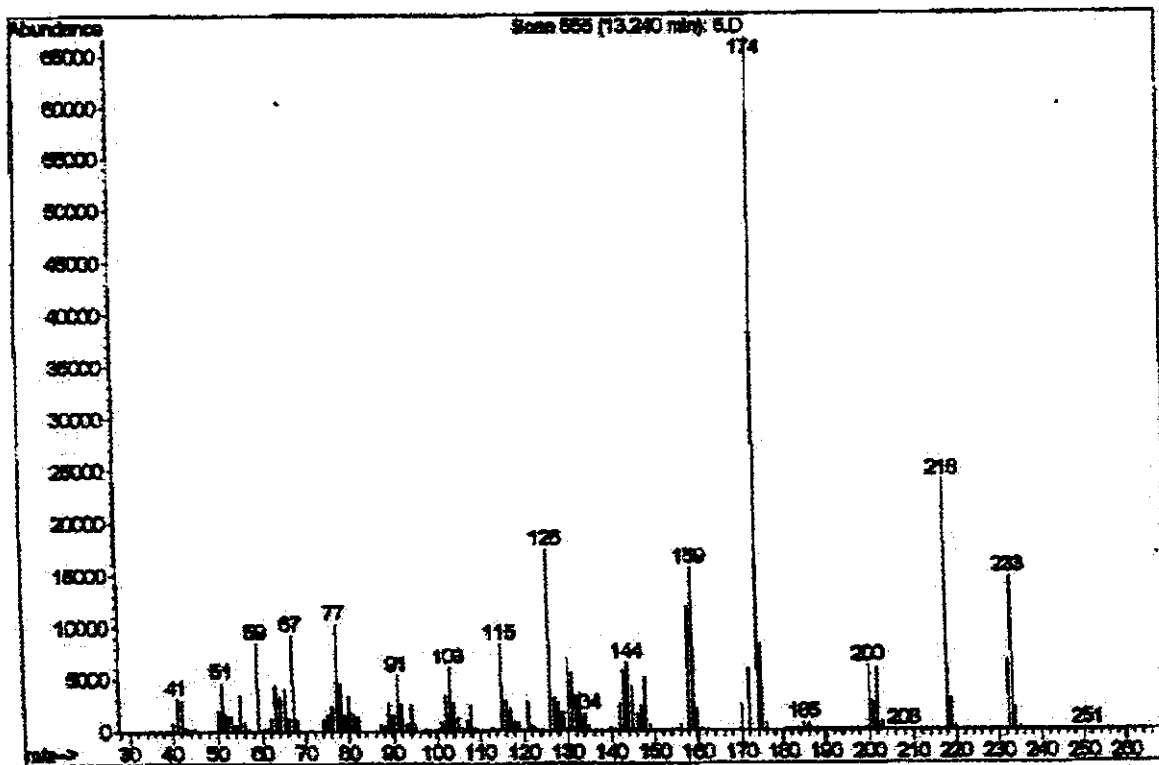
PULSE SEQUENCE
 RF1: delay 1.510 sec
 Phase: 90° deresa
 Run time: 1.04 sec
 Width: 3001.3 Hz
 No. repetitions: 100
 OBSERVE Q: 128.658851 MHz
 DECIMATE: 11, 498 spectra/4 MHz
 Power: 30 dB
 Continuously on
 Mod: 1.6 modulated
 DATA PROCESSING
 Line broadening: 1.0 Hz
 File size: 131072
 Total time: 3 hr. 31 @10.6 sec



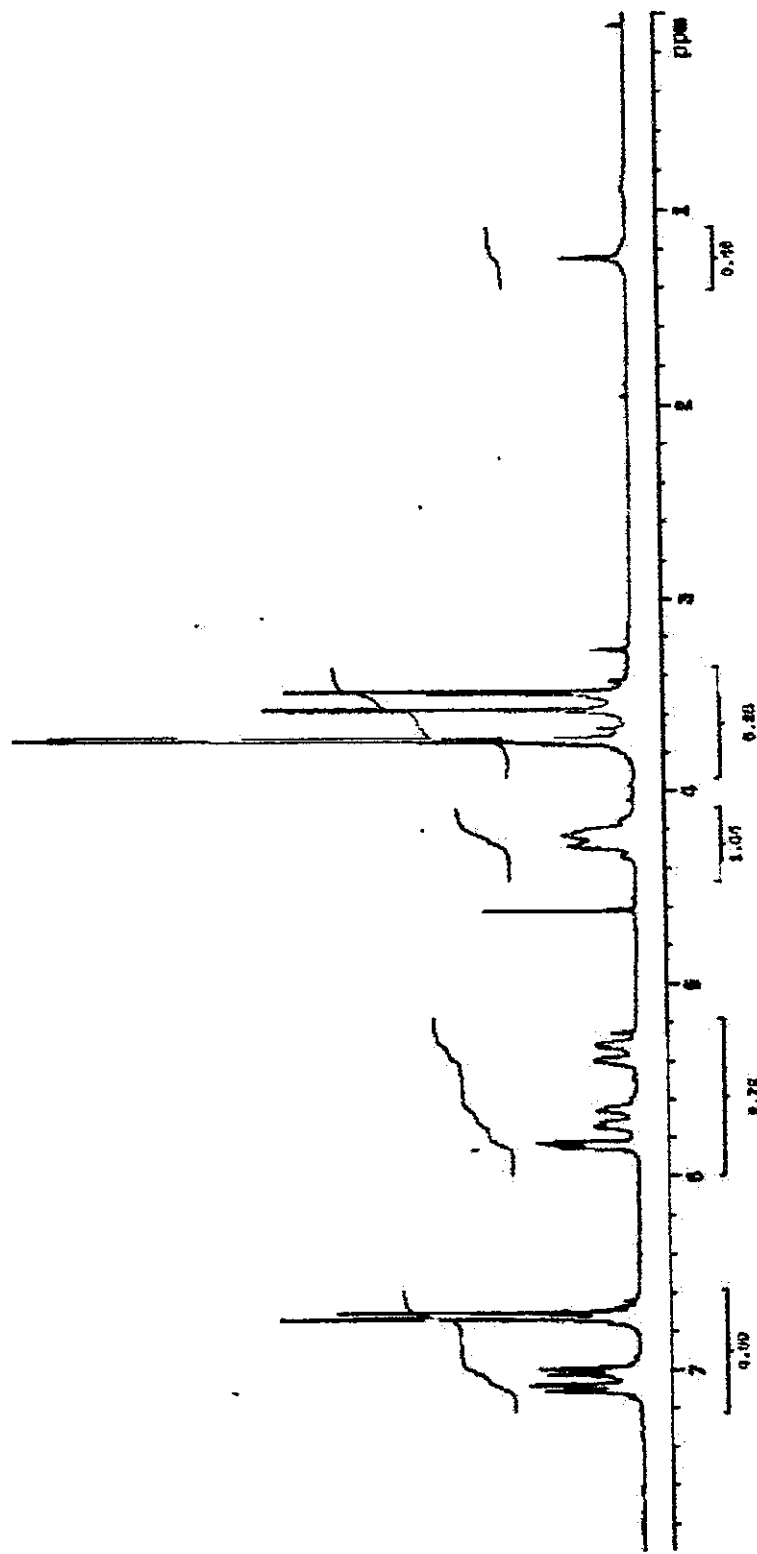
Espectro de RMN C¹³ (125MHz) em CCl₄ de 21a.



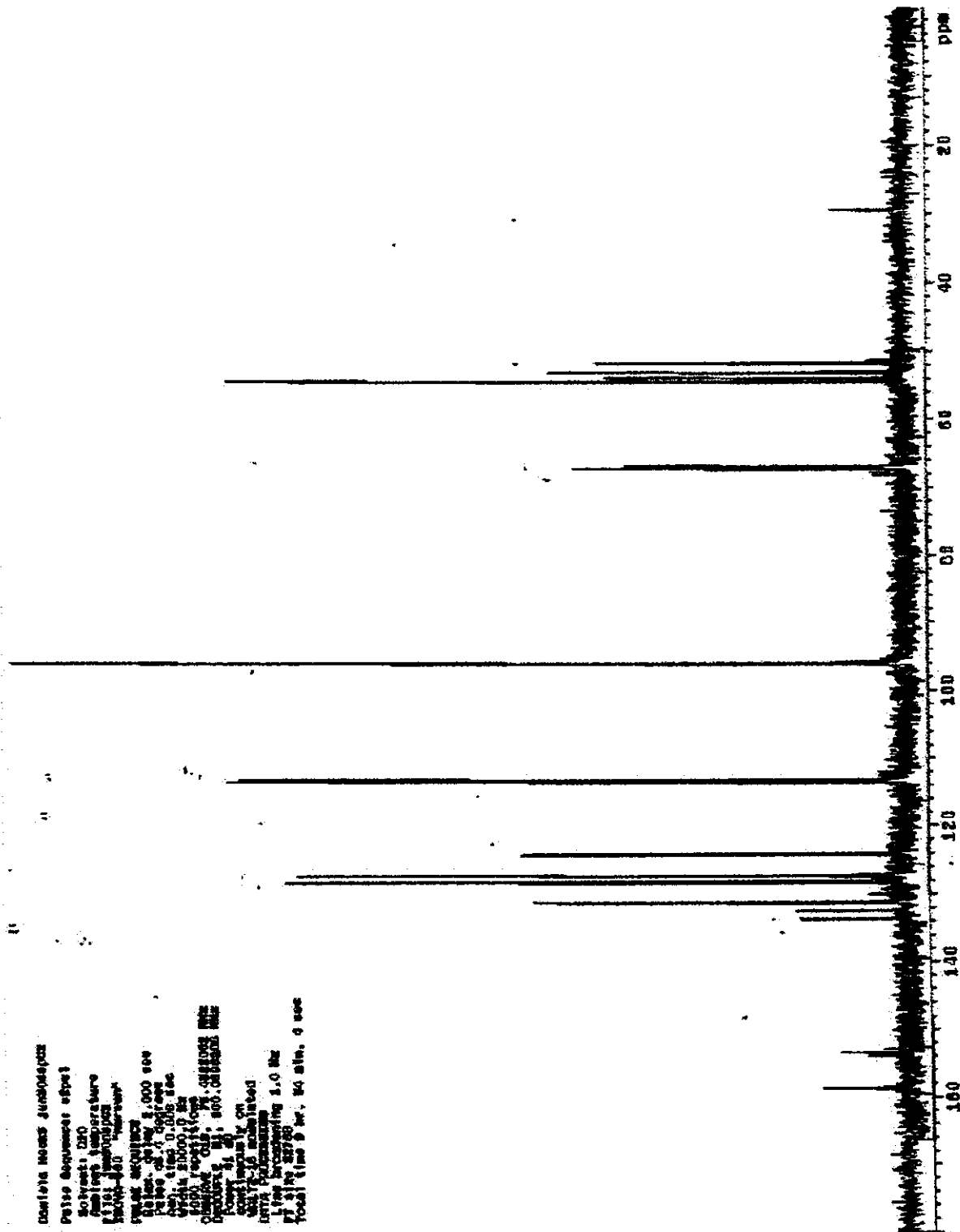
Espectro de infravermelho de 21b.



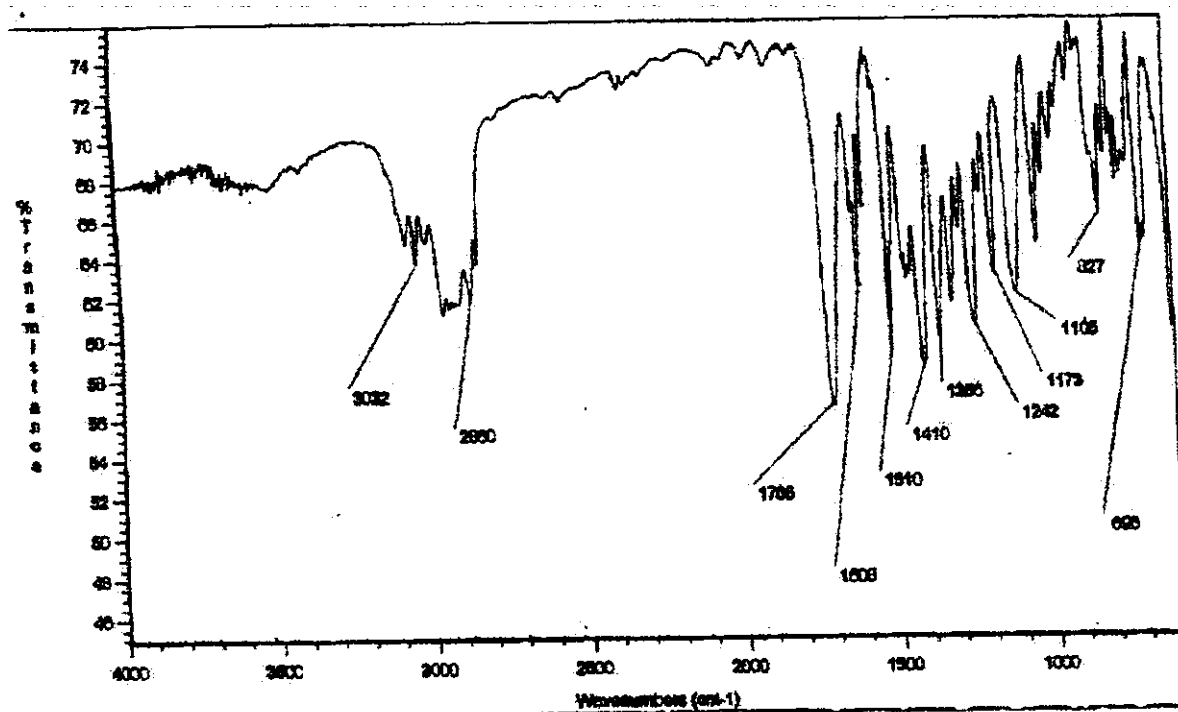
Espectro de massa de 21b.



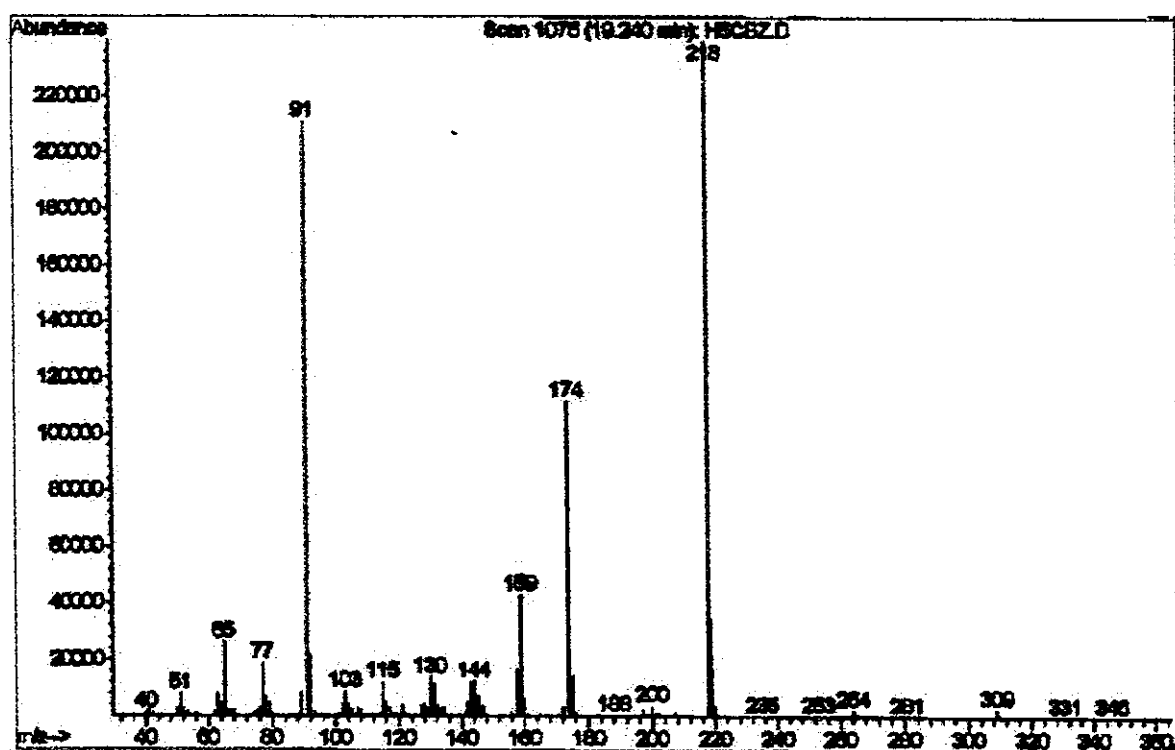
Espectro de RMN H¹(300MHz) em CCl₄ de **21b**.



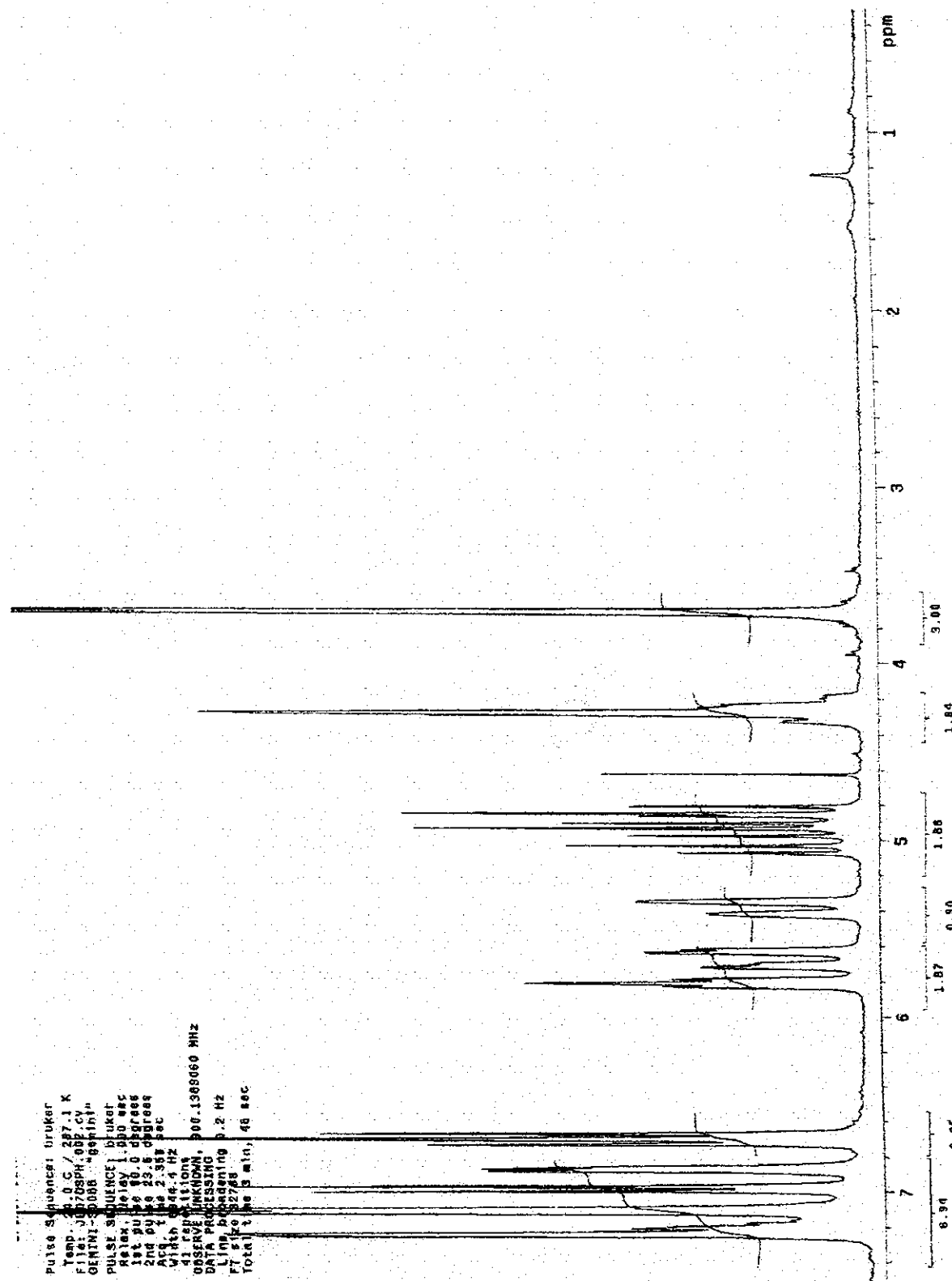
Espectro de RMN C¹³ (75MHz) em CCl₄ de **21b**



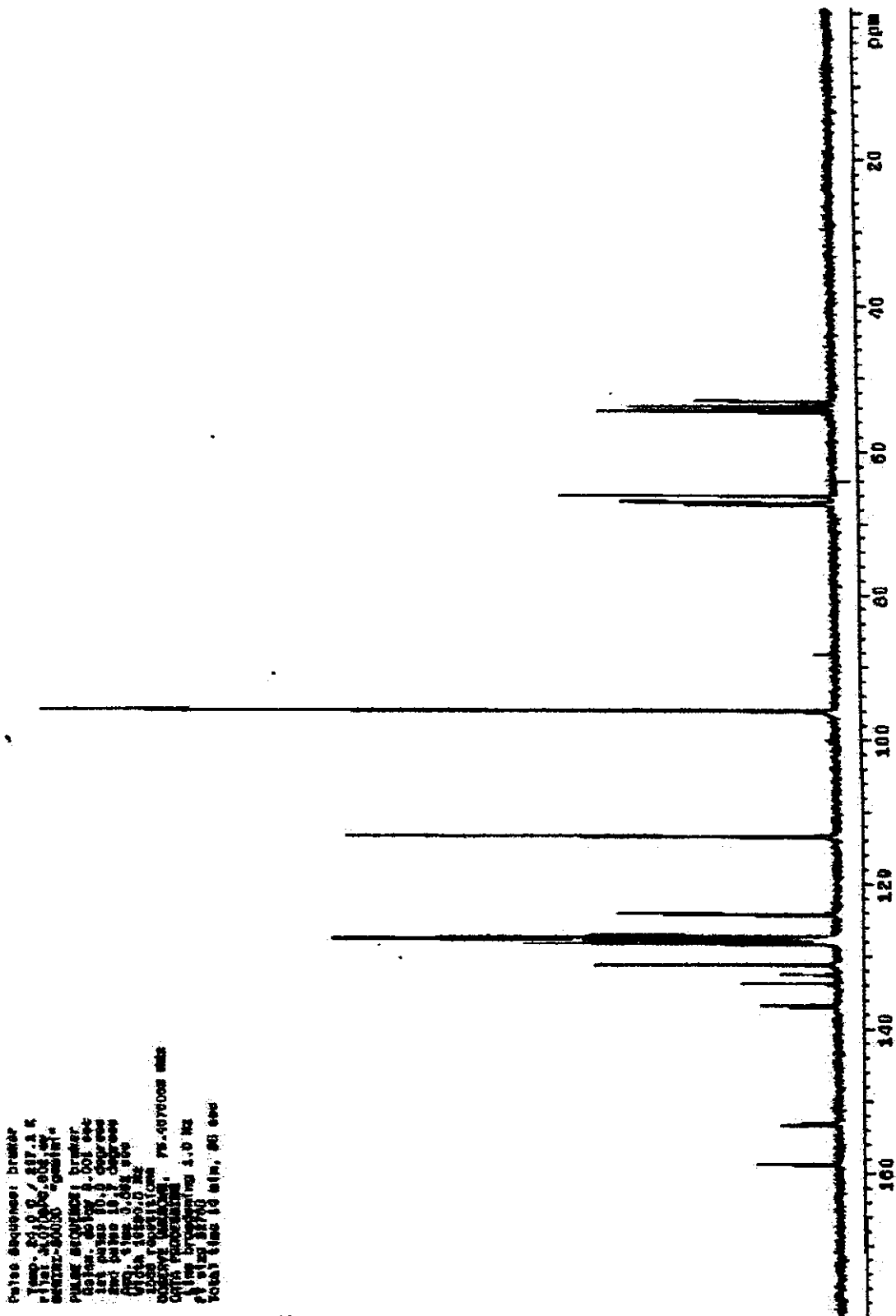
Espectro de infravermelho de 21c.



Espectro de massa de 21c.

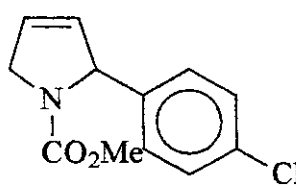


Espectro de RMN H¹(300MHz) em CCl₄ de 21c.



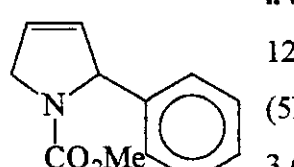
Espectro de RMN C¹³ (75MHz) em CCl₄ de **21c**.

N-(metoxicarbonil)-2-(4-metilfenil)-2,5-diidropirrolina 21d.



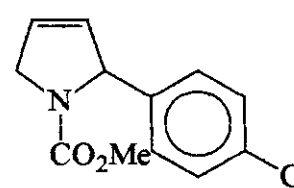
I.V. (pastilha cm⁻¹) 2954, 2920, 2866, 1701, 1608, 1516, 1450, 1385, 1334, 1184, 1122, 984. **RMN H¹(CDCl₃, δ, ppm, 300 MHz, ta)** 7,18 (4H, dd, *J*= 10 e 12); 5,90 (1H, dd, *J*= 2 e 4); 5,77 (1H, m); 5,54 + 5,45 (1H, 2d, *J*=2); 4,42 (2H, m); 3,68 + 3,58 (3H, 2s); 2,35 + 2,33 (3H, 2s). **RMN C¹³(CDCl₃, δ, ppm, 75 MHz, ta)** 21,1 (CH₃); 52,3 (CH₃); 54,2 (CH₂); 67,5 (CH); 124,3 (CH); 126, 2 (CH); 126,7 (CH); 128,9 (2CH); 130,9 (CH); 136,8 (C); 138,5 (C); 154,8 (C). **E.M. principais sinais** 217 (M⁺), 202 (100%); 158 (98%); 143 (80%); 126 (96%); 115 (50%). **Espectrometria de Massa de Alta Resolução** Calculado: 217,11028; Obtido: 217,11030.

N-(metoxicarbonil)-2-fenil-2,5-diidropirrolina 21e^{18c}.

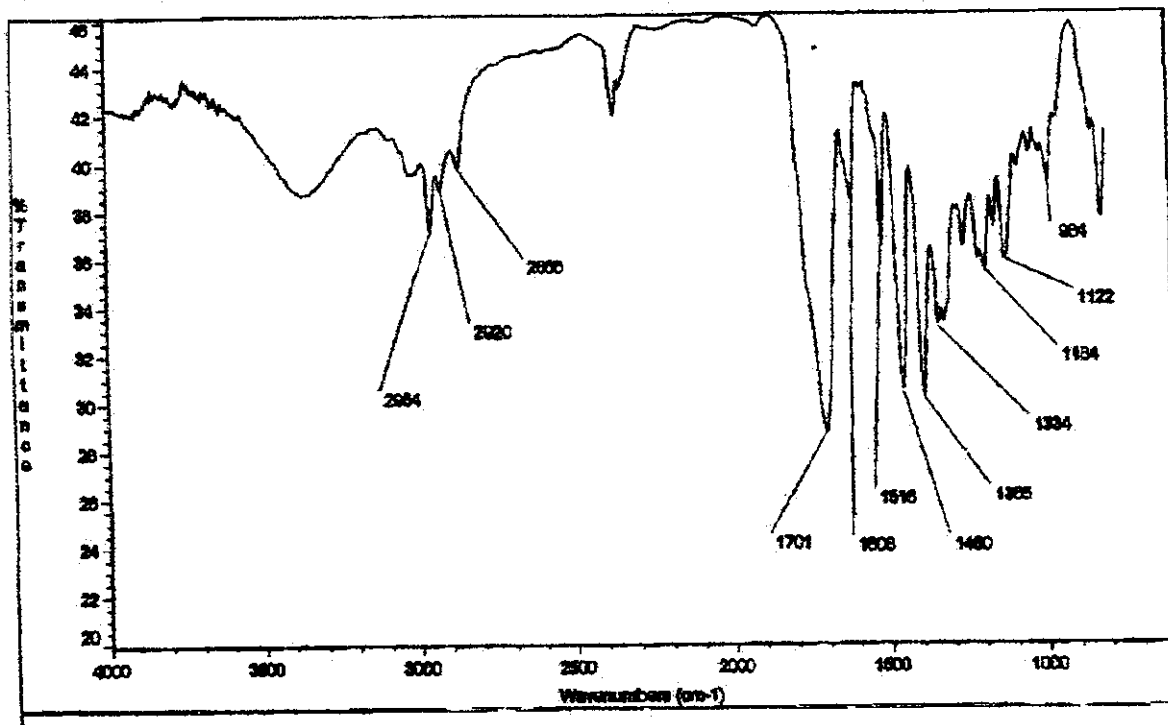


I.V. (filme cm⁻¹) 3032, 2954, 2866, 1709, 1624, 1450, 1385, 1319, 1254, 1122, 837. **RMN H¹(CDCl₃, δ, ppm, 300 MHz, ta)** 7,40-7,10 (5H, m); 5,90 (1H, m); 5,75 (1H, m); 5,50 (1H, 2sl); 4,40 (2H, m); 3,66+3,56 (3H, 2s). **RMN C¹³(CDCl₃, δ, ppm, 75 MHz, ta)** 52,3 (CH₃); 54,0 (CH₂); 68,0 (CH); 124,6 (CH); 126,4-129,0 (5CH); 130,9 (CH); 141,6 (C); 158,0 (C).

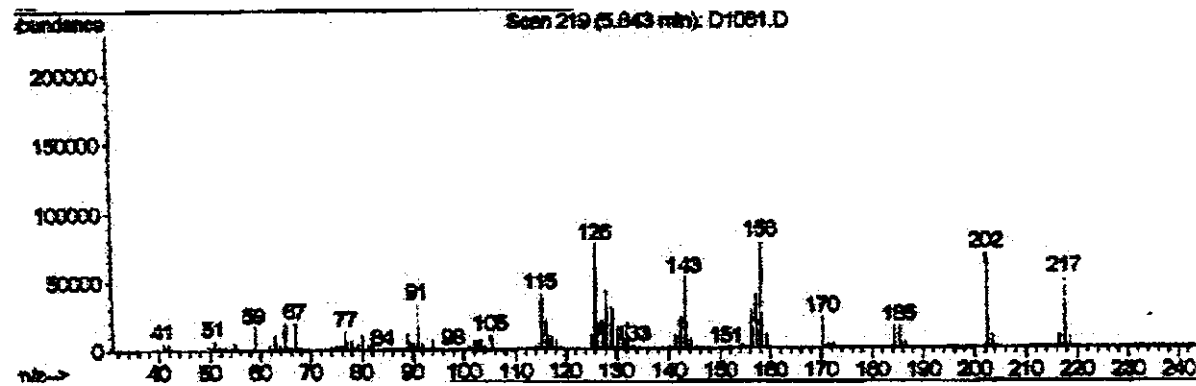
N-(metoxicarbonil)-2-(4-clorofenil)-2,5-diidropirrolina 21f^{18c}.



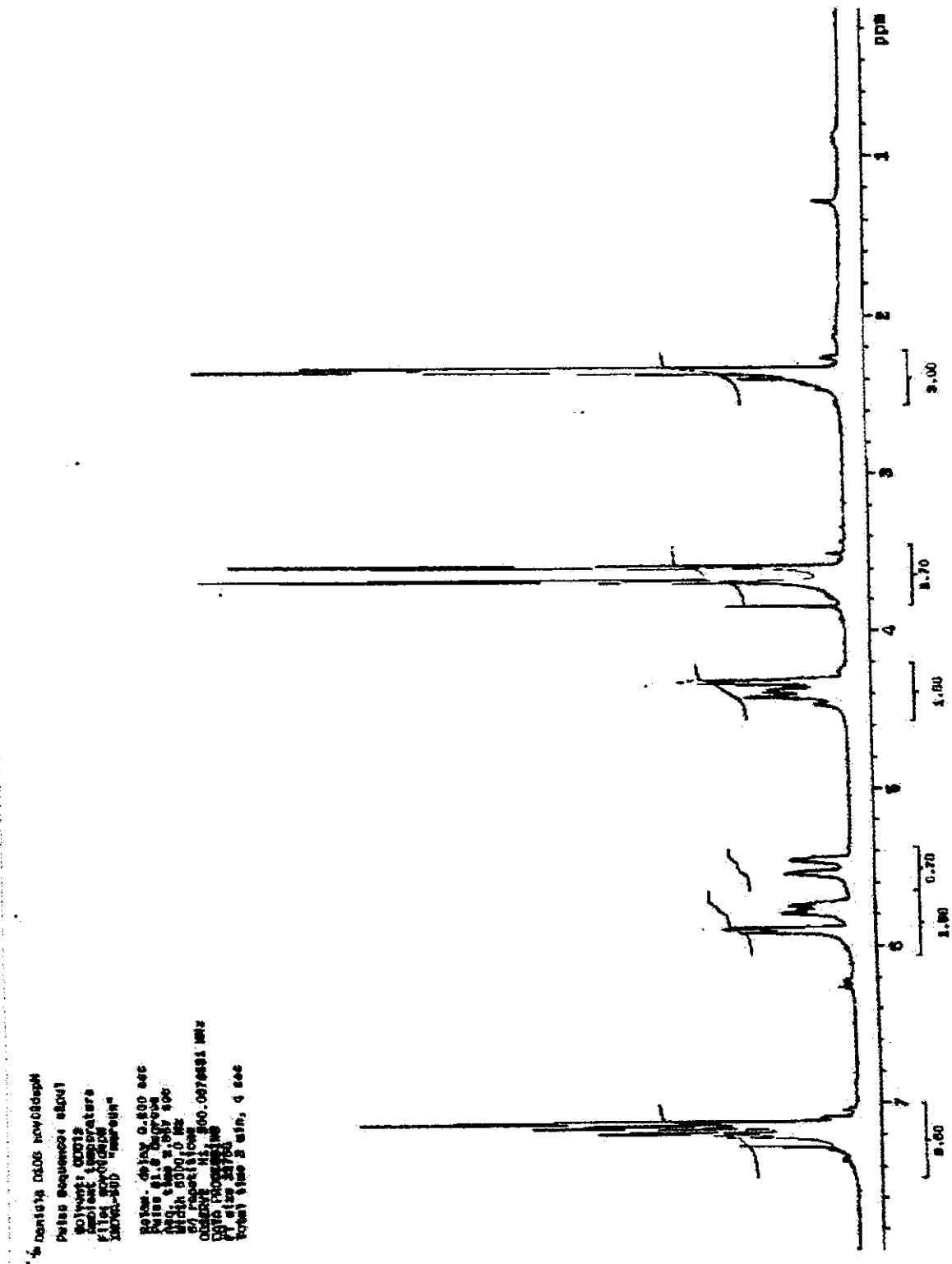
RMN H¹(CDCl₃, δ, ppm, 500 MHz, ta) 7,30-7,13 (4H, m); 5,90 (1H, m); 5,72 (1H, m); 5,50 (1H, 2sl); 4,35 (2H, m); 3,68+3,57 (3H, 2s). **RMN C¹³(CDCl₃, δ, ppm, 75 MHz, ta)** 52,4 (CH₃); 54,0 (CH₂); 67,5 (CH); 125,0 (CH); 125,1-128,5 (4CH); 130,4 (CH); 133,0 (C); 140,1 (C); 155,1 (C).



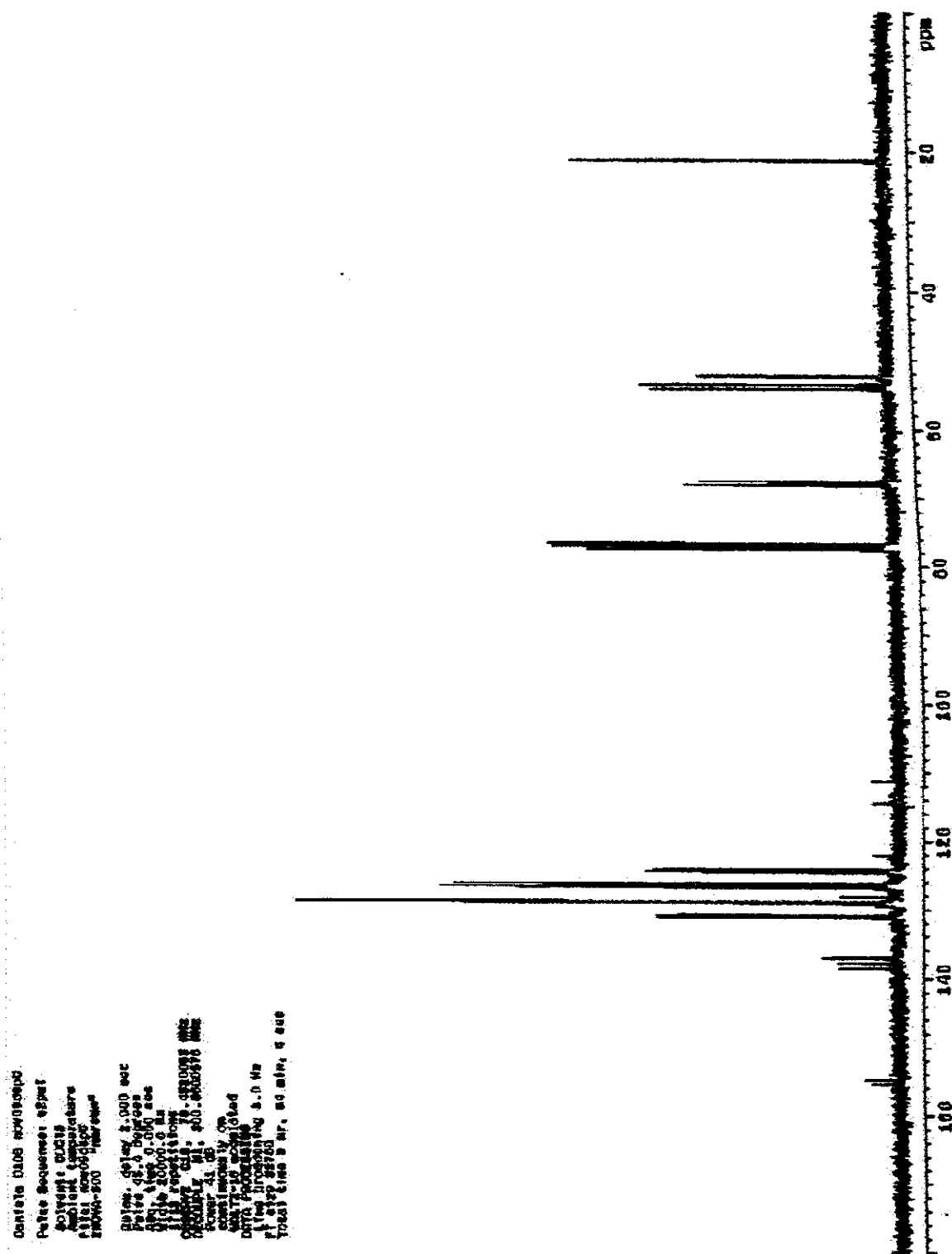
Espectro de infravermelho de 21d.



Espectro de massa de 21d.

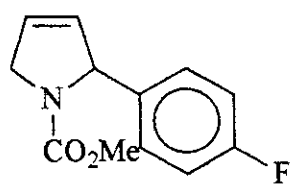


Espectro de RMN H¹(300MHz) em CDCl₃ de **21d**.



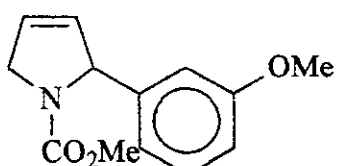
Espectro de RMN C¹³ (75MHz) em CDCl₃ de **21d**.

N-(metoxicarbonil)-2-(4-fluorfenil)-2,5-diidropirrolina 21g.



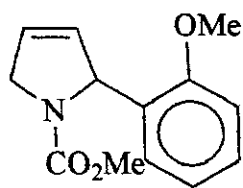
I.V. (filme cm⁻¹) 3074, 2956, 2866, 1699, 1604, 1508, 1450, 1385, 1319, 1223, 1122, 1012, 833. **RMN H¹ (CDCl₃, δ, ppm, 300 MHz, ta)** 7,05-6,85 (4H, m); 5,66 (1H, m); 5,50 (1H, m); 5,28 + 5,18 (1H, 2s); 4,10 (2H, m); 3,41 + 3,31 (3H, 2s). **RMN C¹³ (CDCl₃, δ, ppm, 125 MHz, ta)**. 52,3 (CH₃); 53,4 (CH₂); 67,0 (CH); 115,2 (2CH); 124,8 (CH); 128,2 (CH); 128,6 (CH); 130,6 (CH); 132,6 (C); 136,6 (C), 155,3 (C). **E.M. principais sinais** 221 (M⁺); 206 (65%); 162 (80%); 146 (30%), 126 (100%); 109 (30%). **Espectrometria de Massa de Alta Resolução** Calculado: 221,08521; Obtido: 221,08655.

N-(metoxicarbonil)-2-(3-metoxifenil)-2,5-diidropirrolina 21j.

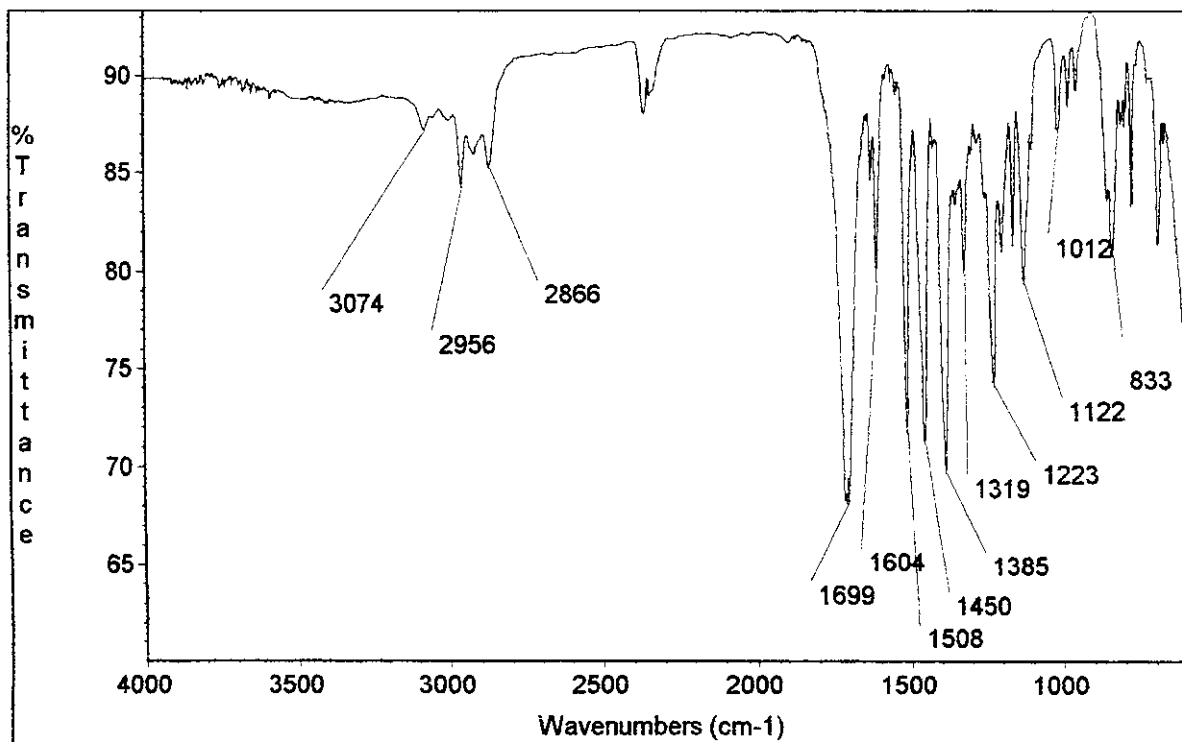


I.V. (filme cm⁻¹) 3078, 3001, 2954, 2862, 1709, 1624, 1601, 1489, 1450, 1385, 1242, 1122, 1026. **(CDCl₃, δ, ppm, 300 MHz, ta)** 7,22 (1H, dd, J=8 e 11); 7,10 (1H, d, J= 8); 6,90 (2H, q; J=8 e 16); 5,97 (1H, sl); 5,85 (1H, m); 5,78 (1H, m); 4,30 (2H, m); 3,81 (3H, s); 3,72+3,58 (3H, 2s). **(CDCl₃, δ, ppm, 75 MHz, ta)**. 52,7 (CH₃); 54,5 (CH₂); 55,8 (CH₃); 63,1 (CH); 110,6 (CH); 121,0 (CH); 123,9 (CH); 125,9 (CH); 128,2 (CH); 129,3 (C); 130,6 (CH); 154,7 (C); 155,7 (C). **E.M. principais sinais** 233 (M⁺); 174 (100%); 159 (15%). **Espectrometria de Massa de Alta Resolução** Calculado: 233,10519; Obtido: 233,10785.

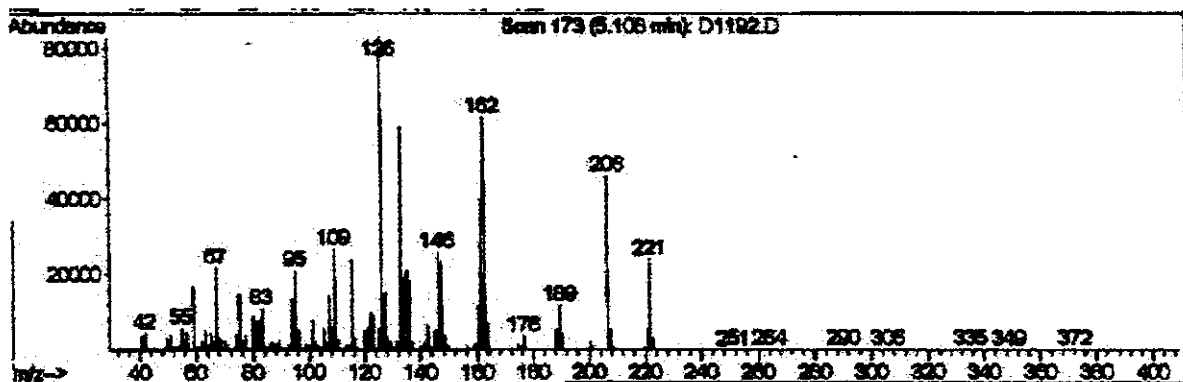
N-(metoxicarbonil)-2-(2-metoxifenil)-2,5-diidropirrolina 21k.



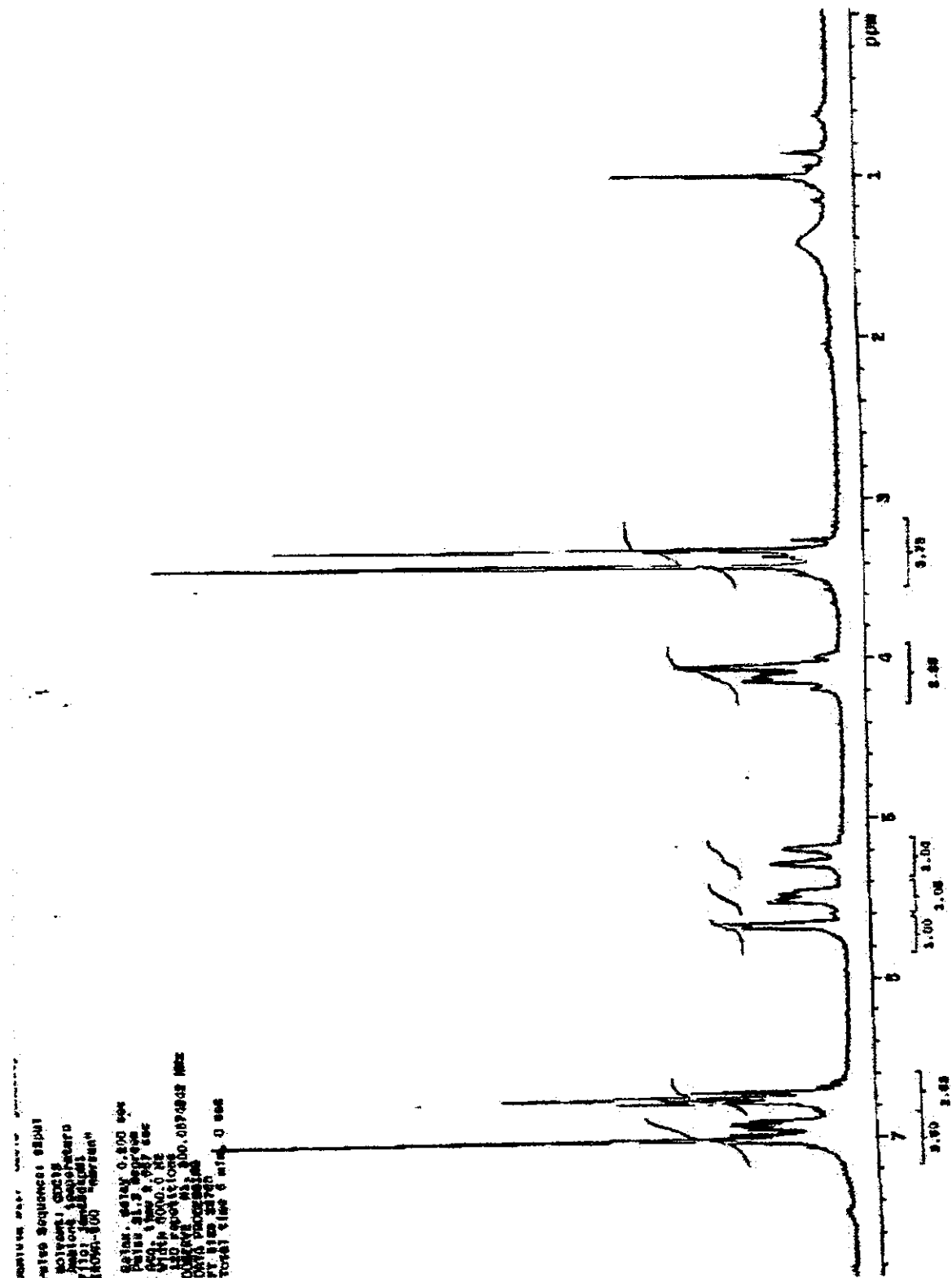
I.V. (pastilha cm⁻¹) 2954, 2924, 2866, 1705, 1601, 1489, 1450, 1385, 1281. **(CDCl₃, δ, ppm, 500 MHz, ta)** 7,10 (2H, m); 6,87 (2H, m); 5,94 (1H, sl); 5,82 (1H, dd, J=16 e 8); 5,74 (1H, d, J=8); 4,43 + 4,33 (2H, 2d, J= 16 e 8); 3,79 + 3,66 (3H, 2s); 3,59 + 3,51 (3H, 2s). **(CDCl₃, δ, ppm, 125 MHz, ta)** 51,7 (CH₃); 53,6 (CH₂); 54,7 (CH₃); 62,2 (CH); 110,0 (CH); 120,2 (CH); 123,1 (CH); 125,3 (CH); 127,4 (CH); 129,7 (C); 130,1 (CH); 154,5 (C); 155,5 (C). **E.M. principais sinais** 233 (M⁺); 174 (25%); 158 (100%); 143 (20%); 131 (20%); 115 (20%); 91 (20%). **Espectrometria de Massa de Alta Resolução** Calculado: 233,10519; Obtido: 233,10053.



Espectro de infravermelho de 21g.



Espectro de massa de 21g.



Espectro de RMN H¹(300MHz) em CDCl₃ de 21g.

Durante 01/07/2018/nome: matheuspolo

Pulse sequence: spin1

Solvent: CDCl₃

Acquisition temperature

Varif: 1°-10°

Filter width: 1000 Hz

Length: 1000 sec

Recon.: 40 sec

Pulse: 90°, 10°, 5°, 2.5°, 1.5°, 1°, 0.5°, 0.25°, 0.125°

Phase: 0°, 180°, 90°, -90°, 270°, -270°

SW1: 1000 sec

SW2: 1000 sec

SW3: 1000 sec

SW4: 1000 sec

SW5: 1000 sec

SW6: 1000 sec

SW7: 1000 sec

SW8: 1000 sec

SW9: 1000 sec

SW10: 1000 sec

SW11: 1000 sec

SW12: 1000 sec

SW13: 1000 sec

SW14: 1000 sec

SW15: 1000 sec

SW16: 1000 sec

SW17: 1000 sec

SW18: 1000 sec

SW19: 1000 sec

SW20: 1000 sec

SW21: 1000 sec

SW22: 1000 sec

SW23: 1000 sec

SW24: 1000 sec

SW25: 1000 sec

SW26: 1000 sec

SW27: 1000 sec

SW28: 1000 sec

SW29: 1000 sec

SW30: 1000 sec

SW31: 1000 sec

SW32: 1000 sec

SW33: 1000 sec

SW34: 1000 sec

SW35: 1000 sec

SW36: 1000 sec

SW37: 1000 sec

SW38: 1000 sec

SW39: 1000 sec

SW40: 1000 sec

SW41: 1000 sec

SW42: 1000 sec

SW43: 1000 sec

SW44: 1000 sec

SW45: 1000 sec

SW46: 1000 sec

SW47: 1000 sec

SW48: 1000 sec

SW49: 1000 sec

SW50: 1000 sec

SW51: 1000 sec

SW52: 1000 sec

SW53: 1000 sec

SW54: 1000 sec

SW55: 1000 sec

SW56: 1000 sec

SW57: 1000 sec

SW58: 1000 sec

SW59: 1000 sec

SW60: 1000 sec

SW61: 1000 sec

SW62: 1000 sec

SW63: 1000 sec

SW64: 1000 sec

SW65: 1000 sec

SW66: 1000 sec

SW67: 1000 sec

SW68: 1000 sec

SW69: 1000 sec

SW70: 1000 sec

SW71: 1000 sec

SW72: 1000 sec

SW73: 1000 sec

SW74: 1000 sec

SW75: 1000 sec

SW76: 1000 sec

SW77: 1000 sec

SW78: 1000 sec

SW79: 1000 sec

SW80: 1000 sec

SW81: 1000 sec

SW82: 1000 sec

SW83: 1000 sec

SW84: 1000 sec

SW85: 1000 sec

SW86: 1000 sec

SW87: 1000 sec

SW88: 1000 sec

SW89: 1000 sec

SW90: 1000 sec

SW91: 1000 sec

SW92: 1000 sec

SW93: 1000 sec

SW94: 1000 sec

SW95: 1000 sec

SW96: 1000 sec

SW97: 1000 sec

SW98: 1000 sec

SW99: 1000 sec

SW100: 1000 sec

SW101: 1000 sec

SW102: 1000 sec

SW103: 1000 sec

SW104: 1000 sec

SW105: 1000 sec

SW106: 1000 sec

SW107: 1000 sec

SW108: 1000 sec

SW109: 1000 sec

SW110: 1000 sec

SW111: 1000 sec

SW112: 1000 sec

SW113: 1000 sec

SW114: 1000 sec

SW115: 1000 sec

SW116: 1000 sec

SW117: 1000 sec

SW118: 1000 sec

SW119: 1000 sec

SW120: 1000 sec

SW121: 1000 sec

SW122: 1000 sec

SW123: 1000 sec

SW124: 1000 sec

SW125: 1000 sec

SW126: 1000 sec

SW127: 1000 sec

SW128: 1000 sec

SW129: 1000 sec

SW130: 1000 sec

SW131: 1000 sec

SW132: 1000 sec

SW133: 1000 sec

SW134: 1000 sec

SW135: 1000 sec

SW136: 1000 sec

SW137: 1000 sec

SW138: 1000 sec

SW139: 1000 sec

SW140: 1000 sec

SW141: 1000 sec

SW142: 1000 sec

SW143: 1000 sec

SW144: 1000 sec

SW145: 1000 sec

SW146: 1000 sec

SW147: 1000 sec

SW148: 1000 sec

SW149: 1000 sec

SW150: 1000 sec

SW151: 1000 sec

SW152: 1000 sec

SW153: 1000 sec

SW154: 1000 sec

SW155: 1000 sec

SW156: 1000 sec

SW157: 1000 sec

SW158: 1000 sec

SW159: 1000 sec

SW160: 1000 sec

SW161: 1000 sec

SW162: 1000 sec

SW163: 1000 sec

SW164: 1000 sec

SW165: 1000 sec

SW166: 1000 sec

SW167: 1000 sec

SW168: 1000 sec

SW169: 1000 sec

SW170: 1000 sec

SW171: 1000 sec

SW172: 1000 sec

SW173: 1000 sec

SW174: 1000 sec

SW175: 1000 sec

SW176: 1000 sec

SW177: 1000 sec

SW178: 1000 sec

SW179: 1000 sec

SW180: 1000 sec

SW181: 1000 sec

SW182: 1000 sec

SW183: 1000 sec

SW184: 1000 sec

SW185: 1000 sec

SW186: 1000 sec

SW187: 1000 sec

SW188: 1000 sec

SW189: 1000 sec

SW190: 1000 sec

SW191: 1000 sec

SW192: 1000 sec

SW193: 1000 sec

SW194: 1000 sec

SW195: 1000 sec

SW196: 1000 sec

SW197: 1000 sec

SW198: 1000 sec

SW199: 1000 sec

SW200: 1000 sec

SW201: 1000 sec

SW202: 1000 sec

SW203: 1000 sec

SW204: 1000 sec

SW205: 1000 sec

SW206: 1000 sec

SW207: 1000 sec

SW208: 1000 sec

SW209: 1000 sec

SW210: 1000 sec

SW211: 1000 sec

SW212: 1000 sec

SW213: 1000 sec

SW214: 1000 sec

SW215: 1000 sec

SW216: 1000 sec

SW217: 1000 sec

SW218: 1000 sec

SW219: 1000 sec

SW220: 1000 sec

SW221: 1000 sec

SW222: 1000 sec

SW223: 1000 sec

SW224: 1000 sec

SW225: 1000 sec

SW226: 1000 sec

SW227: 1000 sec

SW228: 1000 sec

SW229: 1000 sec

SW230: 1000 sec

SW231: 1000 sec

SW232: 1000 sec

SW233: 1000 sec

SW234: 1000 sec

SW235: 1000 sec

SW236: 1000 sec

SW237: 1000 sec

SW238: 1000 sec

SW239: 1000 sec

SW240: 1000 sec

SW241: 1000 sec

SW242: 1000 sec

SW243: 1000 sec

SW244: 1000 sec

SW245: 1000 sec

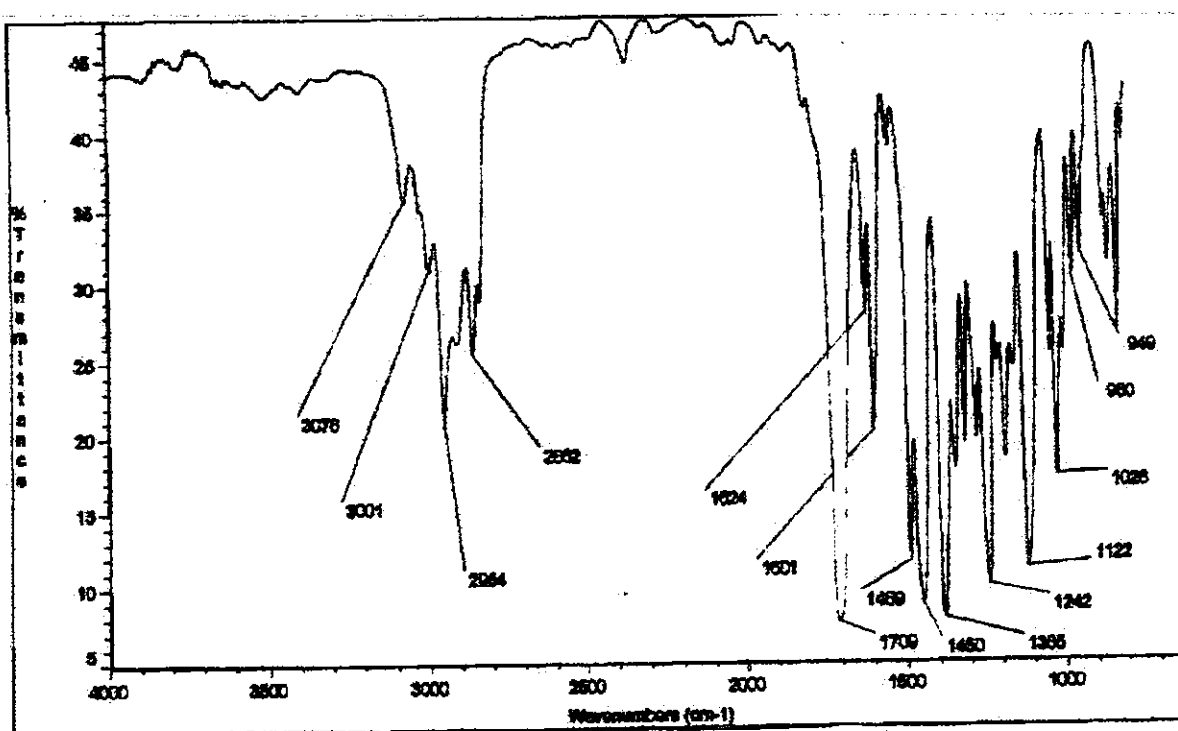
SW246: 1000 sec

SW247: 1000 sec

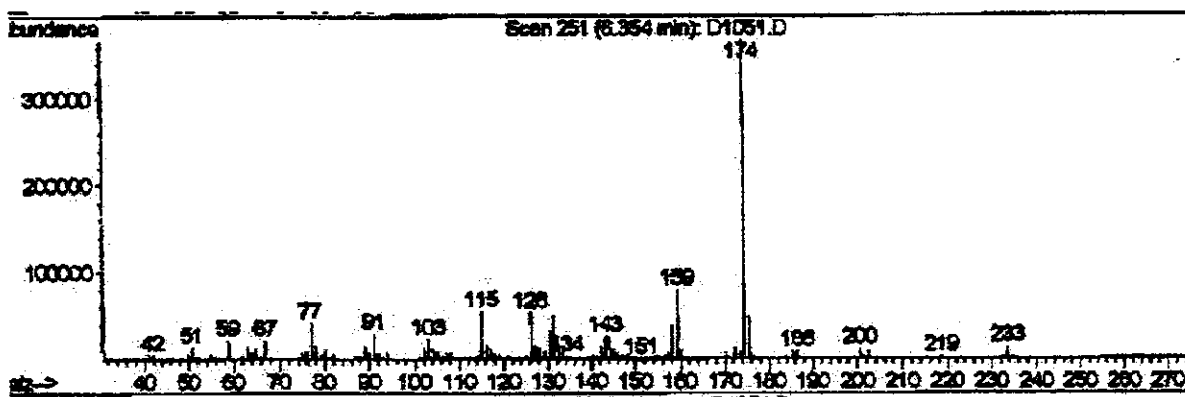
SW248: 1000 sec

SW249: 1000 sec

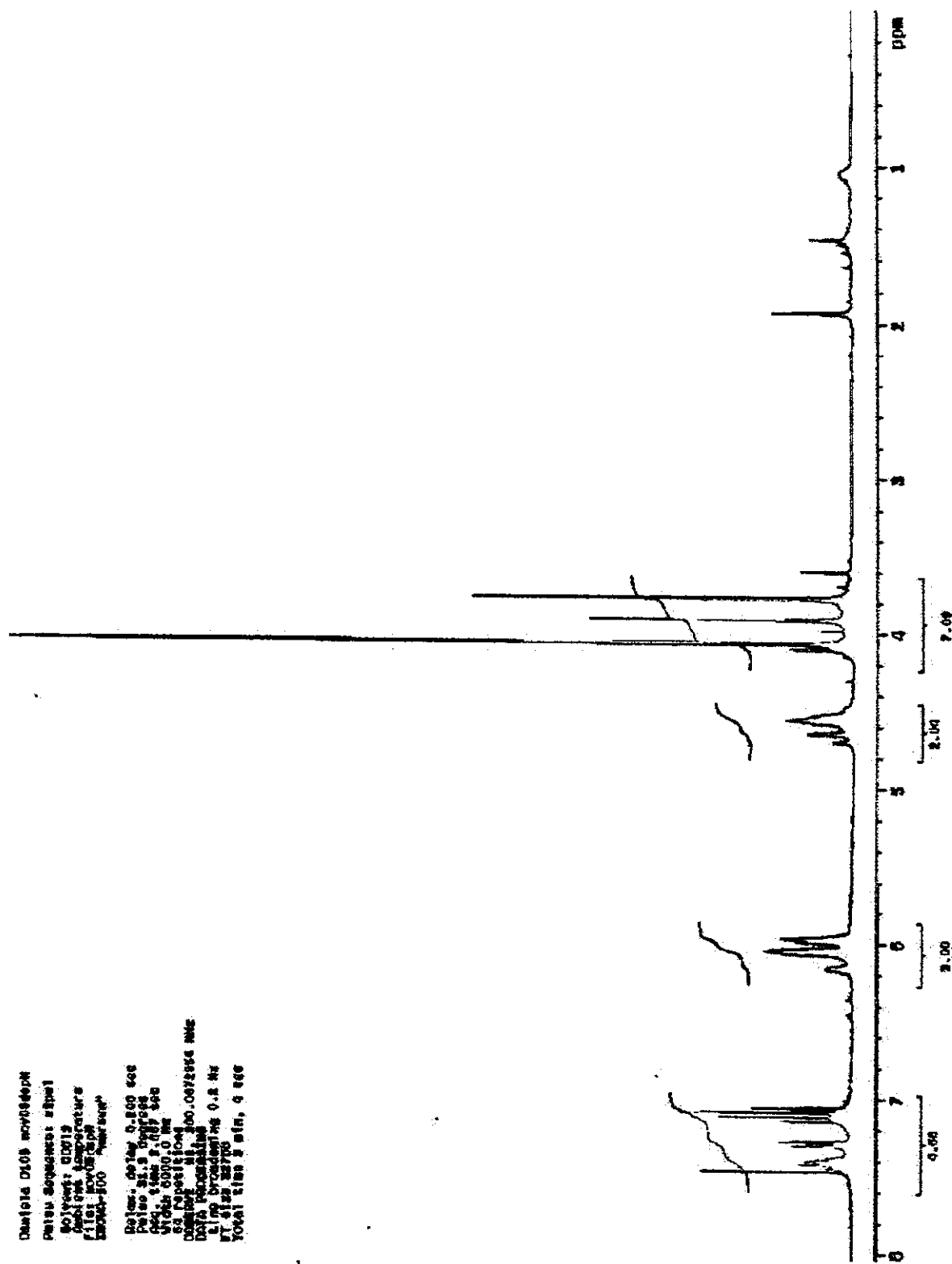
SW250: 1000 sec



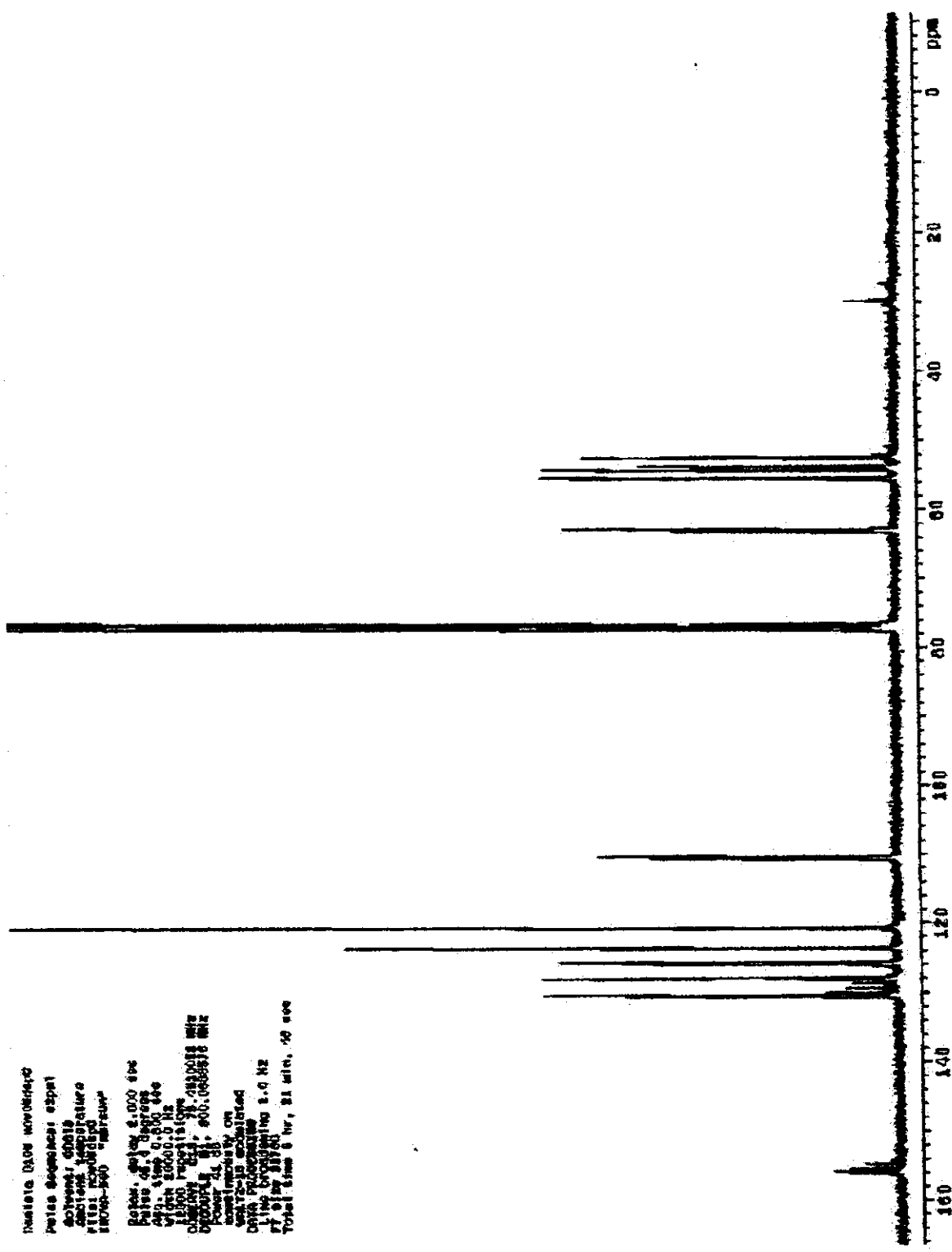
Espectro de infravermelho de 21j.



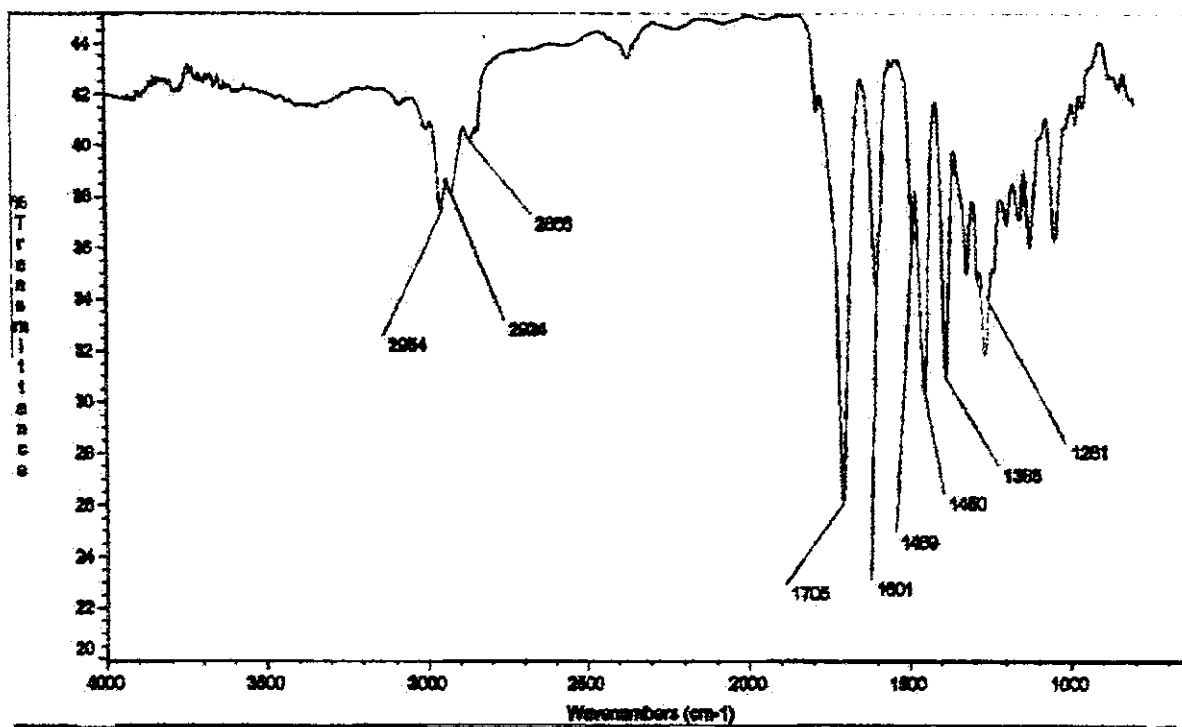
Espectro de massa de 21j.



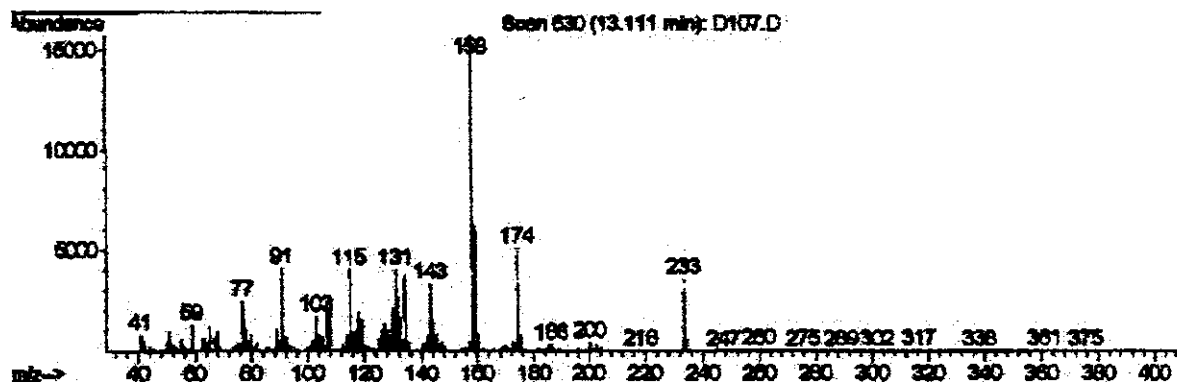
Espectro de RMN H¹(300MHz) em CDCl₃ de 21j.



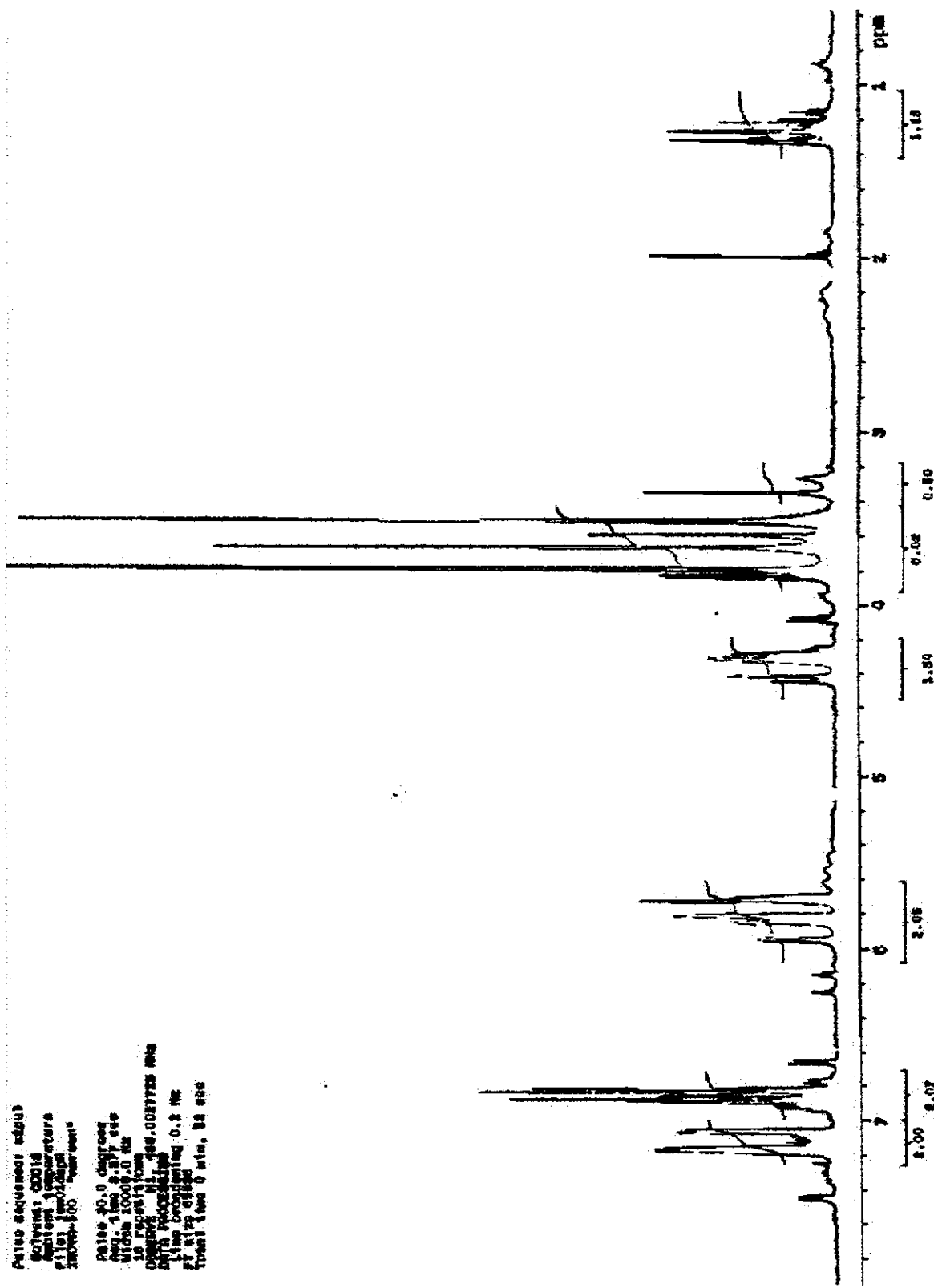
Espectro de RMN C¹³ (75MHz) em CDCl₃ de **21j**.



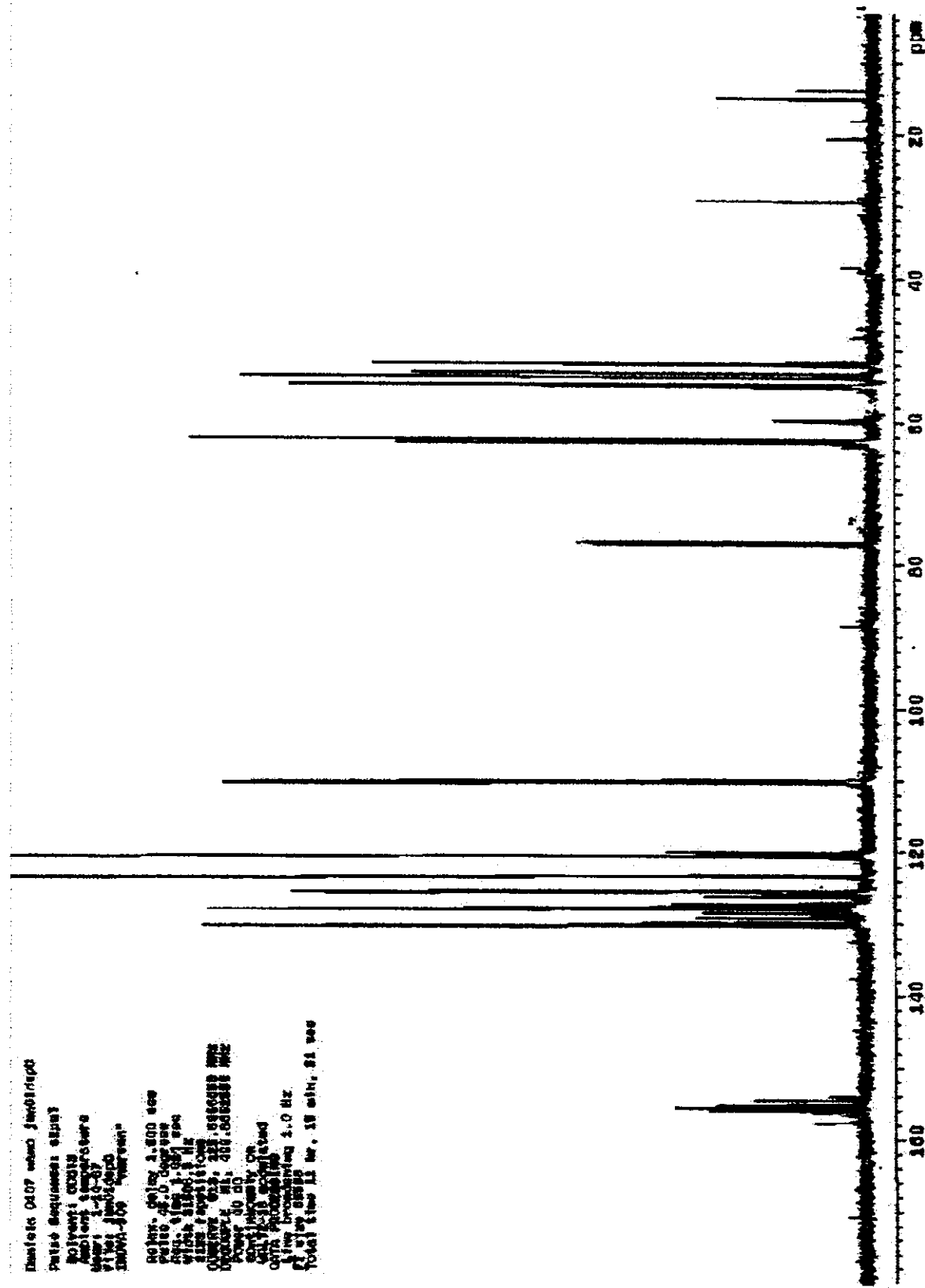
Espectro de infravermelho de 21k.



Espectro de massa de 21k.

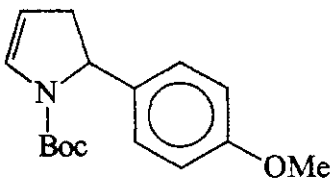


Espectro de RMN H¹(500MHz) em CDCl₃ de **21k**



Espectro de RMN C¹³ (125MHz) em CDCl₃ de 21k.

N-(*terc*-Butoxicarbonil)- 2-(4-metoxifenil)-2,3-diidropirrolina 22a.



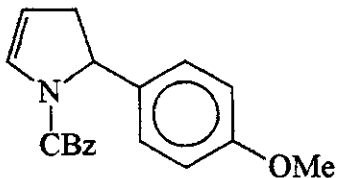
E.M. principais sinais.

275(M+), 219 (70%); 175 (75%); 57 (100%).

N-(metoxicarbonil)-2-(4-metoxifenil)-2,3-diidropirrolina 22b.

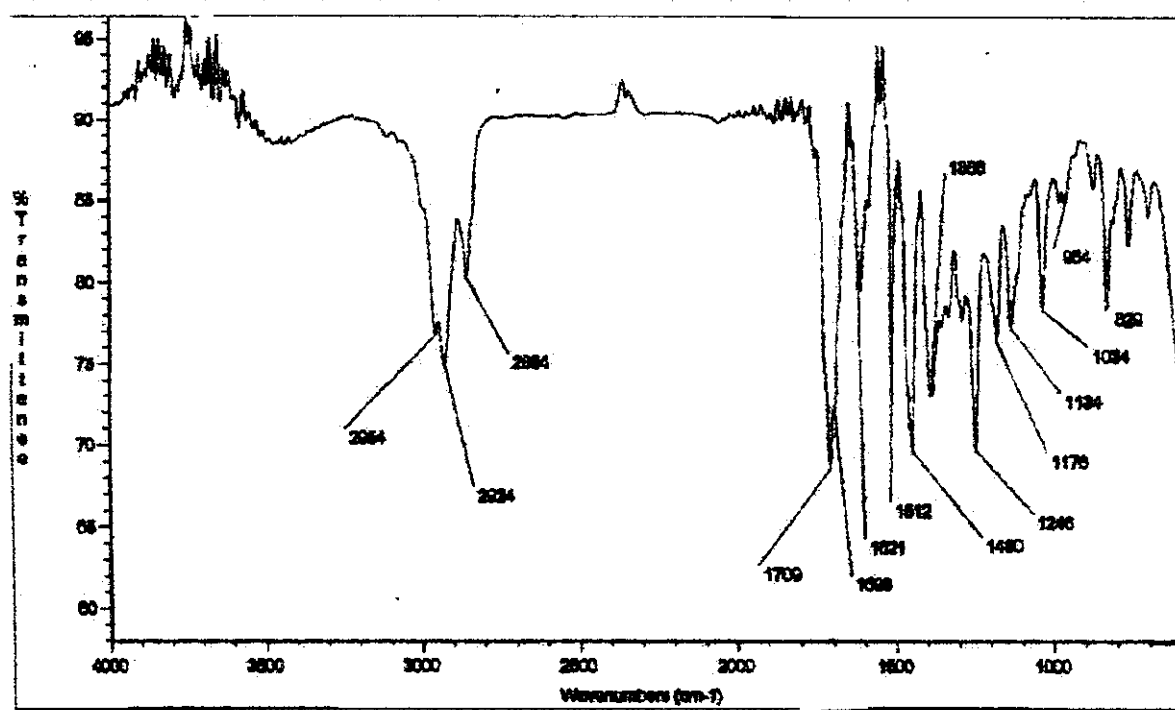
I.V. (filme cm⁻¹) 2954, 2924, 2854, 1709, 1621, 1512, 1450, 1388, 1246, 1176, 1034. **RMN H¹(CDCl₃, δ, ppm, 300 MHz, ta)** 7,40 (2H, m); 6,80 (2H, d, *J*=8); 6,80-6,60 (1H, m); 5,05 (1H, m); 4,12 (1H, q, *J*= 7); 3,78 (3H, s); 3,68 +3,56 (3H, 2s); 3,25 (1H, m); 2,50 (1H, d, *J*=16). **RMN C¹³(CDCl₃, δ, ppm, 75 MHz, ta)** 30,4 (CH₂); 53,2 (CH₃); 56,0 (CH₃); 61,0 (CH); 108,5 (CH); 114,8 (CH); 126,3 (CH); 127,5 (CH); 128,9 (C); 156,3 (C); 159,6 (C). **E.M. principais sinais** 233(M+), 174 (90%); 158 (100%); 134 (70%). **Espectrometria de Massa de Alta Resolução** Calculado : 233,10519; Obtido: 233,10344.

N-(benziloxicarbonil)-2-(4-metoxifenil)-2,3-diidropirrolina 22c.

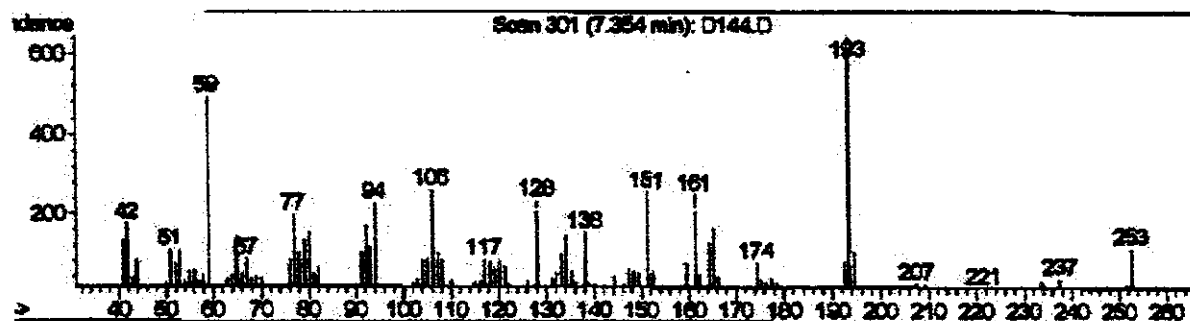


E.M. principais sinais.

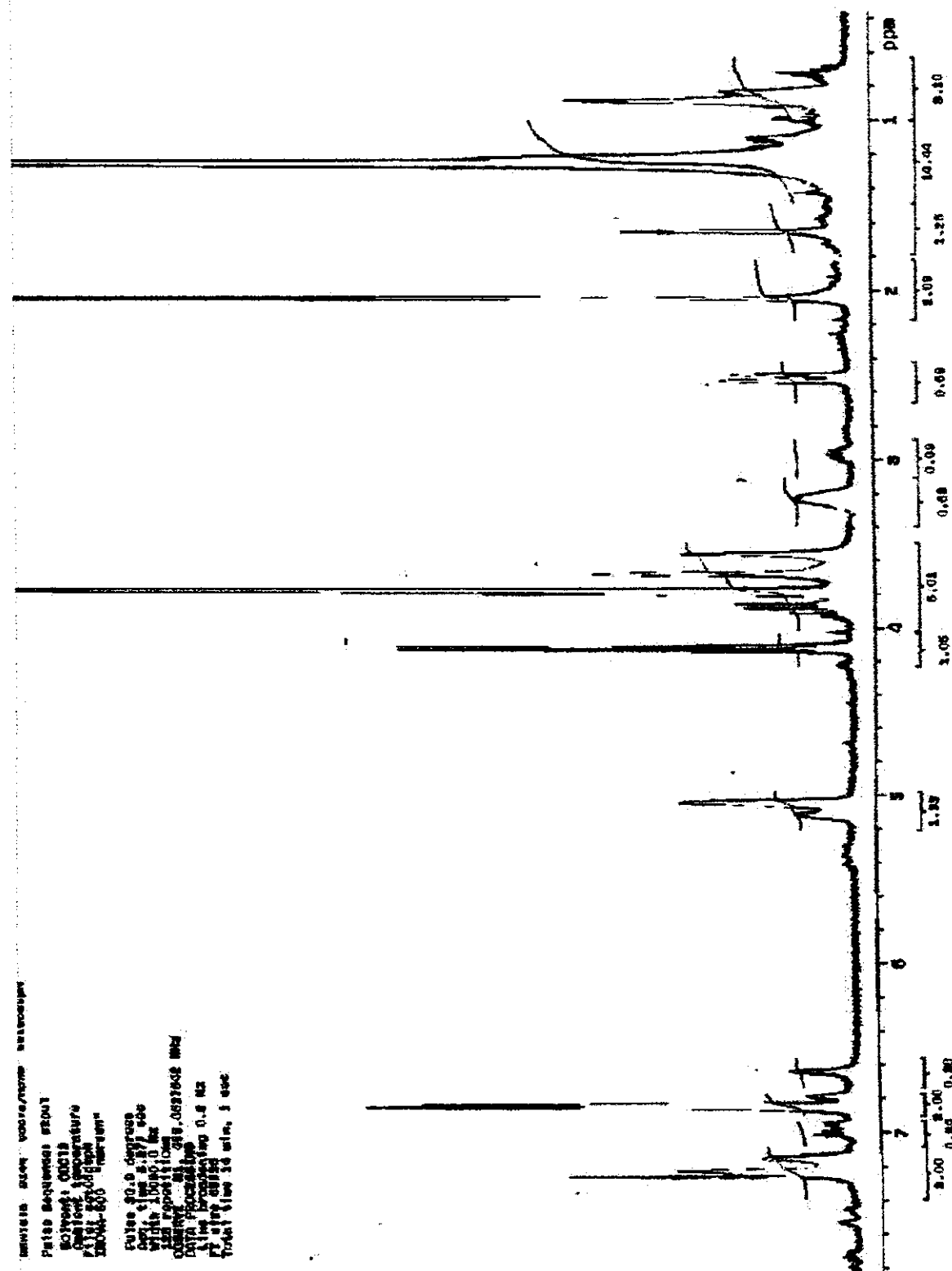
309(M+), 207 (20%); 174 (25%); 91 (100%).



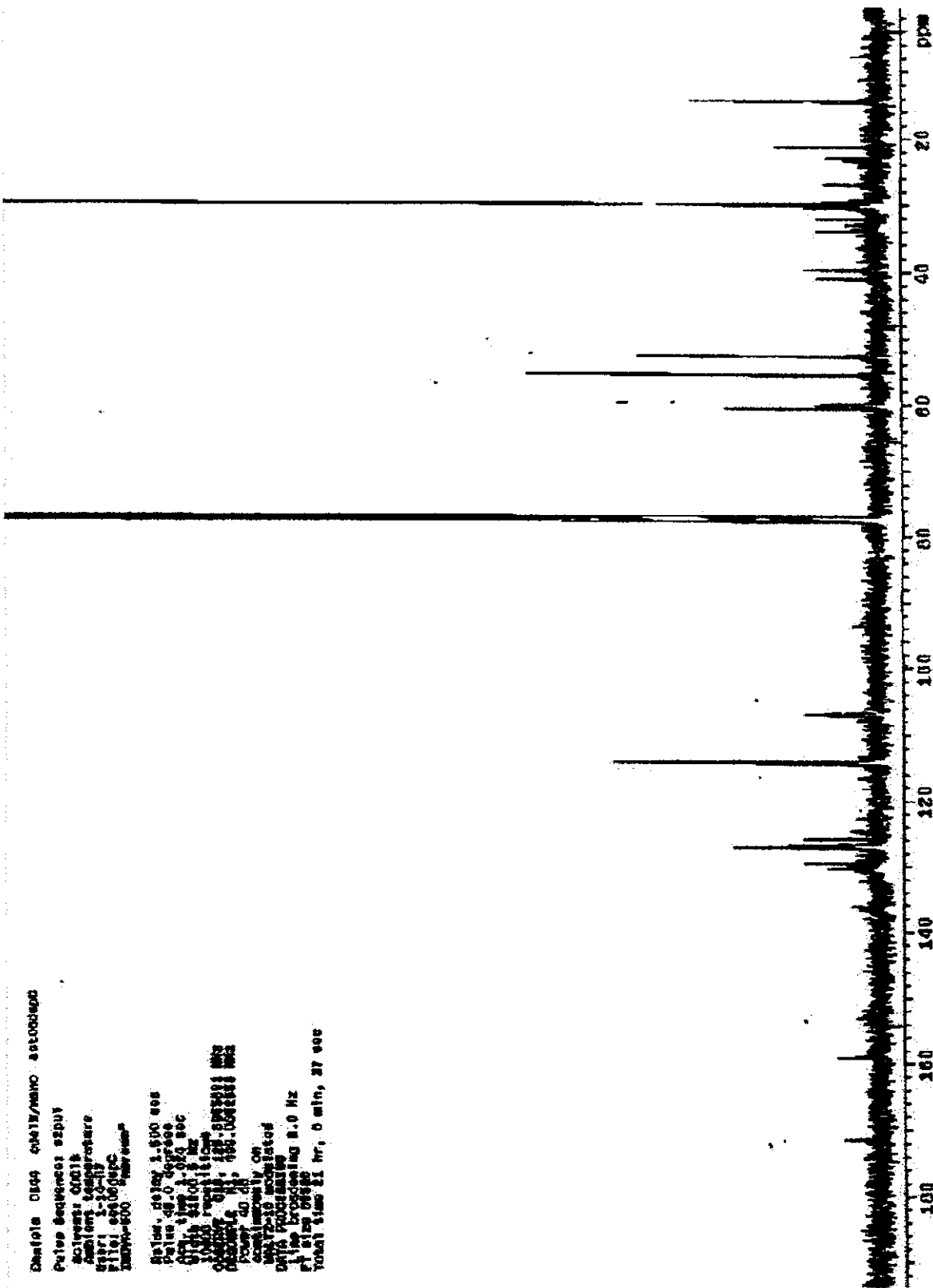
Espectro de infravermelho de 22b.



Espectro de massa de 22b.

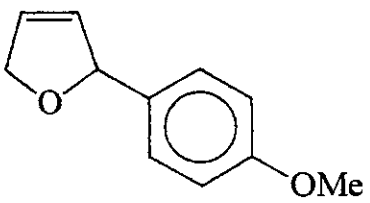


Espectro de RMN H¹(300MHz) em CDCl₃ de 22b.



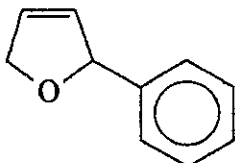
Espectro de RMN C¹³ (75MHz) em CDCl₃ de **22b**.

2-(4-Metoxifenil)-2,5-diidofurano 24a^{18a}.



LV. (filme cm⁻¹) 2837, 1612, 1512, 1464, 1304, 1246. **RMN H¹(CCl₄, δ, ppm, 500 MHz, ta)** 7,20+6,67 (4H, 2d, *J*=9); 5,87 (1H, m); 5,73 (1H, m); 5,55 (1H, m); 4,60 (2H, m); 3,66 (3H, s). **RMN C¹³(CCl₄, δ, ppm, 125 MHz, ta)** 54,5 (CH₃); 86,9 (CH); 113,3 (2CH); 126,1 (CH); 127,4 (2CH); 128,5 (C), 130,3 (CH); 158,9 (C), 174,8 (C). **E.M. principais sinais** 175 (M⁺), 145 (70%), 135 (100%), 47 (40%). **Massa de Alta Resolução** Calculado: 176,08373; Obtido: 176,08329.

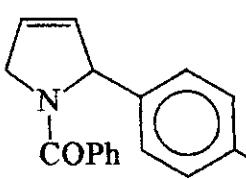
2-fenil-2,5-diidofurano 25⁵⁴.



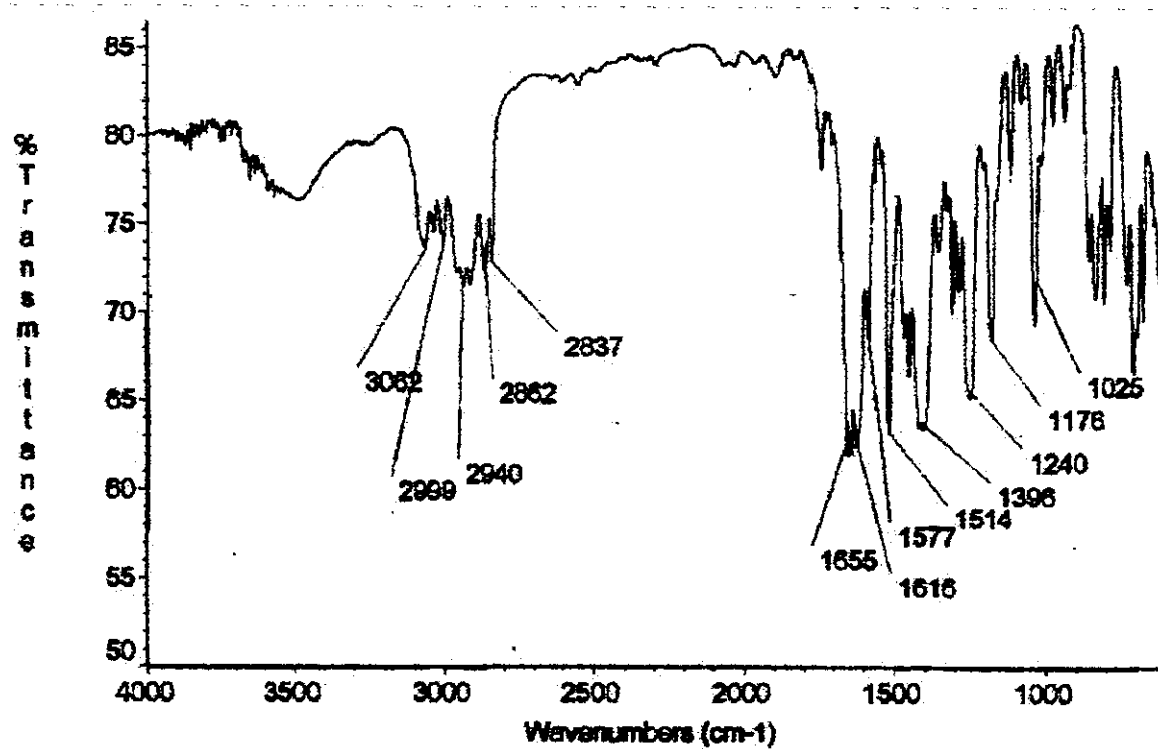
E.M. principais sinais.

Produto A: 146 (M⁺); 115(80%); 105 (100%); 77 (70%).

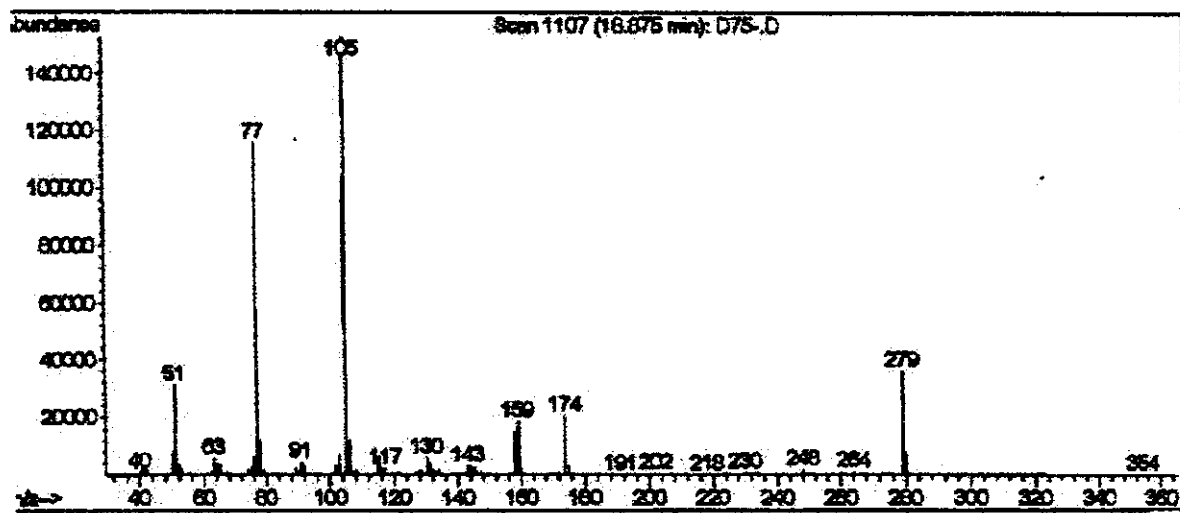
N-(benzoyl)-2-(4-metoxifenil)-2,5-diidopirrolina 29a.



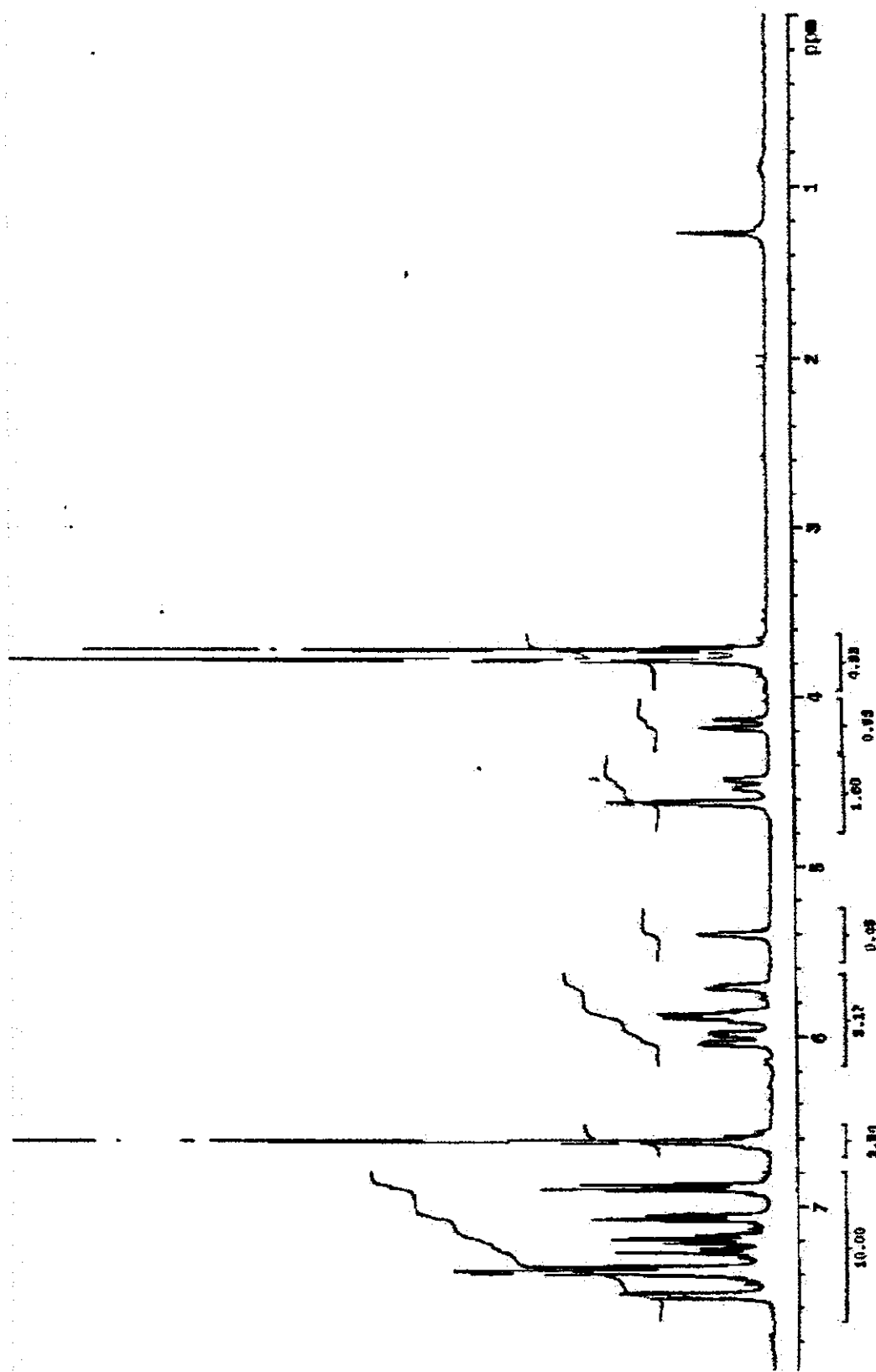
LV. (filme cm⁻¹) 3062, 2999, 2940, 2862, 1655, 1616, 1577, 1514, 1396, 1240, 1176, 1025. **RMN H¹(CDCl₃, δ, ppm, 300 MHz, ta).**
OMe 7,60-6,60 (9H, m); 6,00-5,40 (3H, m); 4,62-4,15 (2H, m); 3,78+3,72 (3H, s). **RMN C¹³ (CDCl₃, δ, ppm, 75 MHz, ta)** 53,8+56,3 (CH₂); 55,1 (CH₃); 66,8+67,8 (CH); 113,6 (2CH); 123,8+124,4 (CH); 26,0-129,2 (7CH); 129,9+130,8 (CH); 132,7+133,4 (C); 136,6+137,2 (C); 158,9 (C); 169,7+170,8 (C). **E.M. principais sinais** 279 (M⁺), 105 (100%), 77 (80%), 51 (30%). **Espectrometria de Massa de Alta Resolução** Calculado : 279,12593; Obtido: 279,12572.



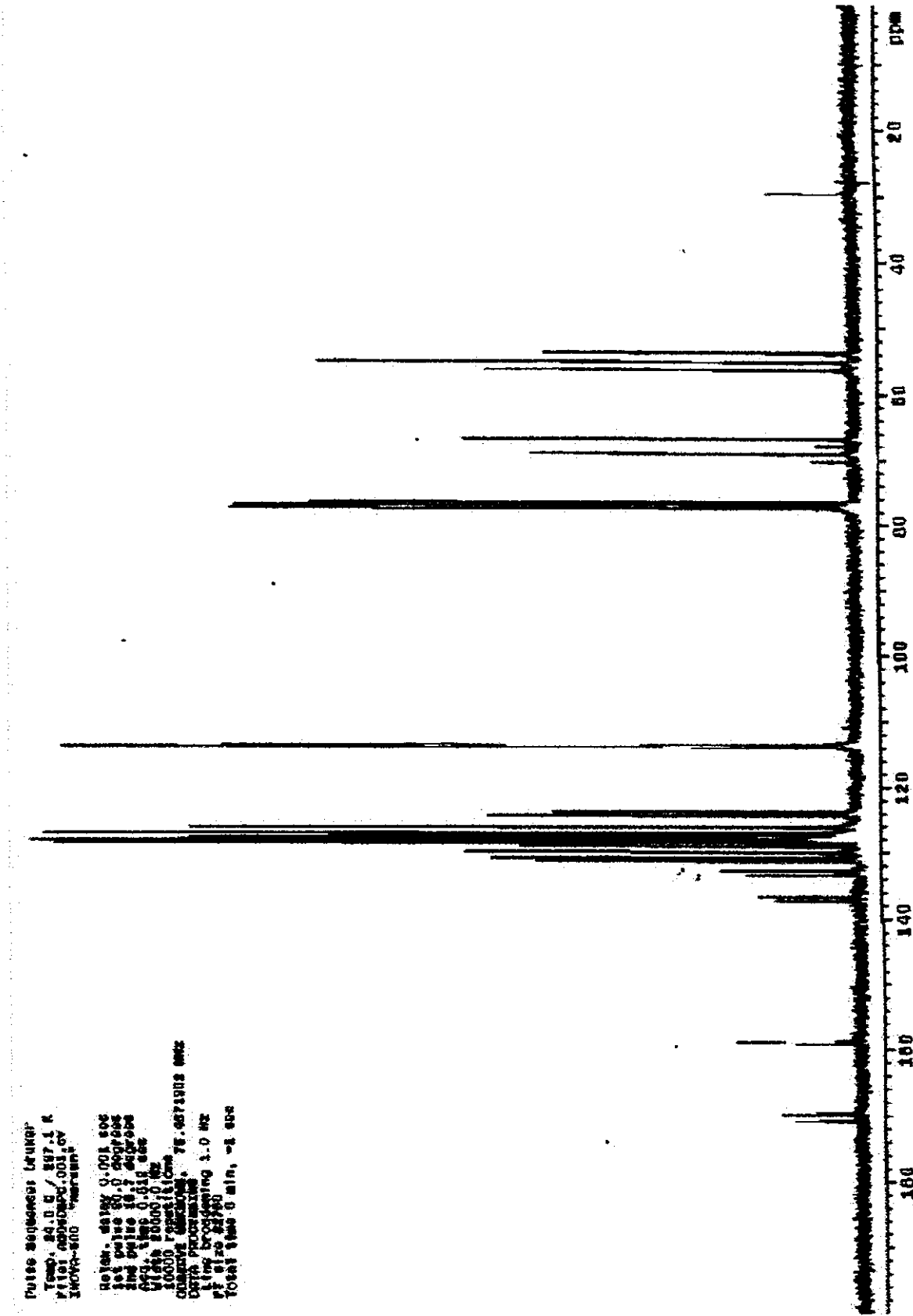
Espectro de infravermelho de 29a.



Espectro de massa de 29a.

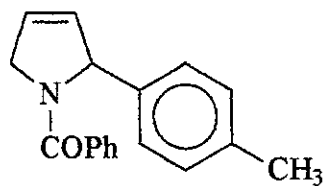


Espectro de RMN H¹(300MHz) em CDCl₃ de 29a.



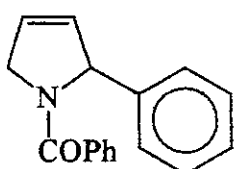
Espectro de RMN C¹³ (75MHz) em CDCl₃ de **29a**.

N-(benzoyl)-2-(4-metilfenil)-2,5-diidropirrolina 29b.



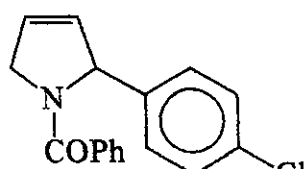
I.V. (filme cm⁻¹) 3055, 3024, 2920, 2862, 1732, 1639, 1577, 1512, 1446, 1404, 1319, 1180, 1111, 1076, 972. **RMN H¹(CDCl₃, δ, ppm, 300 MHz, ta)** 7,60-7,10 (5H, m); 7,07 (2H, d, J=7); 6,92 (2H, d, J=7); 6,15-5,60 (3H, m); 4,80-4,10 (2H, m); 2,34 + 2,26 (3H, 2s). **RMN C¹³(CDCl₃, δ, ppm, 75 MHz, ta)** 21,2 (CH₃); 56,5 (CH₂); 67,2 (CH); 123,8 (CH); 124,2 (CH); 126,0 (CH); 126,9 (CH); 127,8 (CH); 128,1 (CH); 128,9 (CH); 129,0 (CH); 129,9 (CH); 130,8 (CH); 131,2 (CH); 136,5 (C); 137,0 (C); 169,6 (C). **E.M. principais sinais** 264 (M+1); 158 (15%); 105 (100%); 77 (25%). **Espectrometria de Massa de Alta Resolução** Calculado: 263,13101; Obtido: 263,13138.

N-(benzoyl)-2-fenil-2,5-diidropirrolina 29c.

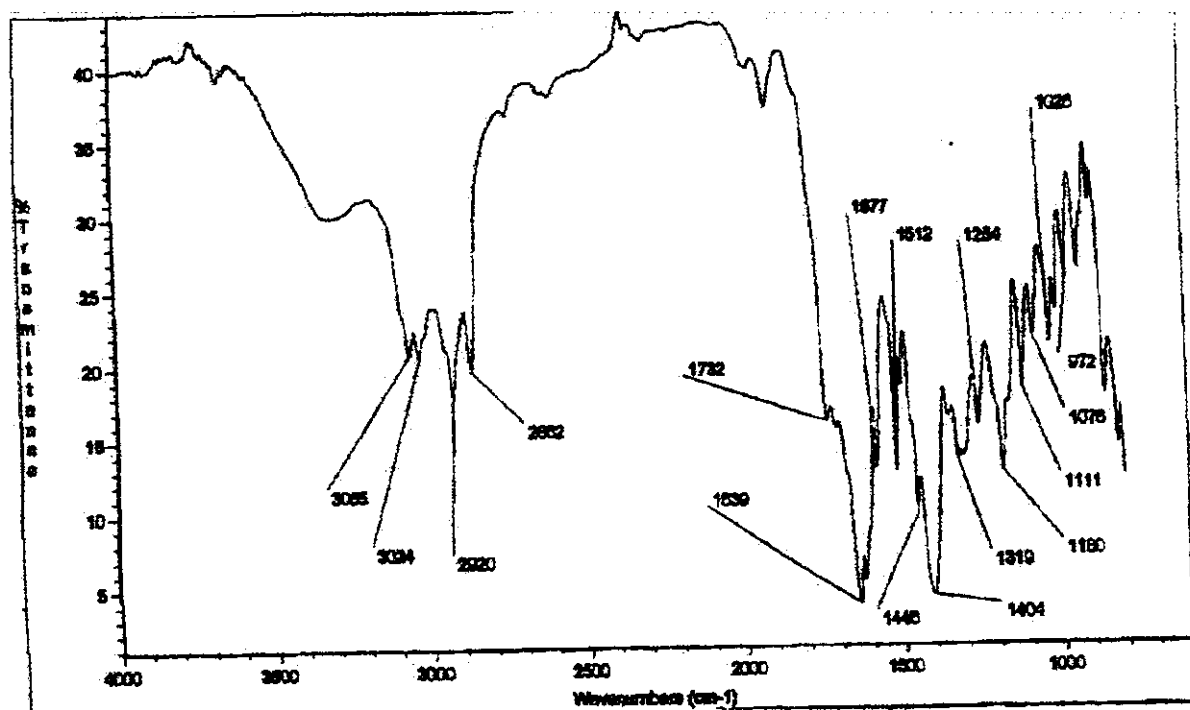


I.V. (filme cm⁻¹) 3072, 3028, 2862, 1645, 1616, 1572, 1396, 1396, 1255, 1030, 844, 698. **RMN H¹(CDCl₃, δ, ppm, 300 MHz, ta)** 7,65-6,74 (10H, m); 6,20-5,75 (3H, m); 4,66-4,20 (2H, m). **RMN C¹³(CDCl₃, δ, ppm, 75 MHz, ta)** 54,0+56,5 (CH₂); 67,5+69,7 (CH); 124,0+124,4 (CH); 125,9-128,9 (10CH); 129,9+130,7 (CH); 136,4+136,9 (C); 140,5+141,2 (C); 169,6+170,6 (C). **E.M. principais sinais** 249 (M+), 105 (100%), 77 (80%). **Espectrometria de Massa de Alta Resolução** Calculado : 249,11536; Obtido: 249,11533.

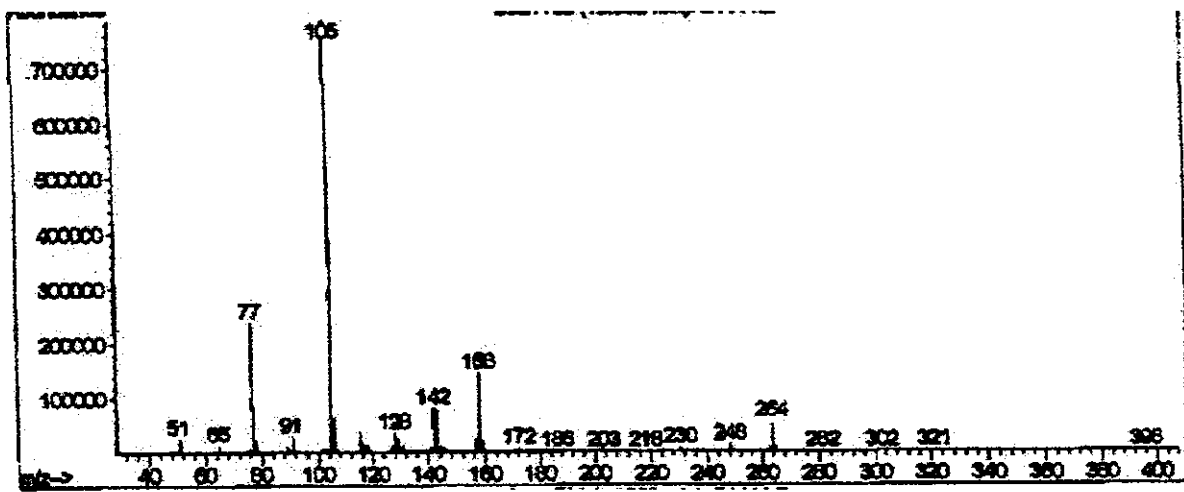
N-(benzoyl)-2-(4-Chlorofenil)-2,5-diidropirrolina 29d.



I.V. (filme cm⁻¹) 3062, 2922, 2864, 1645, 1622, 1577, 1398, 1321, 1092, 1014. **RMN H¹(CDCl₃, δ, ppm, 300 MHz, ta)** 7,60-6,63 (9H, m); 6,05-5,40 (3H, m); 4,61-4,16 (2H, m). **RMN C¹³(CDCl₃, δ, ppm, 75 MHz, ta)** 53,9+56,4 (CH₂); 66,8+68,9 (CH); 124,4+124,8 (CH); 126,8-129,9 (9CH); 130,4+130,5 (CH); 132,9 (C), 136,0+136,7 (C); 138,9+139,6 (C); 169,6+170,4 (C). **E.M. principais sinais** 283(M+), 105 (100%), 77 (70%), 51 (20%). **Espectrometria de Massa de Alta Resolução** Calculado : 283,07639; Obtido: 283,07633.



Espectro de infravermelho de 29b.



Espectro de massa de 29b.

Daniela Dilli nov/12dph

Pulse Sequence: \$2pul

Solvent: CDCl₃

Ambient temperature

Fl161, rock12 dphH

INOVA-500B "Hartung"

Relax. delay 0.200 sec

pulse 31.3 deg/rot

Acq. time 2.657 sec

Width 6000.0 Hz

16 rep/16s

observe H1 300.067 3535 MHz

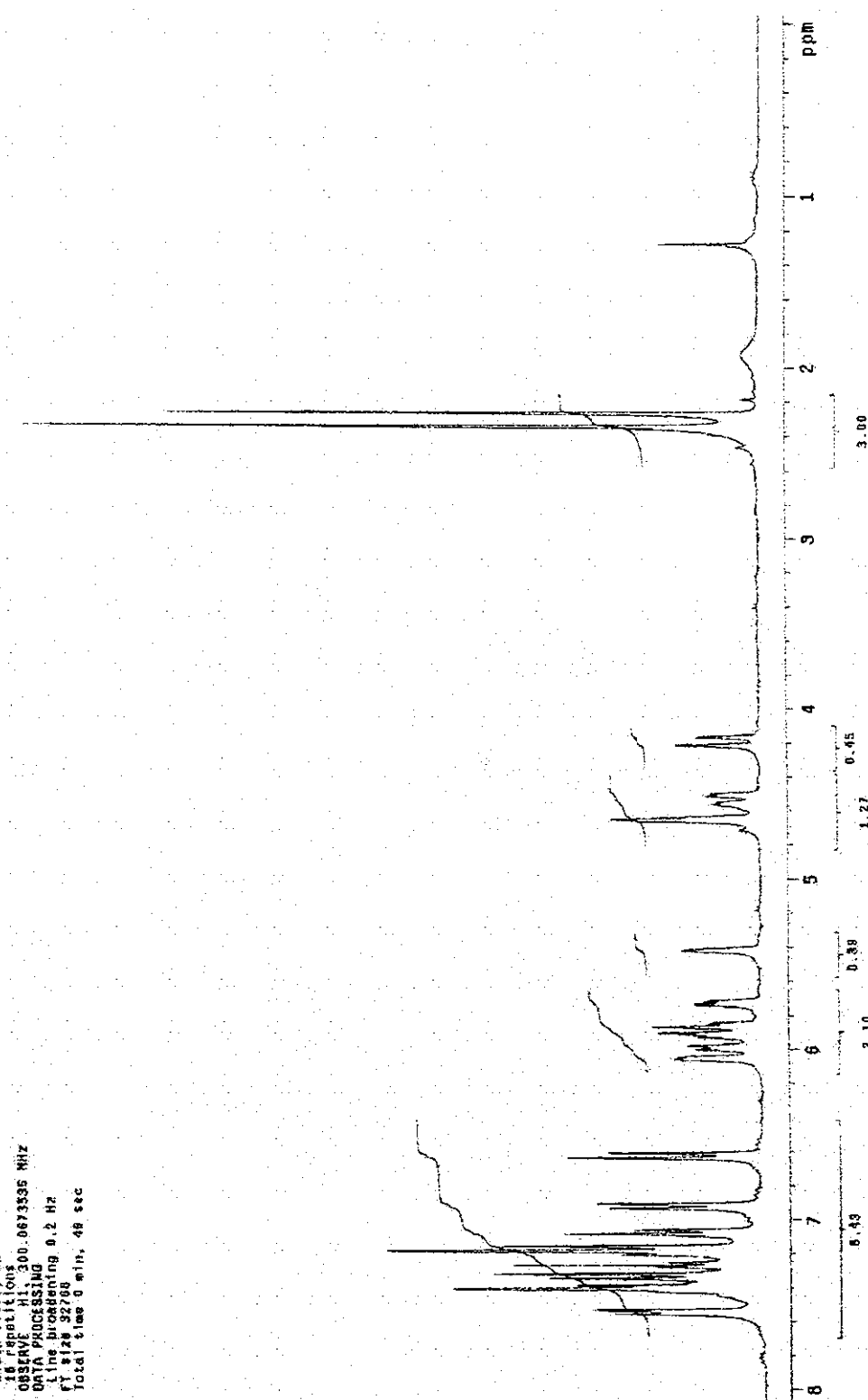
opt. processing 0.2 Hz

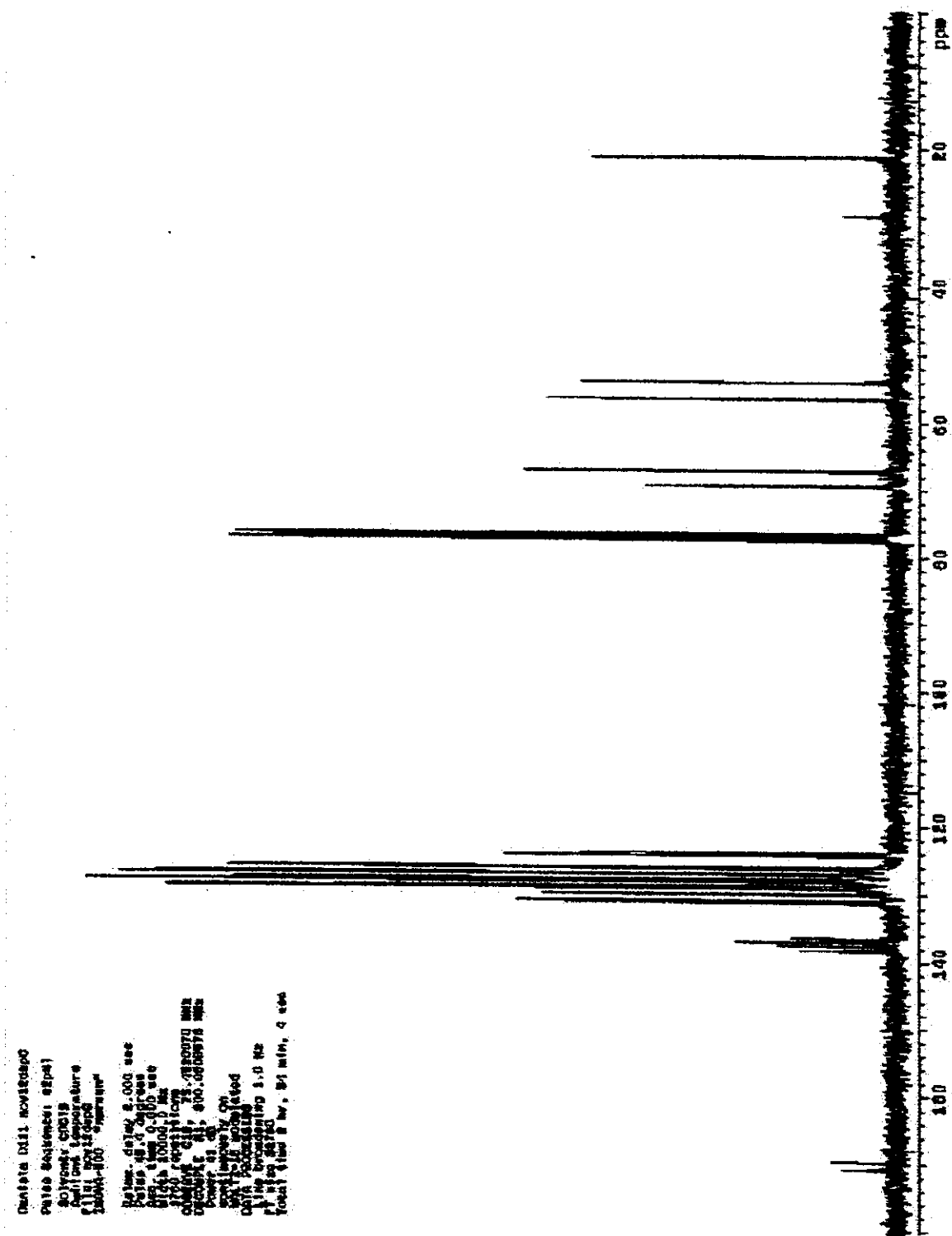
line broadening 0.2 Hz

filter 32768

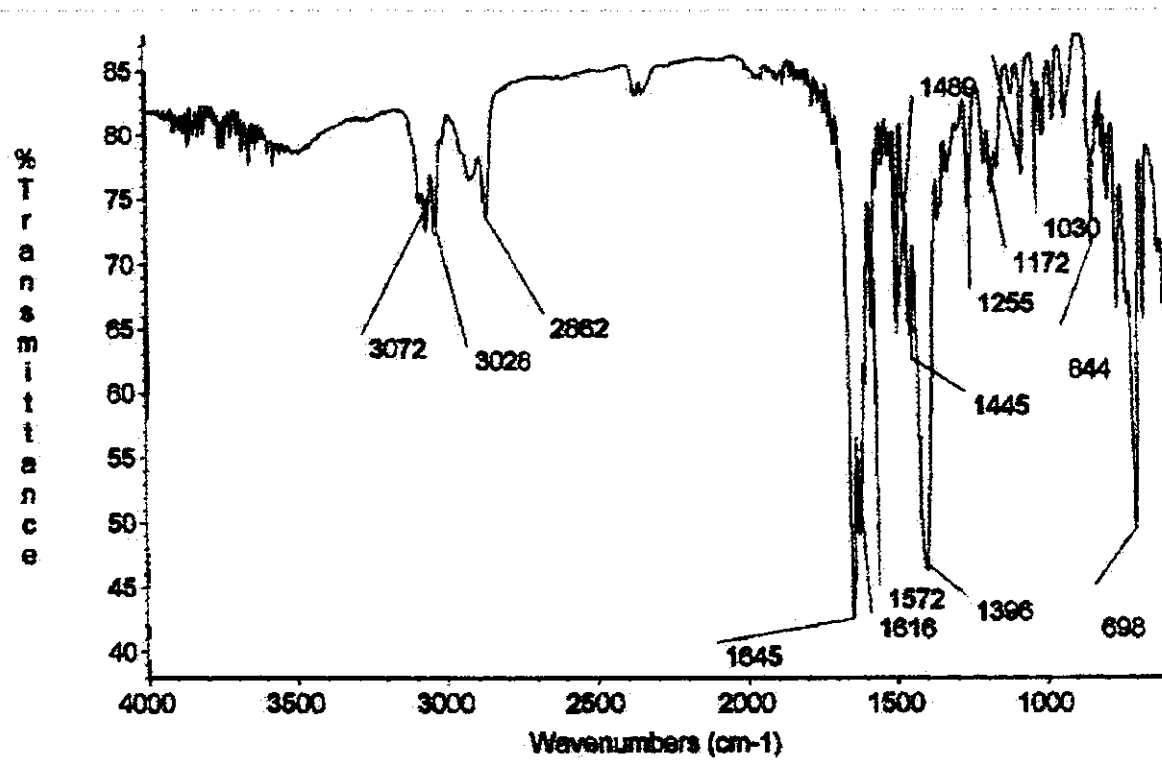
total time 0 min, 49 sec

Espectro de RMN H¹(300MHz) em CDCl₃ de 29b.

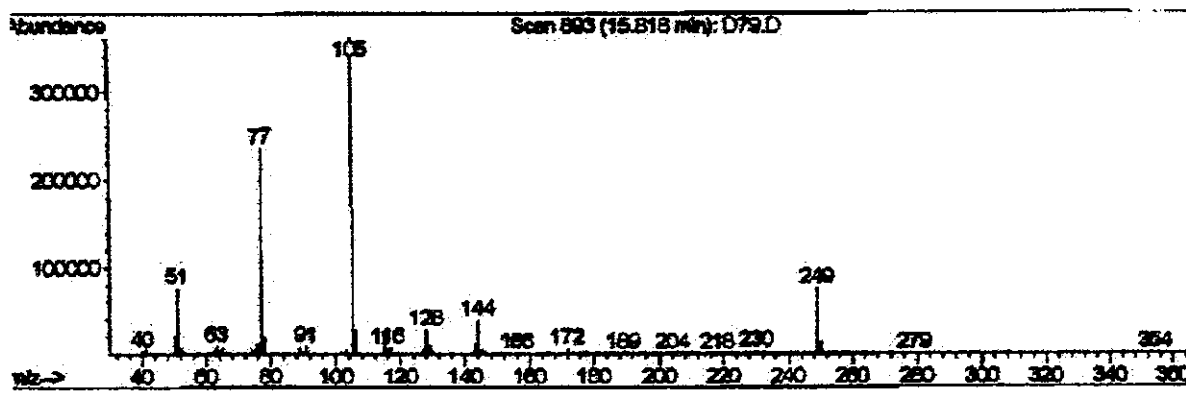




Espectro de RMN C¹³ (75MHz) em CDCl₃ de **29b**.



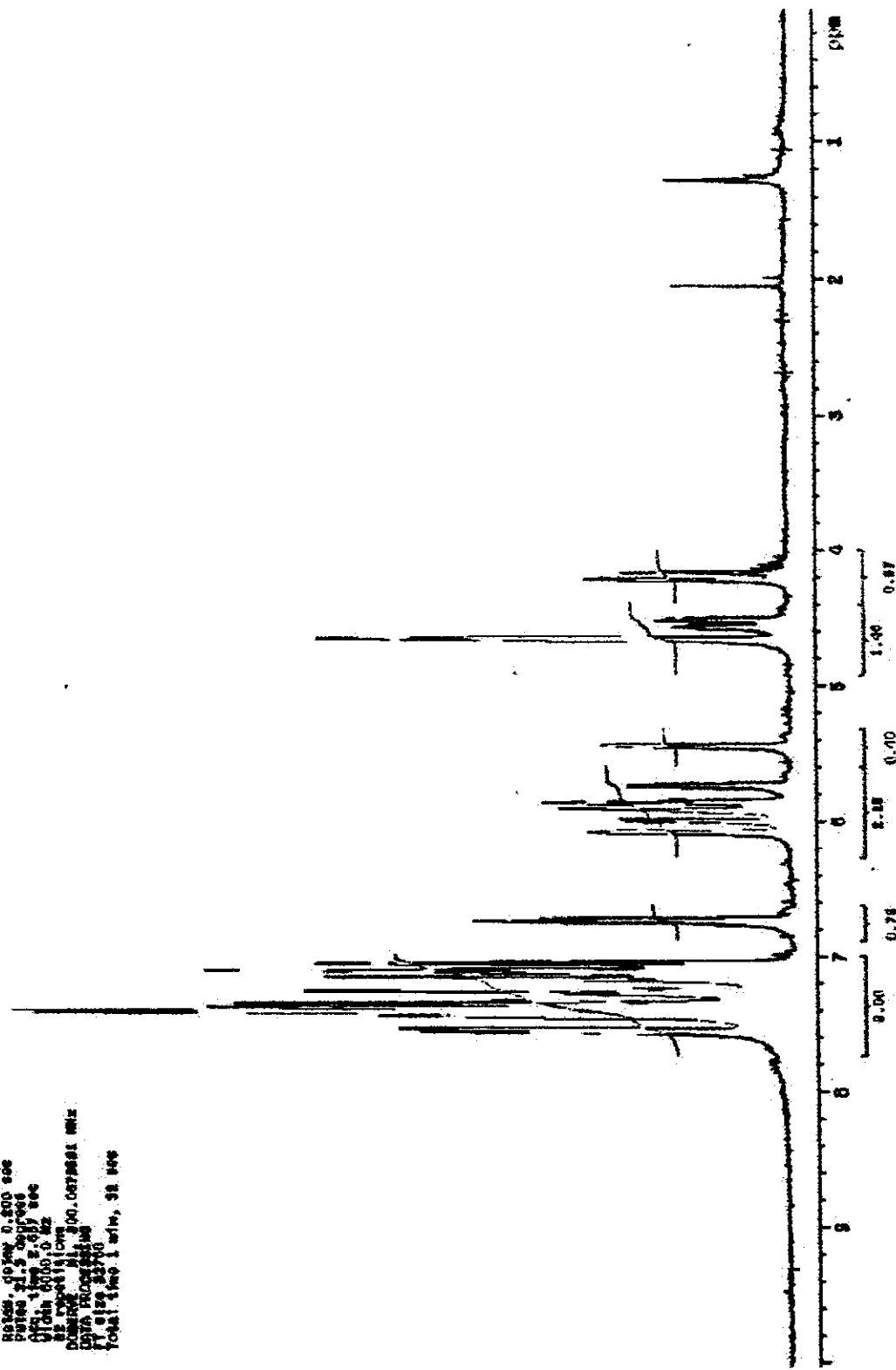
Espectro de infravermelho de 29c.

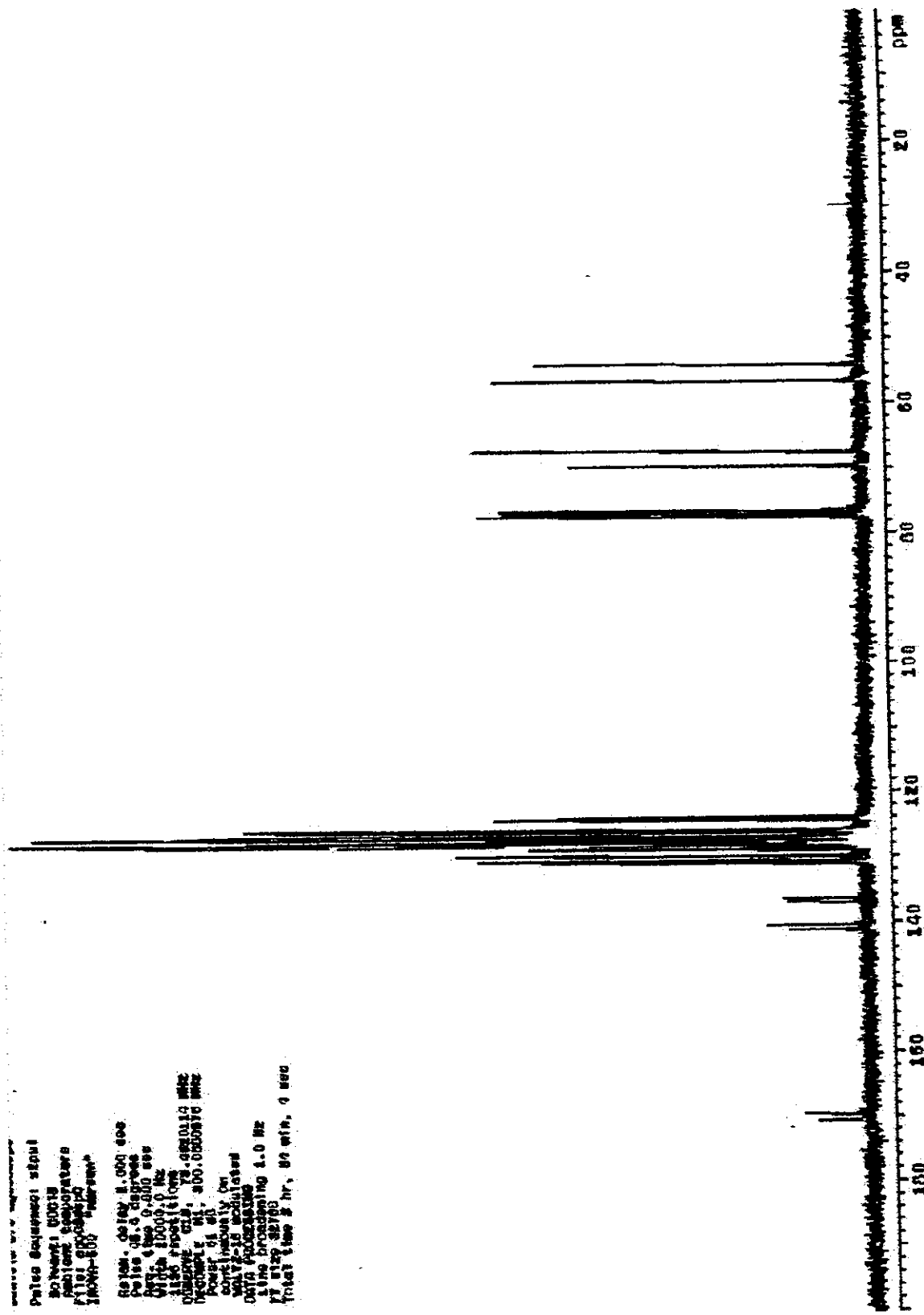


Espectro de massa de 29c.

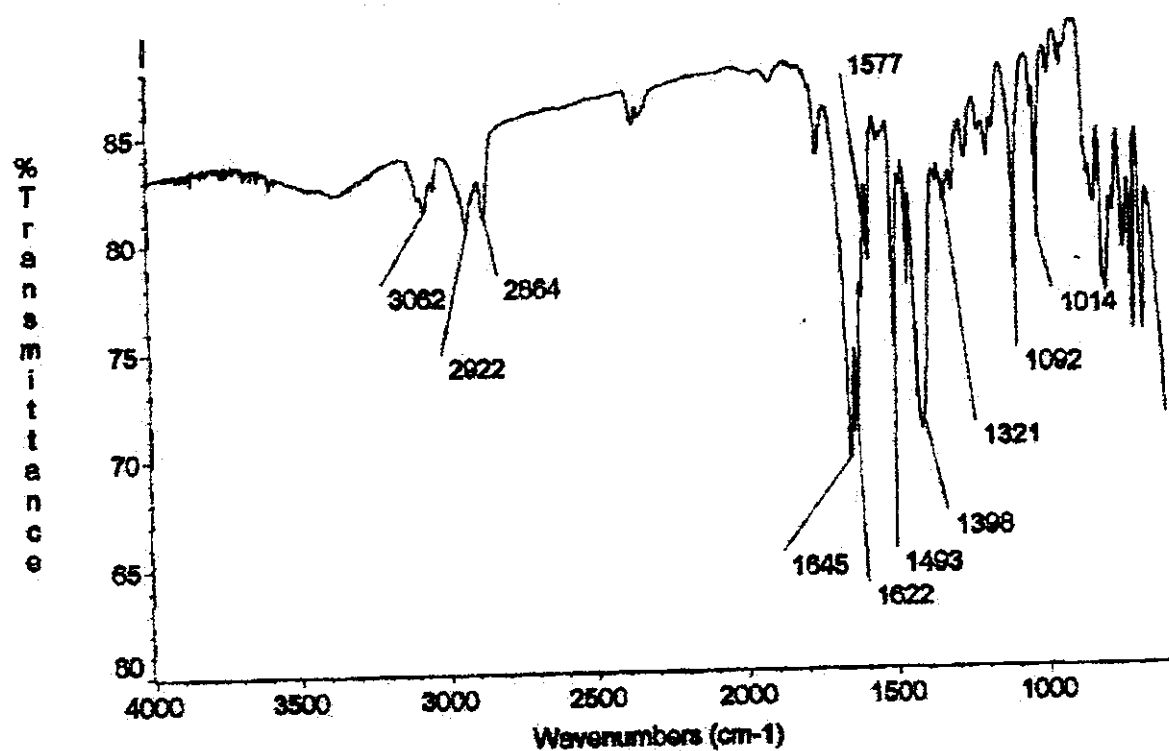
Ponta Sistêmica (100)
Bifurcada (200)
Difusão direta (200)
Polarizável (200)
Inverso (100)

Resonância de 1H (100 sec)
Resonância de 13C (100 sec)
Resonância de 1H (100 sec)
Resonância de 13C (100 sec)
Resonância de 1H (100 sec)
Resonância de 13C (100 sec)
Resonância de 1H (100 sec)
Resonância de 13C (100 sec)
Resonância de 1H (100 sec)
Resonância de 13C (100 sec)

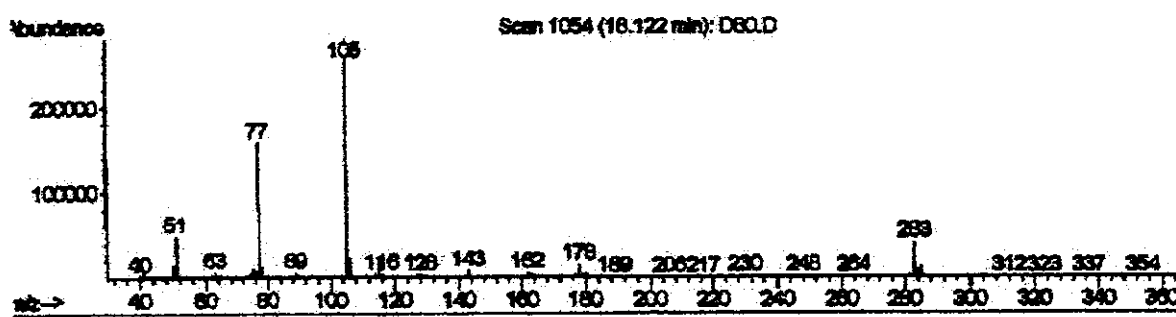




Espectro de RMN C¹³ (75MHz) em CDCl₃ de **29c**.



Espectro de infravermelho de 29d.



Espectro de massa de 29d.

Dinalcila D-81 Acetodiphen

Pulse Sequence: 2p01

Solvent: CDCl₃

Temperature:

File: 00000000000000000000

1H00A000

relax, delay 0.210 sec

pulse 4.0 degrees

acq. time 2.167 sec

width 6000 Hz

16 repetitions

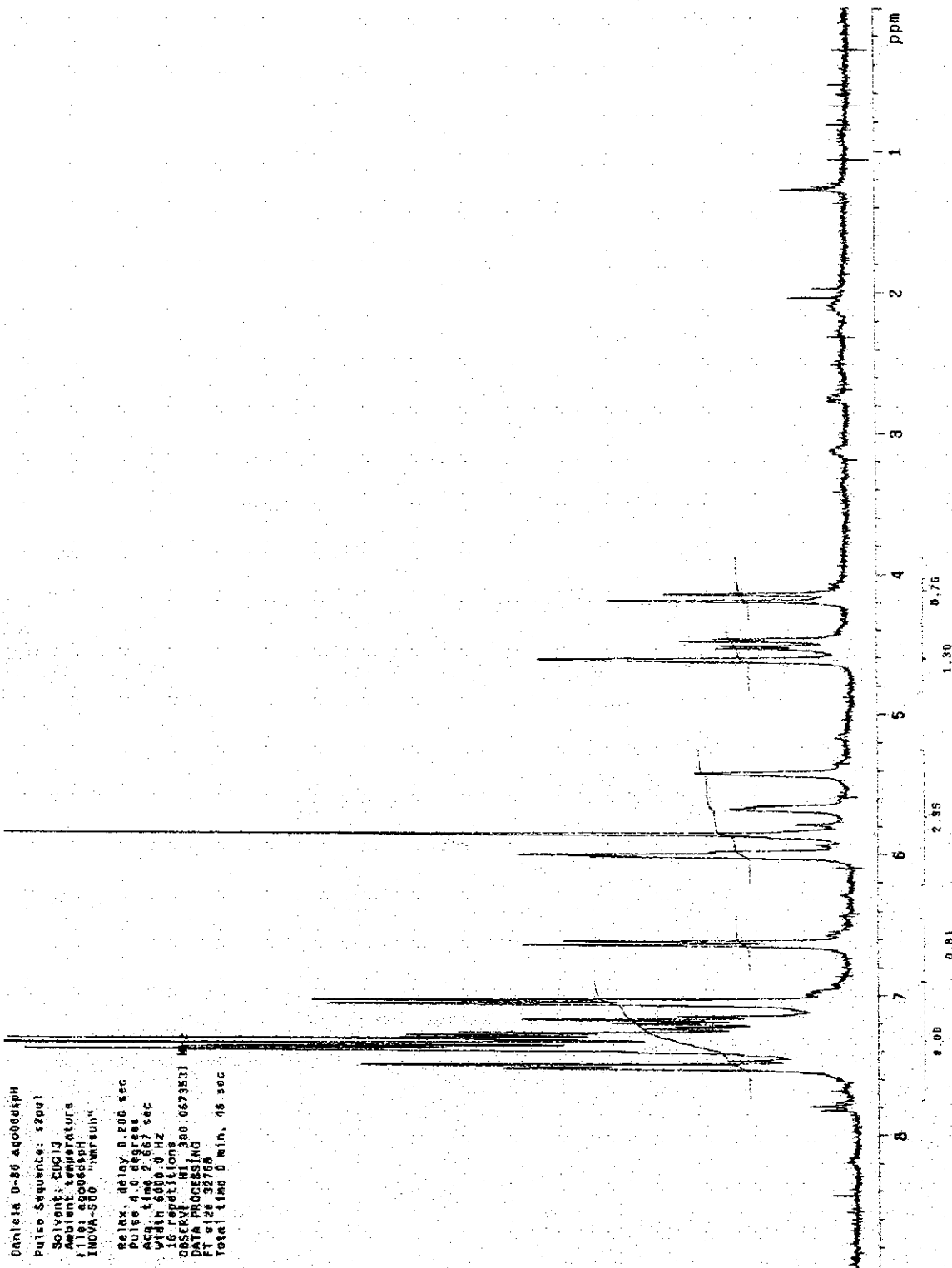
0.00000000000000000000

DATA PROCESSING

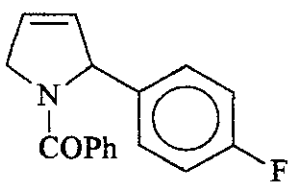
FT 9.126 32768

Total time 0 min, 16 sec

Espectro de RMN H¹(300MHz) em CDCl₃ de 29d.

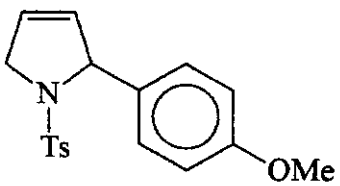


N-(benzoyl)-2-(4-fluorfenil)-2,5-diidropirrolina 29e.



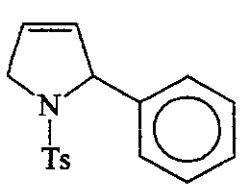
I.V. (filme cm⁻¹) 3064, 2920, 2864, 1645, 1603, 1577, 1506, 1404, 1223, 1155, 1095, 1014, 835. **RMN H¹(CDCl₃, δ, ppm, 300 MHz, ta)** 7,60-6,60 (9H, m); 6,02 (1H, m); 5,90 (1H, m); 5,70 + 5,40 (1H, m); 4,62 + 4,54 + 4,49 (1H, sI +d+d, J= 5); 4,20 + 4,00 (1H, m + t, J=8). **RMN C¹³(CDCl₃, δ, ppm, 75 MHz, ta)** 56,4 (CH₂); 66,8 (CH); 115,0 (CH); 124,8 (CH); 127,0 (CH); 127,8 (CH); 128,0 (CH); 128,2 (CH); 128,7 (CH); 128,9 (CH); 129,2 (CH); 130,1 (CH); 130,9 (CH); 136,3 (C); 160,4 (C); 170,7 (C). **E.M. principais sinais** 267 (M+); 162 (10%); 105 (100%); 77 (45%). **Espectrometria de Massa de Alta Resolução** Calculado: 267,10594; Obtido: 267,10468.

N-(p-toluenosulfonil)-2-(4-Metoxifenil)- 2,5-diidropirrolina 33a.

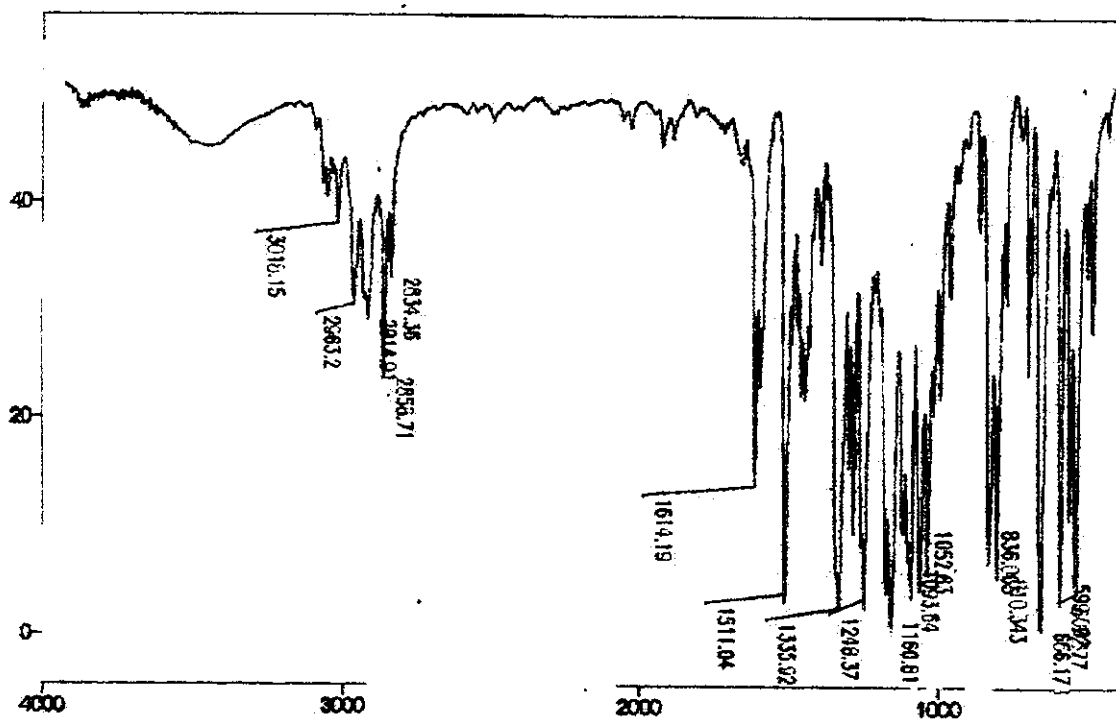


I.V. (pastilha cm⁻¹) 3018, 2963, 2858, 2834, 1614, 1511, 1335, 1248, 1160, 1093, 1052, 836, 810. **RMN H¹(CDCl₃, δ, ppm, 500 MHz, ta)** 7,50 (2H, d, J=8); 7,18 (4H, dd, J=8 e 11); 6,81 (2H, d, J=8); 5,79 (1H, m); 5,63 (1H, m); 5,50 (1H, m); 4,33 (1H, 2q, J=2 e 5); 4,24 (1H, 2dt, J=2); 3,80 (3H, s); 2,39 (3H, s). **RMN C¹³(CDCl₃, δ, ppm, 125 MHz, ta)** 21,4 (CH₃); 55,1 (CH₂); 55,2(CH₃); 69,6 (CH); 113,7 (2CH); 124,3 (CH); 127,2 (2CH); 128,5 (2CH); 129,3 (2CH); 130,6 (CH); 132,5 (C); 135,7 (C); 142,9 (C); 159,3 (C). **Espectrometria de Massa de Alta Resolução** Calculado: 329,10857; Obtido: 329,10881.

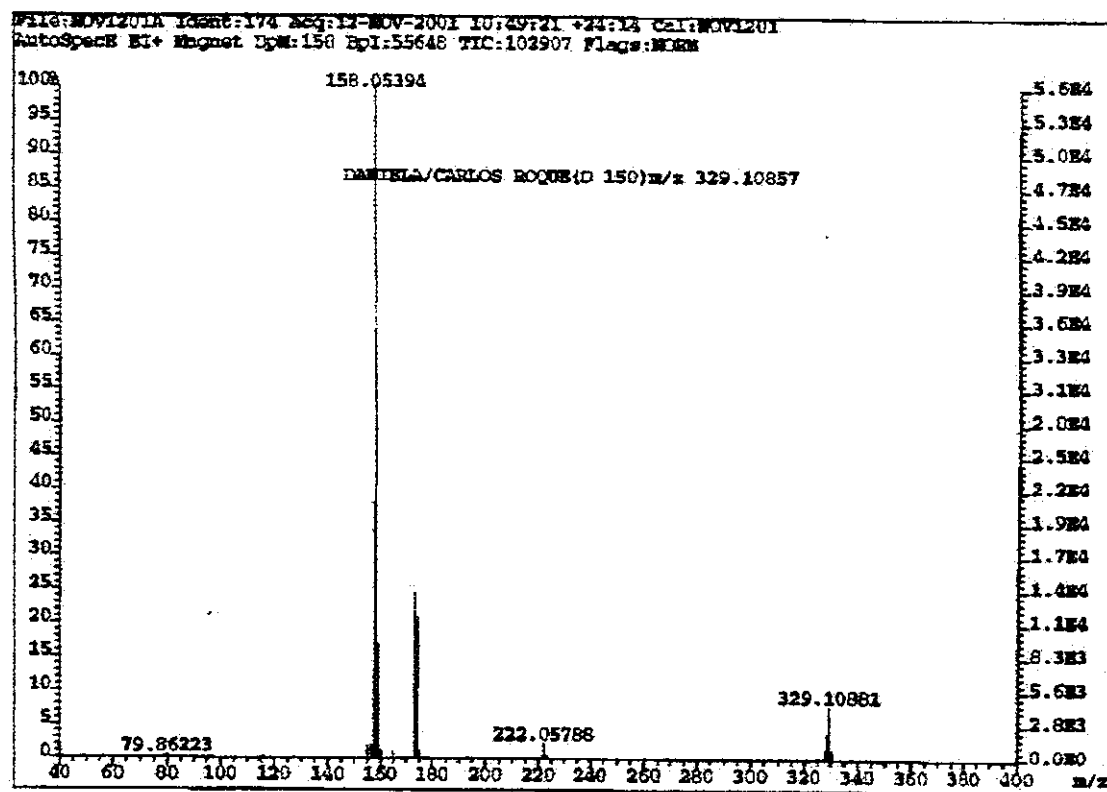
N-(p-toluenosulfonil)- 2-fenil-2,5-diidropirrolina 33b.



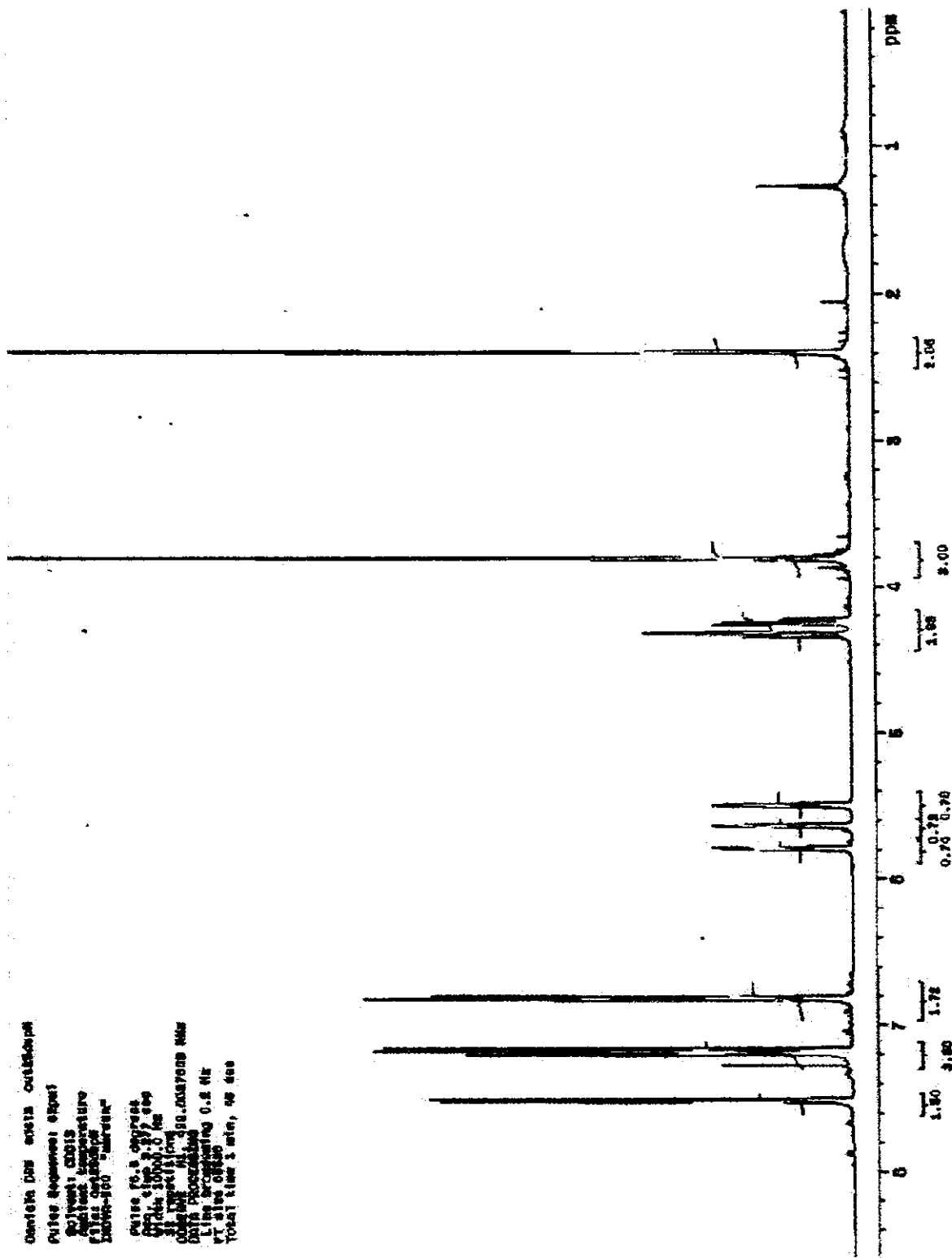
I.V. (pastilha cm⁻¹) 3447, 3088, 3064, 2908, 2853, 1598, 1490, 1446, 1340, 1160, 1088, 1062, 830. **RMN H¹(CDCl₃, δ, ppm, 500 MHz, ta)** 7,50 (2H, d, J=8); 7,25 (5H, d, J=2); 7,17 (2H, d, J=8); 5,77 (1H, dq, J=2 e 4); 5,63 (1H, dq, J=2 e 4); 5,53 (1H, m); 4,36 (1H, 2q, J=2 e 5); 4,24 (1H, 2dt, J=2); 2,37 (3H, s). **RMN C¹³(CDCl₃, δ, ppm, 125 MHz, ta)** 21,3 (CH₃); 55,2 (CH₂); 69,9 (CH); 124,3 (CH); 127,0 (2CH); 127,1 (2CH); 127,6 (CH); 128,3 (2CH); 129,3 (2CH); 130,4 (CH); 135,3 (C); 140,3 (C); 142,8 (C). **Espectrometria de Massa de Alta Resolução** Calculado: 299,09800; Obtido: 299,09615.



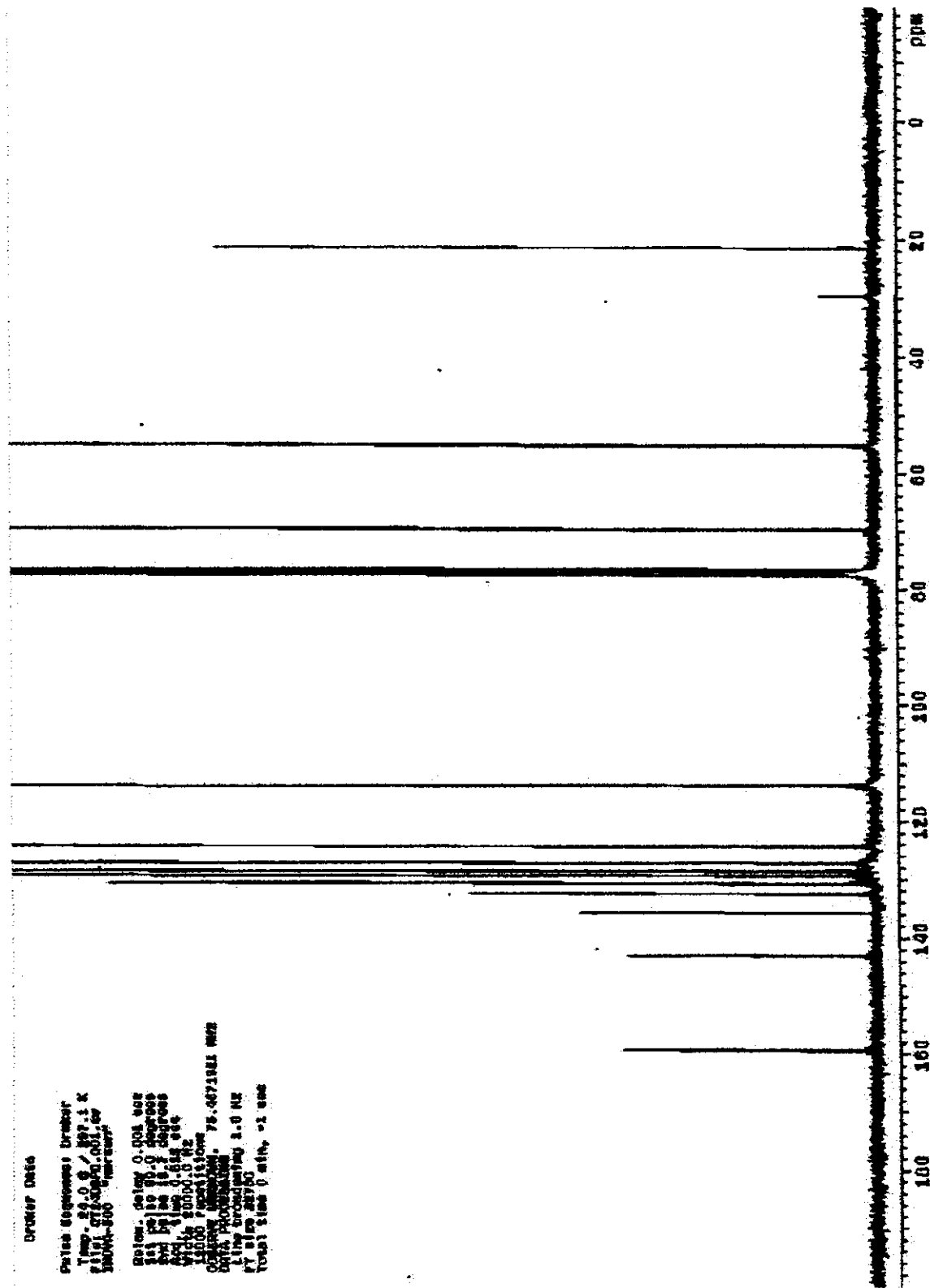
Espectro de infravermelho de 33a.

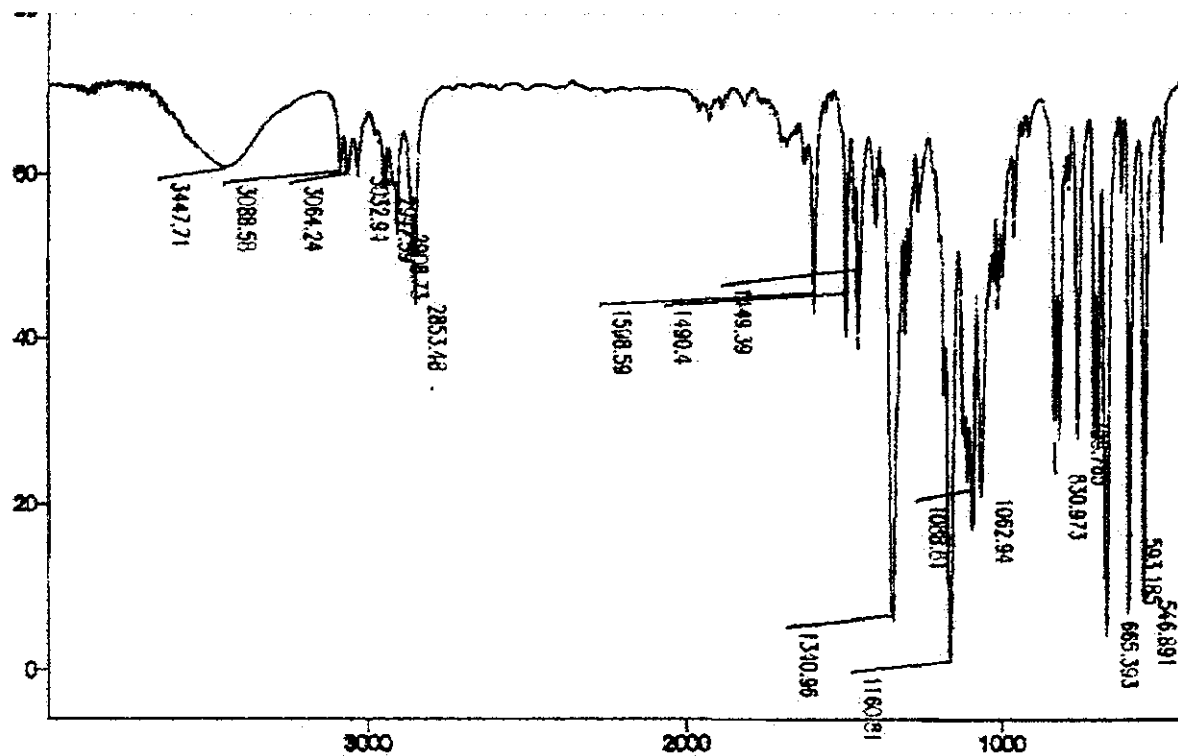


Espectro de massa de 33a.

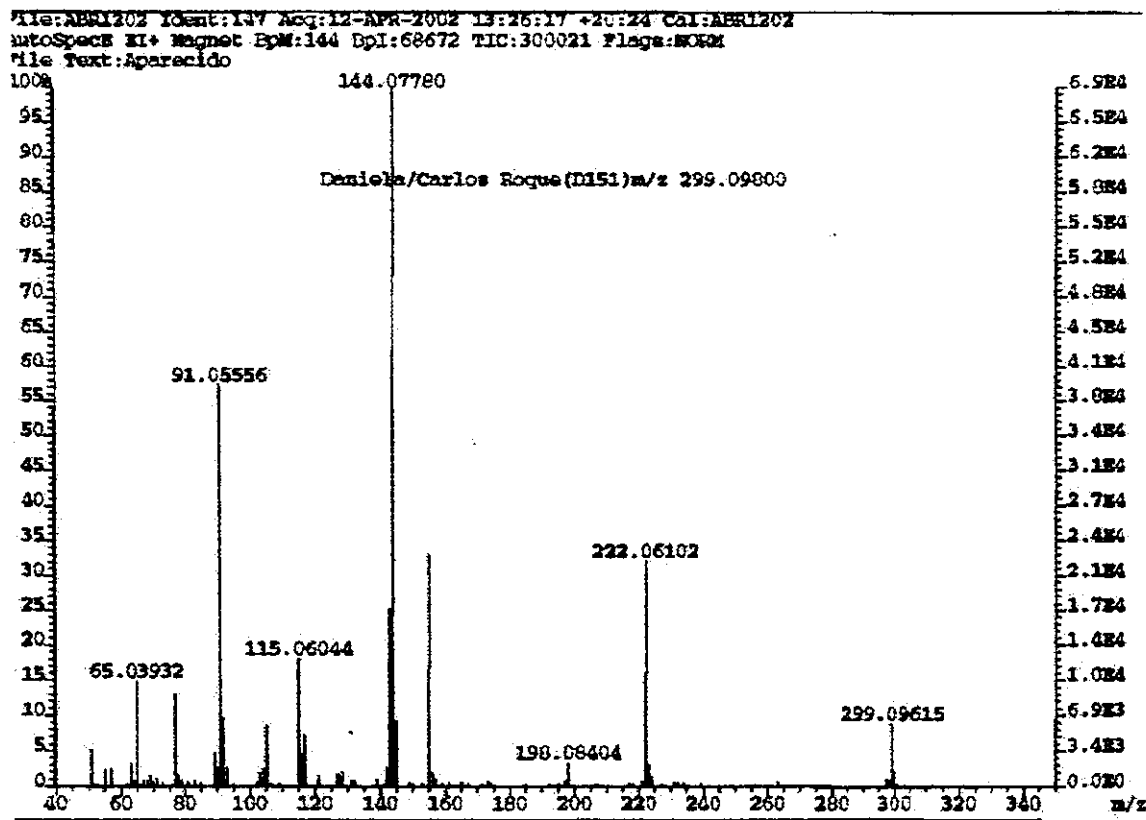


Espectro de RMN H¹(500MHz) em CDCl₃ de D33a.

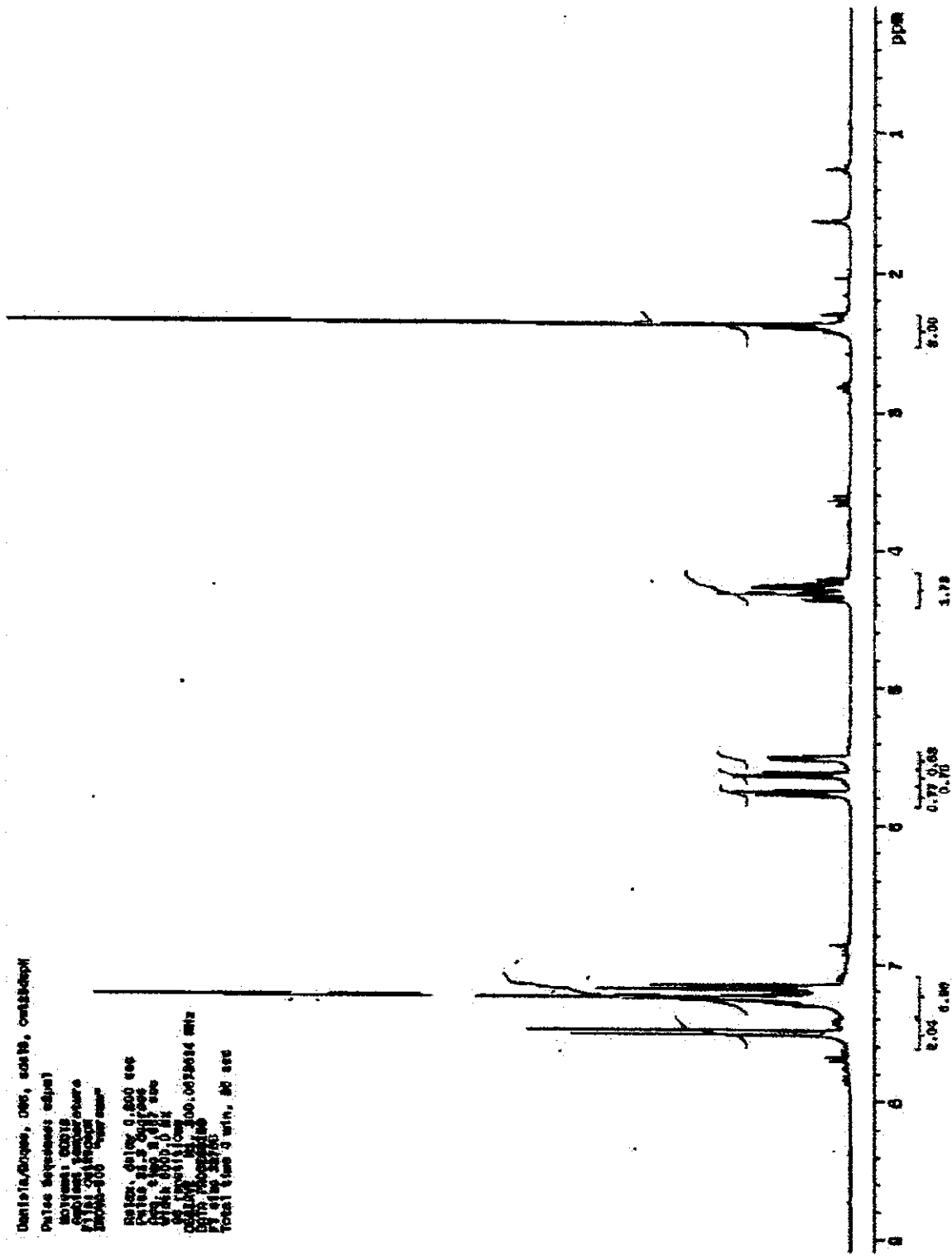




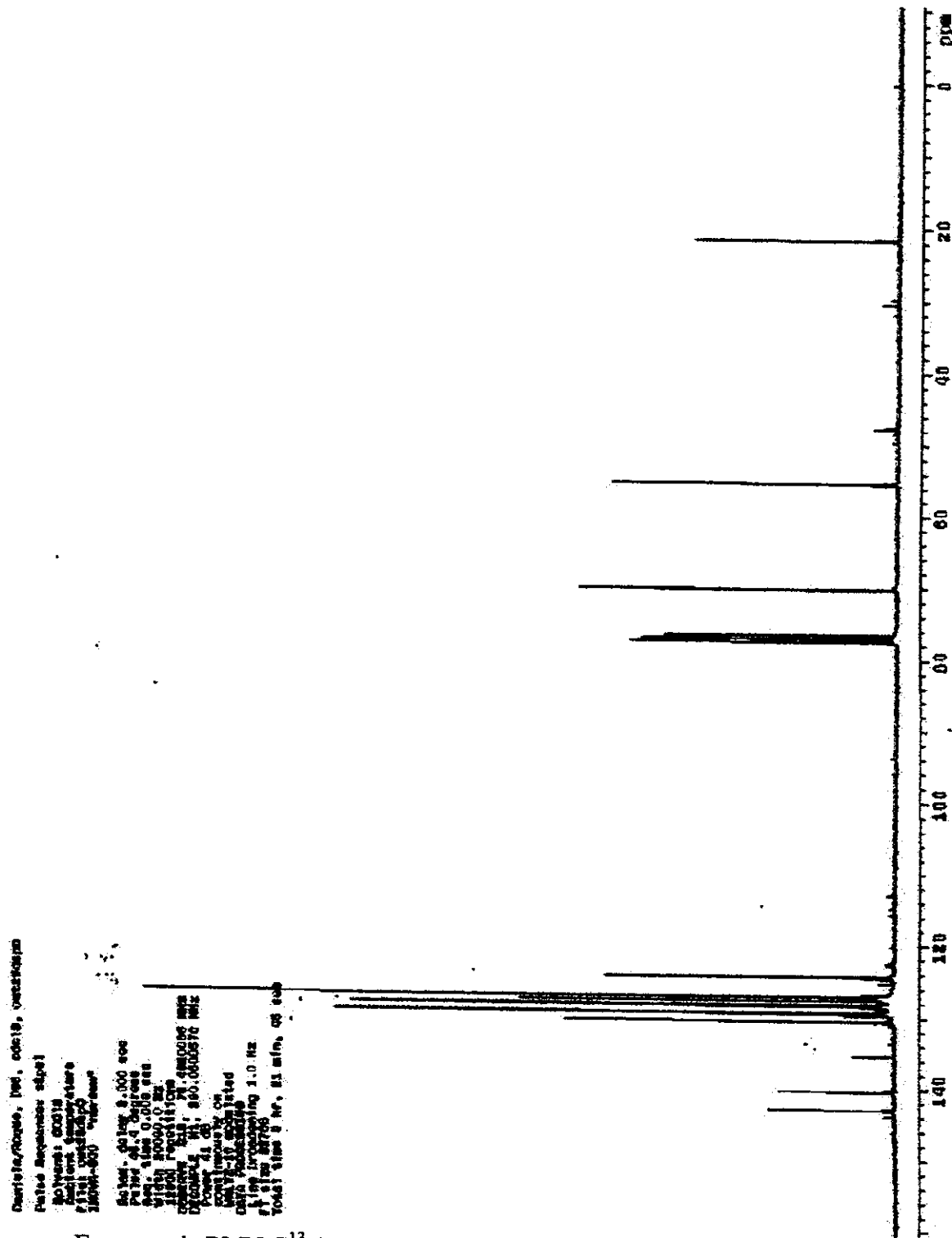
Espectro de infravermelho de 33b.



Espectro de massa de 33b.

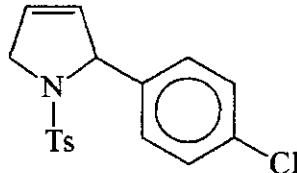


Espectro de RMN H¹(500MHz) em CDCl₃ de **33b**.



Espectro de RMN C¹³ (125MHz) em CDCl₃ de **33b**.

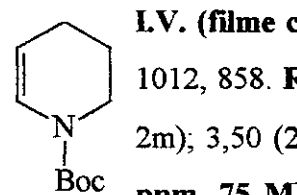
N-(*p*-toluenosulfonil)-2-(4-Chlorofenil)-2,5-diidropirrolina 33c.



IV. (pastilha cm⁻¹) 3447, 2957, 2921, 2849, 1630, 1597, 1490, 1344, 1161, 1086, 1058, 1010, 828. **RMN H¹(CDCl₃, δ, ppm, 500 MHz, ta)** 7,45 (2H, d, *J*=8); 7,15 (6H, m); 5,73 (1H, dq, *J*=2 e 4); 5,54 (1H, dq, *J*=2 e 4); 5,40 (1H, m); 4,24 (1H, 2q, *J*=2 e 5); 4,21 (1H, 2dt, *J*=2); 2,32 (3H, s). **Espectrometria de Massa de Alta**

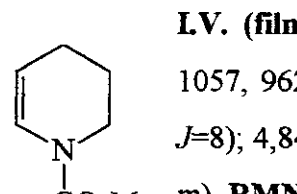
Resolução Calculado: 333,05903; Obtido: 333,059093.

N-(terc-Butoxicarbonil)- 1,2,3,4-tetraidropiridina 42 Sintetizado de acordo com a metodologia desenvolvida no grupo de pesquisa por Denílson Oliveira^{41,42,43} em sua tese de doutorado defendida em 1998.

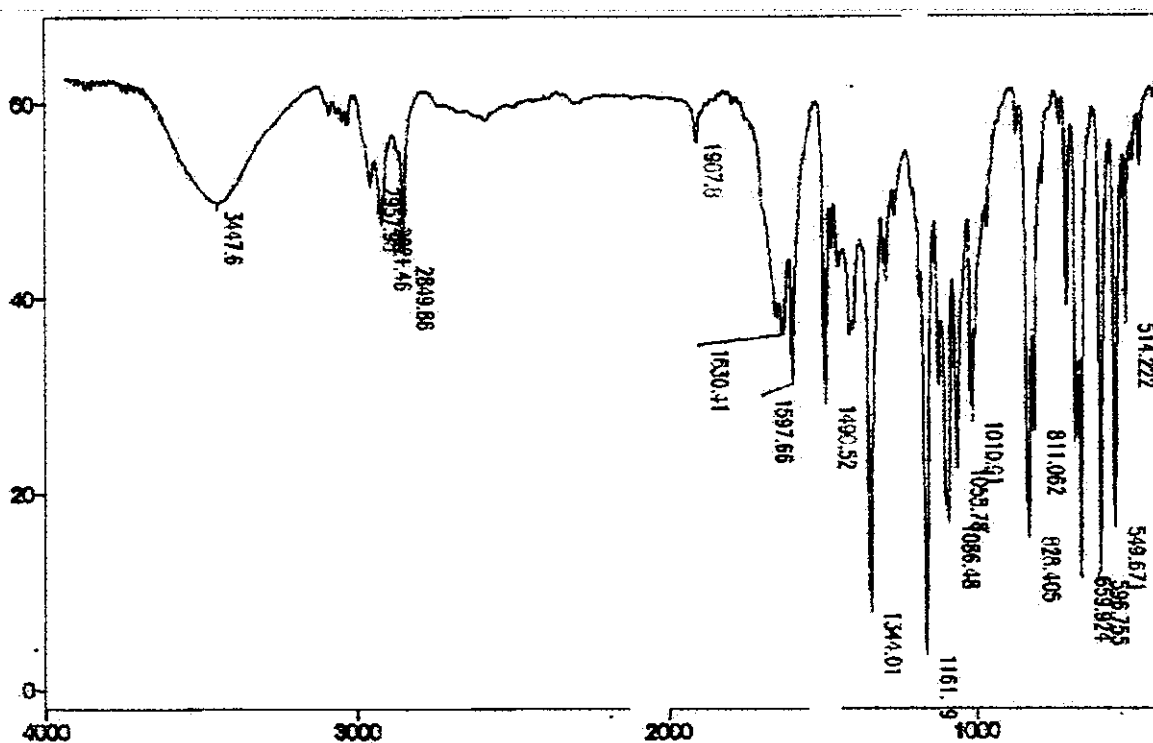


IV. (filme cm⁻¹):2976, 2931, 2862, 1703, 1653, 1454, 1365, 1252, 1163, 1117, 1012, 858. **RMN H¹(CCl₄, δ, ppm, 300 MHz, ta)** 6,60 (1H, 2d, *J*=9); 4,60 (1H, 2m); 3,50 (2H, m); 2,00 (2H, m); 1,90 (2H, m). 1,46 (9H, s). **RMN C¹³(CCl₄, δ, ppm, 75 MHz, ta)** 21,6 (CH₂), 28,2 (CH₃), 41,1 (CH₂), 42,1 (CH), 79,3 (C), 103,5 (CH), 125,9 (CH), 151,1 (C). **E.M. principais sinais** 183 (M⁺), 127 (100%), 110 (40%), 82 (75%), 68 (50%), 57 (74%), 41 (40%).

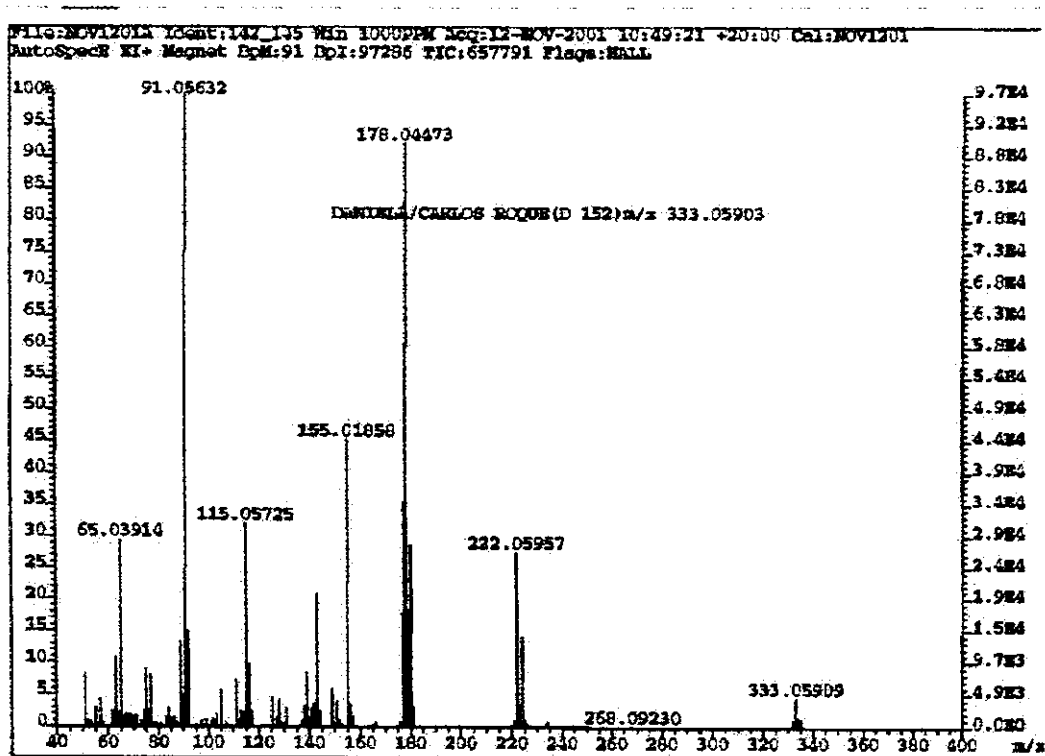
N-(Metoxicarbonil)-1,2,3,4-tetraidropiridina 43 Sintetizado de acordo com a metodologia desenvolvida no grupo de pesquisa por Denílson Oliveira^{41,42,43} em sua tese de doutorado defendida em 1998.



IV. (filme cm⁻¹) 2952, 2844, 1709, 1651, 1444, 1406, 1360, 1257, 1119, 1057, 962, 768. **RMN H¹(CCl₄, δ, ppm, 300 MHz, ta)** 6,75+6,65 (1H, 2d, *J*=8); 4,84+4,75 (1H, 2m); 3,68 (3H, s); 3,55 (2H, m); 2,05 (2H, m); 1,80 (2H, m). **RMN C¹³(CCl₄, δ, ppm, 75 MHz, ta)** 21,3 (CH₂), 21,5 (CH₂), 41,8 (CH), 52,2 (CH₃), 104,7 (CH), 125,9 (CH), 151,5 (C). **E.M. principais sinais** 141 (M⁺), 126 (100%), 82 (40%).



Espectro de infravermelho de 33c.

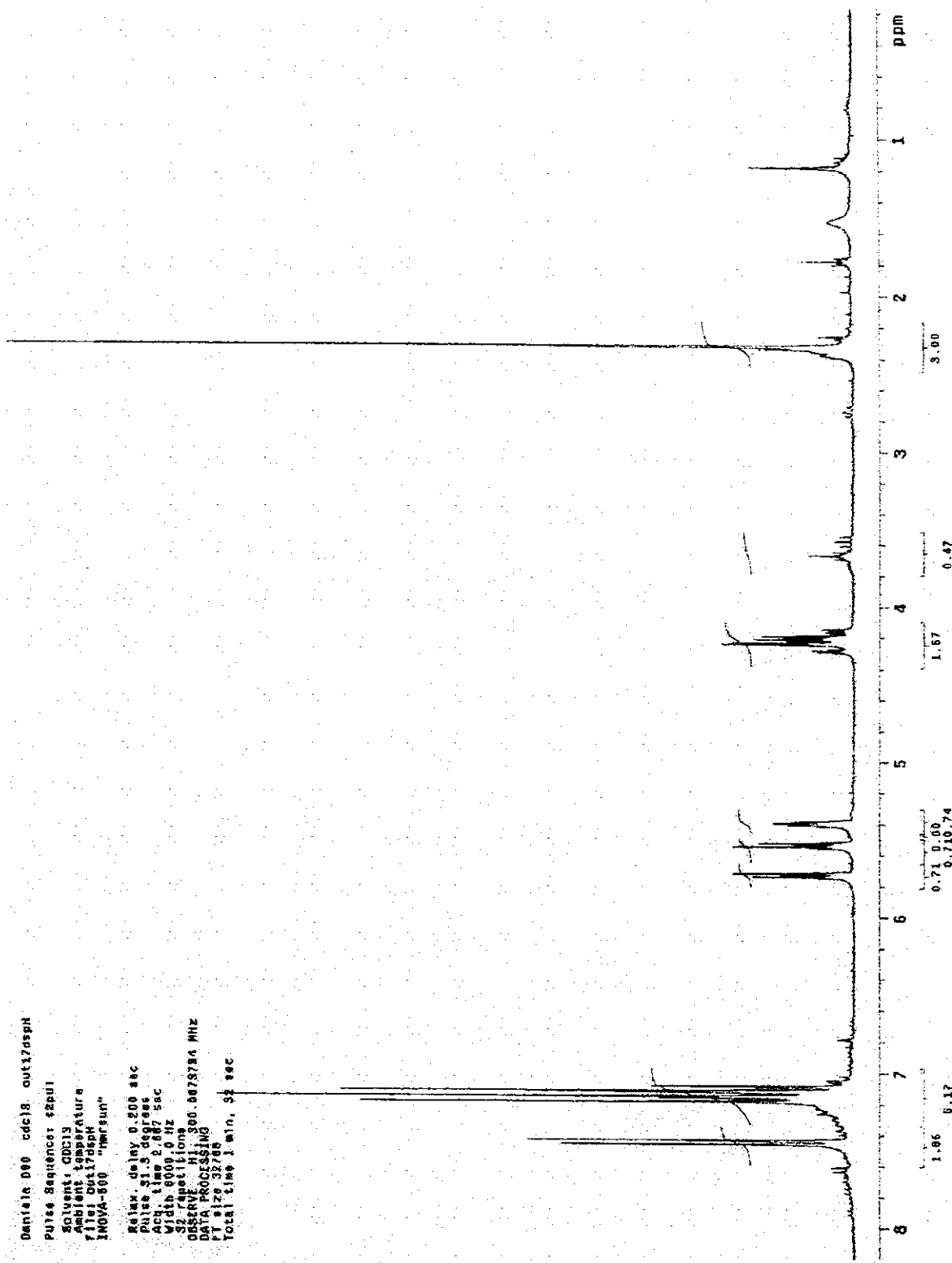


Espectro de massa de alta resolução de 33c.

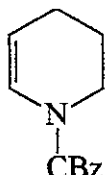
Danielis D90 cdc18.out1/dspf
 Pulse Sequence: \$2511
 Solvent: CDCl₃
 Ambient Temperature
 7.11 Dist 17.69 Hz
 IN10A 500 "Hewlett
 Packard"

 Relax delay 0.200 sec
 Pulse 90.5 degrees
 Acq time 2.677 sec
 Width 6000.0 Hz
 S2 ref 1000000000 Hz
 Decoupling H1=380.009786 MHz
 Data Processing
 RT 1.000000000 sec
 Total time 1 min, 92 sec

Espectro de RMN H¹ (500 MHz) em CDCl₃ de 33c.



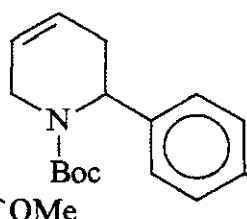
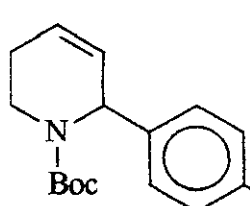
N-(Benziloxicarbonil)-1,2,3,4-tetraidropiridina 44 Sintetizado de acordo com a metodologia desenvolvida no grupo de pesquisa por Denílson Oliveira^{41,42,43} em sua tese de doutorado defendida em 1998.



I.V. (filme cm⁻¹) 3066, 2949, 2883, 1705, 1654, 1498, 1410, 1348, 1255, 1232, 1107, 1053, 764. **RMN H¹(CCl₄, δ, ppm, 300 MHz, ta)** 7,25 (5H, m); 6,80 (1H, 2d, *J*=8); 5,05 (2H, s); 4,80 (1H, m); 3,55 (2H, m); 1,95 (2H, m); 1,80 (2H, dd, *J*=6 e 11). **RMN C¹³(CCl₄, δ, ppm, 75 MHz, ta)** 21,4 (CH₂); 21,5 (CH₂); 41,8 (CH); 66,9 (CH₂); 104,8 (CH); 125,3 (CH); 127,7 (CH); 127,8 (CH); 128,1 (CH); 136,4 (C); 151,9 (C). **E.M. principais sinais** 217 (M⁺), 173 (20%), 91 (100%), 65 (20%).

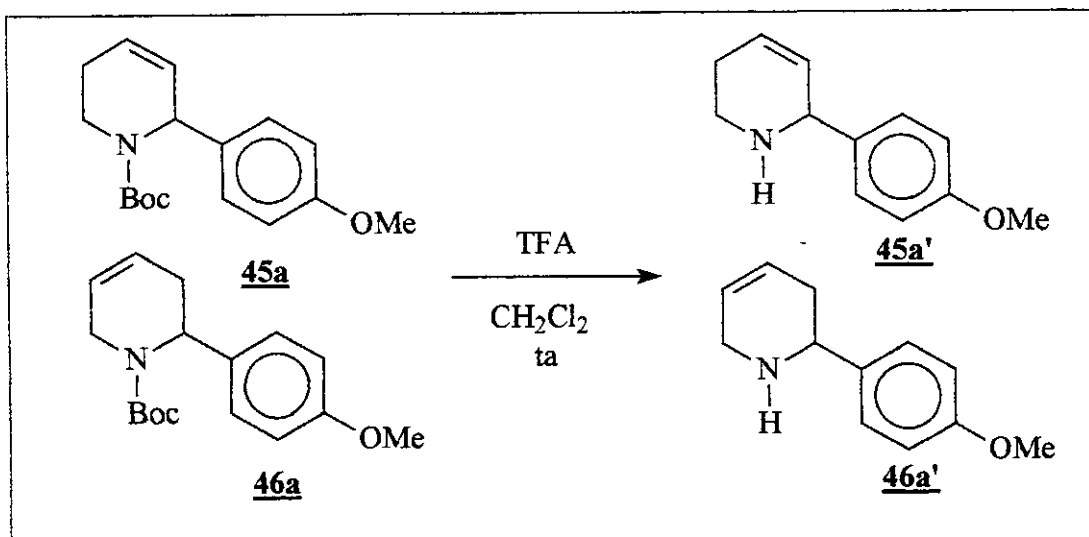
N-(terc-Butoxicarbonil)-6-(4-metoxifenil)-1, 2, 3, 6 tetraidropiridina 45a.

N-(terc-Butoxicarbonil)-2-(4-metoxifenil)-1, 2, 3, 6 tetraidropiridina 46a.



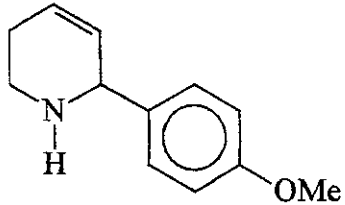
I.V. (filme cm⁻¹) 3033, 2974, 2931, 2837, 1699, 1651, 1610, 1512, 1456, 1365, 1250, 1171, 1113, 1038, 835. **RMN H¹(CDCl₃, δ, ppm, 500 MHz, ta)** 7,40-6,80 (4H, m); 6,05 - 5,64 (3H, m); 4,20 + 3,30 + 2,94 (1H, d+2dt + m, *J*=20, 2 e 5); 3,80 + 3,79 (3H, 2s); 2,80-2,60 (1H, m); 2,40-2,00 (1H, m); 1,50 + 1,48 (9H, 2s). **M. principais sinais** Composto A: 289 (M⁺); 233 (100%); 188 (90%); 172 (80%); 159 (95%), 57 (98%). Composto B: 289 (M⁺); 233 (80%); 179 (100%); 135 (70%); 57 (95%). **Espectrometria de Massa de Alta Resolução Calculado:** 289,16779; Obtido: 289,16732.

Procedimento utilizado para remoção do grupo Boc⁷⁵.



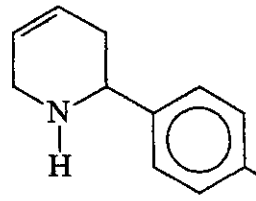
Em um balão de 50 ml, 0,21g (0,7 mmol) da mistura de compostos **45a** e **46a** foi dissolvida em 7mL de uma solução (0,1M) contendo 50% de ácido trifluoracético em diclorometano. O meio reacional tornou-se verde. Após 3 horas, o meio reacional foi neutralizado com 7mL de solução saturada de bicarbonato de sódio, até a solução tornar-se amarela. Os produtos foram extraídos com diclorometano, a fase orgânica foi tratada com sulfato de sódio anidro. Após a remoção do solvente, foi obtido um óleo amarelo. O óleo resultante foi fracionado por cromatografia flash em sílica gel, com metanol 5% em clorofórmio (revelado em ácido fosfomolibdico). Após remoção dos eluentes, foi obtido 0,12g (90% de rendimento) de um óleo incolor, que foi caracterizado como produto.

6-(4-metoxifenil)-1, 2, 3, 6-tetraidropiridina 45a'.

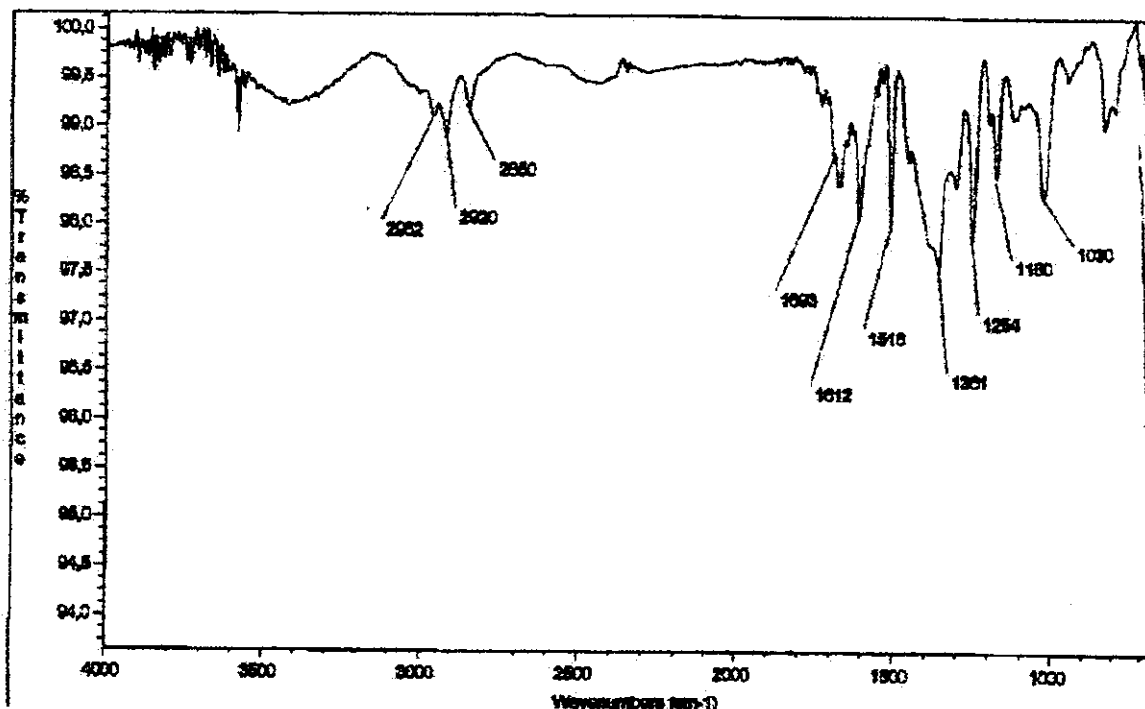


I.V. (**filme cm⁻¹**) 2962, 2920, 2850, 1693, 1612, 1516, 1361, 1254, 1180, 1030. (**CCl₄, δ, ppm, 300 MHz, ta**) 7,33 (2H, d, *J*=9); 6,86 (2H, d, *J*=9); 6,12 (1H, m); 5,74 (1H, dd, *J*=2 e 10); 4,88 (1H, s); 3,77 (3H, s); 3,15 (2H, m); 2,48 (1H, m); 2,35 (1H, m). (**CCl₄, δ, ppm, 75 MHz, ta**) 21,9 (CH₂); 39,8 (CH₂); 55,3 (CH₃); 56,2 (CH); 114,4 (2CH); 124,1 (CH); 126,9 (CH); 129,2 (C); 130,3 (2CH); 160,5 (C). E.M. **principais sinais** 189 (M⁺), 188 (100%); 174 (45%); 134 (40%); 115 (50%); 82 (75%).

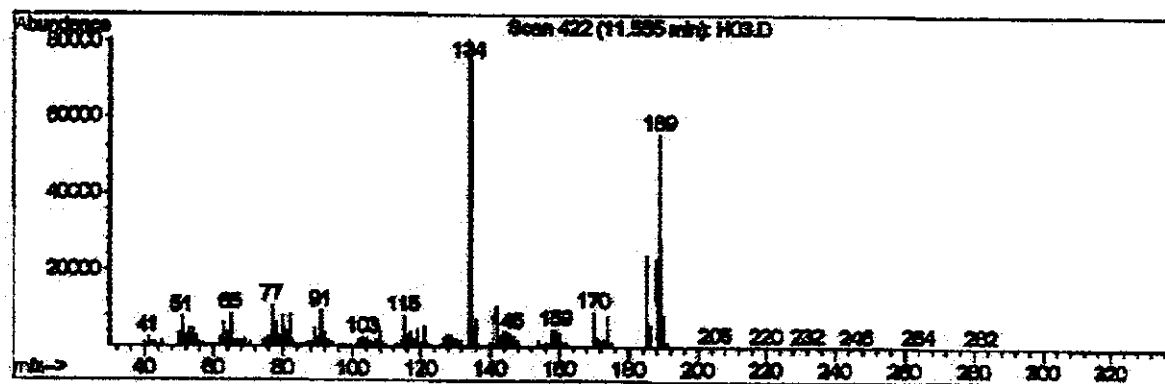
2-(4-metoxifenil)-1, 2, 3, 6-tetraidropiridina 46a'.



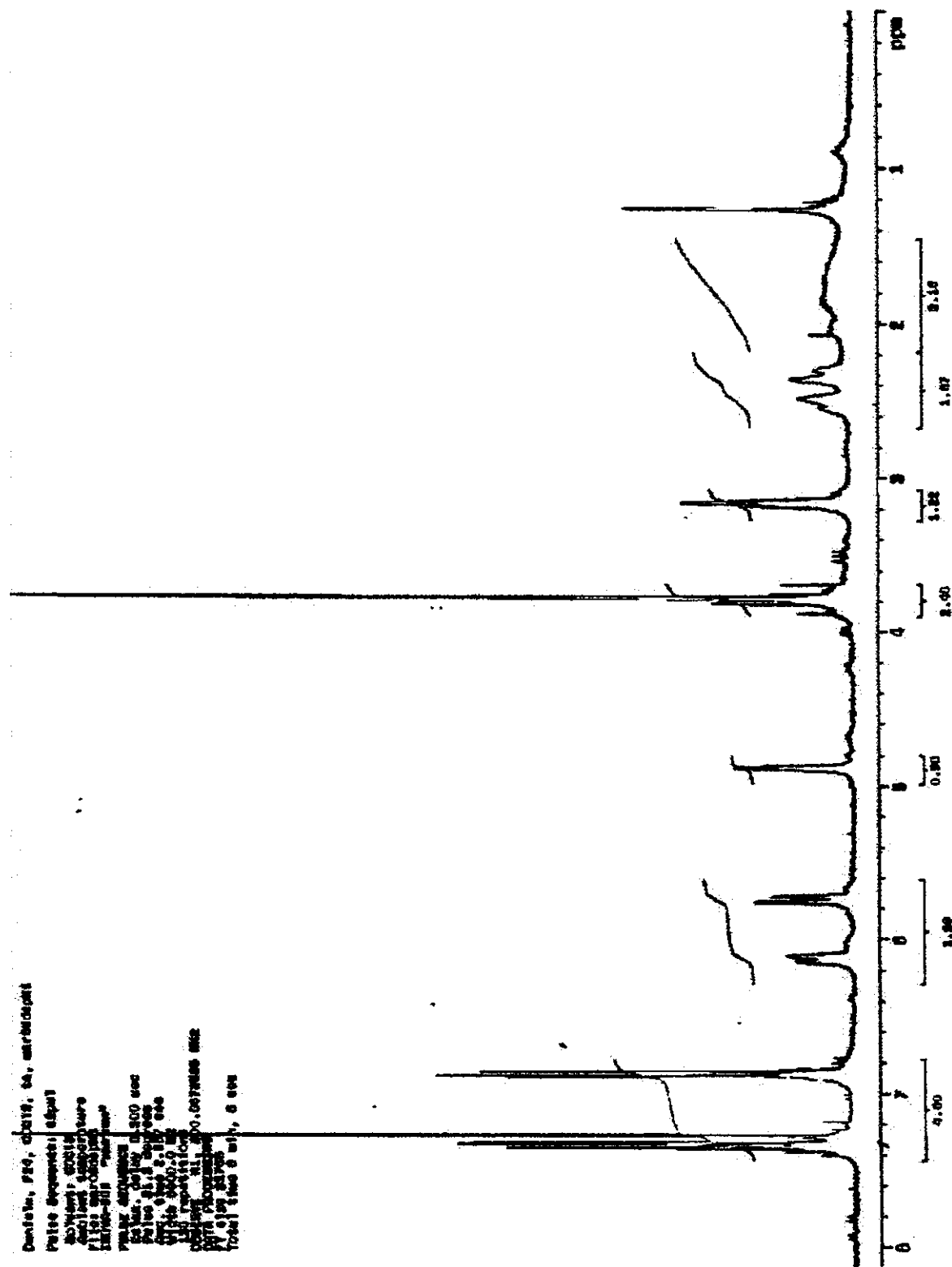
I.V. (**filme cm⁻¹**) 1670, 1612, 1516, 1369, 1257, 1200, 1134, 1034, 833. (**CCl₄, δ, ppm, 300 MHz, ta**) 7,36 (2H, d, *J*=9); 6,89 (2H, d, *J*=9); 6,05 (1H, m); 5,70 (1H, m); 4,20 (1H, m); 3,78 (3H, s); 3,45 (2H, m); 2,40 (2H, m). (**CCl₄, δ, ppm, 75 MHz, ta**) 29,0 (CH₂); 42,7 (CH₂); 55,3 (CH₃); 56,1 (CH); 114,4 (2CH); 119,9 (CH); 125,8 (CH); 127,0 (C); 129,0 (2CH); 160,4 (C). E.M. **principais sinais** 189 (M⁺), 134 (100%).



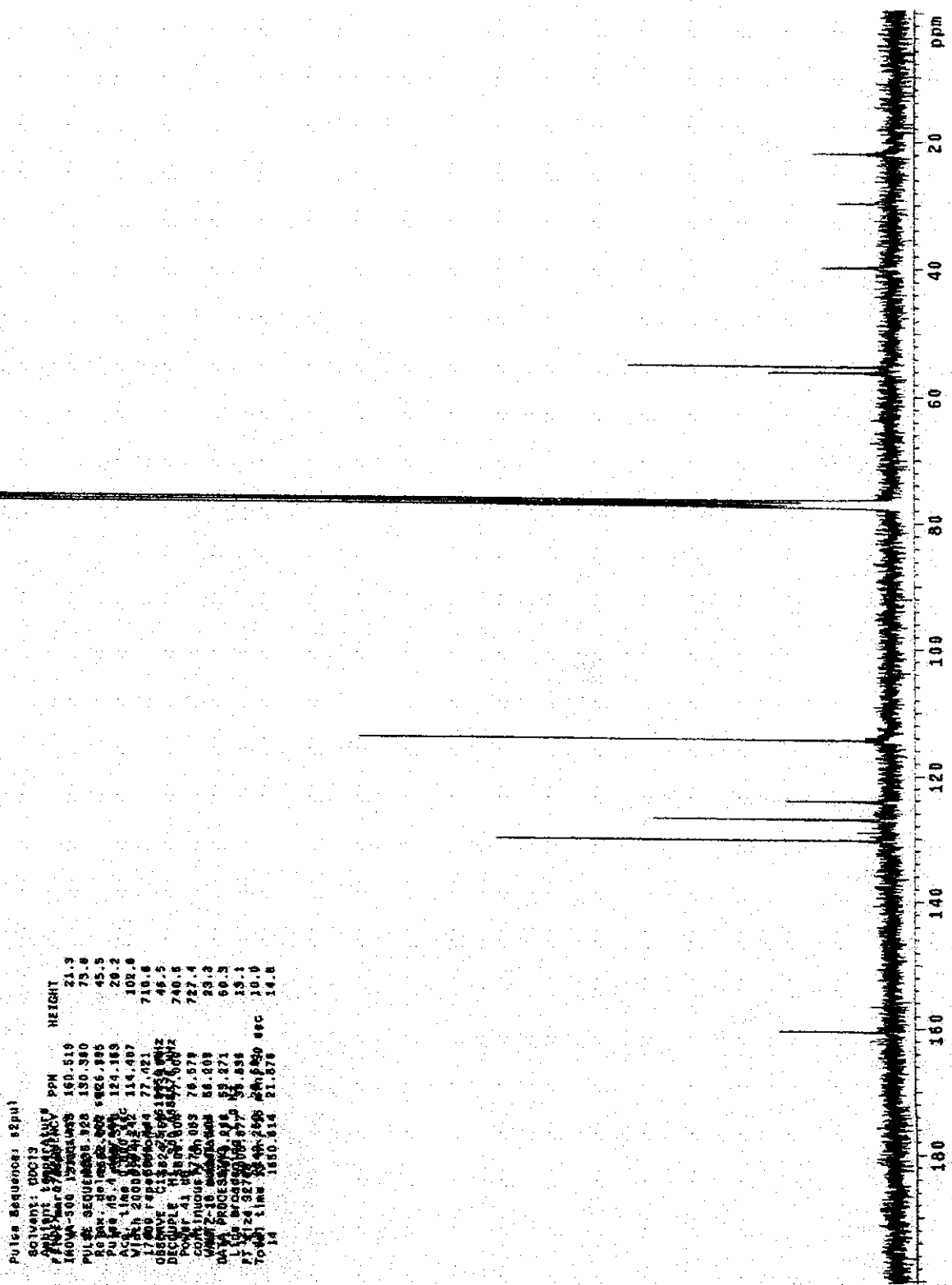
Espectro de infravermelho de 45a'.



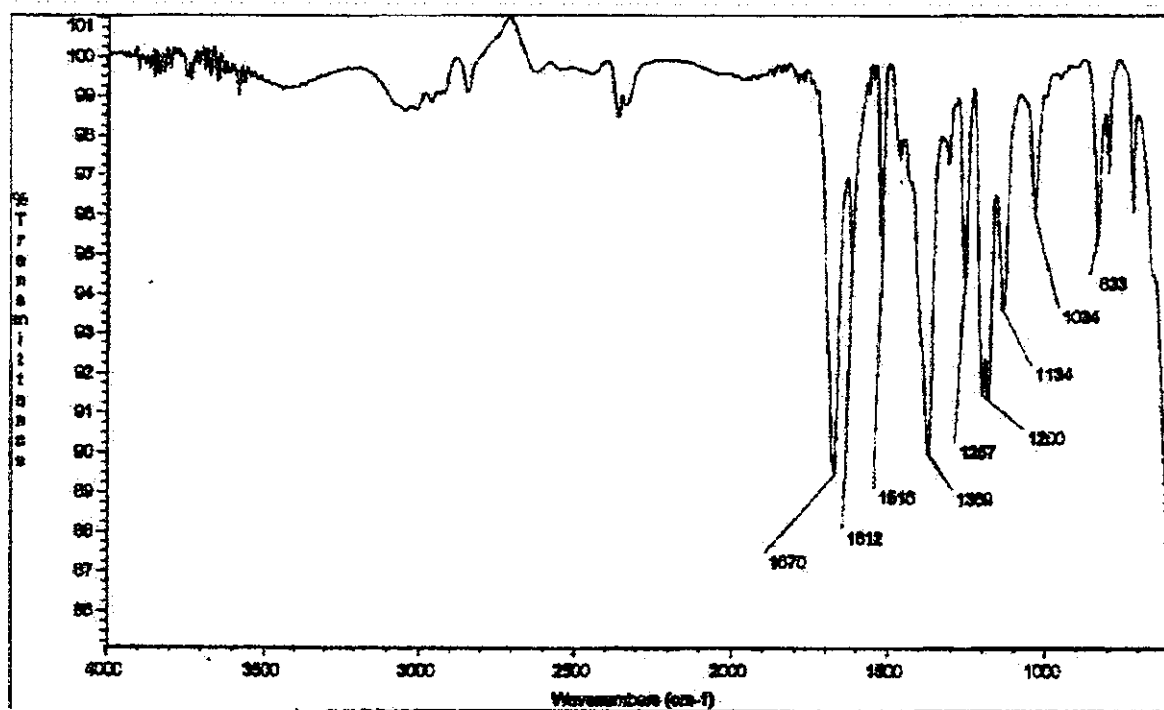
Espectro de massa de 45a'.



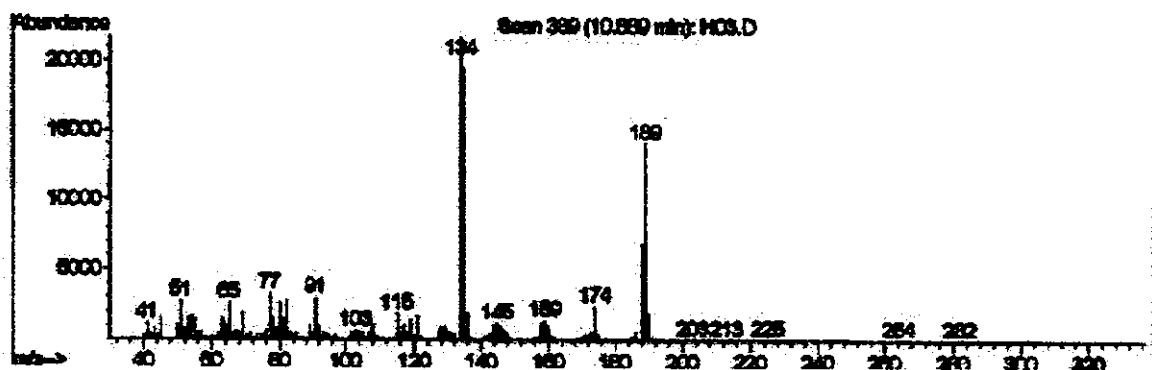
Espectro de RMN H¹(300MHz) em CCl₄ de 45a'.



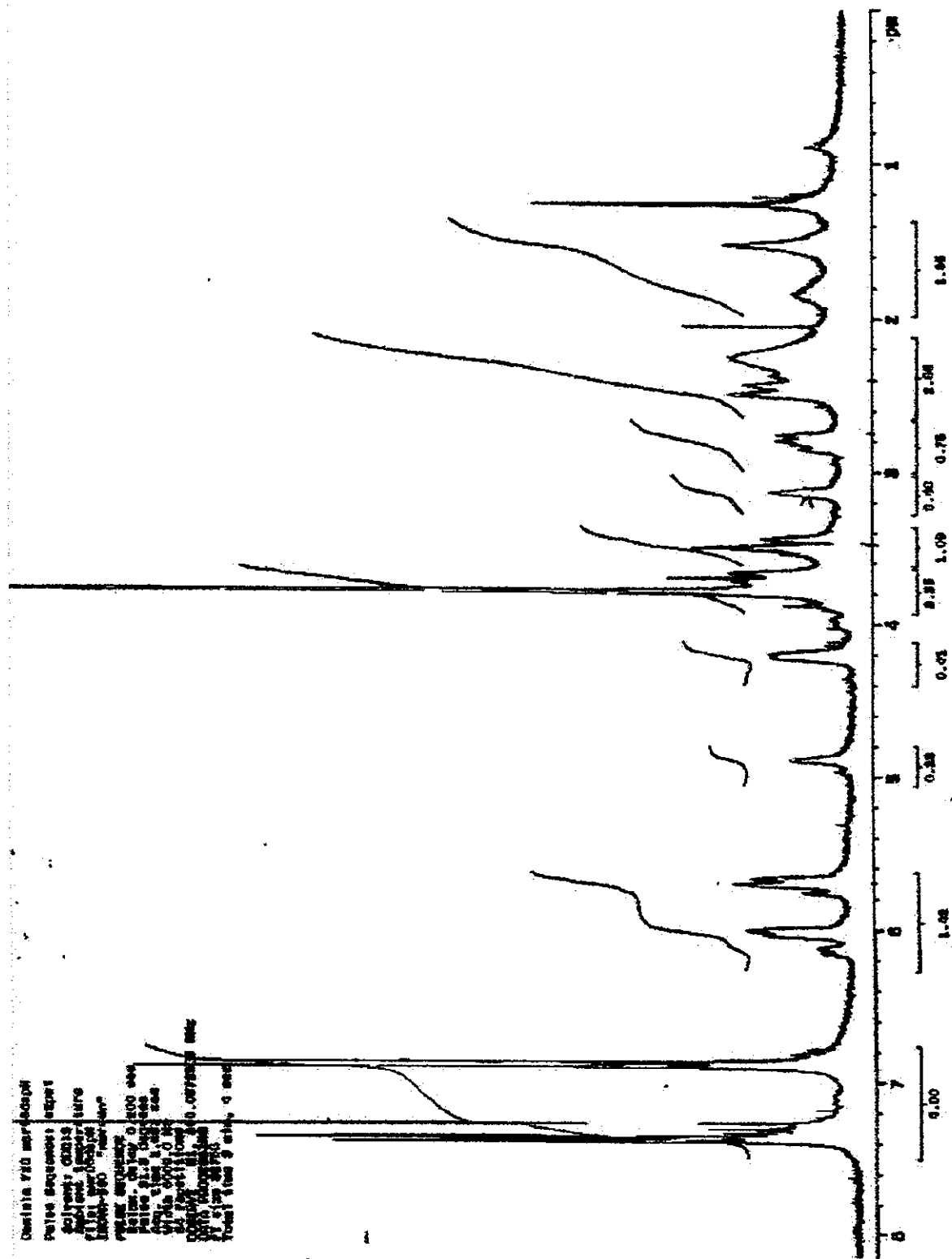
Espectro de RMN C¹³ (75MHz) em CCl₄ de 45a'.



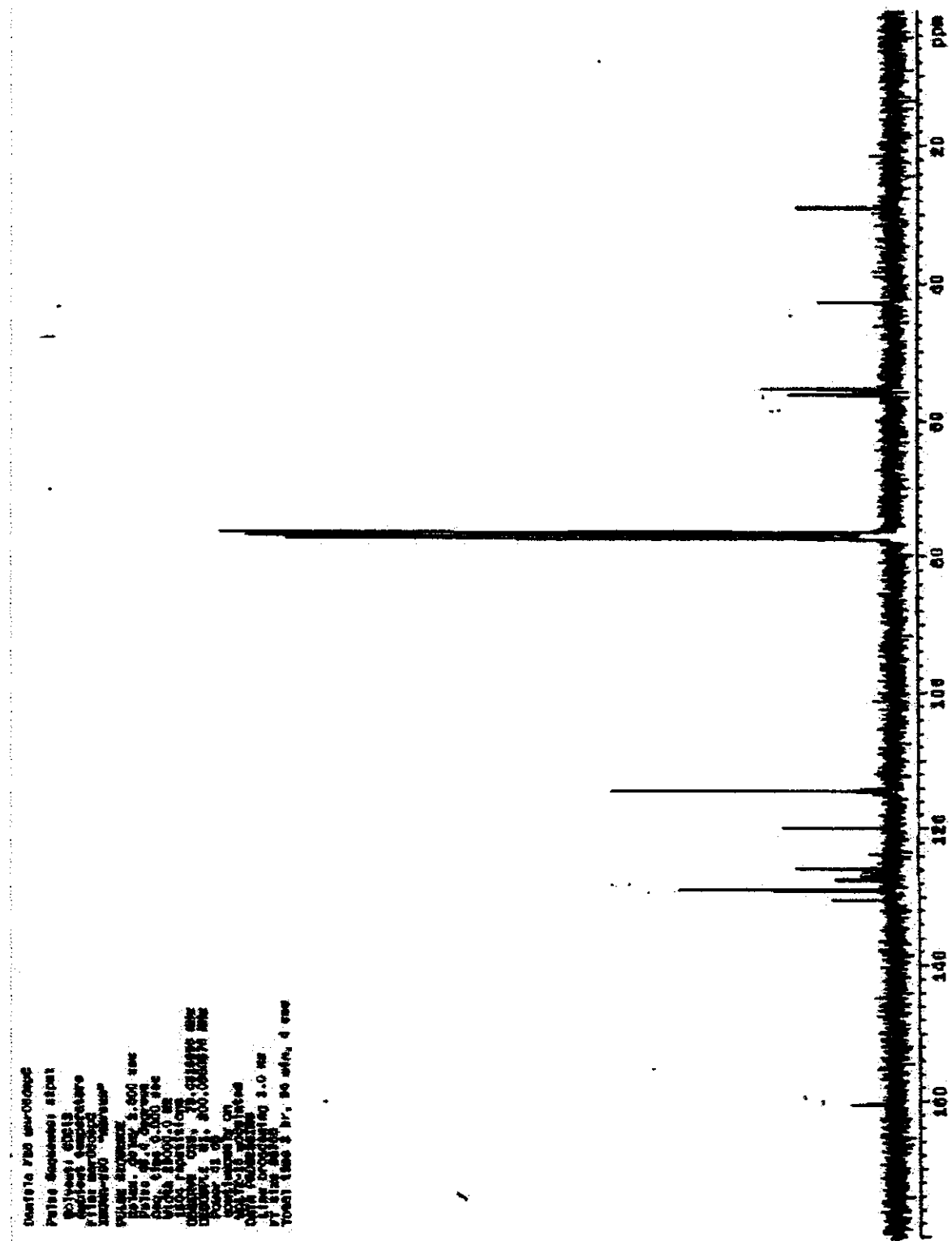
Espectro de infravermelho de **46a'**.



Espectro de massa de **46a'**.

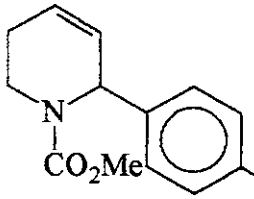


Espectro de RMN H^1 (300MHz) em CCl_4 de **46a'**.



Espectro de RMN C^{13} (75MHz) em CCl_4 de 46a'.

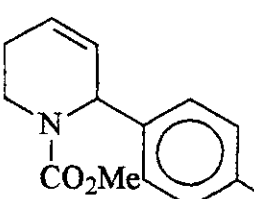
N-(metoxicarbonil)-6-(4-metoxifenil)-1, 2, 3, 6-tetraidropiridina 45b.



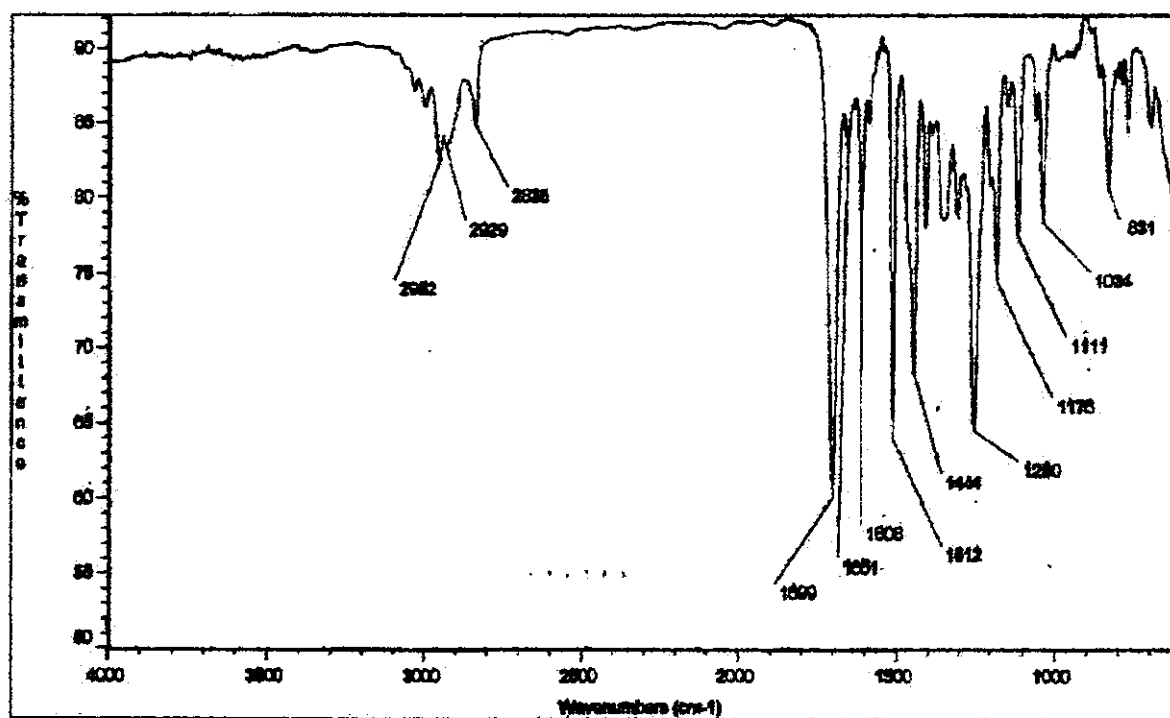
I.V. (filme cm⁻¹) 2952, 2929, 2835, 1699, 1651, 1608, 1512, 1444, 1250, 1176, 1111, 1034, 831. **RMN H¹(CCl₄, δ, ppm, 300 MHz, ta)** 7,32 (2H, d, *J*=8); 6,86 (2H, dd, *J*=2 e 8); 6,10 (1H, m); 5,82 (1H, m); 5,49 (1H, m); 4,10 (1H, m); 3,80 (3H, s); 3,74 (3H, s); 2,96 (1H, ddd, *J*=4 e 13); 2,32 (1H, m); 2,02 (1H, m). **RMN C¹³(CCl₄, δ, ppm, 75 MHz, ta)** 24,9 (CH₂), 36,7 (CH₂); 52,5 (CH₃); 54,2 (CH₃); 55,2 (CH), 106,6 (CH); 113,6 (2CH); 126,2 (2CH); 127,1 (CH); 132,8 (C); 155,8 (C); 159,0 (C). **E.M. principais sinais** 247 (M⁺), 232 (80%), 188 (79%), 172 (80%), 159 (90%), 140 (50%), 115 (50%).

N-(metoxicarbonil)-6-(4-metoxifenil)-1, 2, 3, 6-tetraidropiridina 45b.

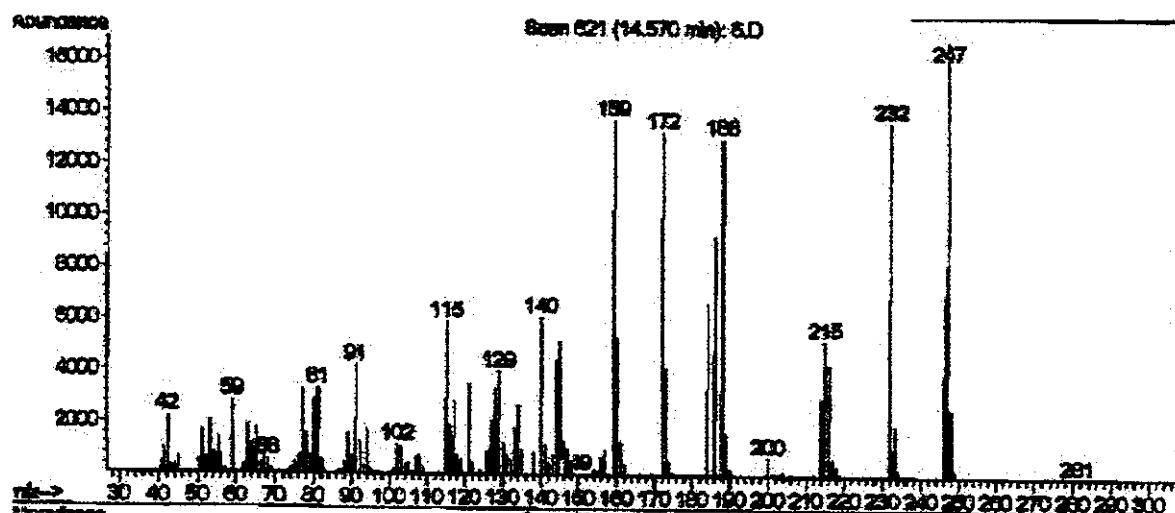
N-(metoxicarbonil)-2-(4-metoxifenil)-1, 2, 3, 6-tetraidropiridina 46b.



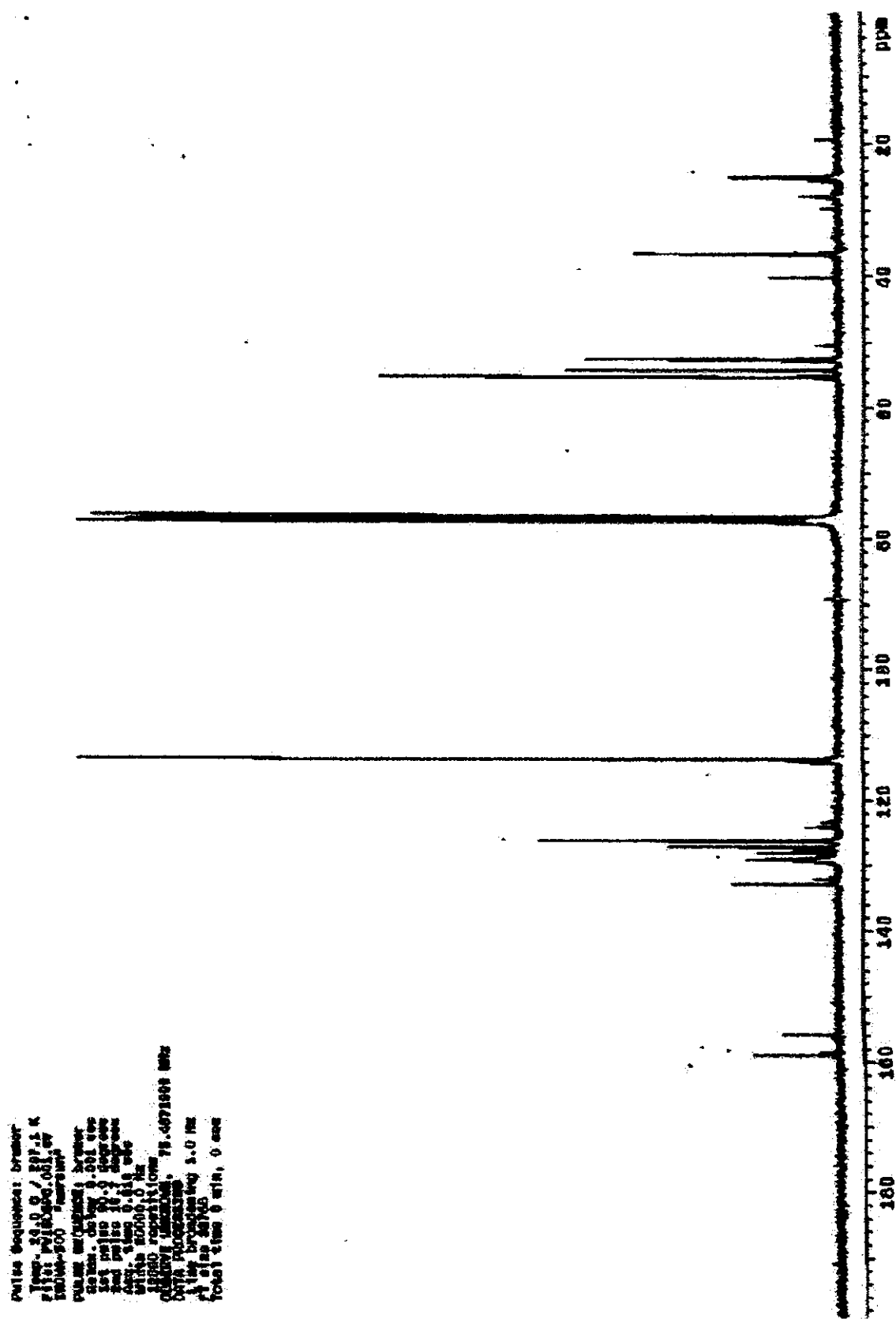
I.V. (filme cm⁻¹) 3035, 2952, 2835, 1699, 1610, 1512, 1444, 1406, 1254, 1176, 1111, 1036, 831. **RMN H¹(CCl₄, δ, ppm, 300 MHz, ta)** 7,40-6,60 (4H, m); 6,05-5,30 (3H, m); 4,15 + 3,25 + 2,85 (1H, d+d+t, *J*=20 e 11); 3,72 +3,70 (3H, 2s); 3,66 + 3,63 (3H, 2s); 2,78-2,40 (1H, m); 2,40-1,90 (1H, m). **E.M. principais sinais** Composto A: 247 (M⁺), 232 (80%), 188 (79%), 172 (80%), 159 (90%), 140 (50%), 115 (50%). Composto B: 247 (M⁺); 193 (60%); 162 (50%); 135 (75%); 134 (100%).



Espectro de infravermelho de 45b.



Espectro de massa de 45b.

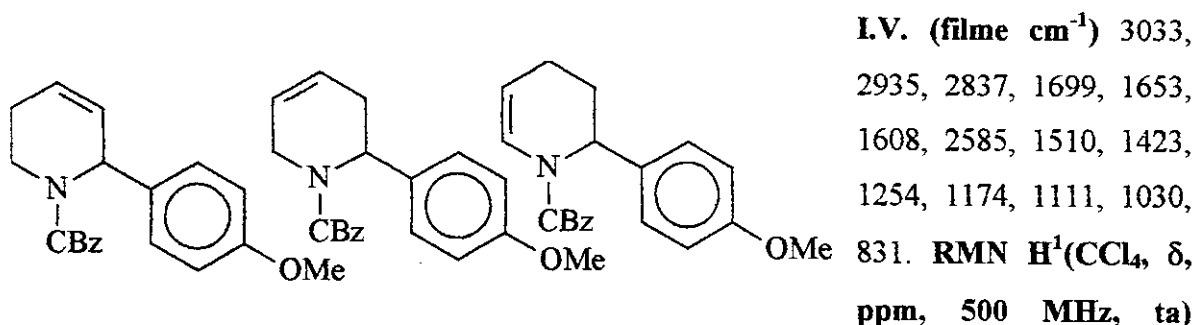


Espectro de RMN C¹³ (75MHz) em CCl₄ de **45b**.

N-(benziloxicarbonil)-6-(4-Metoxifenil)-1,2,3,6-tetraidropiridina 45c.

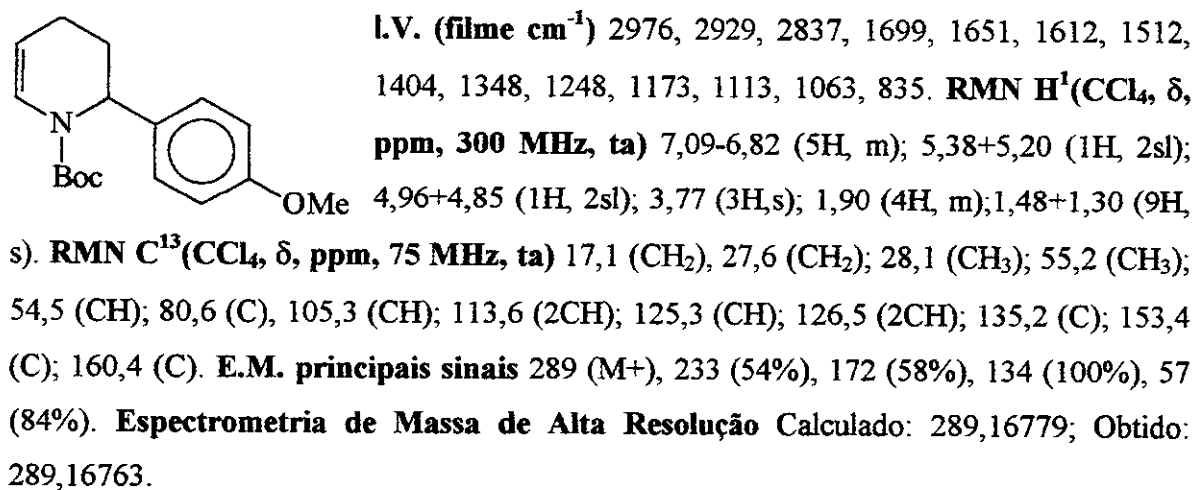
N-(benziloxicarbonil)-2-(4-Metoxifenil)-1,2,3,6-tetraidropiridina 46c.

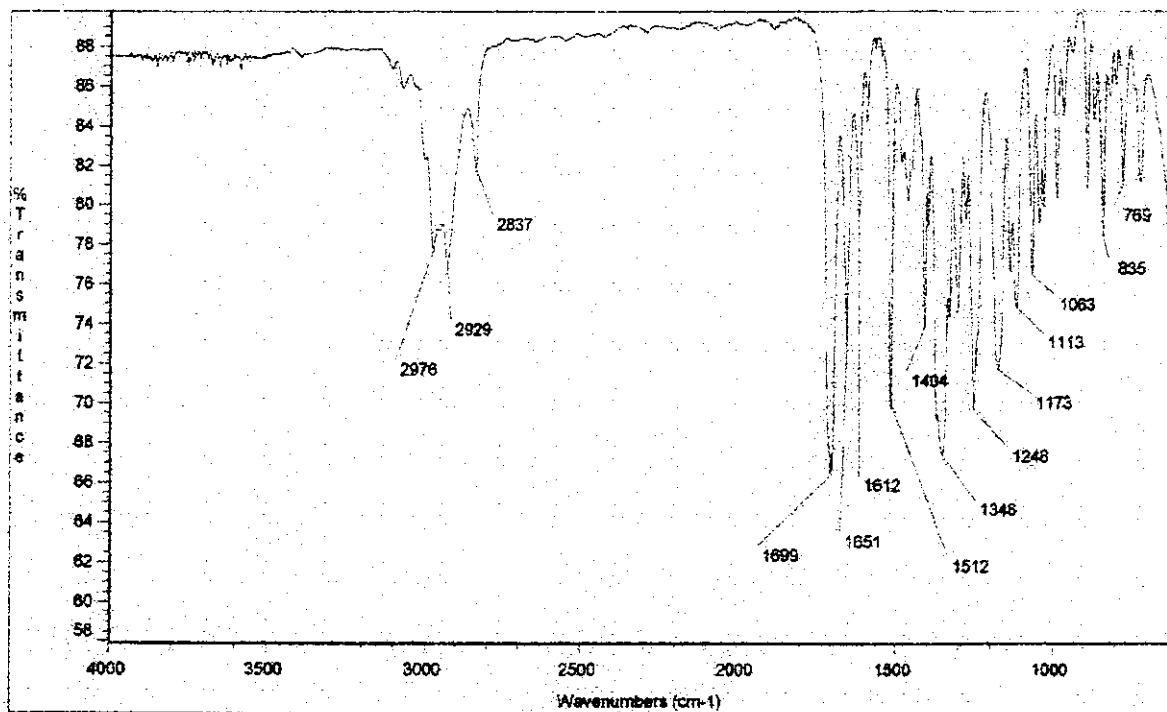
N-(benziloxicarbonil)-2-(4-Metoxifenil)-1,2,3,4-tetraidropiridina 47c.



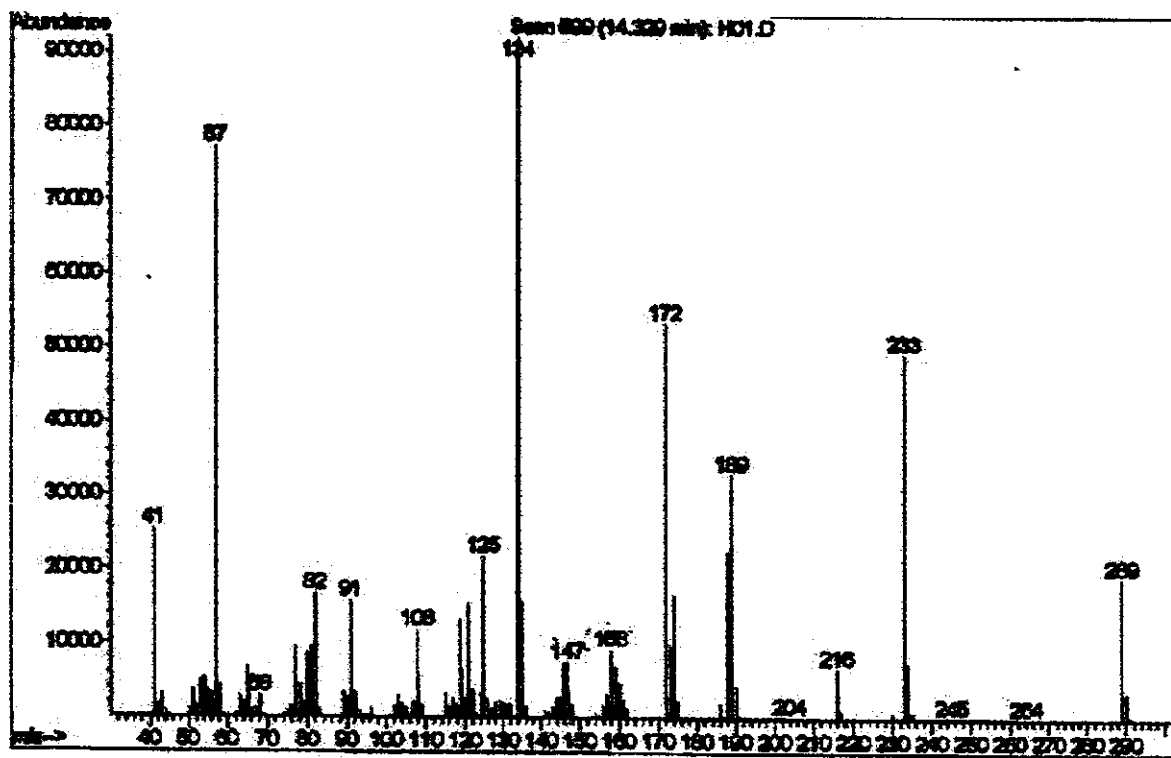
7,25+6,90 (9H, 2m); 6,00 (1H, m); 5,80 (1H, m); 5,52 (1H, m); 5,10 (1H,m); 5,04 (2H, 2s); 4,20 (1H, 2sl); 3,73 (3H,s); 3,25 (1H, 2sl); 2,85 (2H, t, $J=10$); 2,55 (1H, m); 2,45 (1H,m); 2,30 (1H, m); 2,00 (1H, m). RMN $\text{C}^{13}(\text{CCl}_4, \delta, \text{ppm}, 125 \text{ MHz, ta})$ 25,0 (CH_2); 36,3 (CH_2); 54,4 (CH_3); 66,5 (CH_2); 113,3 (2CH); 125,7 (CH); 127,5 (2CH); 127,8 (2CH); 128,0-128,5 (7CH); 132,5 (C); 136,8 (C); 153,8 (C); 158,8 (C). E.M. principais sinais Produto A: 323 (M+); 207 (30%); 188 (30%); 134 (30%); 91 (100%). Produto B: 323 (M+); 232 (65%); 188 (45%); 91 (100%). Produto C: 323 (M+); 232 (95%); 188 (70%); 91 (100%).

N-(terc-Butoxicarbonil)-2-(4-metoxifenil)-1, 2, 3, 4 tetraidropiridina 47a.





Espectro de infravermelho de 47a.



Espectro de massa de 47a.

Daniela H1 2dc13 Jan1215PN2

Pulse Sequence: 2pul

Solvent: CDCl₃

Acquisition Temperature

110V4-60P "Chantun"

PULSE: 90°

Pulse time: 3.397 sec

Acq. time: 3.397 sec

Width: 1000.0 Hz

16 repetitions

DISP/R1: H1:43.0827536 MHz

DATA PROCESSING

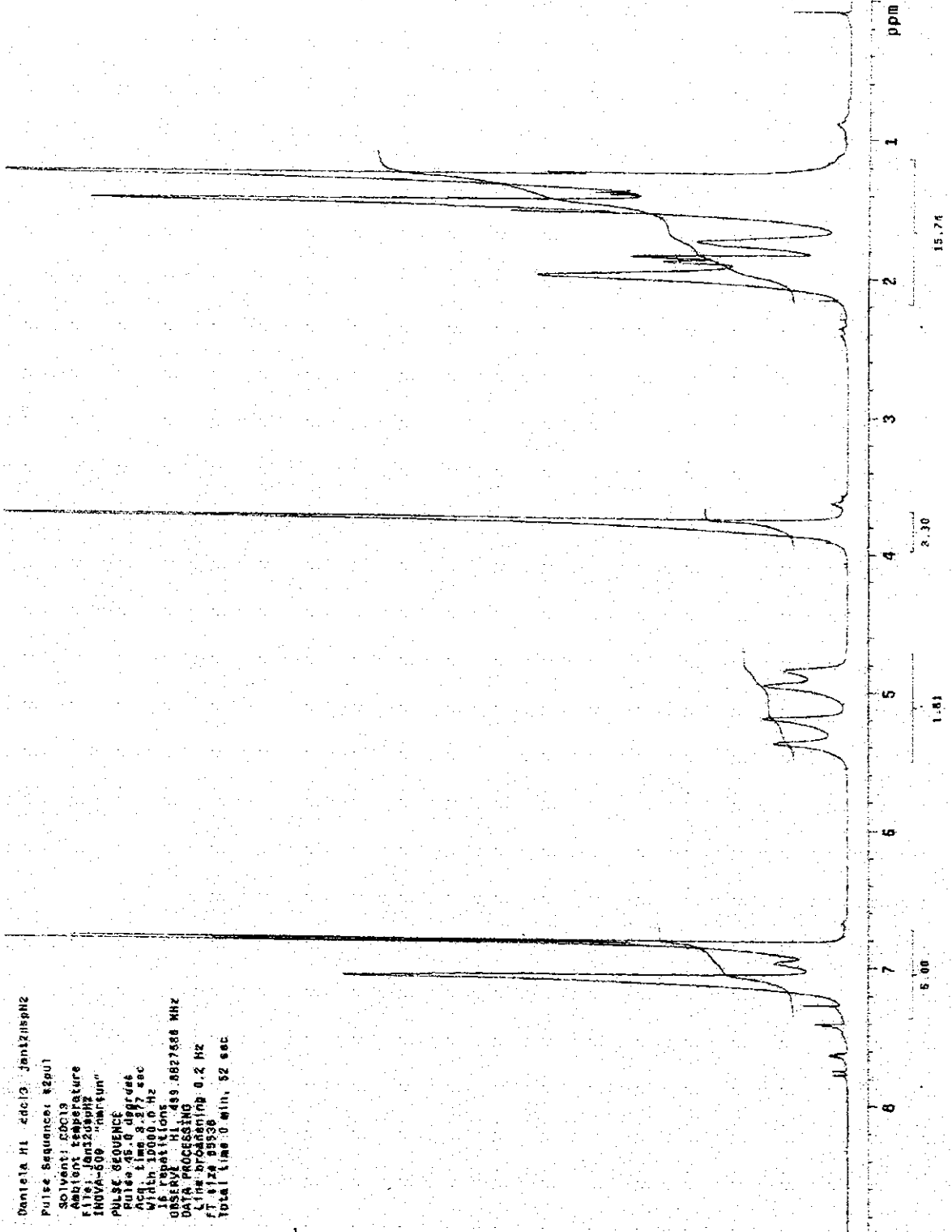
Line broadening: 0.2 Hz

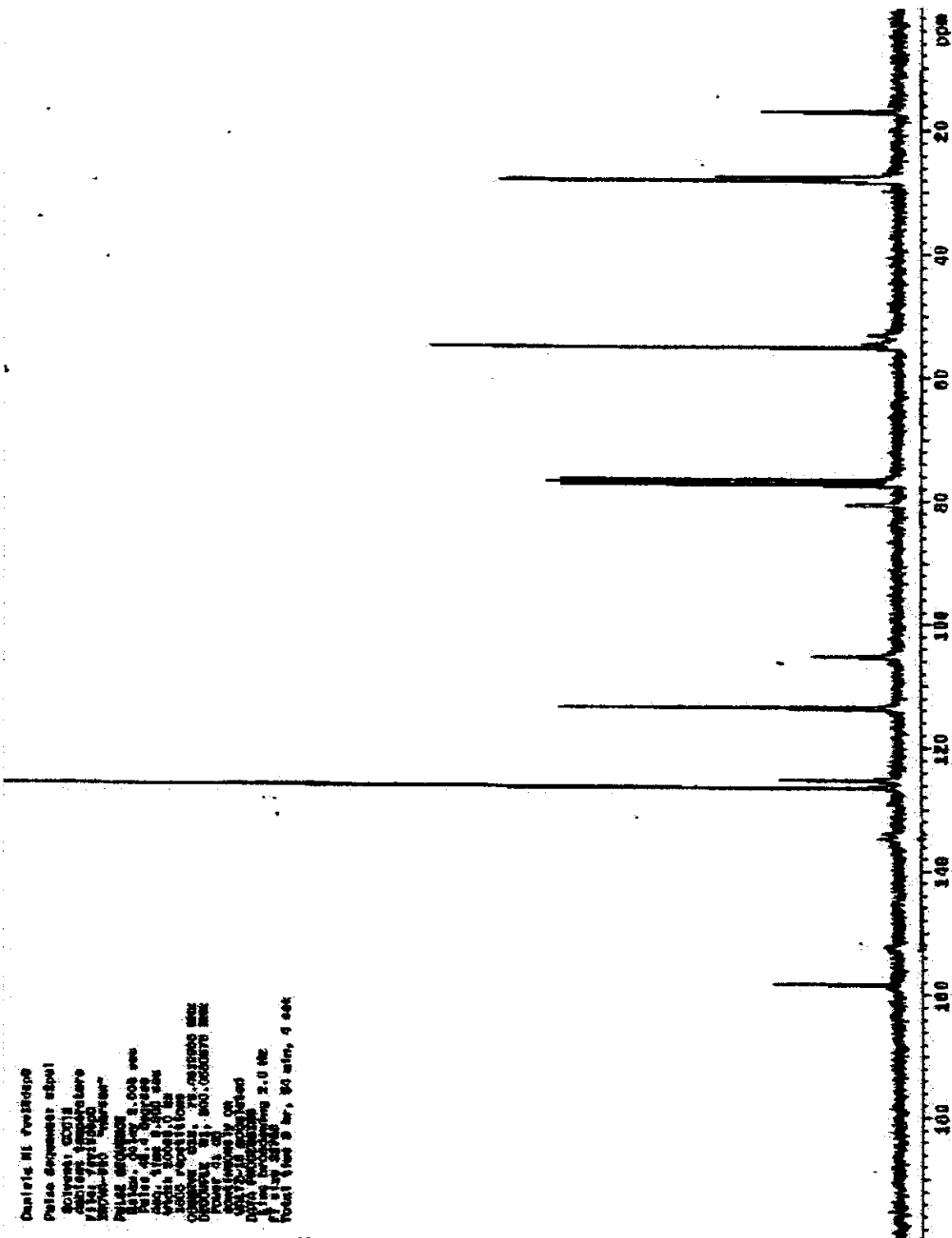
Integration: 0.2

RT: 374.9338

Total time: 0 min, 52 sec

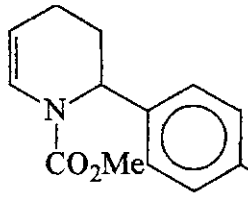
Espectro de RMN H¹(300MHz) em CCl₄ de 47a.





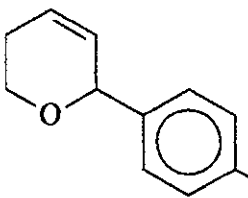
Espectro de RMN C¹³ (75MHz) em CCl₄ de **47a**.

N-(metoxicarbonil)-2-(4-metoxifenil)-1, 2, 3, 4-tetraidropiridina 47b.



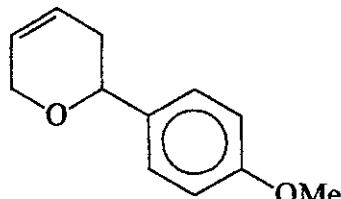
I.V. (filme cm⁻¹) 2999, 2952, 2925, 2837, 1709, 1655, 1612, 1512, 1442, 1348, 1248, 1117, 1066, 768. **RMN H¹(CCl₄, δ, ppm, 300 MHz, ta)** 7,30-7,05 (5H, m); 5,20+5,13 (1H, 2s); 5,59+5,49 (1H, 2s); 3,98 (3H, s); 3,85 (3H, s); 2,20 (4H, m); 1,91 (2H, m). **RMN C¹³(CCl₄, δ, ppm, 75 MHz, ta)** 17,0 (CH₂), 27,4 (CH₂); 52,9 (CH₃); 53,8 (CH); 55,2 (CH₃), 106,6 (CH); 113,8 (4CH); 125,1 (CH); 133,7 (C); 150,4 (C); 158,5 (C). **E.M. principais sinais** 247 (M⁺), 172 (75%), 134 (100%). **Espectrometria de Massa de Alta Resolução** Calculado: 247,12084. Obtido: 247,12059.

6-(4-metoxifenil)-3,6 diidropirano 50.

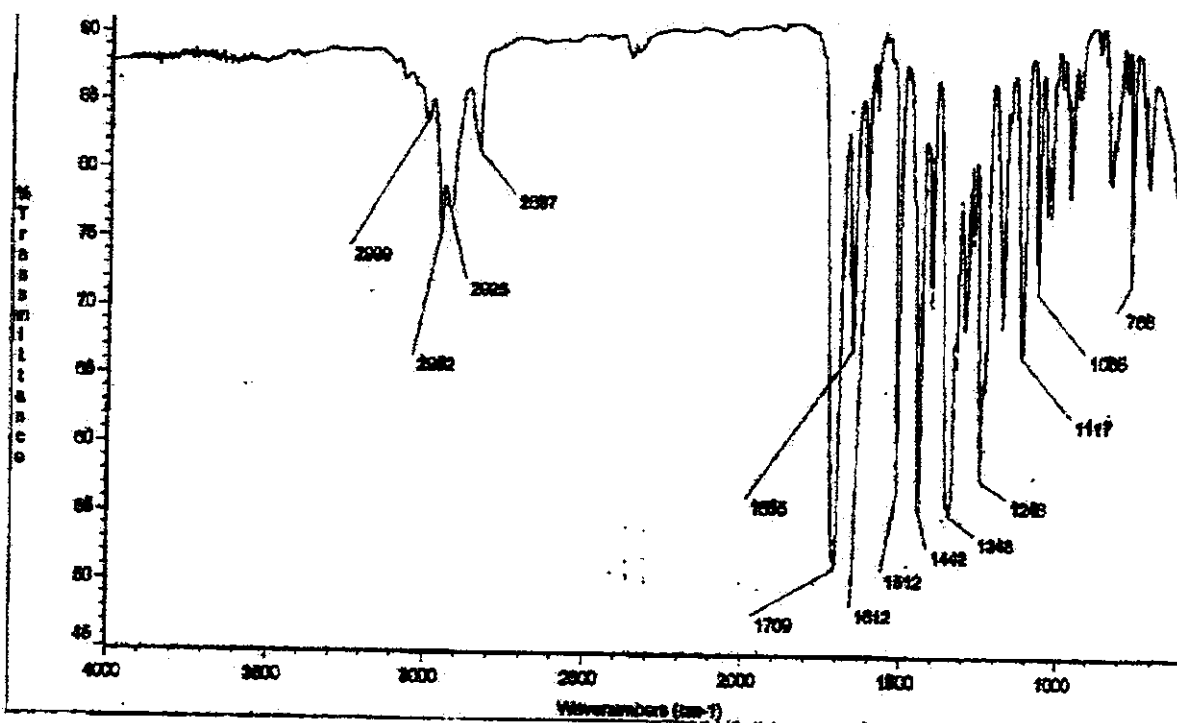


I.V. (filme cm⁻¹) 3033, 2927, 2835, 1614, 1516, 1464, 1387, 1248, 1174, 1090, 1036, 827. **RMN H¹(CCl₄, δ, ppm, 500 MHz, ta)** 7,15+6,75 (4H, 2d, J=9); 5,90 (1H, m); 5,74 (1H, dq, J=2 e 4); 4,93 (1H, t, J=2); 3,84+3,65 (2H, 2m), 3,74 (3H, s); 2,20+2,00 (2H, 2m). **RMN C¹³(CCl₄, δ, ppm, 125 MHz, ta)** 25,1 (CH₂); 54,5 (CH₃); 61,8 (CH₂); 74,8 (CH); 113,2 (2CH); 127,9 (CH), 128,4 (2CH); 128,5 (CH); 134,9 (C); 158,8 (C). **E.M. principais sinais** 190 (M⁺), 135 (100%); 115 (20%); 77 (20%). **Espectrometria de Massa de Alta Resolução** Calculado: 190,09938; Obtido: 190,09945.

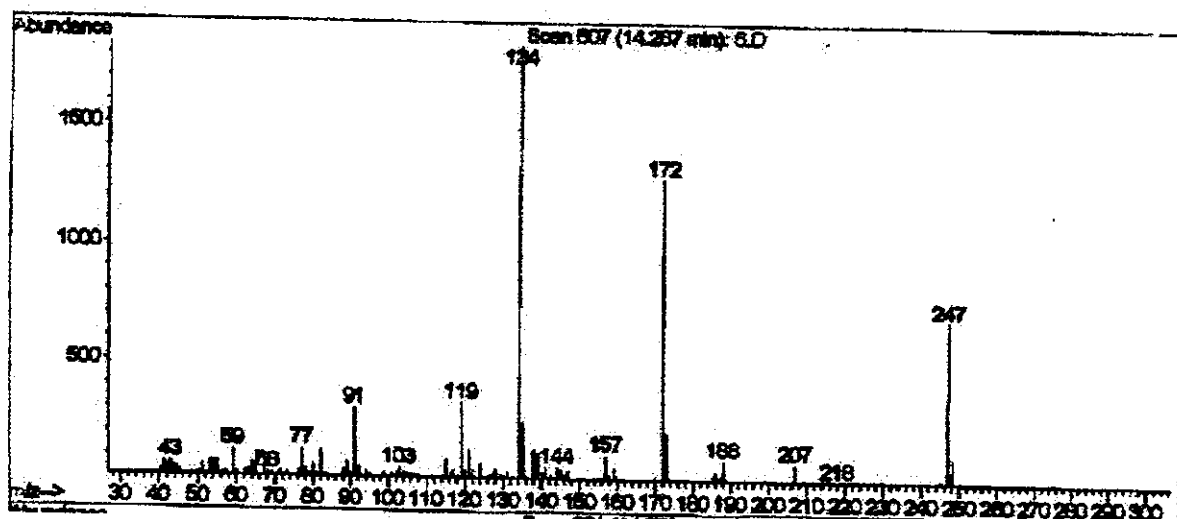
2-(4-metoxifenil)-3,6 diidropirano 51.



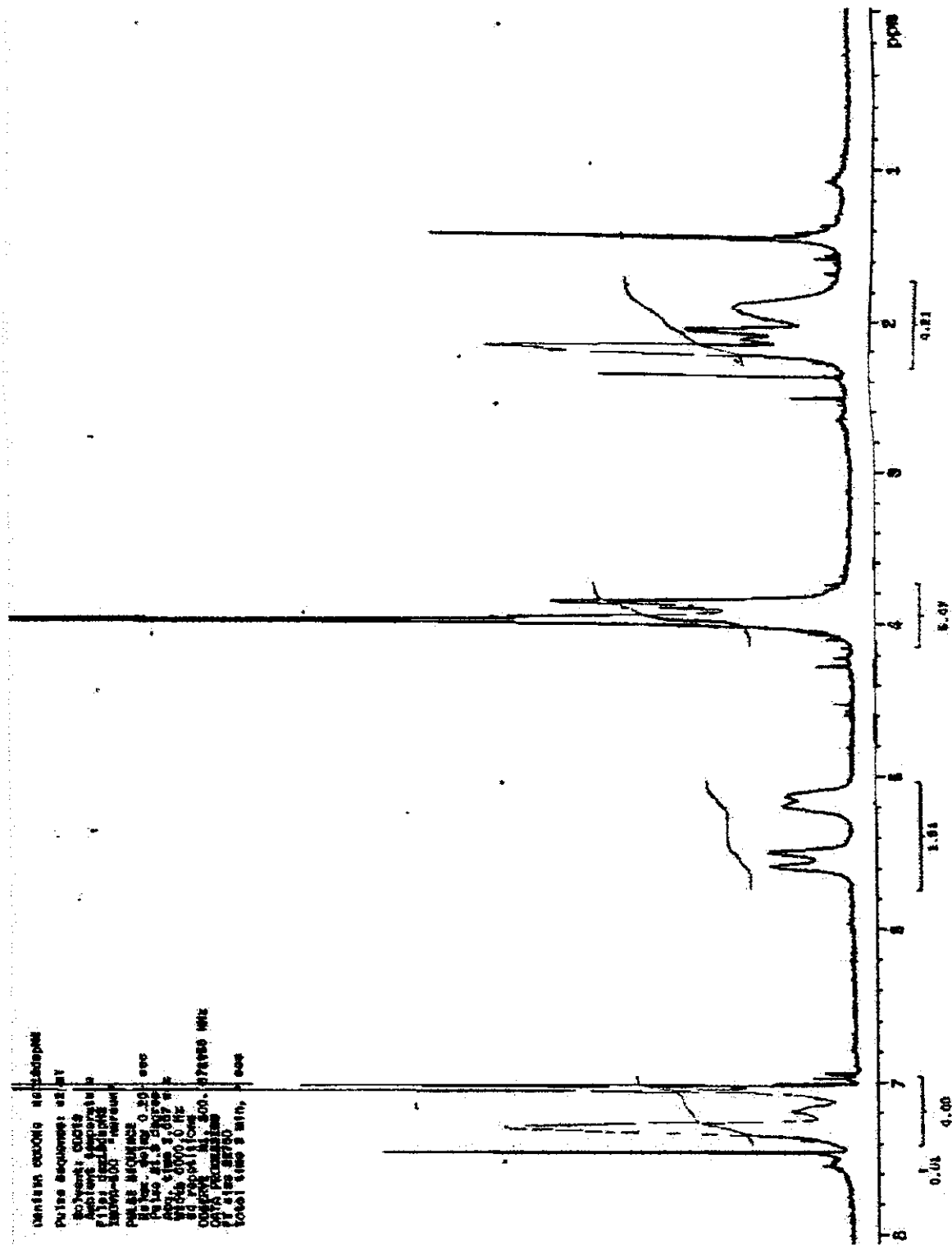
I.V. (filme cm⁻¹) 3030, 2931, 1614, 1516, 1248, 1174, 1090, 1036, 827. **RMN H¹(CCl₄, δ, ppm, 500 MHz, ta)** 7,12+6,70 (4H, 2dd, J=2 e 7); 5,80 (1H, m); 5,70 (1H, d, J=10); 4,36+4,34 (1H, d, J=4); 4,21 (2H, m), 3,7 (3H, s); 2,20 (2H, m). **RMN C¹³(CCl₄, δ, ppm, 125 MHz, ta)** 33,1 (CH₂); 54,4 (CH₃); 65,8 (CH₂); 74,6 (CH); 113,2 (2CH); 124,3 (CH), 126,4 (CH); 126,5 (2CH); 134,7 (C); 158,5 (C). **E.M. principais sinais** 190 (M⁺), 136 (95%); 135 (100%); 77(20%). **Espectrometria de Massa de Alta Resolução** Calculado: 190,09938; Obtido: 190,09905.



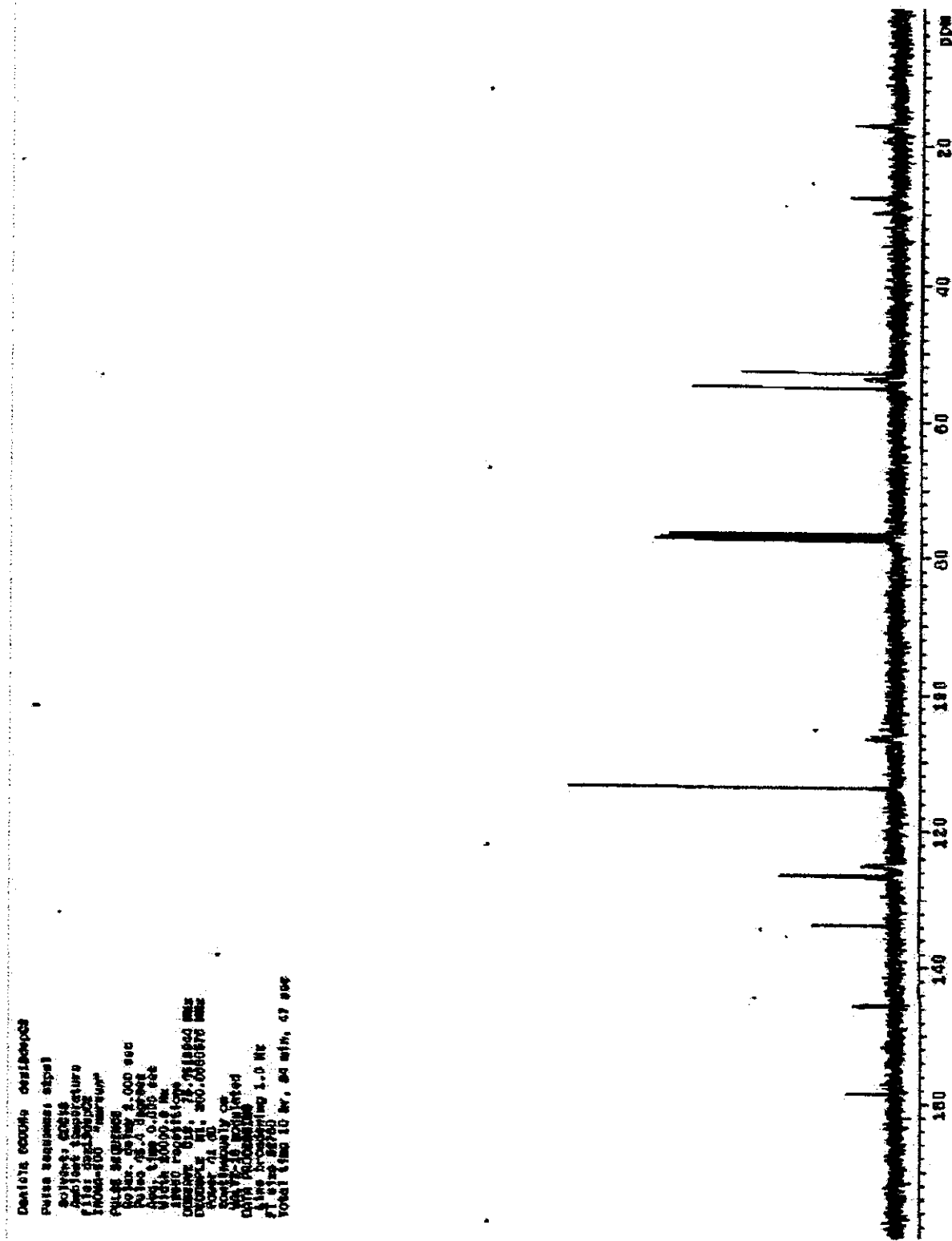
Espectro de infravermelho de 47b.



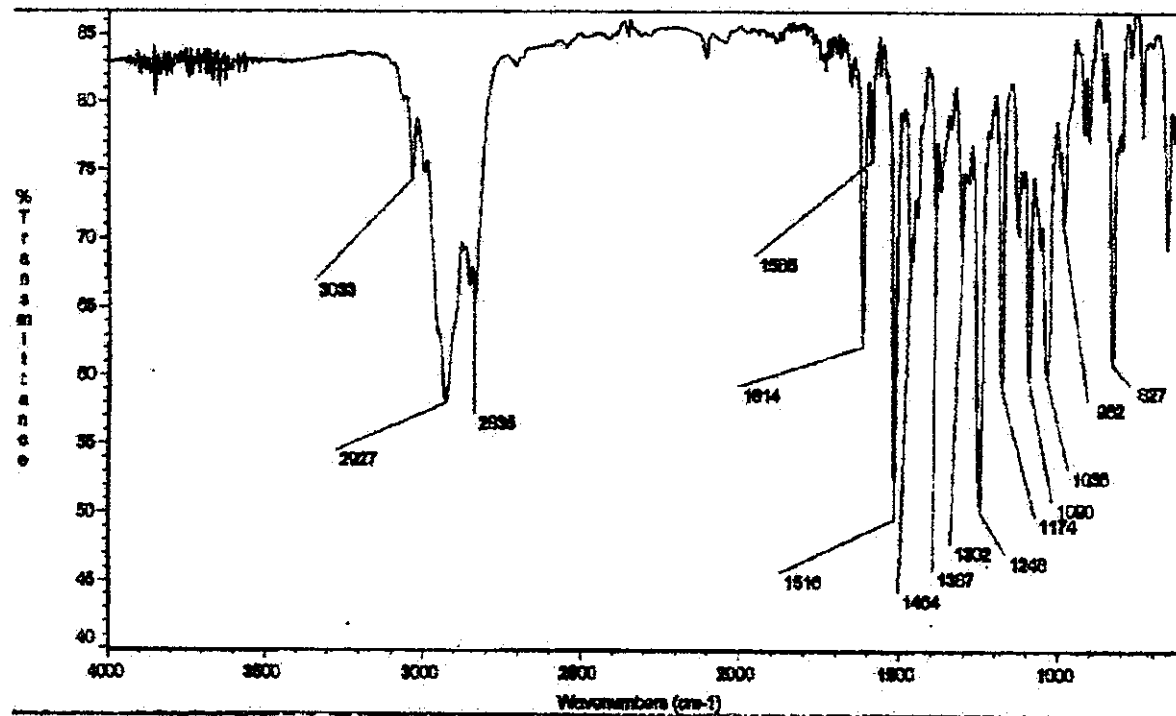
Espectro de massa de 47b.



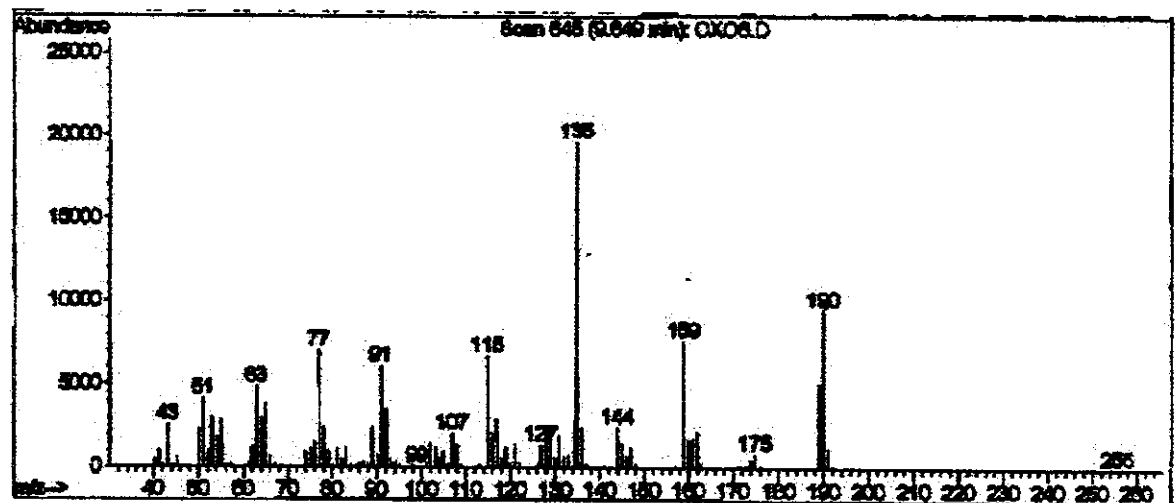
Espectro de RMN H¹(300MHz) em CCl₄ de **47b**.



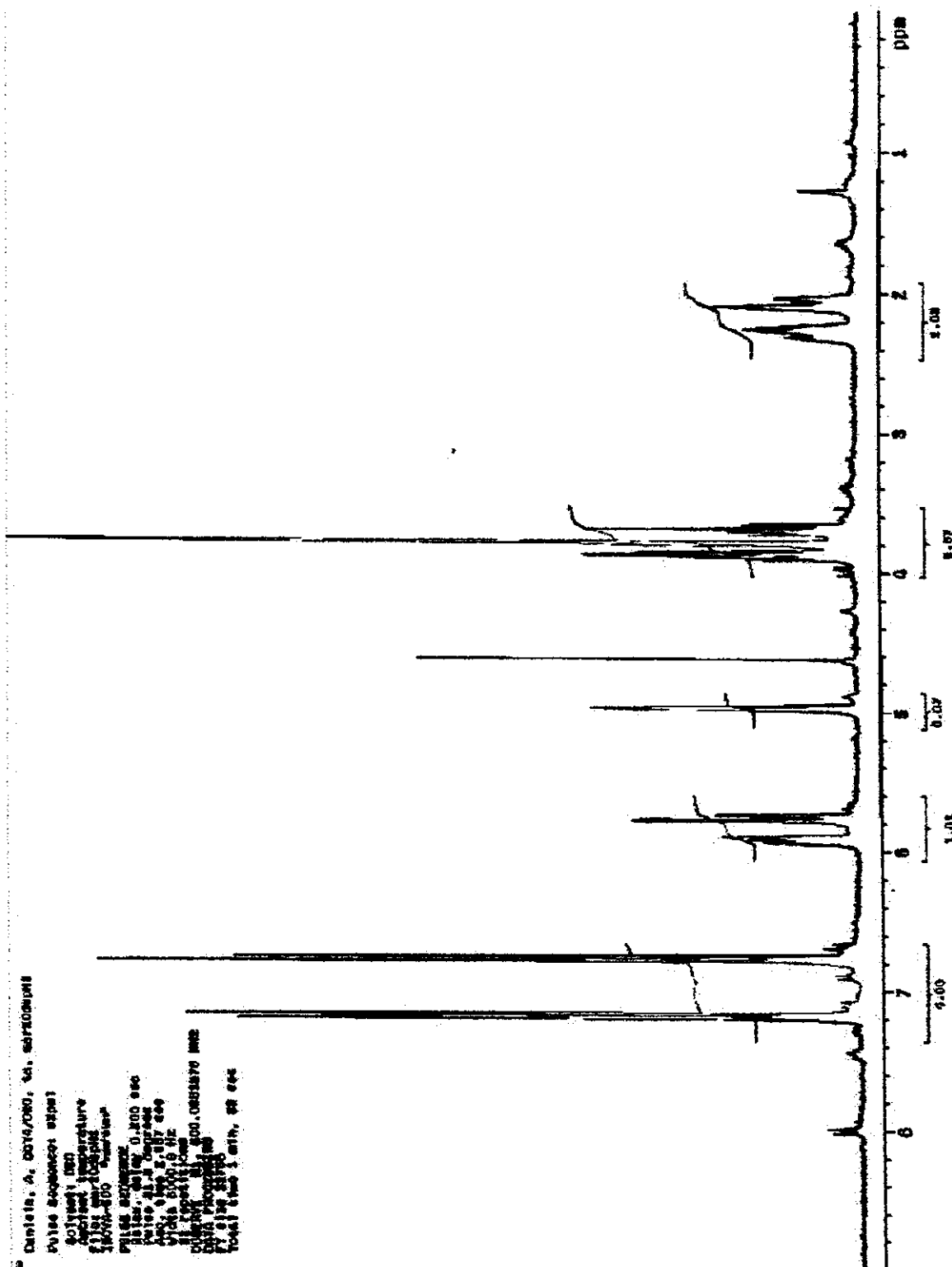
Espectro de RMN C¹³ (125MHz) em CDCl_3 de **47b**.



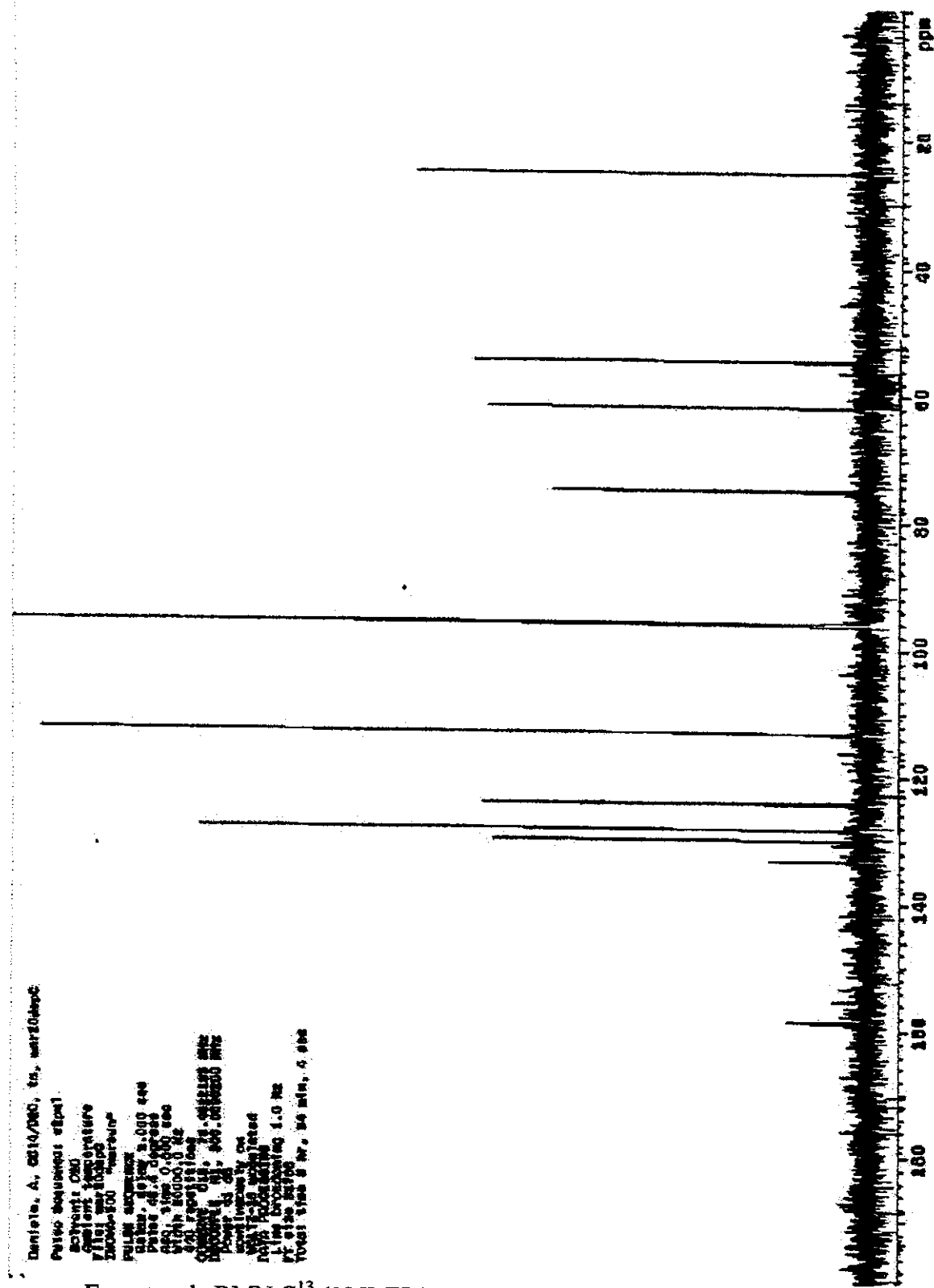
Espectro de infravermelho de 50.



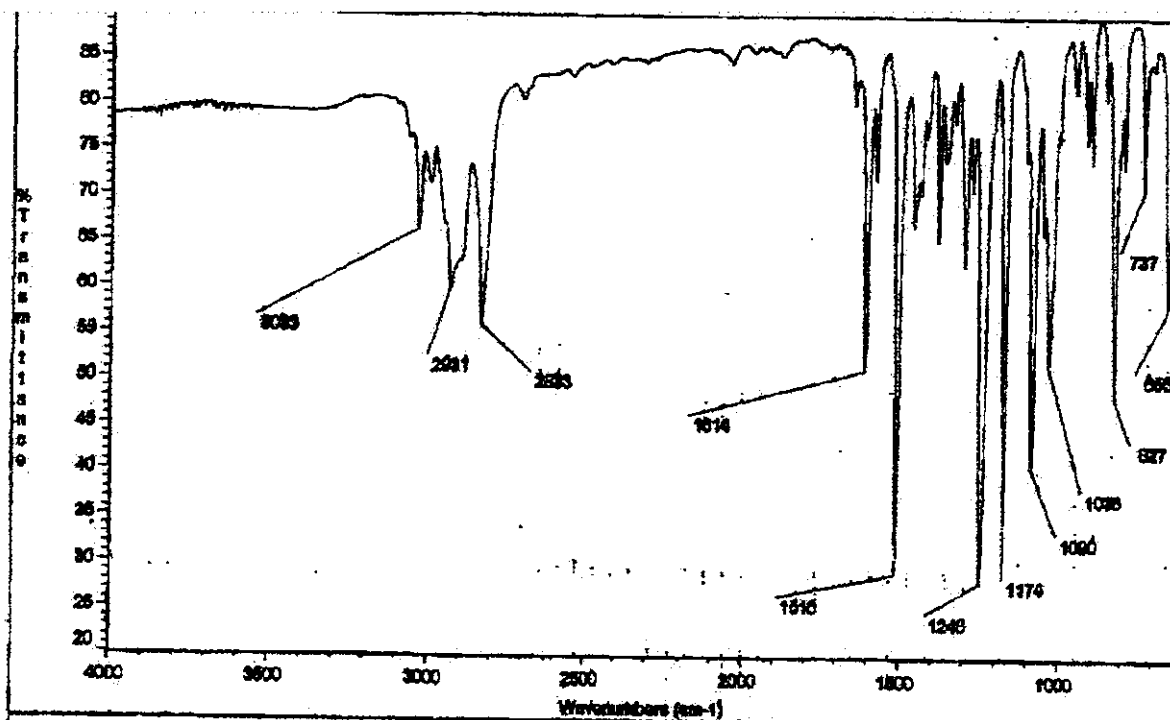
Espectro de massa de 50.



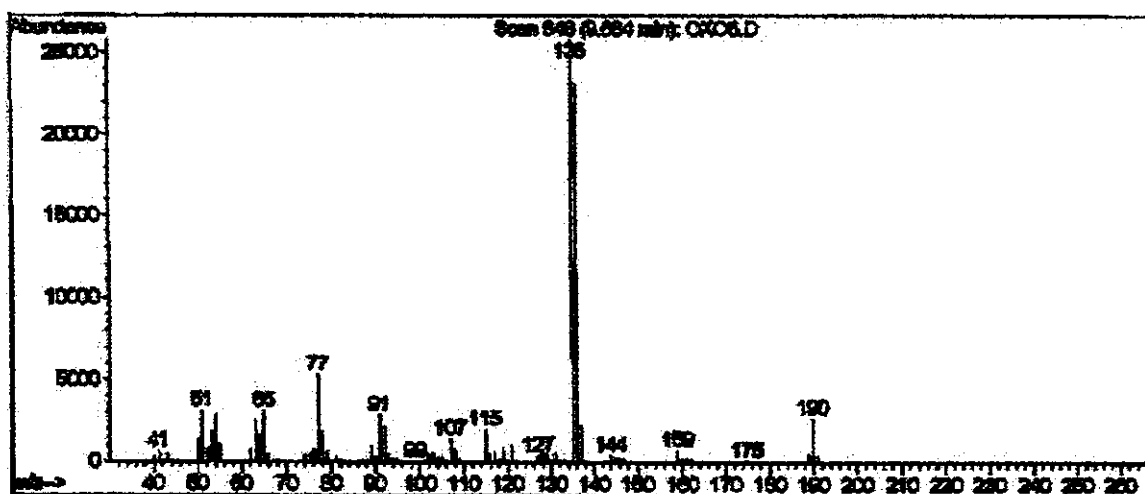
Espectro de RMN H¹(500MHz) em CCl₄ de **50**.



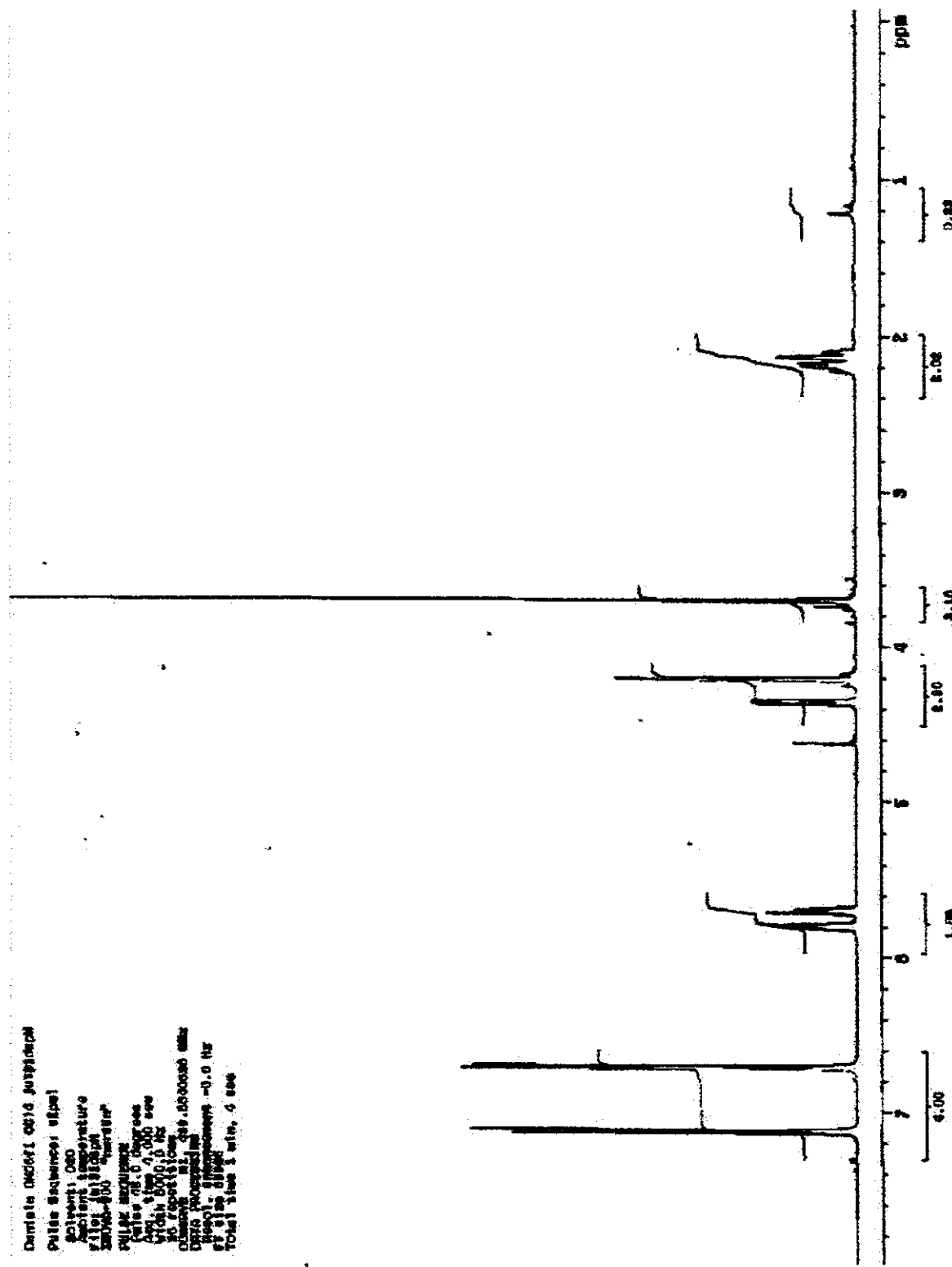
Espectro de RMN C¹³ (125MHz) em CDCl₃ de 50.



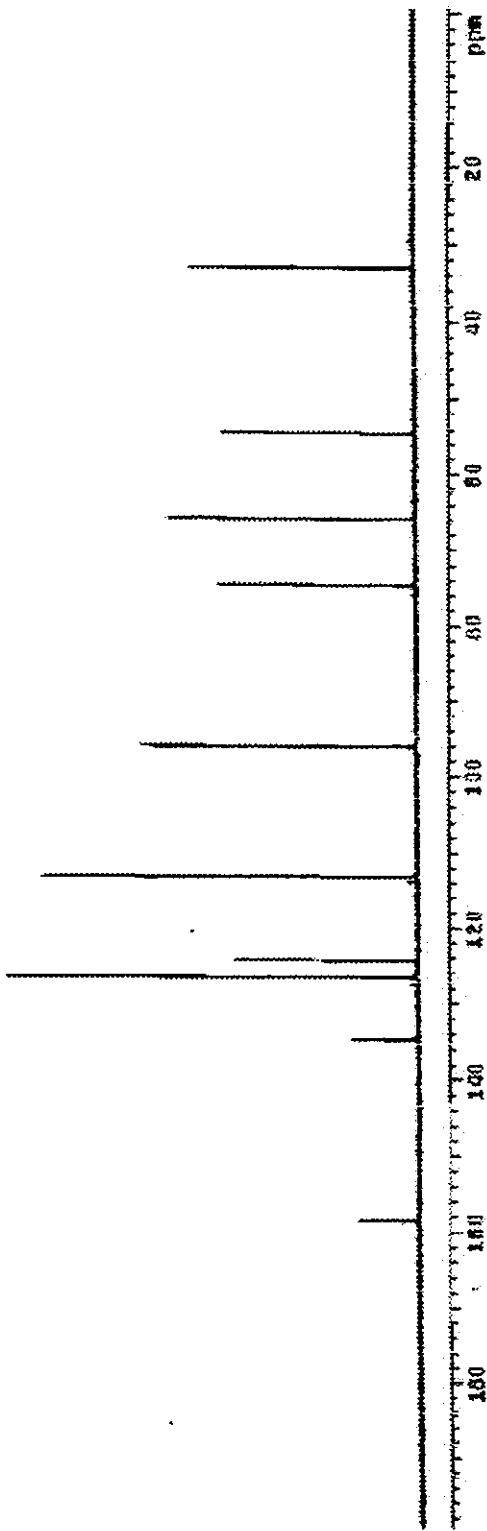
Espectro de infravermelho de 51.



Espectro de massa de 51.

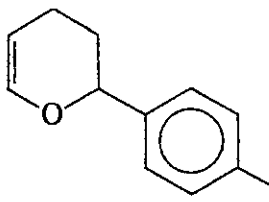


Espectro de RMN H¹(500MHz) em CCl₄ de **51**.



Espectro de RMN C¹³ (125MHz) em CCl₄ de **51**.

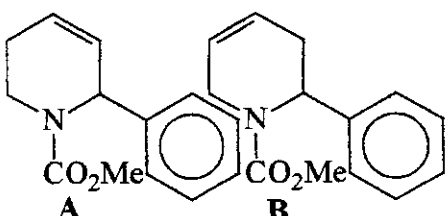
2-(4-metoxifenil)-3,4 diidropirano 52.



I.V. (filme cm⁻¹) 3059, 2924, 2846, 1651, 1614, 1516, 1464, 1304, 1240, 1176, 1057, 1036, 827. **RMN H¹(CCl₄, δ, ppm, 500 MHz, ta)** 7,20 (1H, d, *J*=8); 6,80 (1H, d, *J*=8); 6,40 (1H, d, *J*=5); 4,70 (1H, m); 3,85 (1H, m); 3,80 (3H, s); 2,10 (2H, m); 1,95 (2H, m). **RMN C¹³(CCl₄, δ, ppm, 125 MHz, ta)** 20,5 (CH₂), 30,5 (CH₂); 54,5 (CH₃); 76,2 (CH); 99,5 (CH), 113,3 (2CH); 126,6 (2CH), 133,8 (C); 144,3 (CH); 158,6 (C). **E.M. principais sinais** 190 (M⁺), 134 (100%), 119 (90%), 91 (85%). **Espectrometria de Massa de Alta Resolução** Calculado : 189,09155; Obtido: 189,09291.

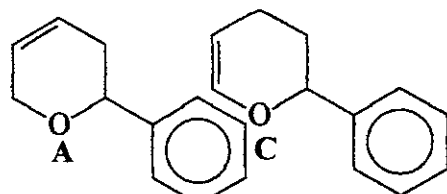
N-(metoxicarbonil)-6-fenil-1, 2, 3, 6-tetraidropiridina 53⁴⁶.

N-(metoxicarbonil)-2-fenil-1, 2, 3, 6-tetraidropiridina 54⁴⁶.

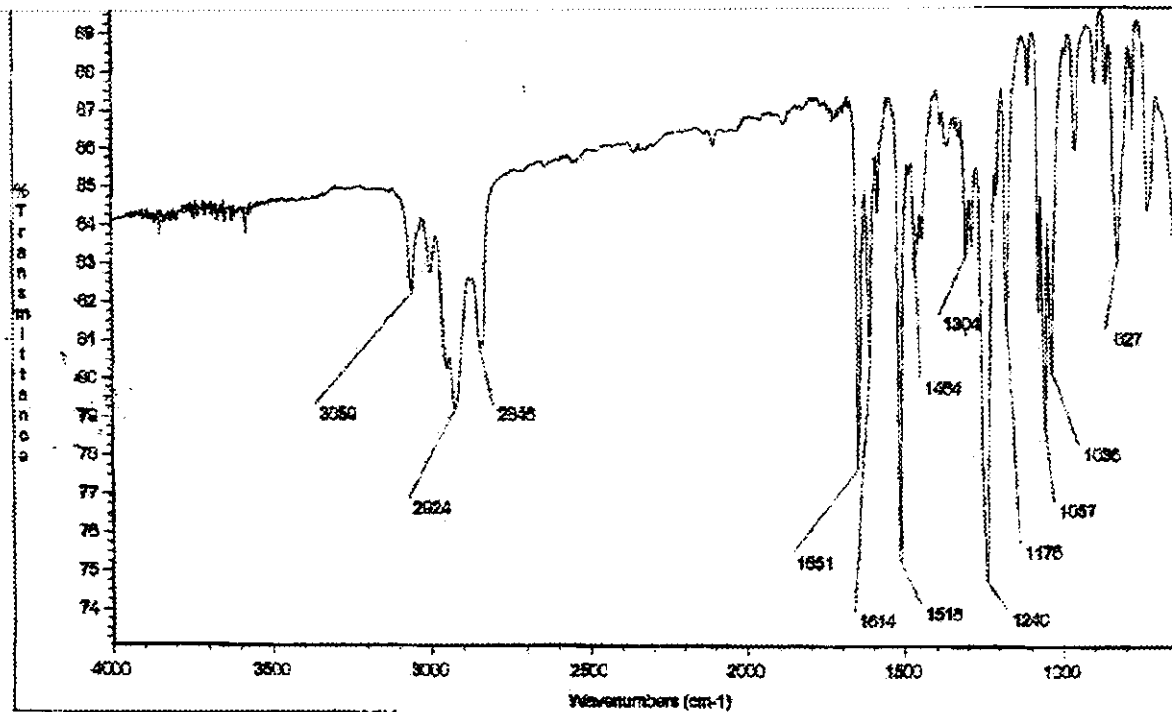


I.V. (filme cm⁻¹) 3059, 3032, 2954, 1360, 2341, 1701, 1651, 1620, 1446, 1408, 1338, 1311, 1257, 1111, 1057. **RMN H¹(CDCl₃, δ, ppm, 300 MHz, ta)** 7,45-7,15 (5H,m); 6,10 (1H,m); 5,90 (1H,M); 5,40-5,70 (1H,m); 4,40-3,95 (1H,m); 3,80-3,60 (3H, 2s); 2,95 (1H, td, *J*=4); 2,80-1,95 (2H,m). **E.M. principais sinais** Produto A: 217 (M⁺); 202 (50%); 185 (55%); 158 (60%); 140 (70%); 118 (60%); 104 (65%); 91 (65%); 77 (50%). Produto B: 217 (M⁺); 202 (90%); 185 (50%); 158 (60%); 140 (100%); 128 (70%); 115 (50%); 91 (40%); 77 (30%). **Espectrometria de Massa de Alta Resolução** Calculado : 217,11028; Obtido: 217,11036.

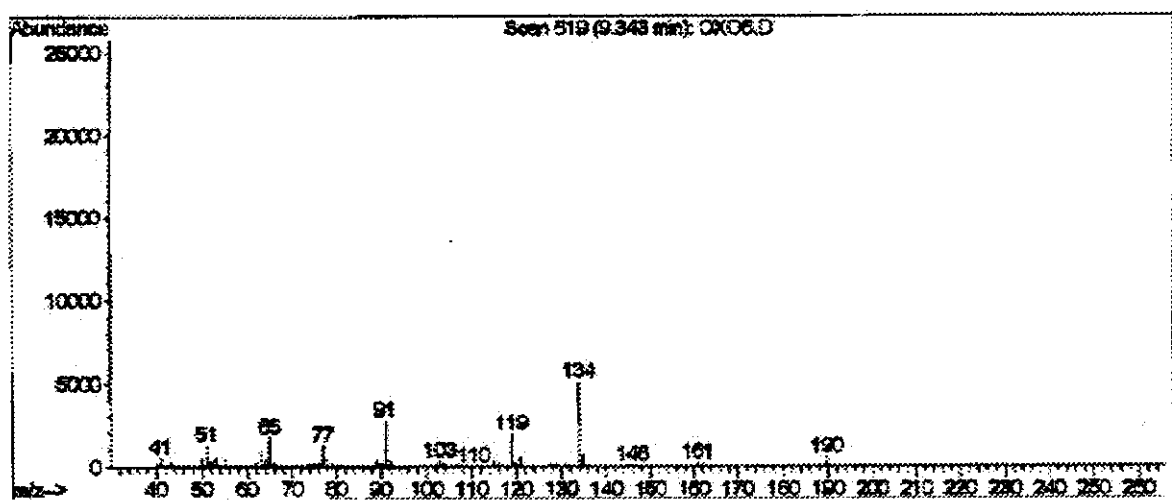
2-Fenil-3,6-diidropirano 55⁵⁴ e 2-Fenil-3,4-diidropirano 57⁵⁴.



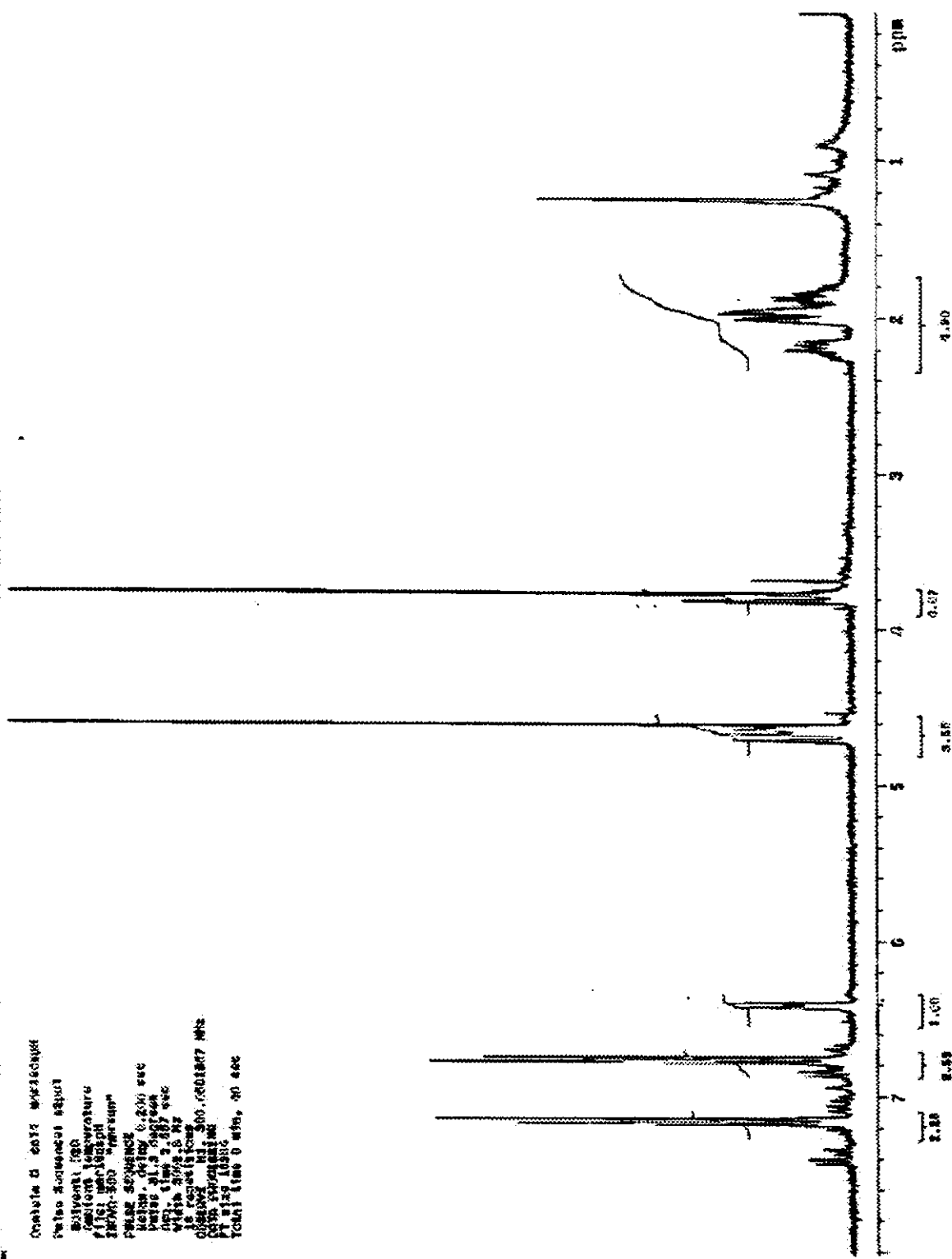
I.V. (filme cm⁻¹) 3032, 2921, 2854, 1649, 1620, 1494, 1450, 1367, 1259, 1181, 1080, 1059, 908. **E.M. principais sinais** Produto A: 160 (M⁺); 129 (22%); 114 (20%); 115 (20%). 105 (100%); 91 (16%); 77 (50%); 51 (40%). Produto C: 160 (M⁺); 131 (15%); 104 (100%); 91 (15%); 78 (16%). **Massa de Alta Resolução** Calculado : 160,08882; Obtido: 160,08845.



Espectro de infravermelho de 52.

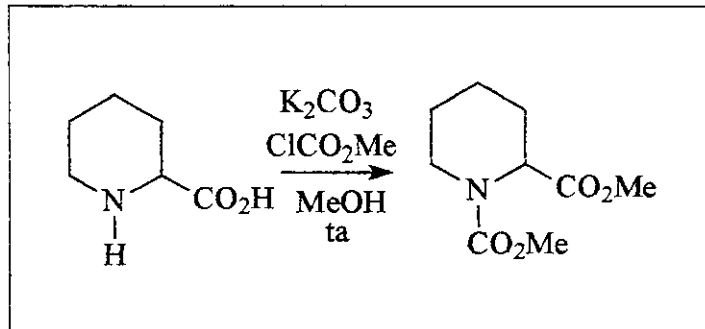


Espectro de massa de 52.



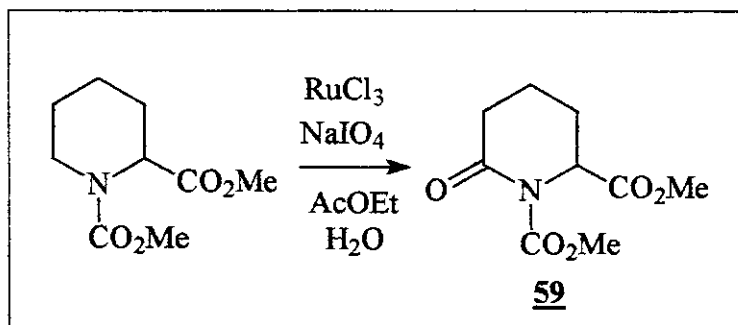
Espectro de RMN H¹(500MHz) em CCl₄ de **52**.

Síntese do N-(dimetoxicarbonil)-1,2-piperidina 58⁷¹.



Em um balão de 250ml, 4,5g (34 mmol) de ácido pipecólico e 6,3g (38 mmol) de carbonato de potássio, foram dissolvidos em 60 mL de metanol. A mistura reacional foi resfriada a 0°C e 8mL (0,1 mol) de cloroformiato de metila foram adicionados. Após alguns minutos, o banho de gelo foi retirado. A mistura foi agitada a temperatura ambiente por 72 horas. O solvente foi retirado a vácuo. O sólido resultante foi lavado exaustivamente com acetato de etila. O óleo incolor obtido foi utilizado sem purificação na reação seguinte.

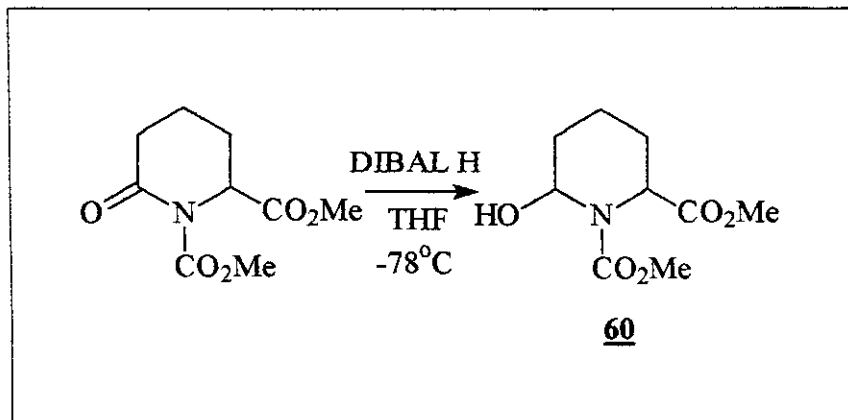
Síntese do N-(dimetoxicarbonil) 1,2-piperidinona 59⁷².



Em um balão de 500mL, 3,2g (16 mmol) de 58, foram dissolvidos em 54mL de acetato de etila. Em seguida 160ml de solução 20% aquosa de periodato de sódio foram

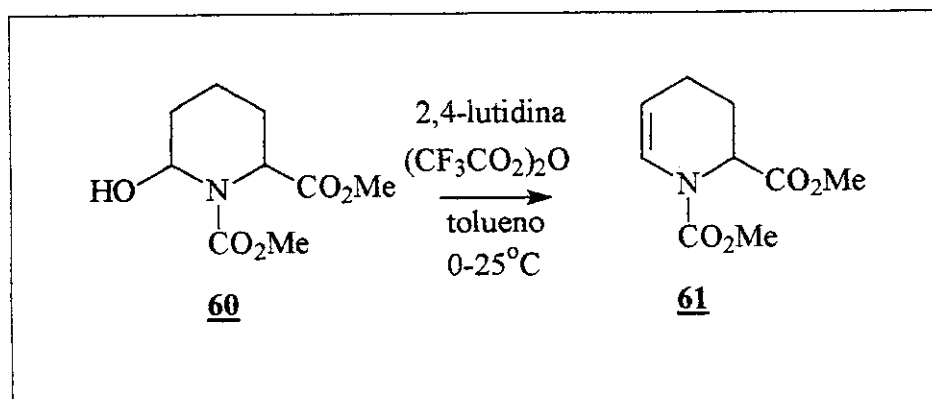
adicionados. Por último, 0,16g (50 mol%) de cloreto de rutênio foi adicionado, deixando o meio reacional escuro. A solução foi agitada por 72 horas. A fase orgânica foi extraída com (3X 50ml) de acetato de etila. Em seguida, a fase orgânica, ainda escura, foi filtrada em celite, tornando-se incolor. O óleo obtido após a remoção do solvente, foi diretamente submetido a reação seguinte.

Síntese do N-(dimetoxicarbonil)-1,2-piperidinol 60⁴³.



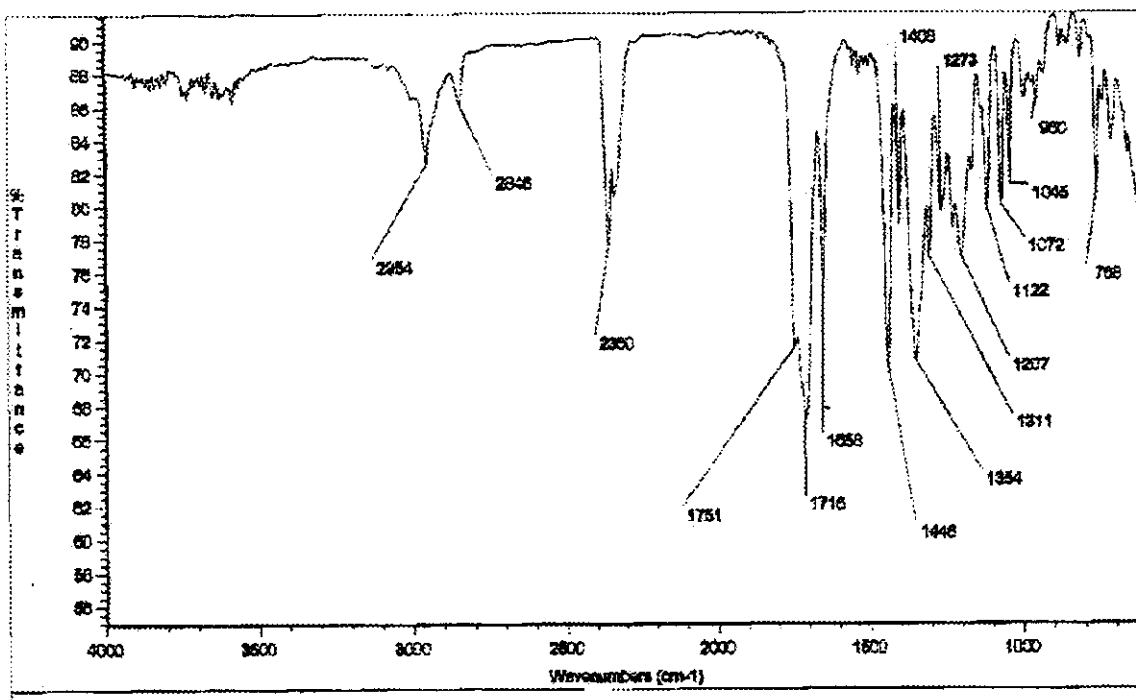
Em um balão de 100mL, 3,7g (17 mmol) da lactama **59** foram diluídas em 60mL (0,3M) de tetraidrofurano. O meio reacional foi resfriado a -78°C, e em seguida 22mL (23 mmol) de DIBAL-H 1,2M em tolueno, foram adicionados. A reação foi acompanhada por cromatografia de camada fina (CCF), e após aproximadamente 2 hora foram adicionados 30 mL de solução saturada de cloreto de amônio. Quando o meio reacional atingiu a temperatura ambiente, foram adicionados 30mL de diclorometano. Ocorreu a formação de um gel, que foi filtrado em celite e lavado com diclorometano. O solvente foi retirado a vácuo e o produto foi diretamente submetido à próxima reação.

Síntese do N,2-(dimetoxicarbonil)-1,2,3,4-tetraidropiridina 61⁴¹.

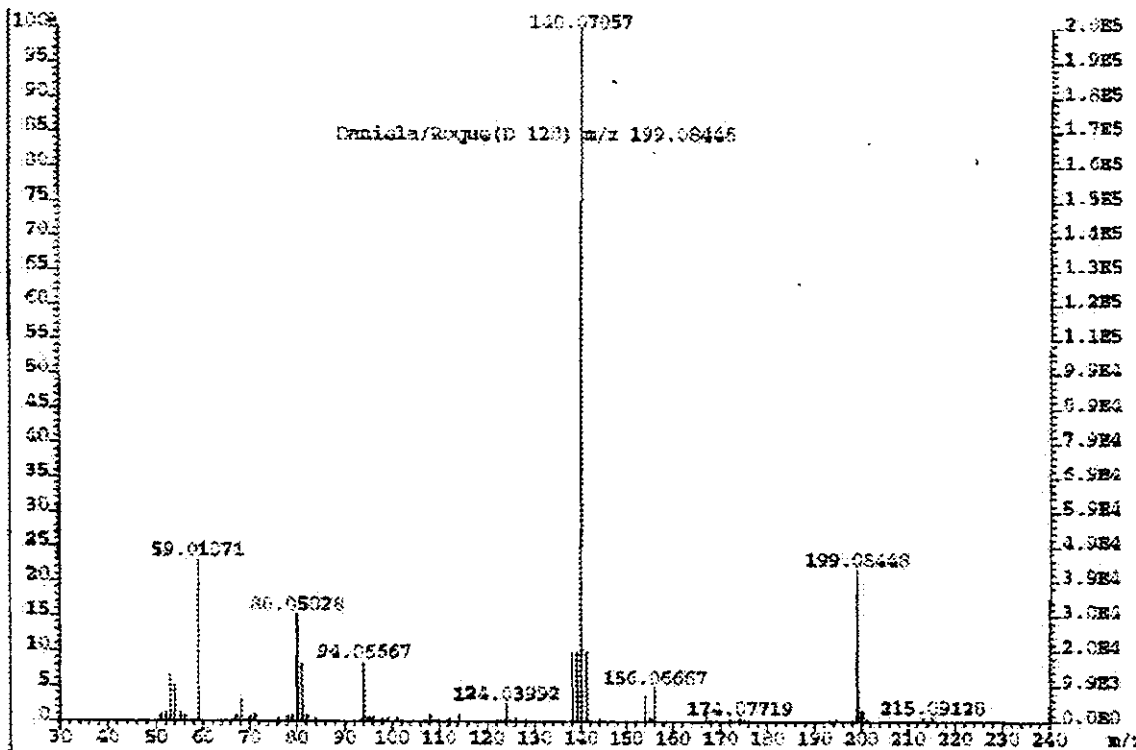


Em um balão de 100mL, 1,1g (5 mmol) do lactamol 60, foi dissolvido em 10 mL (0,5M) de tolueno. Esta solução foi resfriada a 0°C e, em seguida, 3mL (26mmol) de 2,4 – lutidina foram adicionados. Alguns segundos depois, 1mL (6 mmol) de anidrido trifluoracético foi adicionado. Deixou-se o meio reacional atingir a temperatura ambiente, e foi mantido sob agitação por uma noite. Em seguida o meio foi aquecido a refluxo. Após 30 minutos, o meio foi resfriado a temperatura ambiente e foram adicionados 10mL de solução saturada de bicarbonato de sódio. O meio reacional foi particionado em funil de separação e a fase orgânica foi então destilada à vácuo. O óleo obtido, foi submetido à cromatografia *flash* com acetato de etila 15% em hexano, (revelado em ácido fosfomolibdico). Após remoção dos eluentes, foi obtido 0,8g (35% de rendimento global) de um óleo incolor, que foi caracterizado como produto 61.

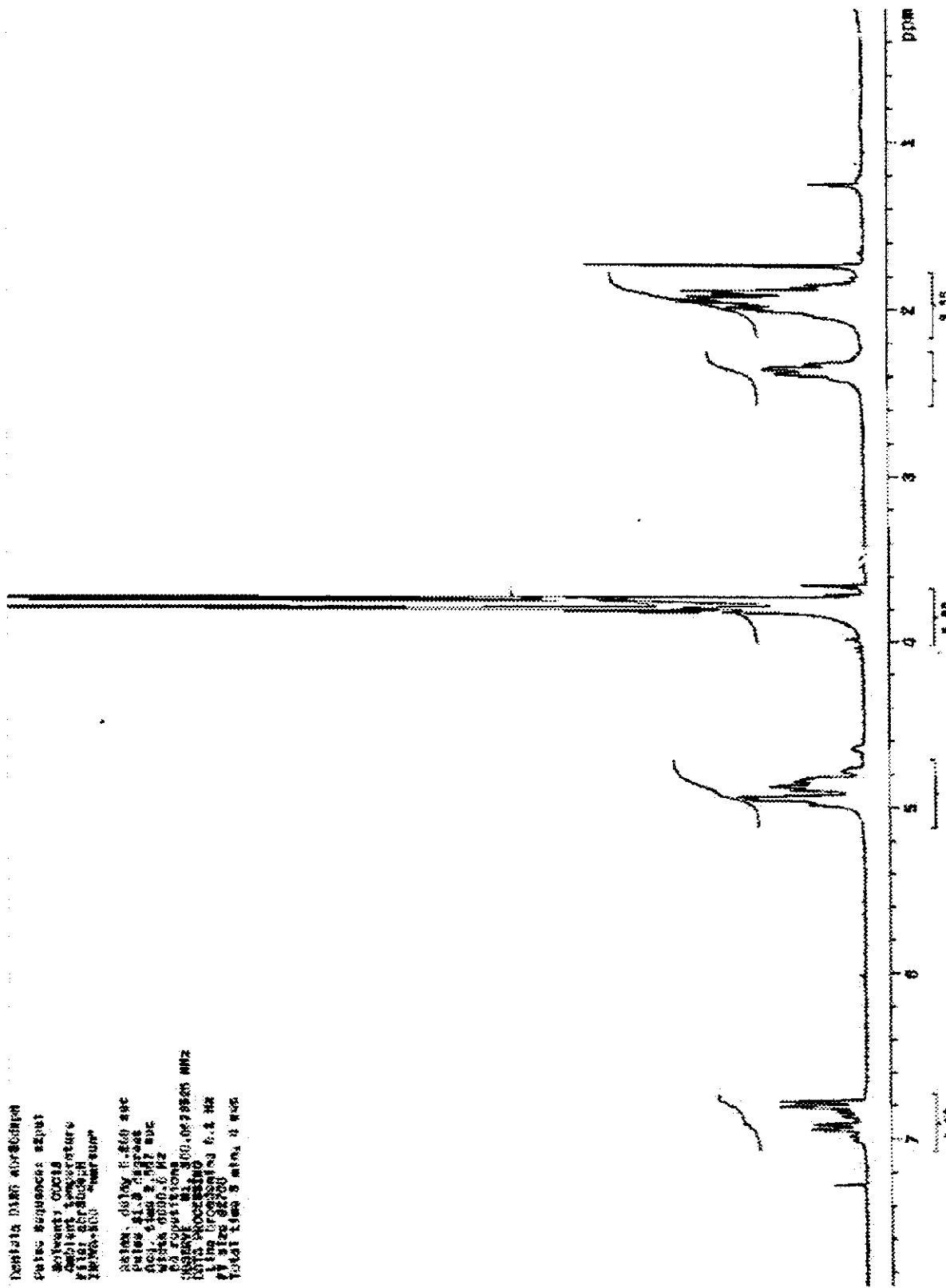
Dados espectrais: **L.V. (filme cm⁻¹)** 2954, 2846, 1751, 1716, 1658, 1446, 1354, 1311, 1207, 1122, 1072, 1045, 960. **RMN H¹(CDCl₃, δ, ppm, 300 MHz, ta)** 6,90 (1H, 2dd, *J*=9 e 4); 4,90 (2H, m); 3,7 (6H, m); 2,40 (1H, m); 2,00 (3H, m). **RMN C¹³(CDCl₃, δ, ppm, 125 MHz, ta)** 18,3 (CH₂); 23,3 (CH₂); 52,3 (CH₃); 53,1 (CH₃); 53,5 (CH); 53,9 (CH); 105,1 (CH); 124,0 (CH); 153,8 (C); 171,2 (C). **E.M. principais sinais** 199 (M⁺); 140 (100%); 94 (10%); 80 (15%); 59 (25%). **Espectrometria de Massa de Alta Resolução Calculado:** 199,08446; **Obtido:** 199,08448.



Espectro de infravermelho de 61.



Espectro de massa de 61.



Espectro de RMN H¹(300MHz) em CDCl₃ de **61**.

Chem3D Pro 3.0-125 MHz

Pulse Sequence: T1spin

Segments: GTC10

Acquisition time: 10.000 sec

Integration time: 0.000 sec

First scan delay: 0.000 sec

TE/NA-Echo: 1000/1000 sec

Recon.: 0.000 sec

Phase: 0.000 sec

Decay time: 1.000 sec

Width: 1.000 sec

Q13: 128.000000000 sec

Q14: 128.000000000 sec

Q15: 128.000000000 sec

Q16: 128.000000000 sec

Q17: 128.000000000 sec

Q18: 128.000000000 sec

Q19: 128.000000000 sec

Q20: 128.000000000 sec

Q21: 128.000000000 sec

Q22: 128.000000000 sec

Q23: 128.000000000 sec

Q24: 128.000000000 sec

Q25: 128.000000000 sec

Q26: 128.000000000 sec

Q27: 128.000000000 sec

Q28: 128.000000000 sec

Q29: 128.000000000 sec

Q30: 128.000000000 sec

Q31: 128.000000000 sec

Q32: 128.000000000 sec

Q33: 128.000000000 sec

Q34: 128.000000000 sec

Q35: 128.000000000 sec

Q36: 128.000000000 sec

Q37: 128.000000000 sec

Q38: 128.000000000 sec

Q39: 128.000000000 sec

Q40: 128.000000000 sec

Q41: 128.000000000 sec

Q42: 128.000000000 sec

Q43: 128.000000000 sec

Q44: 128.000000000 sec

Q45: 128.000000000 sec

Q46: 128.000000000 sec

Q47: 128.000000000 sec

Q48: 128.000000000 sec

Q49: 128.000000000 sec

Q50: 128.000000000 sec

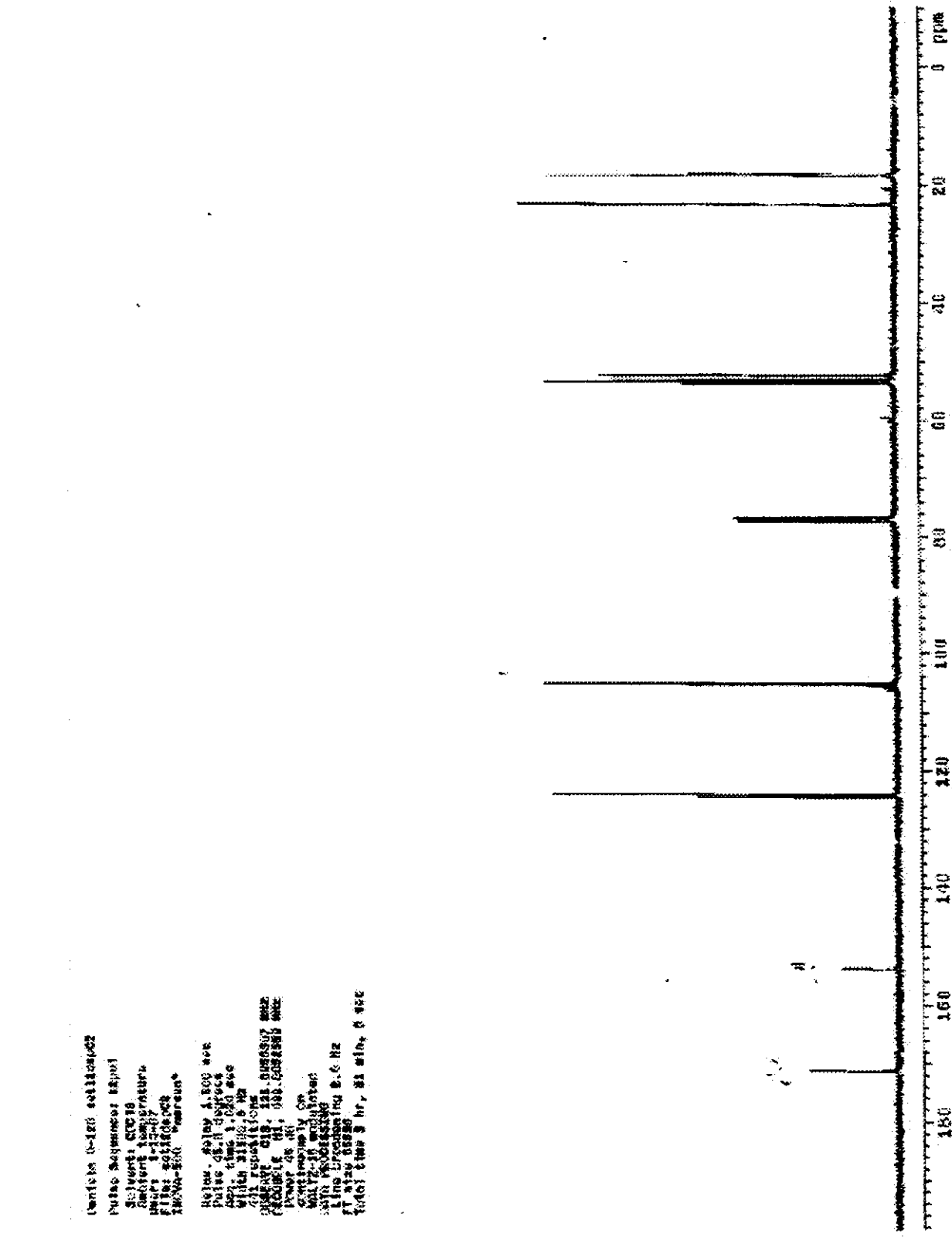
Q51: 128.000000000 sec

Q52: 128.000000000 sec

Q53: 128.000000000 sec

Q54: 128.000000000 sec

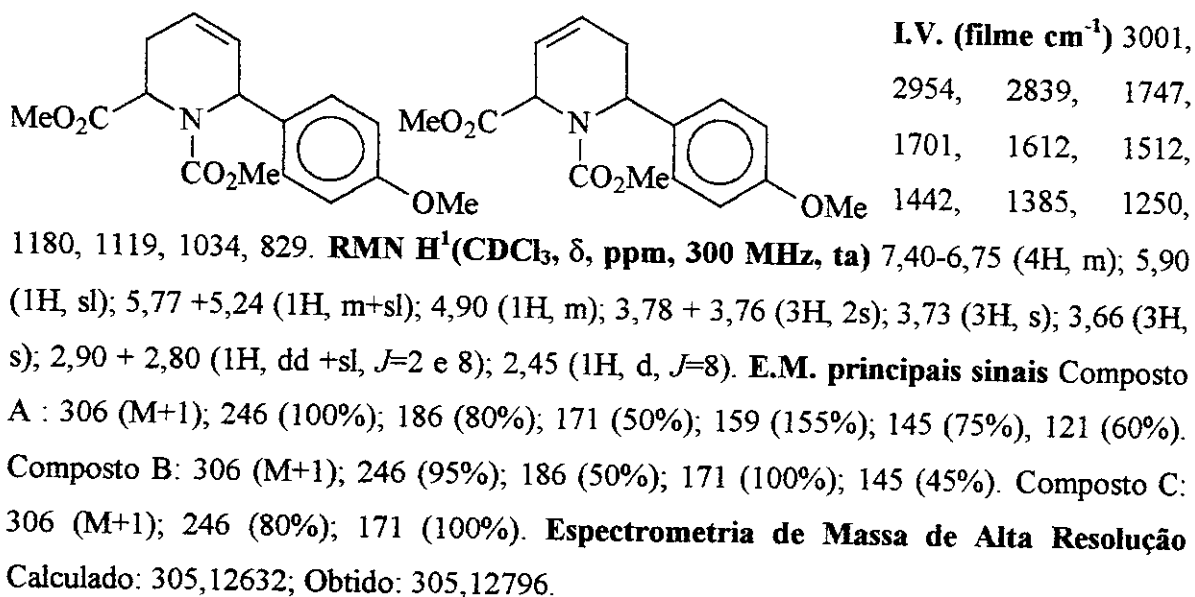
Q55: 128.000000000 sec



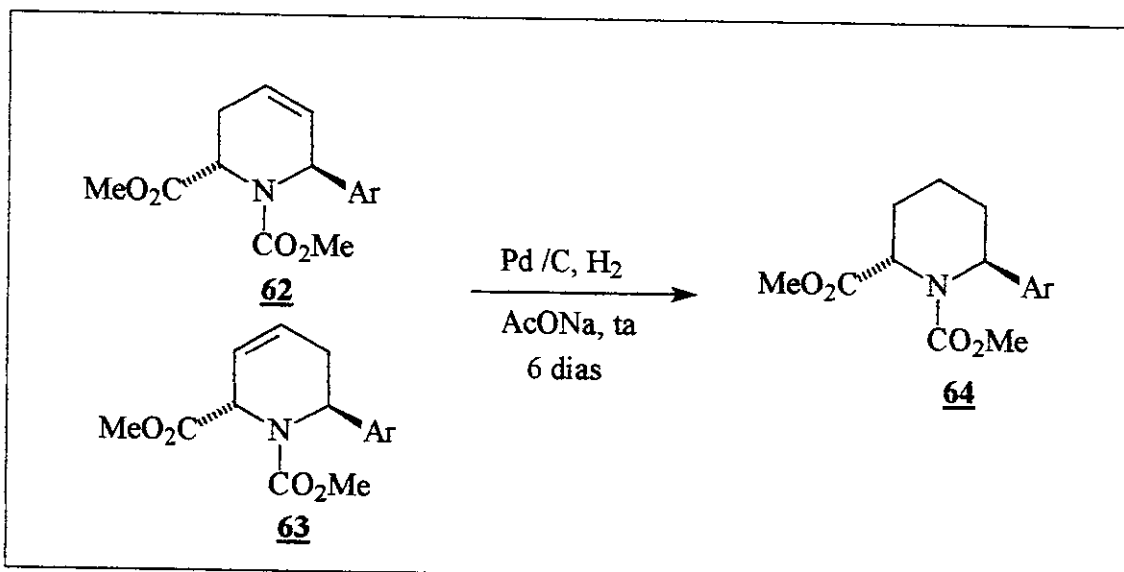
Espectro de RMN C¹³ (125MHz) em CDCl₃ de **61**.

N-2-(dimetoxicarbonil)-6-(4-metoxifenil)-1, 2, 3, 6-tetraidropiridino 62.

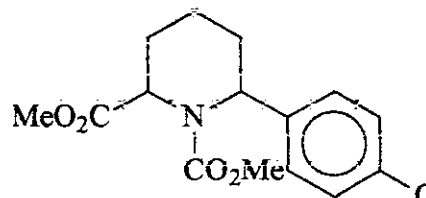
N-6-(dimetoxicarbonil)-2-(4-metoxifenil)-1, 2, 3, 6-tetraidropiridino 63.



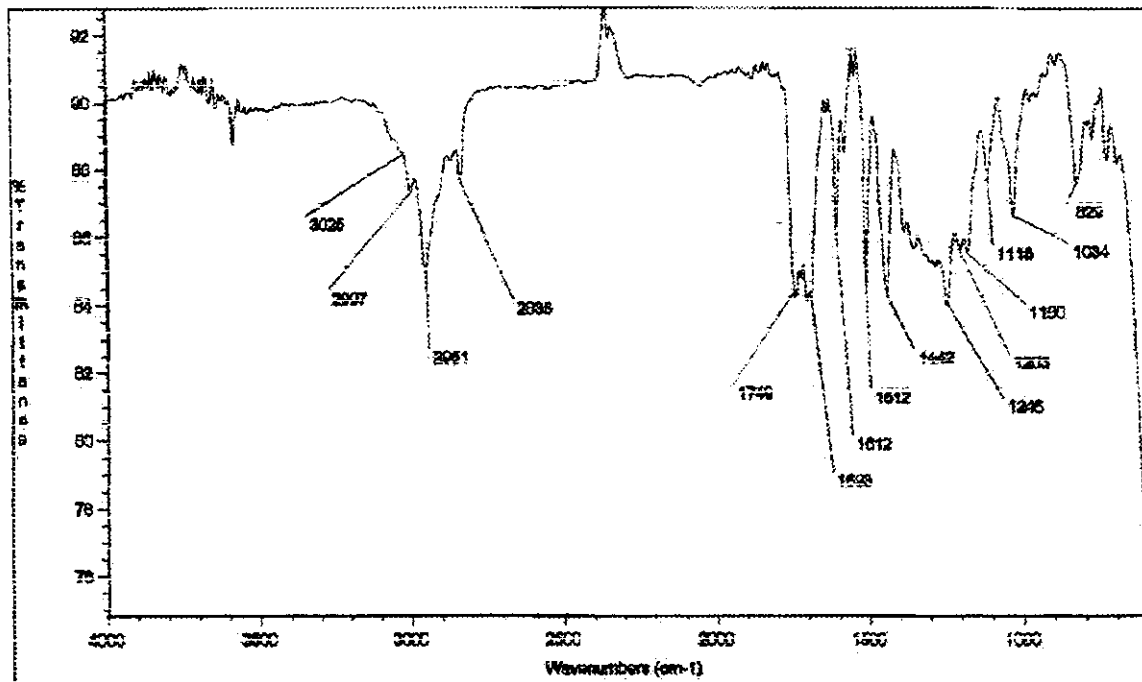
N-2-(dimetoxicarbonil)-6-(4-metoxifenil)-1,2-piperidina 64.



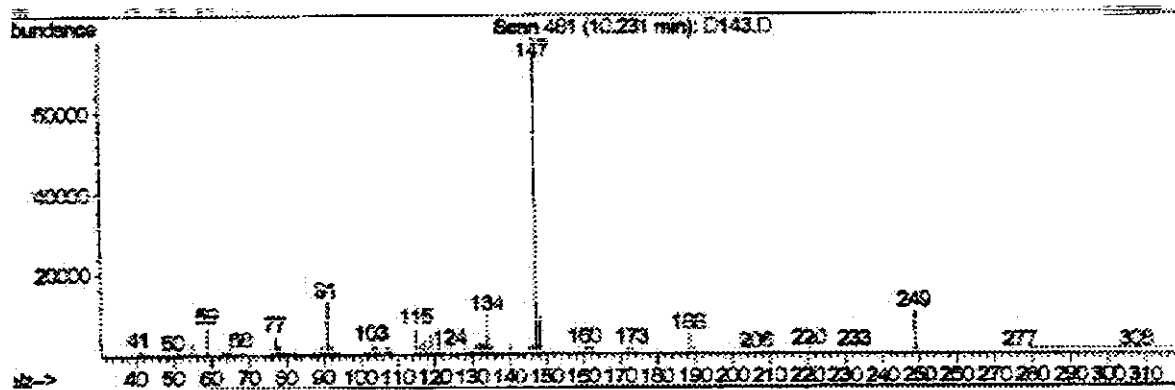
Em um balão de 25mL, 70 mg (0,22 mmol) da olefina foram dissolvidas em 3mL (0,1M) de acetato de etila. Em seguida 30 mol% de Pd/C foram adicionados a solução. A atmosfera do balão foi trocada por hidrogênio e a reação foi agitada com uma bexiga de hidrogênio até o total consumo da olefina. O acompanhamento da reação foi efetuado por cromatografia gasosa. Ao término da reação, a suspensão foi filtrada em silíca gel (~2 cm de altura), e lavada com 25mL de acetato de etila. O óleo obtido após a remoção do solvente, foi submetido à cromatografia flash em silíca gel com acetato de etila 25% em hexano (revelado em *p*-anisaldeído). Após a remoção do eluente, foram obtidos 63mg (90% de rendimento) de um óleo incolor.



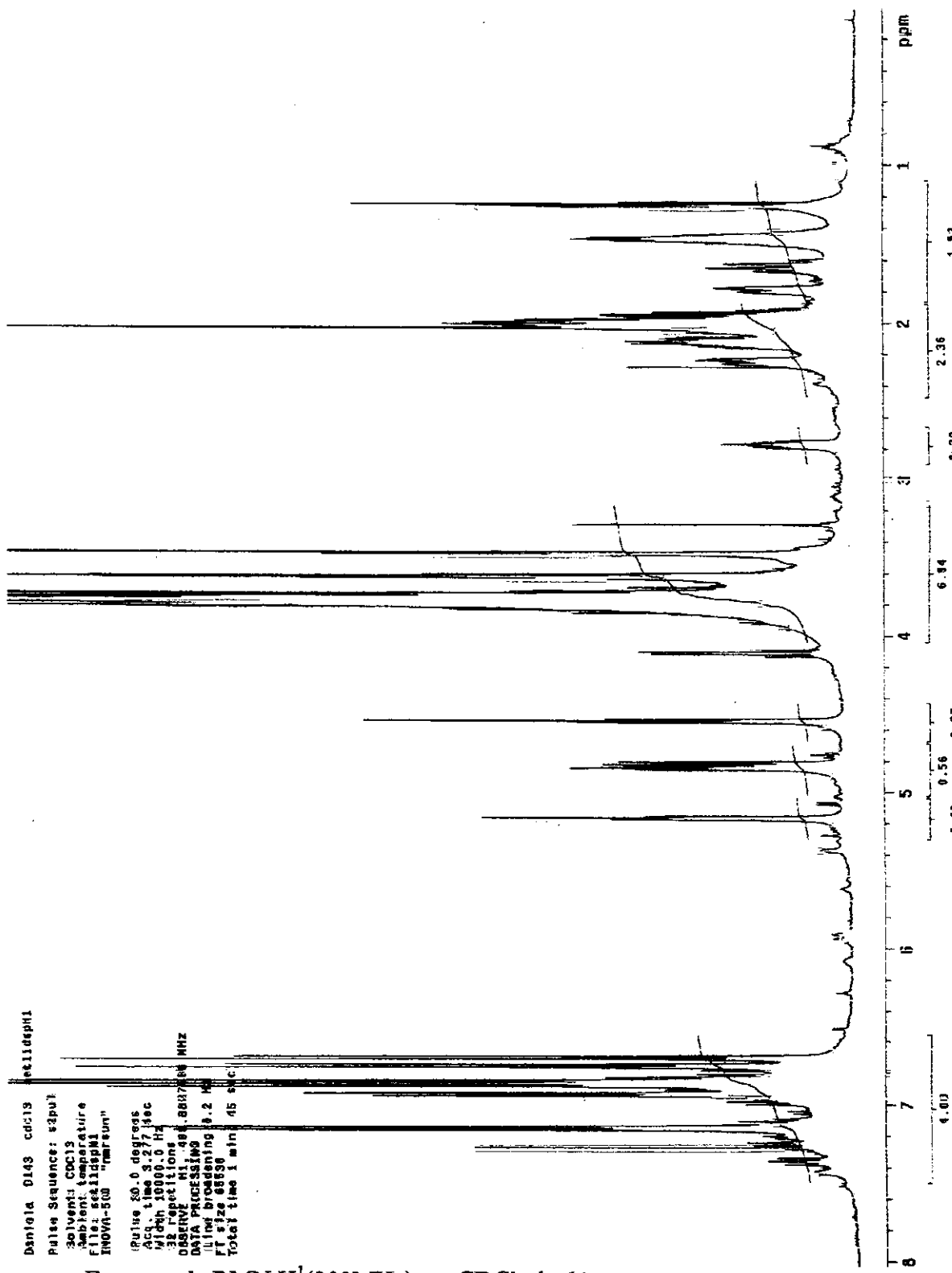
I.V. (filme cm⁻¹) 3025, 2997, 2951, 2835, 1749, 1673, 1612, 1512, 1442, 1246, 1203, 1180, 1115, 1034, 829. **RMN H¹(CDCl₃, δ, ppm, 300 MHz, ta)** 7,30-6,60 (4H, m); 5,20 (1H, t, *J*=4); 4,88-4,80 + 4,55 (1H, m + t, *J*=5); 3,81 + 3,80 (3H, 2s); 3,79 + 3,77 (3H, 2s); 3,65 + 3,50 (3H, 2s); 2,40-1,40 (6H, m). **RMN C¹³(CDCl₃, δ, ppm, 125 MHz, ta)** 15,3 (CH₂); 24,5 (CH₂); 28,0 (CH₂); 52,1 (CH₃); 54,9 (CH₃); 55,0 (CH₃); 56,8 (CH); 62,7 (CH); 113,4 (CH); 113,7 (CH); 126,5 (CH); 126,8 (CH); 135,6 (C); 137,0 (C); 158,0 (C); 173,5 (C). **E.M. principais sinais** 308 (M⁺); 249 (10%); 147 (100%). **Espectrometria de Massa de Alta Resolução** Calculado: 307, 14197; Obtido: 307, 14102.



Espectro de infravermelho de 64.



Espectro de massa de 64.



Espectro de RMN H¹(300MHz) em CDCl₃ de **64**.

Daniela Góes Onofre - daniela@uol.com.br

Putar o nome do usuário

PUTAR o nome da senha

PolyMn - CC013

Setor: 1. Técnico

User: 1. danielag

Senha: 1234567890

Salvo: 01/05/2008 09:07

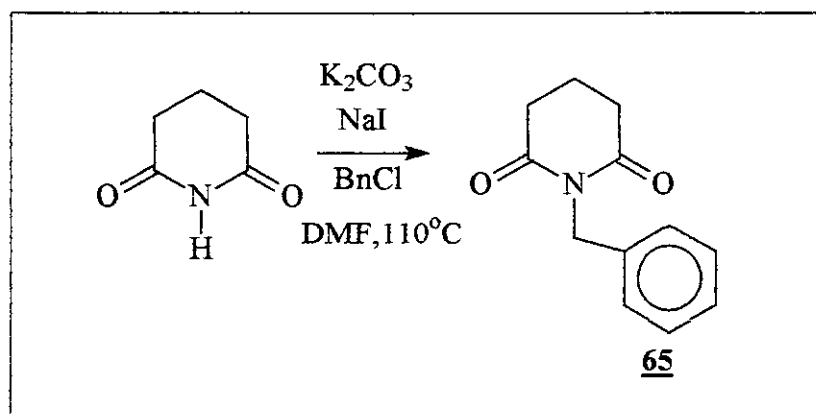
Salvo em: 01/05/2008 09:07

Salvo tipo: 01/05/2008 09:07



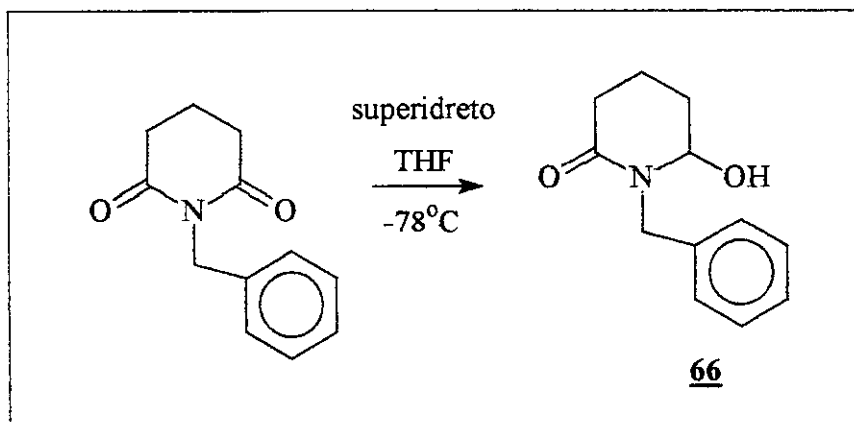
Espectro de RMN C¹³(125MHz) em CDCl₃ de **64**.

Síntese do N-Benzil-2,6-piperidinodiona 65.



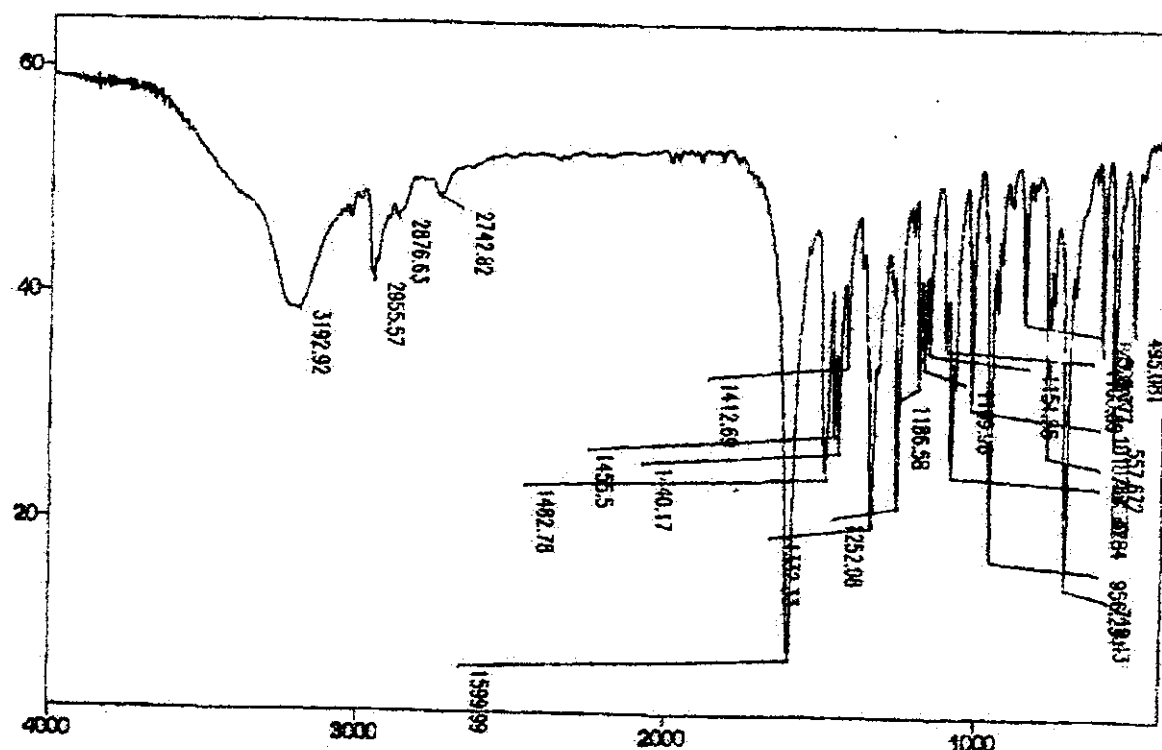
Em um balão de 250 mL, 2g (18 mmol) da glutarimida foram dissolvidas em 88mL (0,2M) de dimetilformamida. Em seguida, foram adicionados 4,8g (35 mmol) de carbonato de potássio, 0,26g (10 mol%) de iodeto de sódio e por último, 3,3mL (28 mmol) de cloreto de benzila. O meio reacional foi aquecido a 110°C. A solução tornou-se rosa. Após aproximadamente 20 horas de agitação a 110°C, a reação foi interrompida e o solvente foi removido a vácuo. O produto foi obtido na forma de um sólido amorfo que foi dissolvido em 30 mL de água e em seguida, extraído com (3 X 30 mL) de acetato de etila. O produto foi submetido, sem purificação, à reação seguinte.

Síntese do N-Benzil-hidróxi-2-piperidinona 66⁴³.

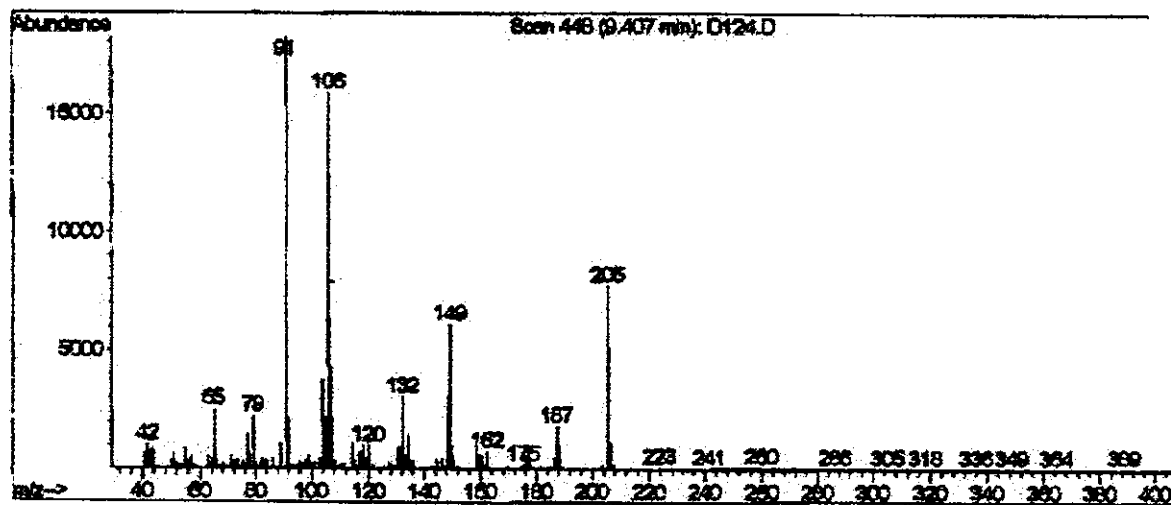


Em um balão de 100 mL, 2,6g (13 mmol) da glutarimida protegida foram dissolvidas em 52mL (0,25M) de tetraidrofurano. A solução foi resfriada a -78°C. Em seguida, 16mL (15 mmol) de superidreto (trietil boroidreto de lítio) 1M em hexano, foram adicionados. Após aproximadamente 1,5 horas, 40 mL de solução saturada de bicarbonato de sódio foram adicionados. Deixou-se o meio atingir a temperatura ambiente. O produto foi extraído com (3 X 40mL) de diclorometano. A fase orgânica foi tratada com sulfato de sódio anidro e o solvente foi removido a vácuo. O óleo obtido, foi submetido à cromatografia *flash* com acetato de etila 60% em hexano, (revelado em ácido fosfomolibídico). Após remoção dos eluentes, foram obtidos 2,5g (70% de rendimento nas duas etapas) de um óleo transparente, que foi caracterizado como produto **66**.

Dados espectrais: **L.V. (pastilha cm⁻¹)** 3192; 2955; 2876; 1599; 1482; 1455; 1440; 1412; 1332; 1252; 1186; 1169; 1018. **RMN H¹CDCl₃, δ, ppm, 300 MHz, ta)** 7,25 (5H, m); 5,13 (1H, d, *J*=15); 4,88 (1H, q, *J*= 4 e 7); 4,23 + 4,05 (1H, 2d, *J*=15 e 7); 2,40 (2H, m); 2,10 (1H, m); 1,80 (3H, m). **RMN C¹³(CDCl₃, δ, ppm, 75 MHz, ta)** 15,8 (CH₂); 30,9 (CH₂); 32,4 (CH₂); 46,8 (CH₂); 78,6 (CH); 127,2 (CH); 127,9 (CH); 128,5 (CH); 137,4 (C); 170, 5 (C). **E.M. principais sinais** 205 (M+); 177 (20%); 149 (40%); 106 (100%); 91 (90%). **Espectrometria de Massa de Alta Resolução** Calculado: 205,11028; Obtido: 205,11283.



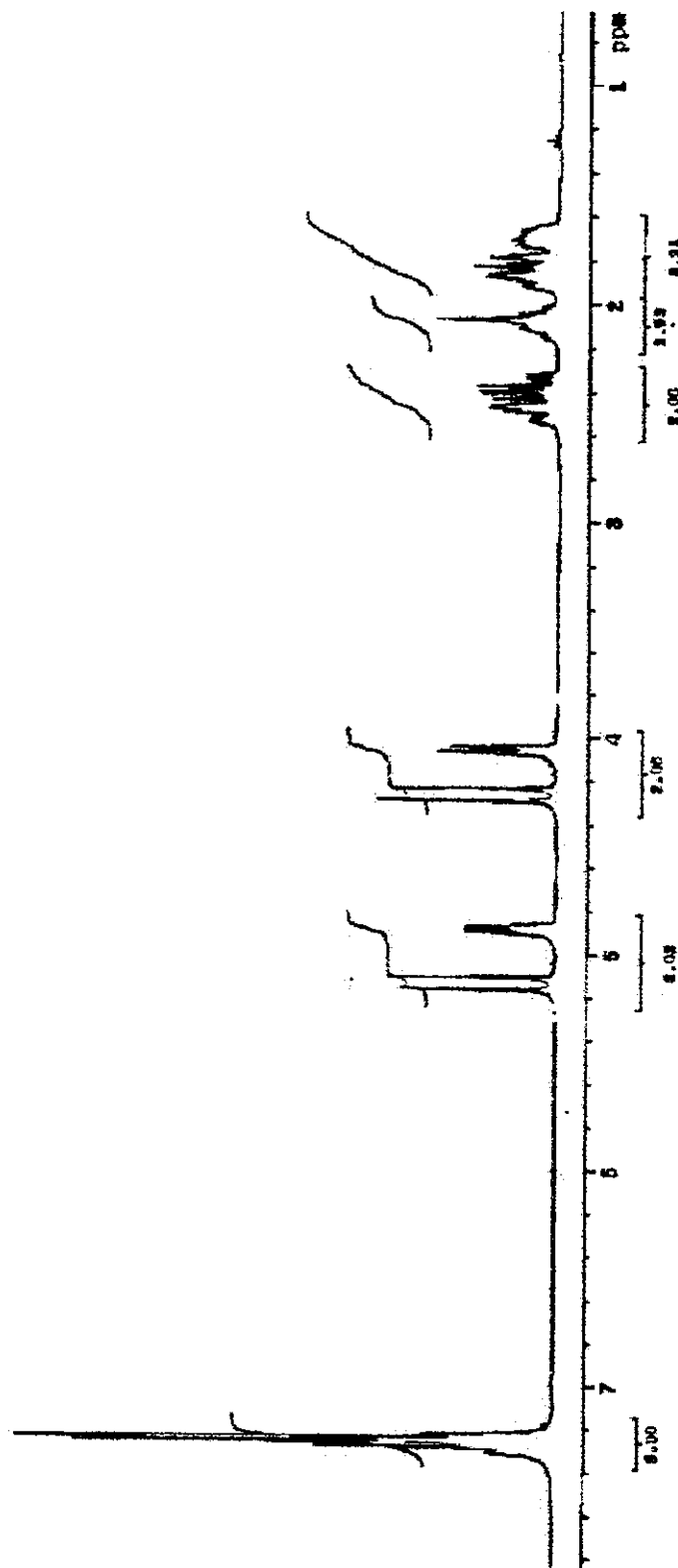
Espectro de infravermelho de 66.



Espectro de massa de 66.

Gaveta Dia 08/04/2011
 Pulse sequence: sh1d1
 Solvent: CDCl₃
 Temp.: 30.0 °C / 293.1 K
 Epsilon: 1.00
 SWFID

Center: 7.265 ppm
 F1 width: 1000 Hz
 F1 points: 4096
 F1 step: 0.250 Hz
 F1 prescan: 100.000000 Hz
 F1 decimation: 0.1 Hz
 F1 size: 2048
 Total time: 8 min, 4 sec



Espectro de RMN H¹(300MHz) em CDCl₃ de 66.

Datascan 3000 spectrometer

Pulse sequence: 45°90°

Spectrum (CDCl₃)

Time: 30.0 s

Filter: 100 Hz

Scans: 2000

Chemical shift: 0.0 Hz

Integration time: 4 s

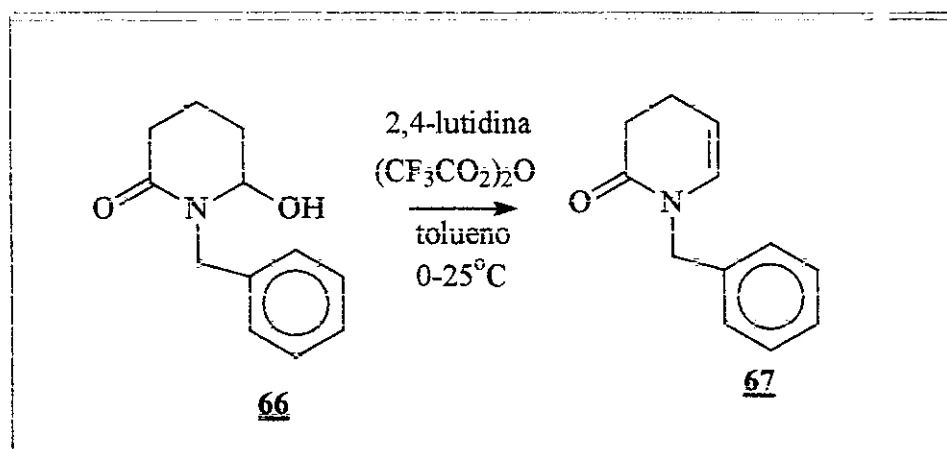
Print time: 3 s

Print time: 4 sec



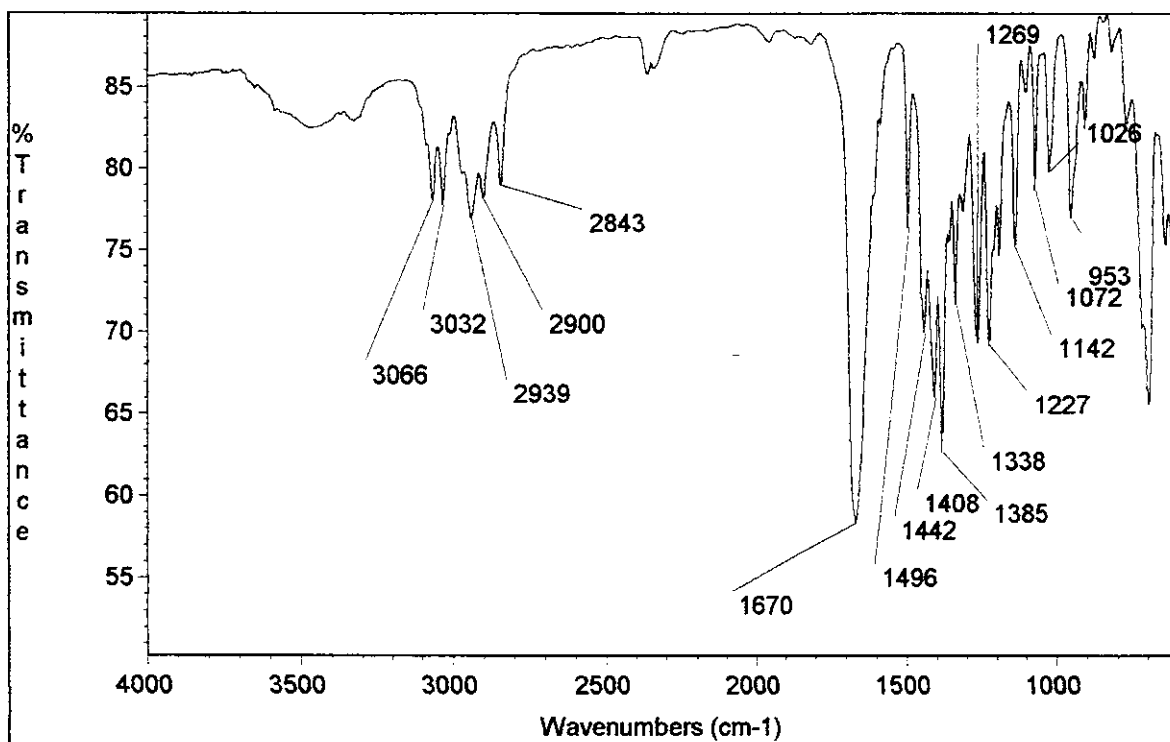
Espectro de RMN C¹³ (75MHz) em CDCl₃ de **66**.

Síntese do N-Benzil-1, 2, 3, 4-tetraidro-2-piridinona 67⁴¹.

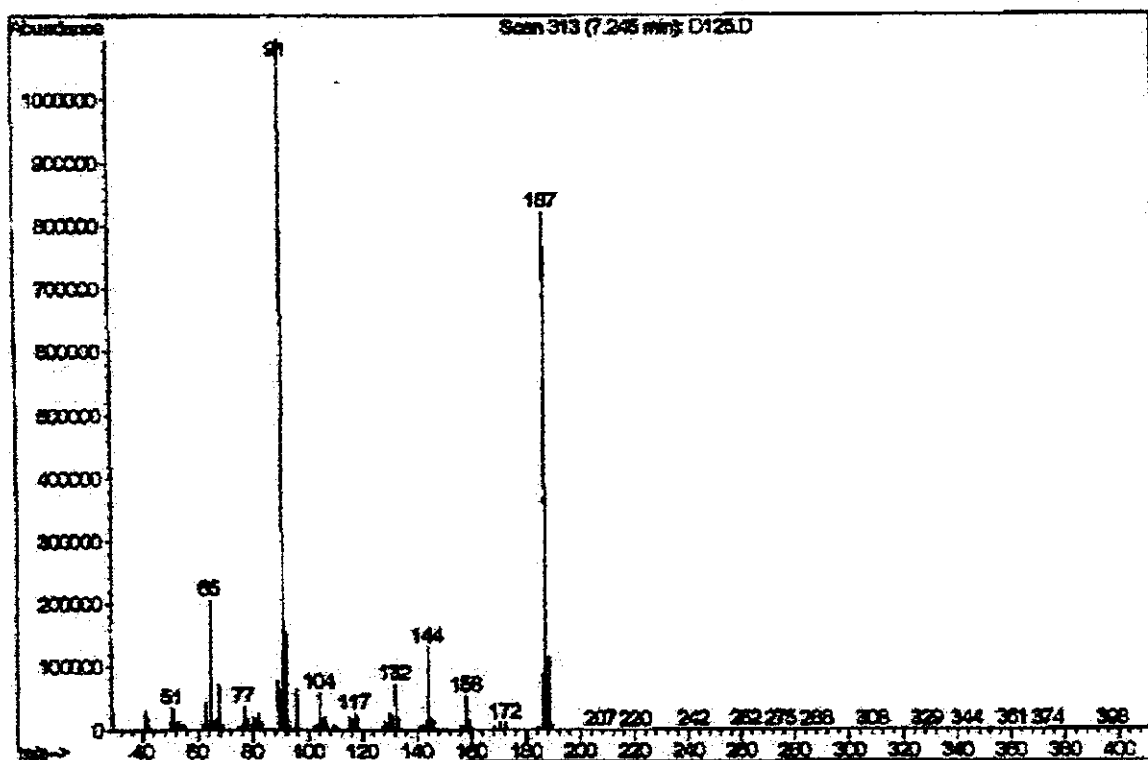


Em um balão de 50mL, 1,8g (8 mmol) do lactamol 66, foi dissolvido em 17 mL (0,5M) de tolueno. Esta solução foi resfriada a 0°C e, em seguida, 4,8mL (42mmol) de 2,4-lutidina foram adicionados. Alguns segundos depois, 1,6mL (11 mmol) de anidrido trifluoracético foi adicionado. Deixou-se o meio reacional atingir a temperatura ambiente e foi mantido sob agitação por uma noite. Em seguida o meio foi aquecido a refluxo. Após 30 minutos, o meio foi resfriado a temperatura ambiente e foram adicionados 20mL de solução saturada de bicarbonato de sódio. O meio reacional foi particionado em funil de separação e a fase orgânica foi então destilada a vácuo. O óleo obtido, foi submetido a cromatografia *flash* com acetato de etila 20% em hexano, (revelado em ácido fosfomolibdico). Após remoção dos eluentes, foi obtido 1,4g (90% de rendimento) de um óleo incolor, que foi caracterizado como produto 67.

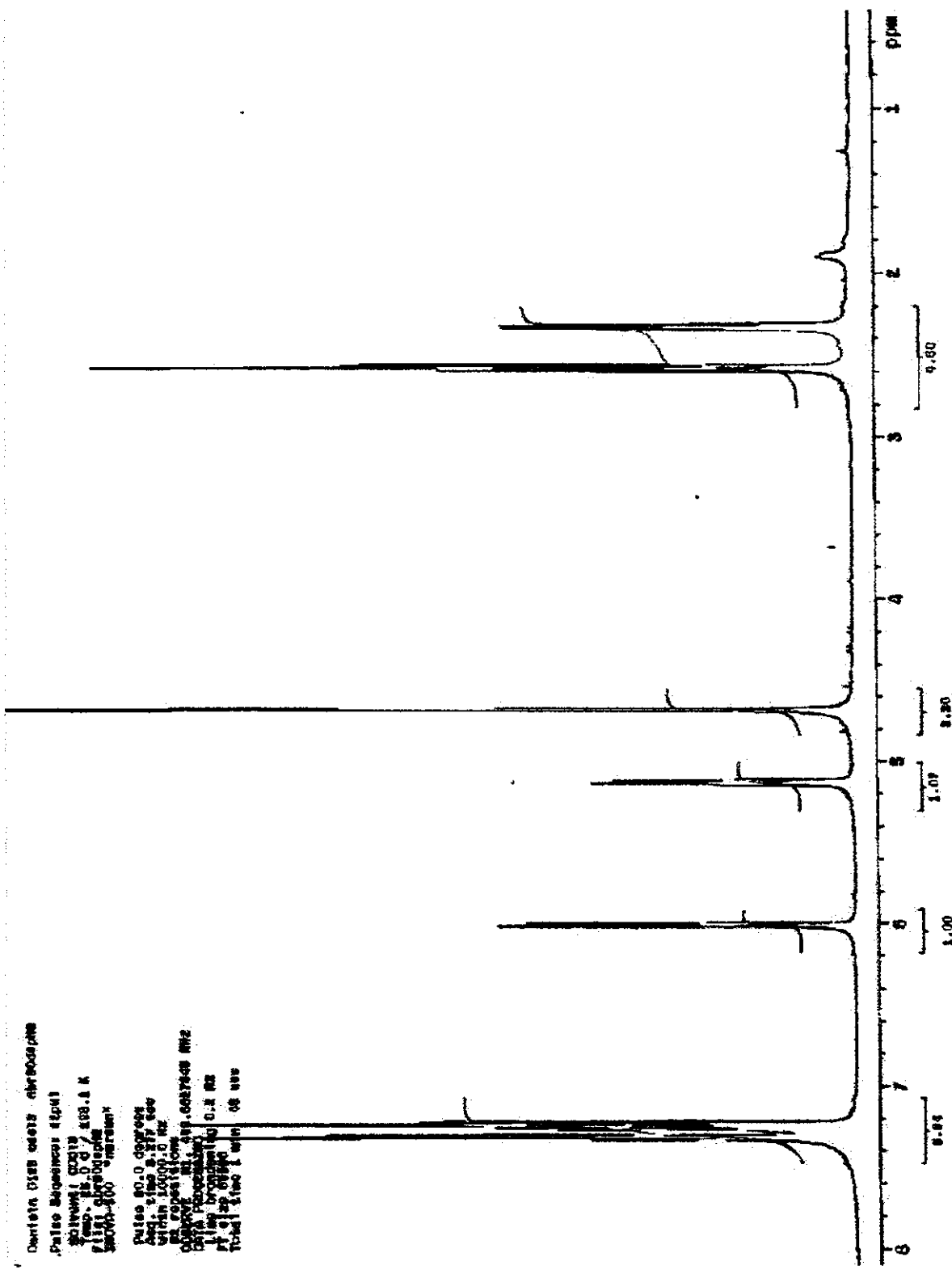
Dados espectrais: **I.V.** (**pastilha cm⁻¹**) 3066, 3032, 2939, 2900 2843, 1670, 1496, 1442, 1408, 1385, 1338, 1142, 1072. **RMN H¹(CDCl₃, δ, ppm, 300 MHz, ta)** 7,30 (5H, m); 6,00 (1H, dt *J*=2); 5,12 (1H, m); 4,67 (2H, s); 2,58 (2H, t, *J*=8); 2,35 (2H, m). **RMN C¹³(CDCl₃, δ, ppm, 75 MHz, ta)** 20,3 (CH₂); 31,3 (CH₂); 48,7 (CH₂); 106,4 (CH); 127,3 (CH); 127,5 (CH); 128,5 (CH); 129,4 (CH); 137,1 (C); 169,3 (C). **E.M. principais sinais** 187 (M⁺); 144 (10%); 91 (100%); 65 (20%). **Espectrometria de Massa de Alta Resolução** Calculado: 187,09971; Obtido: 187,09971.



Espectro de infravermelho de 67.



Espectro de massa de 67.

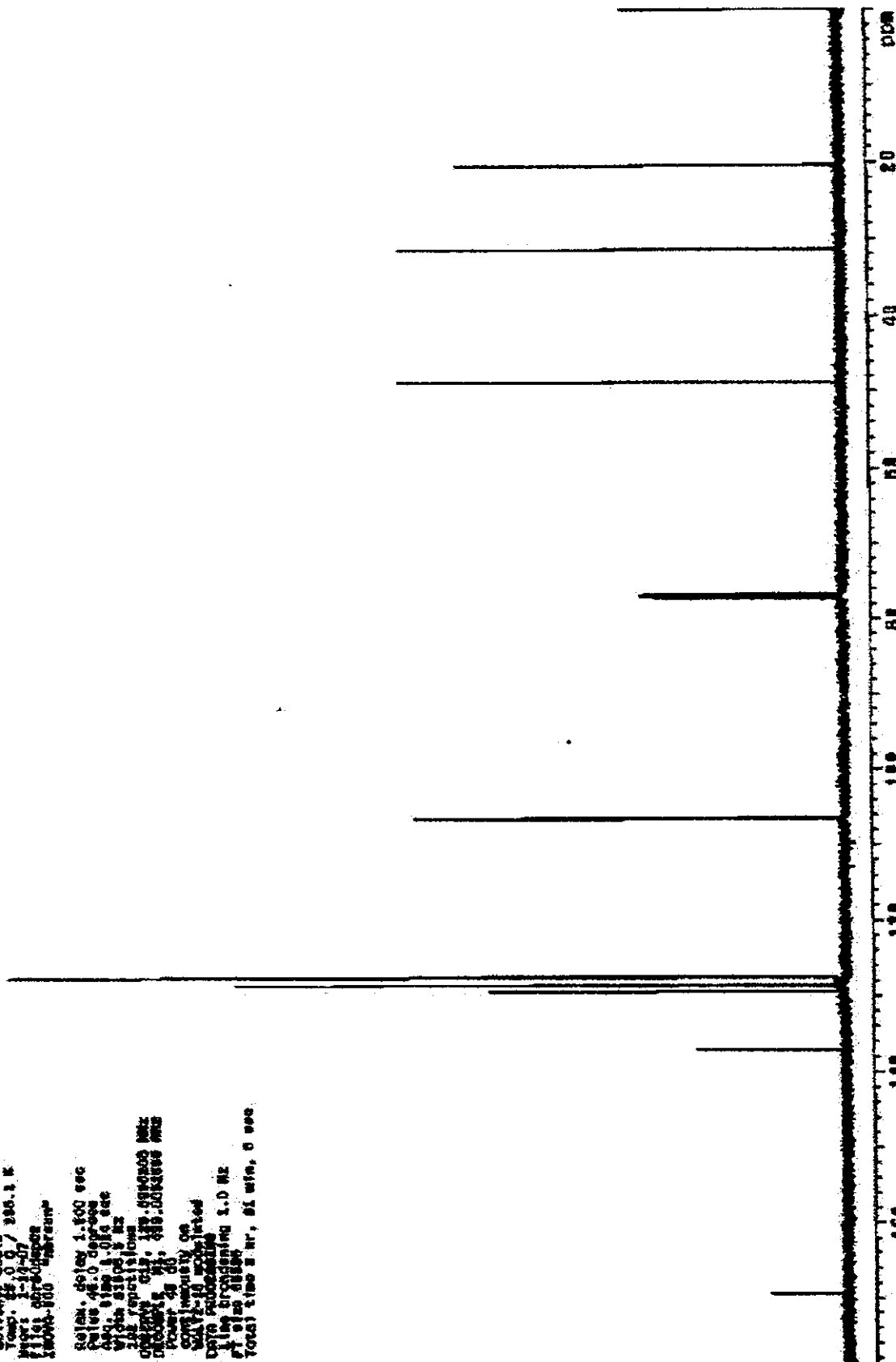


Espectro de RMN H¹(300MHz) em CDCl₃ de **67**.

Daniels et al. / Structural Competence

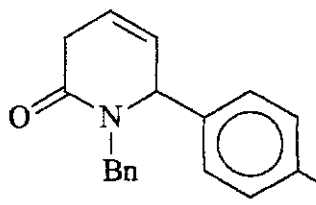
Philip Stegendorfer et al.

the location 1.0 mi.
Date measured 10-12-
Total time 5 hr. 51 min. 8 sec
Elevation, below 4,100 feet



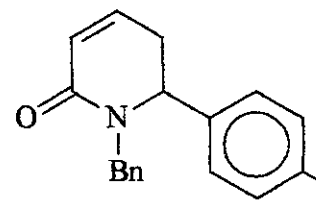
Espectro de RMN C¹³ (75MHz) em CDCl₃ de **67**.

N-(benzil)-6-(4-metoxifenil)-1, 2, 3, 6-tetraidro-2-piridinona 68.

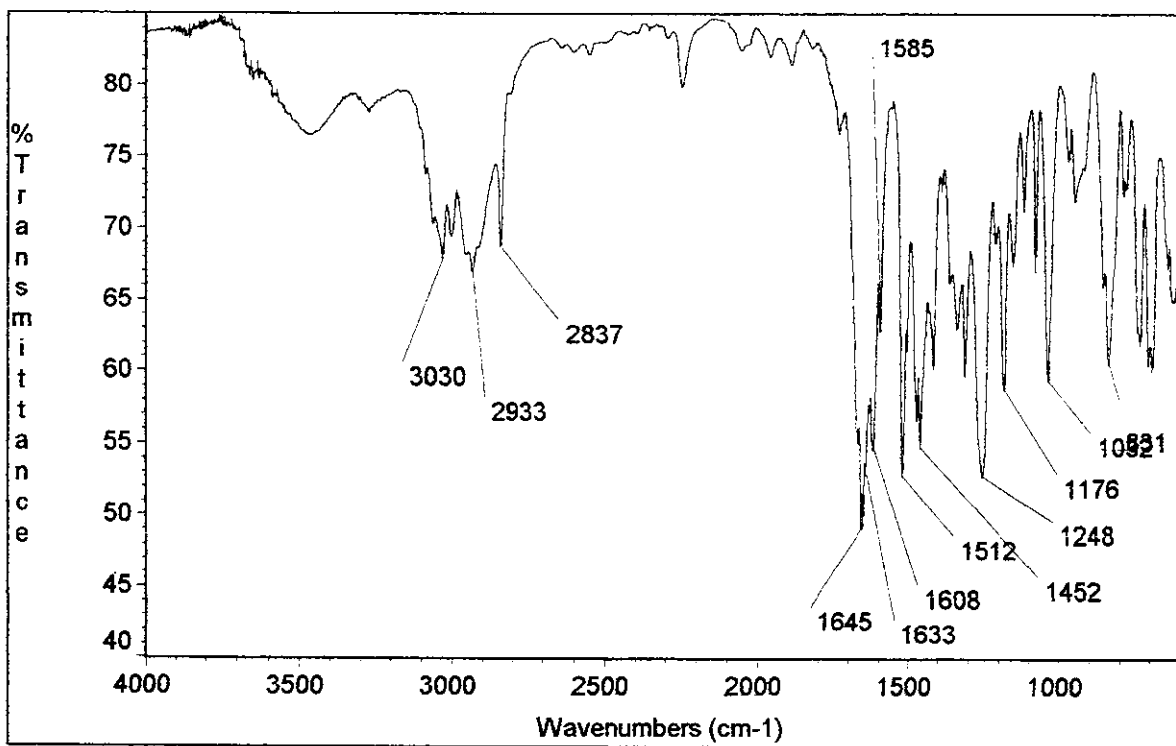


I.V. (filme cm⁻¹), principais sinais 3030, 2933, 2837, 1645, 1633, 1608, 1512, 1452, 1248, 1176, 1032, 831. **RMN H¹(CDCl₃, δ, ppm, 500 MHz, ta)** 7,40-7,22 (5H, m); 7,18-7,10 (2H, m); 6,98-6,89 (2H, m); 5,80 (1H, m); 5,70 (1H, m); 5,65 (1H, d, *J*= 15); 4,80 (1H, m), 3,86 (3H, s); 3,50 (1H, d, *J*= 15); 3,35-3,20 (2H, m). **RMN C¹³(CDCl₃, δ, ppm, 125 MHz, ta)** 32,0 (CH₂); 45,9 (CH₂); 55,2 (CH₃); 60,8 (CH); 114,2 (2CH); 119,9 (CH); 126,3 (CH); 127,1 (CH); 127,9 (2CH); 128,1 (2CH); 128,4 (2CH); 131,8 (C); 136,5 (C); 159,2 (C); 167,2 (C). **E.M. principais sinais** 294 (M⁺); 188(5%); 160 (90%); 159 (45%); 91 (100%). **Espectrometria de Massa de Alta Resolução** Calculado: 293,14158; Obtido: 293,14156.

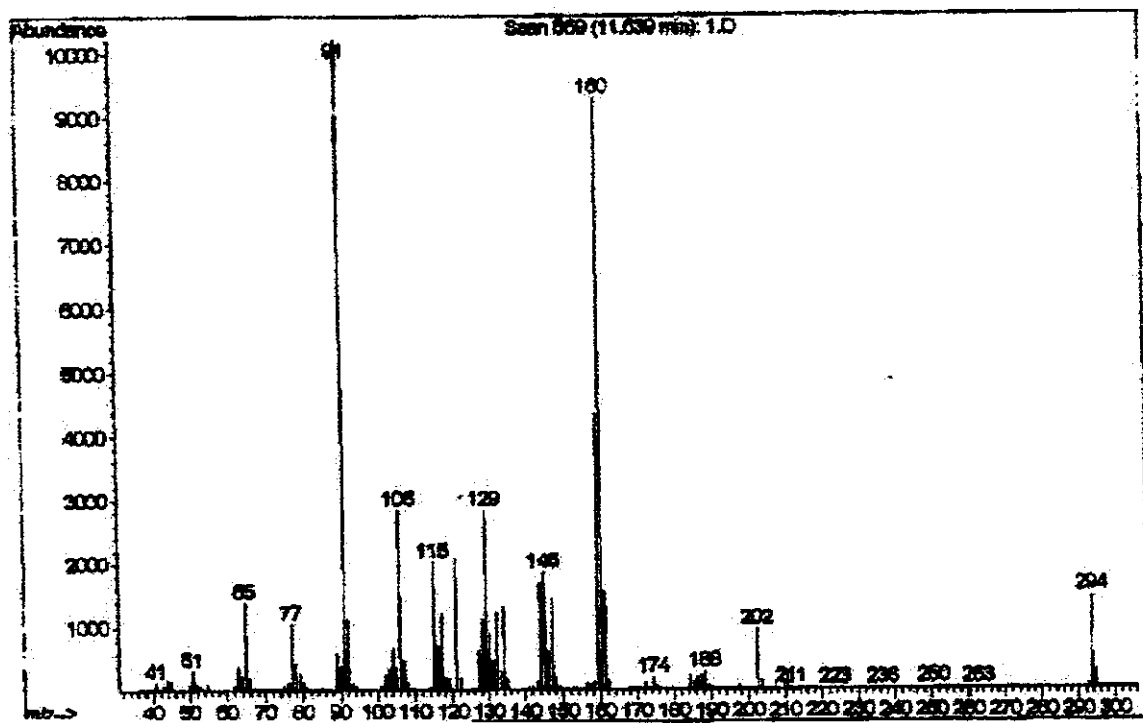
N-(benzil)-2-(4-metoxifenil)-1, 2, 3, 6-tetraidro-6-piridinona 69.



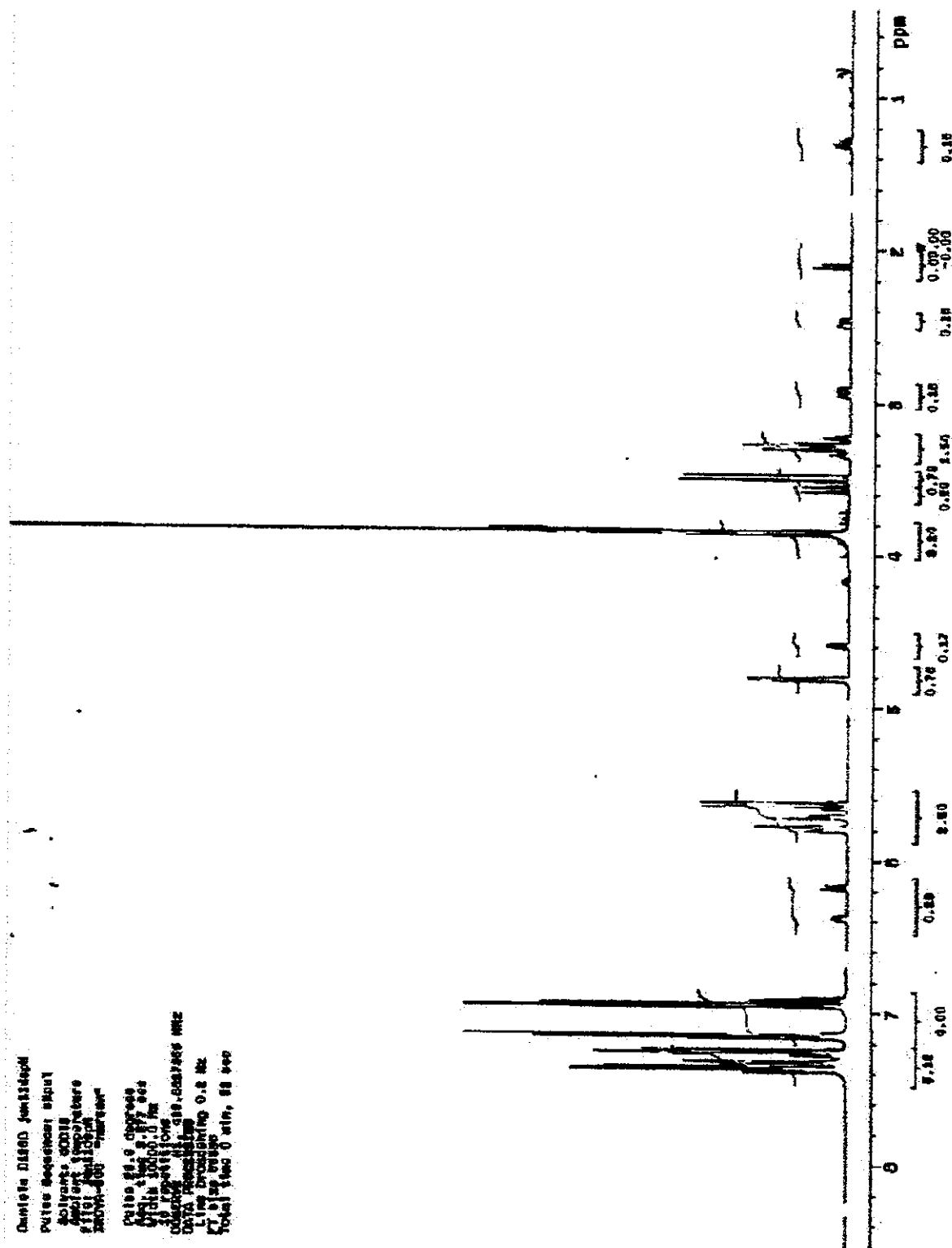
I.V. (filme cm⁻¹) 3030, 2935, 2837, 1666, 1614, 1512, 1452, 1250, 1180, 1140, 1030, 968. **RMN H¹(CDCl₃, δ, ppm, 300 MHz, ta)** 7,40 -7,20 (5H, m); 7,05 (2H, dd, *J*= 2 e 8); 6,90 (2H, dt, *J*= 2 e 9); 6,30 (1H, m); 6,10 (1H, dd, *J*= 2 e 10); 5,60 (1H, d, *J*= 15); 4,50 (1H, dd, *J*= 2 e 8) 3,78 (3H, s); 3,50 (1H, d, *J*= 15); 3,00-2,80 (1H, m); 2,42 (1H, 2dd, *J*= 2,5 e 6). **RMN C¹³(CDCl₃, δ, ppm, 75 MHz, ta)** 32,4 (CH₂); 47,4 (CH₂); 55,2 (CH₃); 56,6 (CH); 113,8 (2CH); 125,0 (CH); 127,1 (CH); 127,5 (2CH); 127,8 (2CH); 128,4 (2CH); 131,8 (C); 136,4 (CH); 137,5 (C); 158,9 (C); 164,2 (C). **E.M. principais sinais** 294 (M⁺); 188 (70%); 159 (50%); 121 (70%); 91 (100%). **Espectrometria de Massa de Alta Resolução** Calculado: 293,14158; Obtido: 293,14197.



Espectro de infravermelho de 68.



Espectro de massa de 68.



Espectro de RMN H¹(500MHz) em CDCl₃ de **68**.

Densit. DSCB. 00018, 10, 001000000

Pulse sequence: 10001

Solvent: CDCl₃

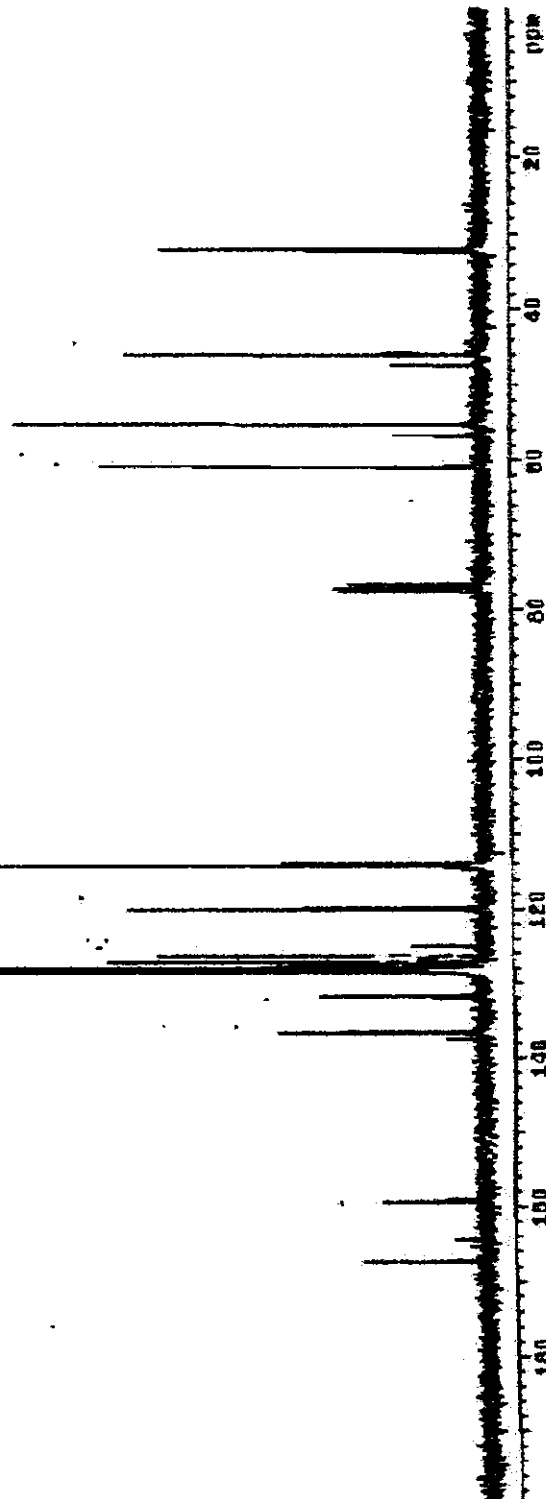
Chemical shift: ppm

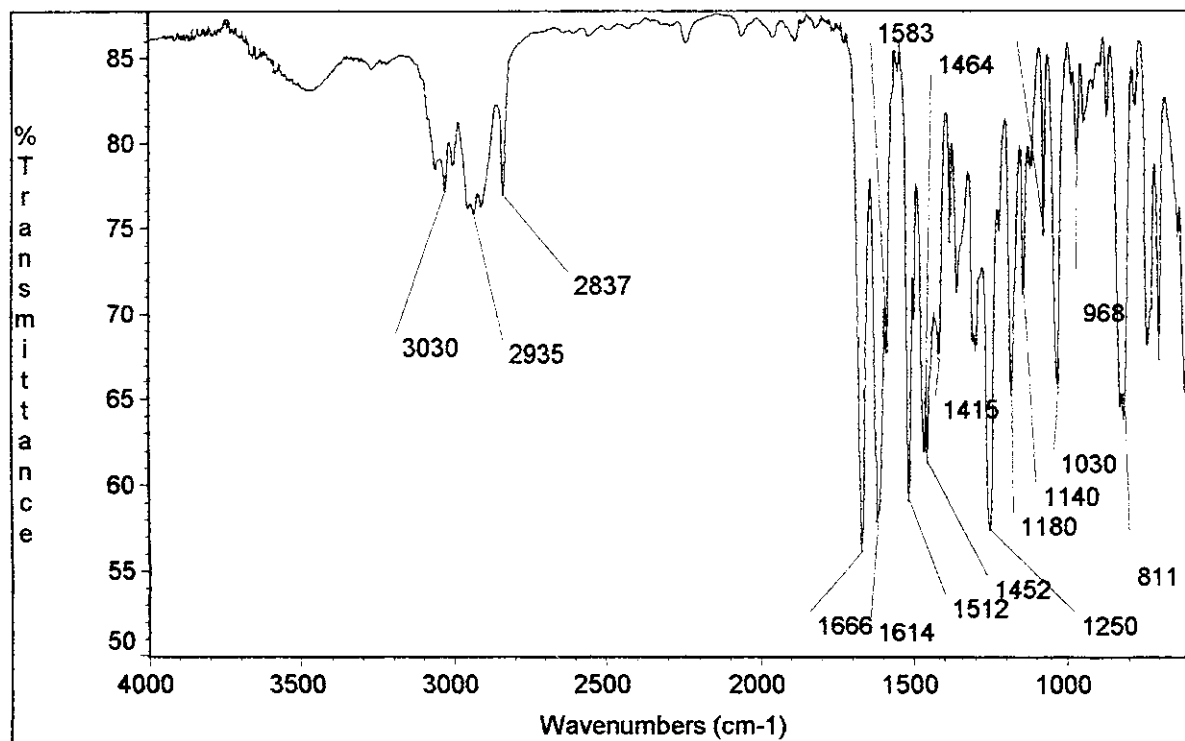
Integration: 1.000

Printed: 04/04/2008

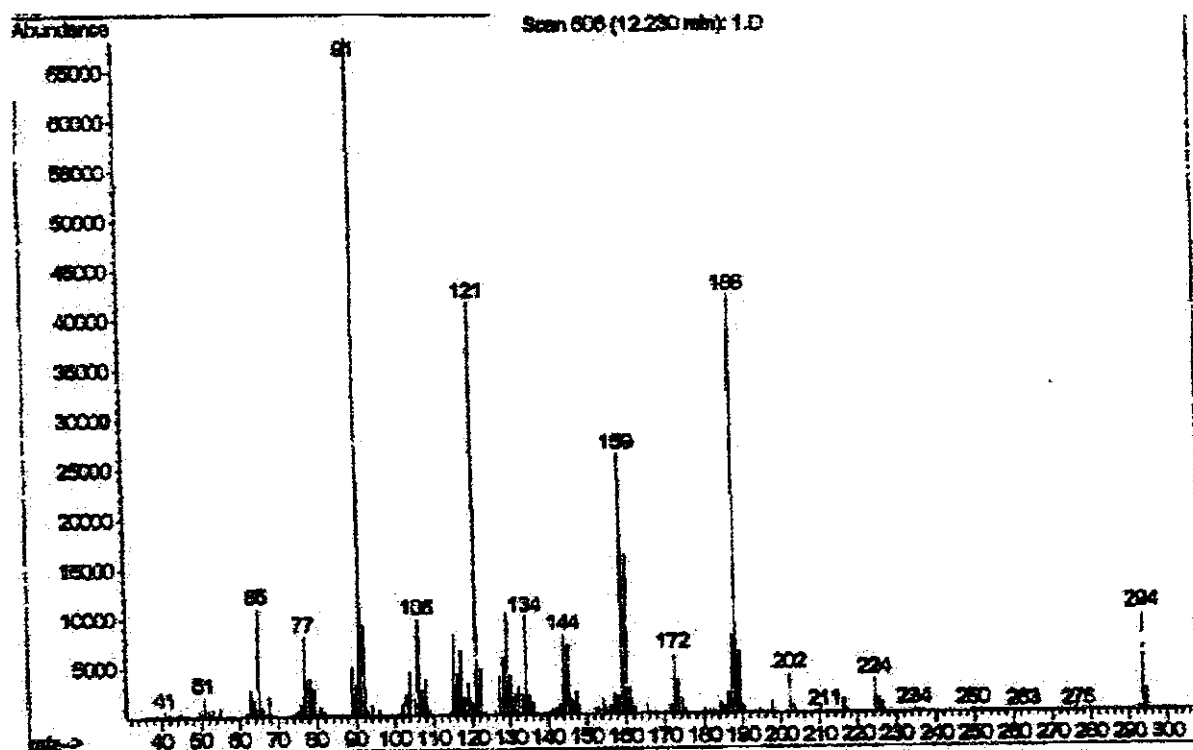


Espectro de RMN C¹³ (125MHz) em CDCl₃ de **68**.



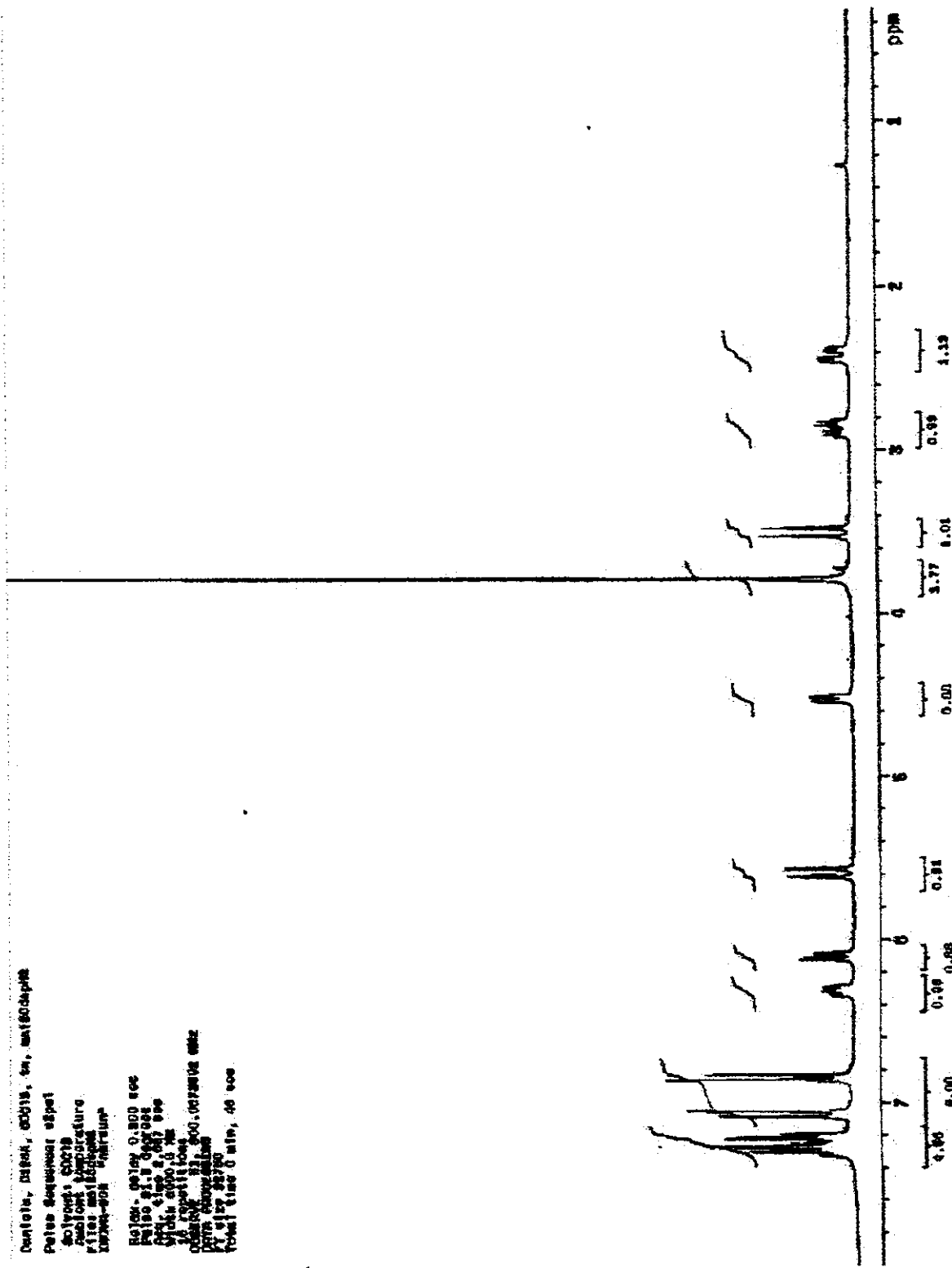


Espectro de infravermelho de 69.

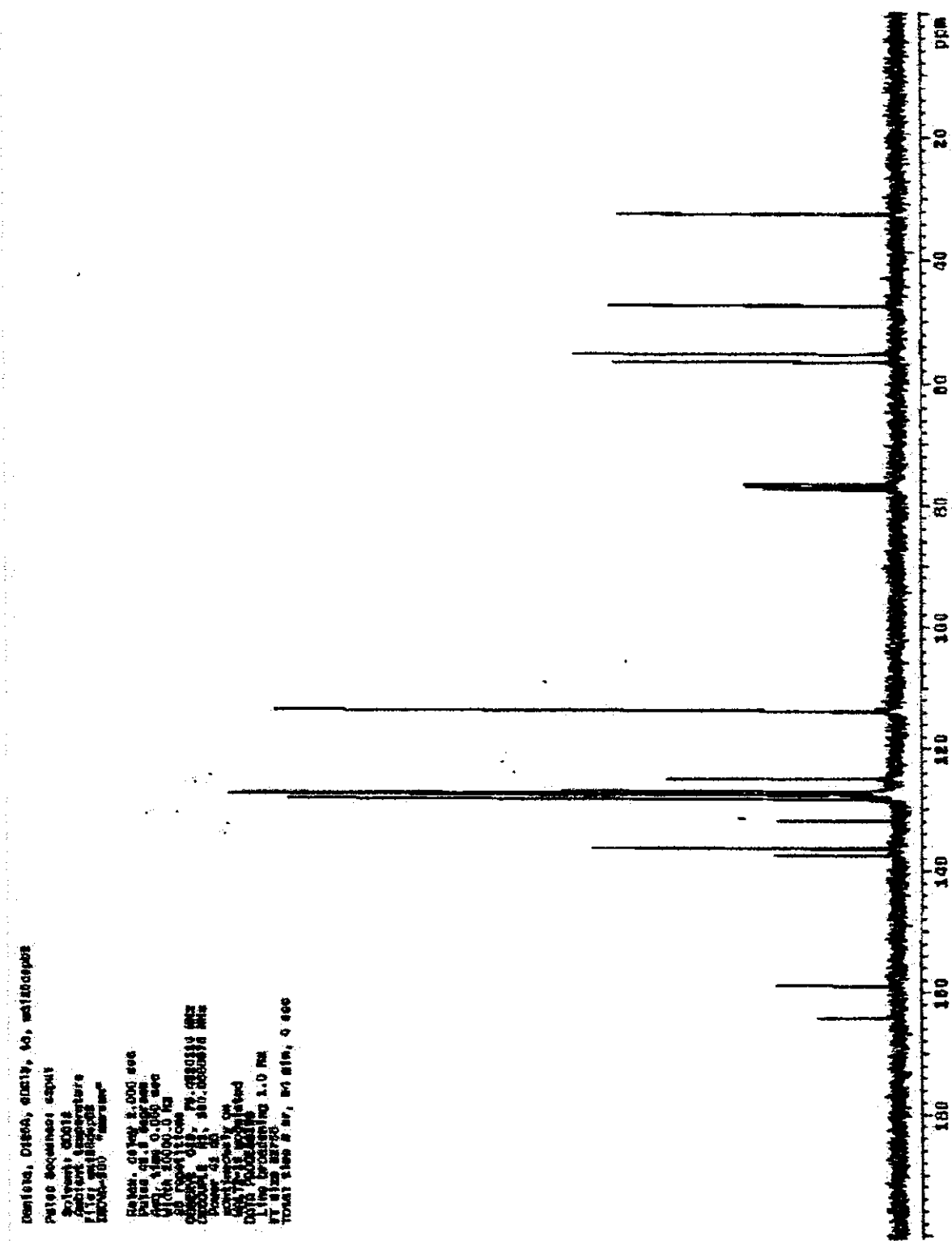


Espectro de massa de 69.

Centro, Estre, Estre, Em, Estre
Pete Sanchez estre
Soyem, Estre
Hablon, Estre
Pete Sanchez
Luis Sanchez



Espectro de RMN H¹(300MHz) em CDCl₃ de **69**.



Espectro de RMN C¹³ (75MHz) em CDCl₃ de **69**.

N-(terc-Butoxicarbonil)-2,3,4,5-tetraidroazepina 76 Sintetizado de acordo com a metodologia desenvolvida no grupo de pesquisa por Denílson Oliveira^{41,42,43} em sua tese de doutorado defendida em 1998.

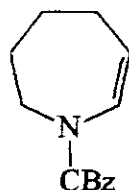
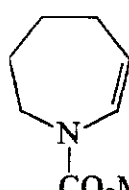
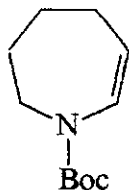
I.V. (filme cm⁻¹) 2978, 2931, 2862, 1699, 1653, 1456, 1367, 1254, 1163, 1117. **(CCl₄, δ, ppm, 500 MHz, ta)** 6,40 (1H, s); 4,82 (1H, s); 3,61 (1H, t, J=6); 2,20 (2H, m); 1,75 (4H, m); 1,45 (9H, s). **(CCl₄, δ, ppm, 125 MHz, ta)** 25,9 (2CH₂), 26,7 (CH₂); 28,9 (CH₃); 47,0 (CH); 79,8 (C); 113,2 (CH); 131,6 (CH); 152,8 (C). **E.M. principais sinais.** 197 (M+), 141 (100%), 126 (60%), 82 (80%); 57 (40%).

N-(Metoxcarbonil)-2,3,4,5-tetraidroazepina 77 Sintetizado de acordo com a metodologia desenvolvida no grupo de pesquisa por Denílson Oliveira^{41,42,43} em sua tese de doutorado defendida em 1998.

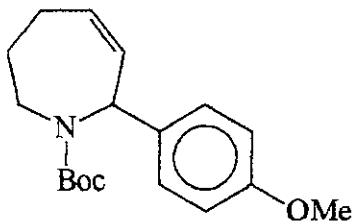
I.V. (filme cm⁻¹) 2931, 2860, 1712, 1651, 1446, 1406, 1367, 1275, 1188, 1117, 1018. **(CCl₄, δ, ppm, 500 MHz, ta)** 6,40 (1H, m); 4,90 (1H, m); 3,70 (3H, s); 3,64 (1H, d, J=6); 2,20 (2H, m); 1,75 (4H, m). **(CCl₄, δ, ppm, 125 MHz, ta)** 25,1 (CH₂), 26,1 (CH₂); 28,0 (CH₂); 47,0 (CH); 52,3 (CH₃); 113,8 (CH); 130,4 (CH); 153,6 (C). **E.M. principais sinais** 155 (M+), 140 (100%).

Benzil 2,3,4,5 tetraidro-1*H*-1-azepinocarboxilato 78 Sintetizado de acordo com a metodologia desenvolvida no grupo de pesquisa por Denílson Oliveira^{41,42,43} em sua tese de doutorado defendida em 1998.

I.V. (filme cm⁻¹) 3033, 2929, 2860, 1714, 1699, 1653, 1506, 1410, 1348, 1273, 1213, 1113. **(CCl₄, δ, ppm, 500 MHz, ta)** 7,30 (5H, m); 6,50 (1H, s); 5,05 (2H, s); 4,85 (1H, m); 3,65 (1H, m); 2,15 (2H, m); 1,78 (4H, m). **(CCl₄, δ, ppm, 125 MHz, ta)** 25,1 (CH₂), 26,1 (CH₂); 27,9 (CH₂); 47,2 (CH); 66,8 (CH₂); 114,1 (CH); 127,6 (CH); 127,7 (CH); 128,1 (CH); 130,2 (CH); 136,5 (C); 153,1 (C). **E.M. principais sinais** 231 (M+), 91 (100%).

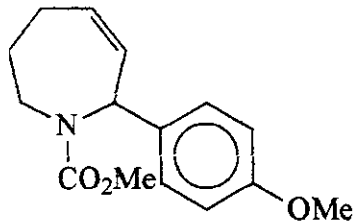


N-(terc-Butoxicarbonil)-7-(4-metoxifenil)-2, 3, 4, 7-tetraidroazepina 79a.

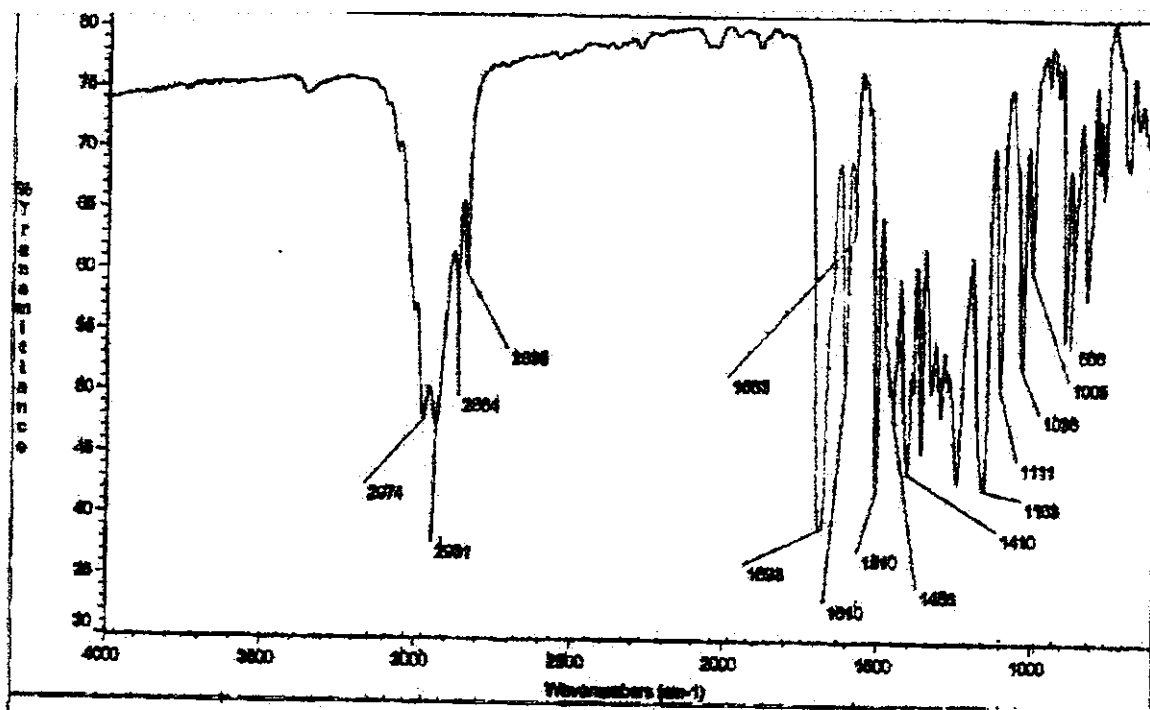


I.V. (filme cm⁻¹) 2974, 2931, 2864, 1693, 1610, 1583, 1510, 1456, 1410, 1163, 1111, 1005, 866. **RMN H¹(CDCl₃, δ, ppm, 300 MHz, ta)** 7,20 (2H, d, *J*=9); 6,75 (5H, d, *J*=9); 6,06 (1H, s); 5,85 (1H, m); 5,74 (1H, 2s); 3,36 (3H, s); 3,52 (1H, m); 2,81 (1H, m); 2,30 (1H, m); (2,09 (1H, m); 1,82 (1H, m); 1,60 (1H, m); 1,48 (9H, s). **RMN C¹³(CDCl₃, δ, ppm, 75 MHz, ta)** 24,7 (CH₂); 26,1 (CH₂); 28,4 (CH₃); 41,2 (CH₂); 54,4 (CH₃); 78,4 (C); 113,4 (4CH); 128,8 (CH); 130,4 (CH); 123,4 (CH); 141,0 (C); 154,7 (C); 158,5 (C). **Espectrometria de Massa de Alta Resolução** Calculado: 303,18344; Obtido: 303,18275.

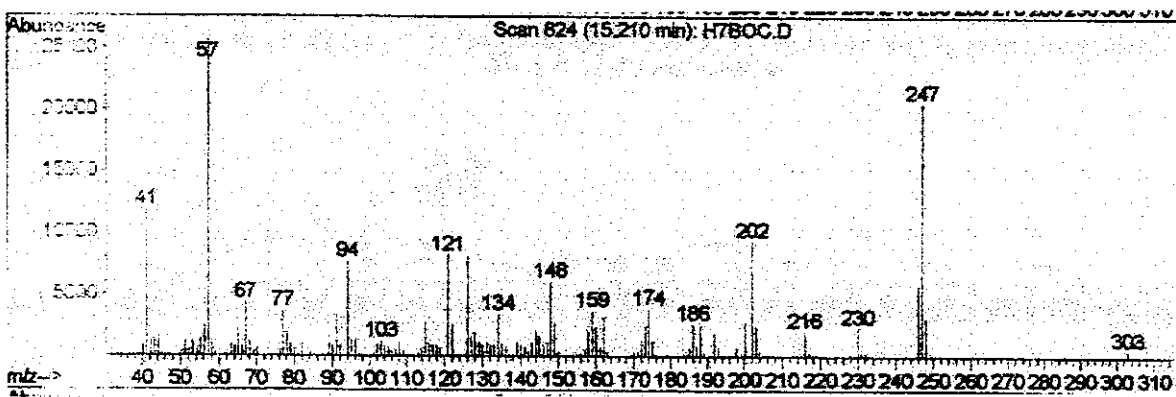
N-(metoxicarbonil)-7-(4-metoxifenil)-2, 3, 4, 7-tetraidroazepina 79b.



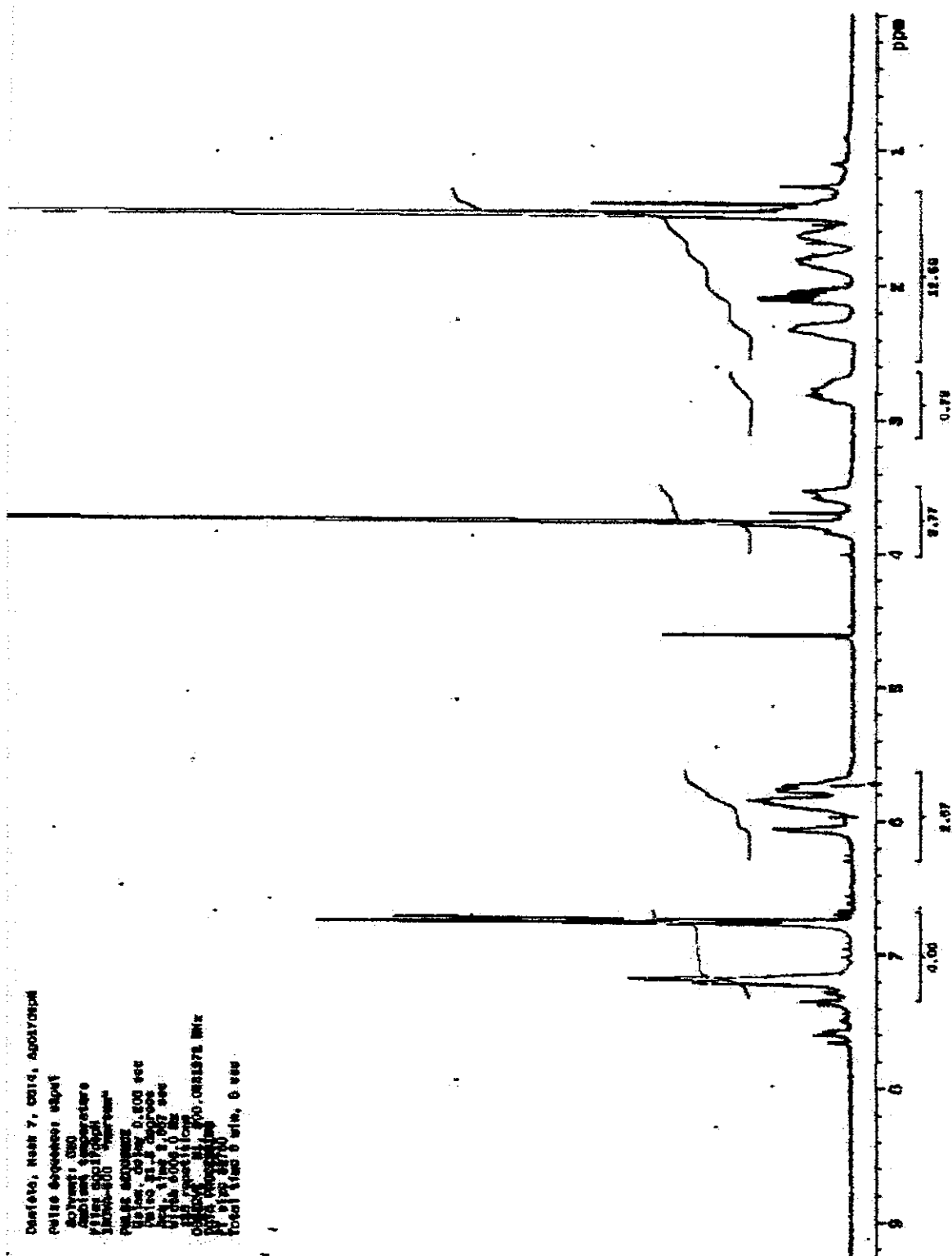
I.V. (filme cm⁻¹) 2297, 2951, 2835, 1699, 1610, 1583, 1510, 1442, 1406, 1248, 1173, 1115, 1034, 822. **RMN H¹(CCl₄, δ, ppm, 500 MHz, ta)** 7,20 (2H, m); 6,75 (2H, d, *J*=8); 6,10 (1H, s); 5,90 (1H, s); 6,74 (1H, d, *J*=8); 3,77+3,70 (3H, s); 2,85 (2H, m); 2,35 (1H, m); 2,15 (1H, m); 1,85 (1H, m); 1,70 (1H, m). **RMN C¹³(CCl₄, δ, ppm, 125 MHz, ta)** 25,6 (CH₂); 26,7 (CH₂); 41,3 (CH₂); 52,2 (CH₃); 54,5 (CH₃); 113,4 (CH); 128,6 (CH); 128,9 (CH); 129,0-131,8 (4CH); 140,0 (C); 155,5 (C); 158,6 (C). **E.M. principais sinais** 261 (M⁺); 106 (100%); 176 (75%); 134 (90%); 121 (91%); 91 (50%). **Espectrometria de Massa de Alta Resolução** Calculado : 261,13649; Obtido: 261,13591.



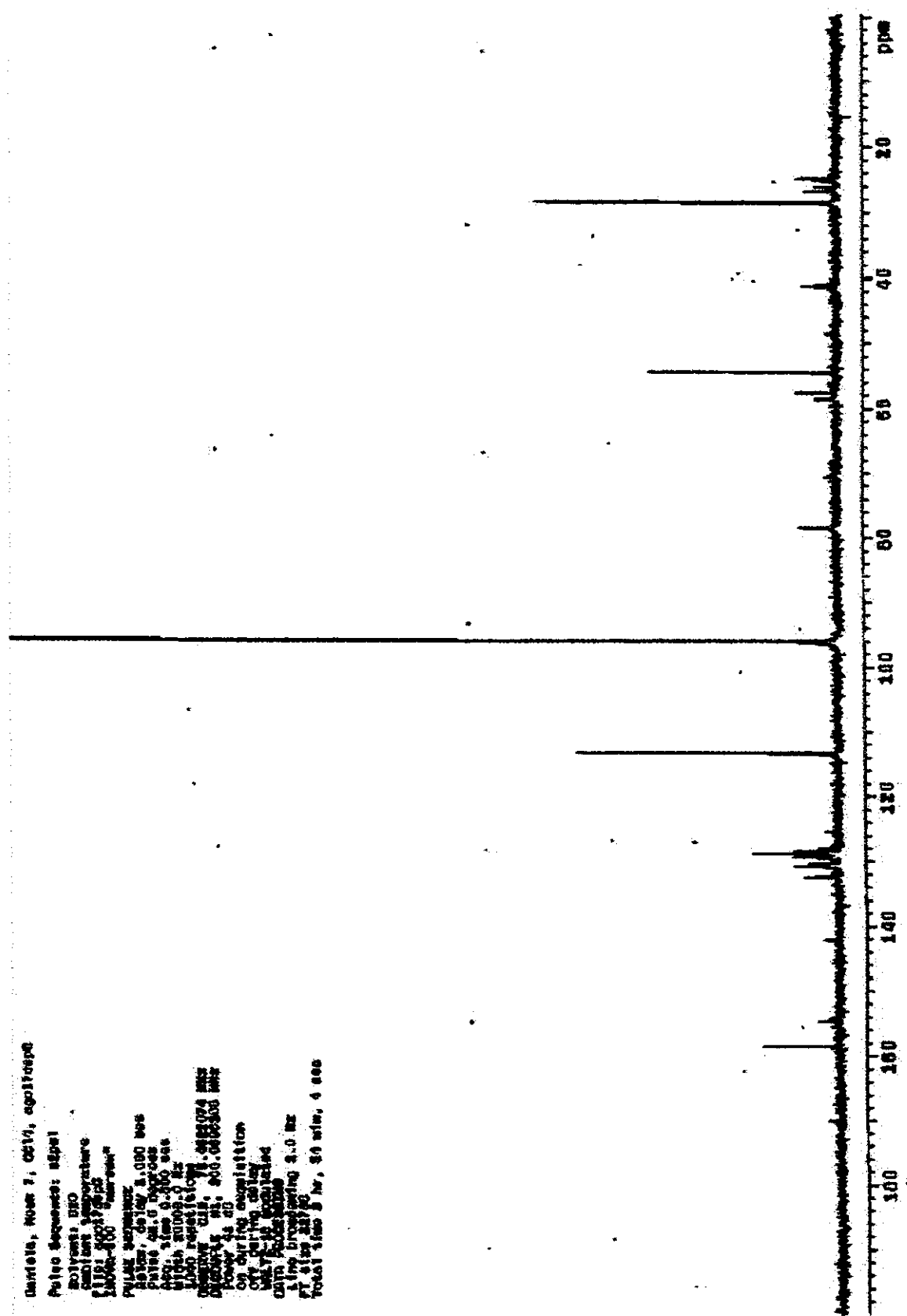
Espectro de infravermelho de 79a.



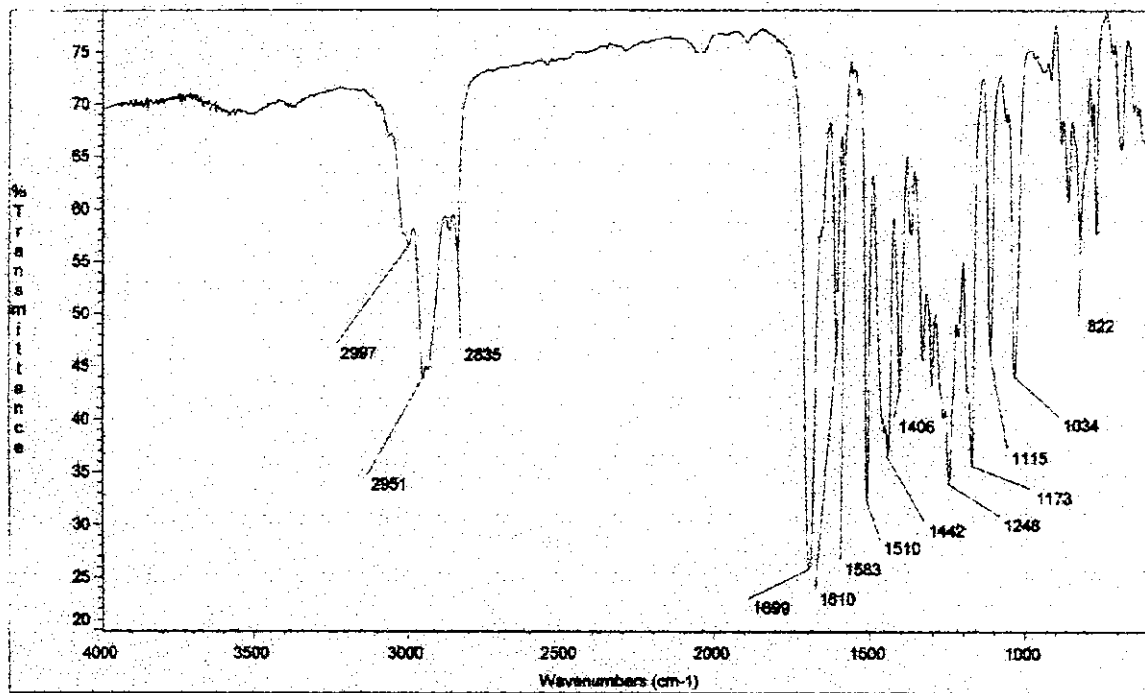
Espectro de massa de 79a.



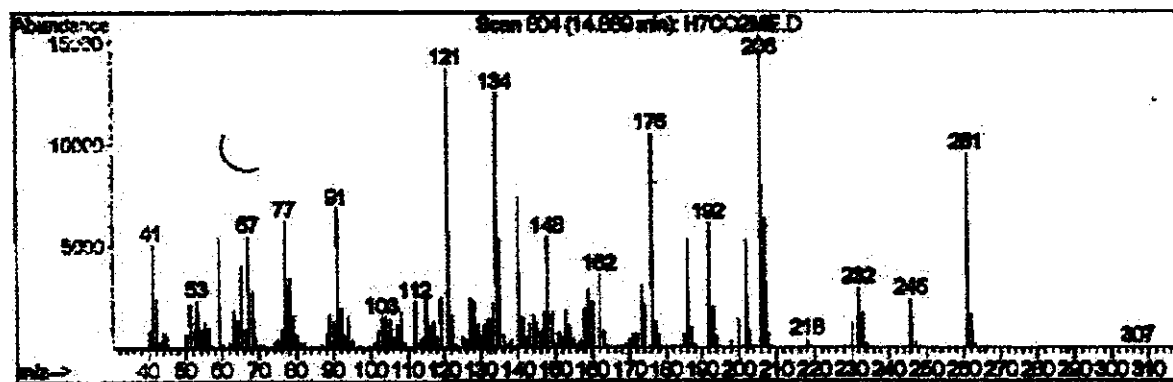
Espectro de RMN H¹(300MHz) em CDCl₃ de 79a.



Espectro de RMN C¹³ (75MHz) em CDCl₃ de 79a.



Espectro de infravermelho de 79b.



Espectro de massa de 79b.

Daniela Haché?-Quintana set16dpf

Pulse Sequences -2pu?

Solvent: D₂O

Ambient temperature

File: set16dpf

INOVA-500 (Intrinsic)

PULSE SEQUENCE

Delay: 3.0 sec

Pulse: 3.3 deg/min

Acq. time: 2.657 sec

Width: 400.0 Hz

17 Transitions

OBSERVE: H1,300.0061361 MHz

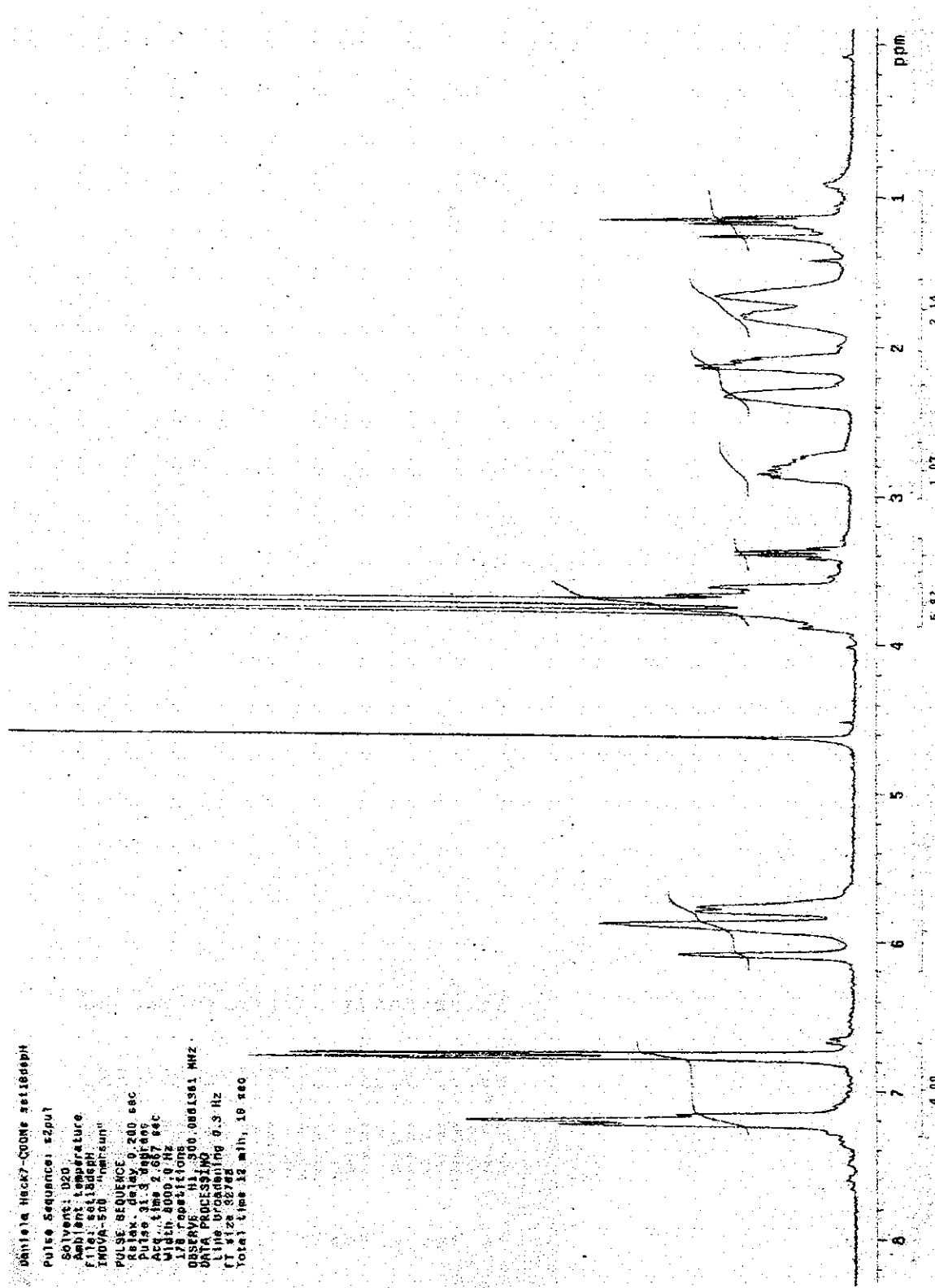
DATA PROCESSING

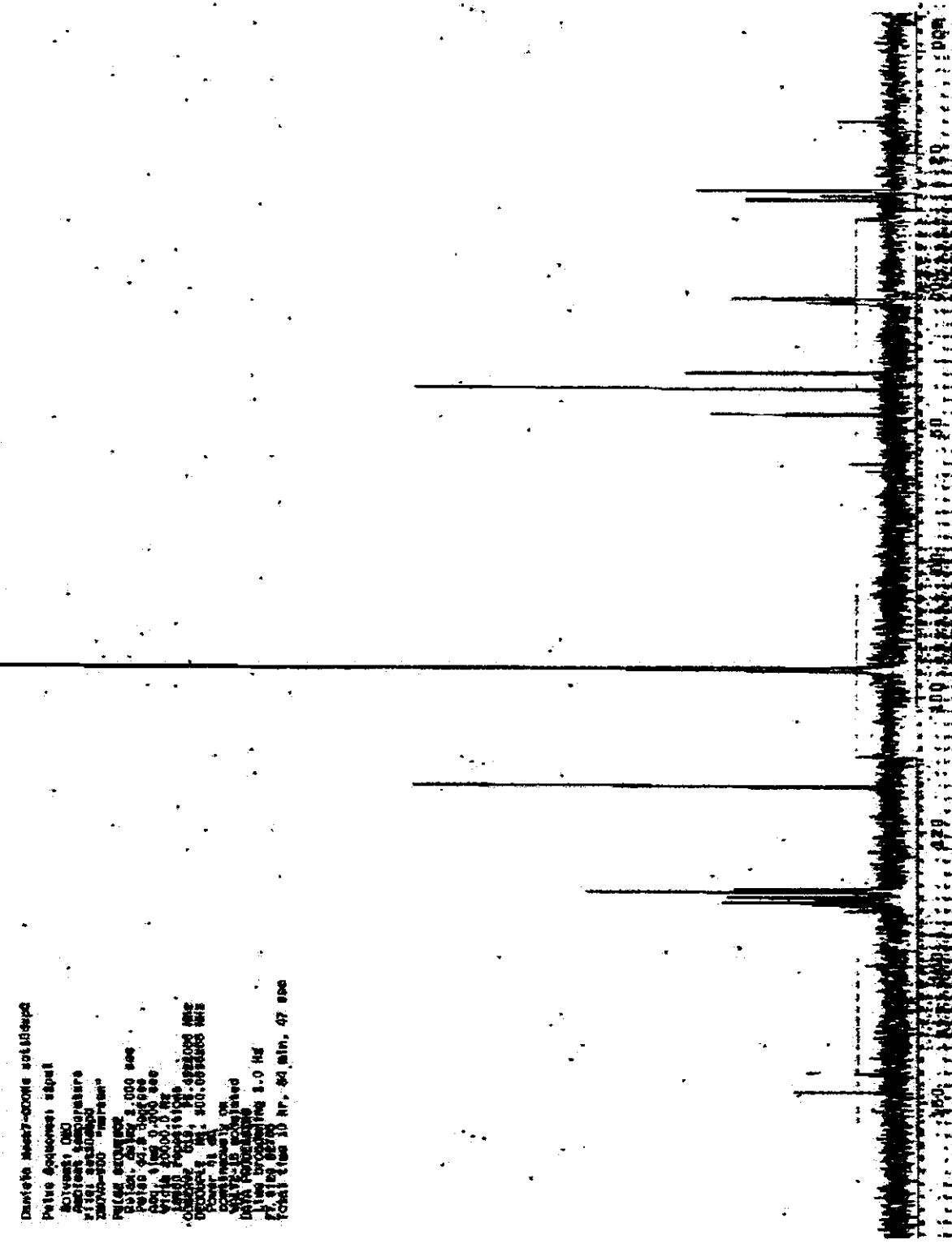
Line broadening: 0.3 Hz

RT: 32 sec

Total time: 12 min, 18 sec

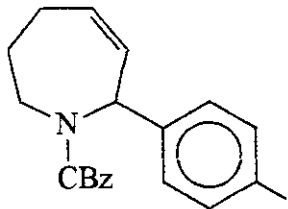
Espectro de RMN H¹(500MHz) em CCl₄ de 79b.





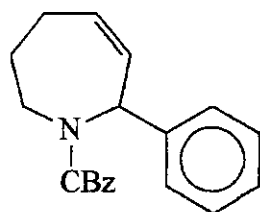
Espectro de RMN C¹³ (125MHz) em CCl₄ de 79b.

N-(benziloxicarbonil)-7-(4-metoxifenil)-2, 3, 4, 7-tetraidroazepina 79c.

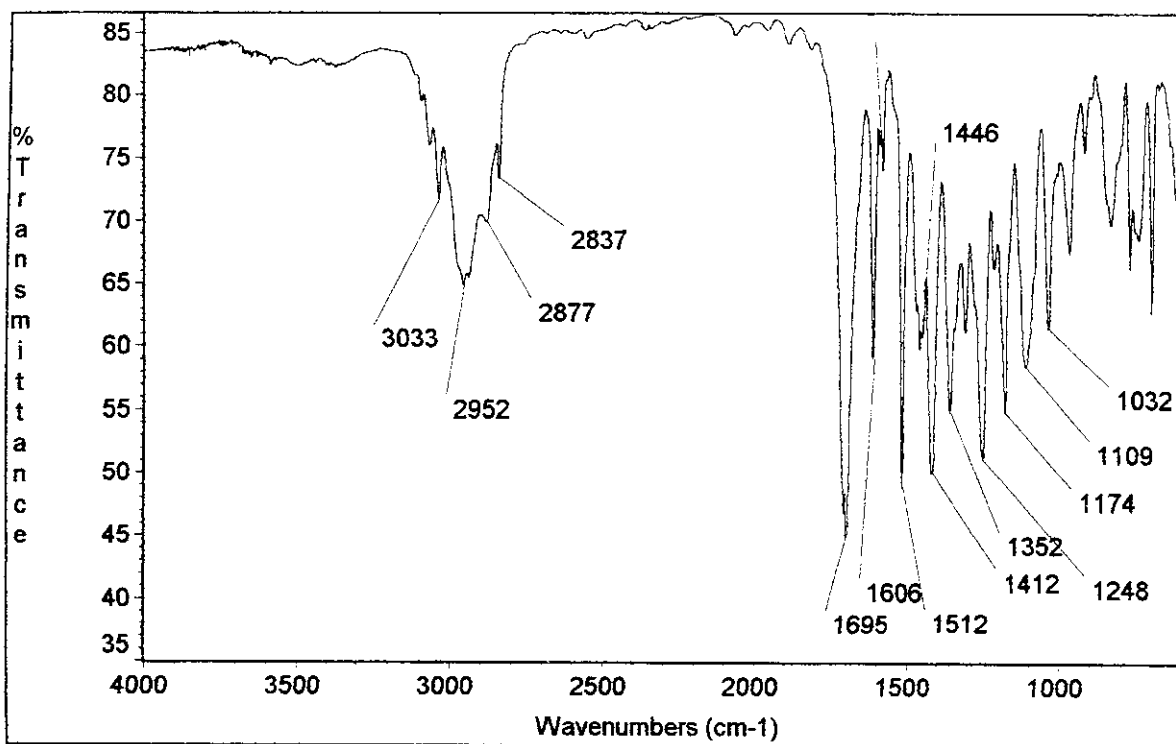


I.V. (filme cm⁻¹) 3033, 2952, 2877, 2837, 1695, 1606, 1577, 1512, 1412, 1352, 1248, 1174, 1109, 1032. **RMN H¹(CDCl₃, δ, ppm, 500 MHz, ta)** 7,40-6,60 (9H, m); 6,40 (1H, d, *J*= 15); 6,30 (1H, d, *J*=15); 6,0 (1H, m); 5,10 (2H, m); 4,50 (1H, 2sl); 3,78 (3H, s); 3,50 (1H, sl); 2,20-1,85 (4H, m). **RMN C¹³(CDCl₃, δ, ppm, 125 MHz, ta)** 22,8 (CH₂); 32,5 (CH₂); 46,6 (CH₂); 55,1 (CH₃); 58,8 (CH); 66,5 (CH₂); 113,8 (2CH); 127,4 (2CH); 127,7 (2CH); 127,8 (CH); 128,2 (CH); 128,4 (CH); 129,2 (CH); 129,4 (CH); 130,7 (C); 136,8 (C); 155,0 (C); 158,9 (C). **E.M. principais sinais** 337 (M⁺); 246 (75%); 94 (100%); 91 (100%). **Espectrometria de Massa de Alta Resolução** Calculado: 337,16779; Obtido: 337,16659.

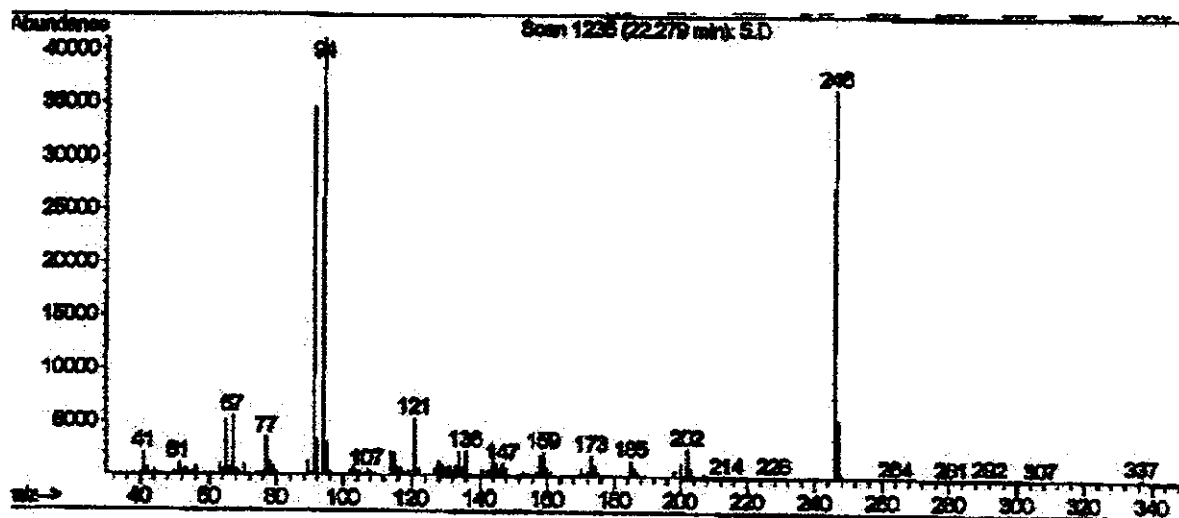
N-(benziloxicarbonil)-7-fenil-2, 3, 4, 7-tetraidroazepina 81.



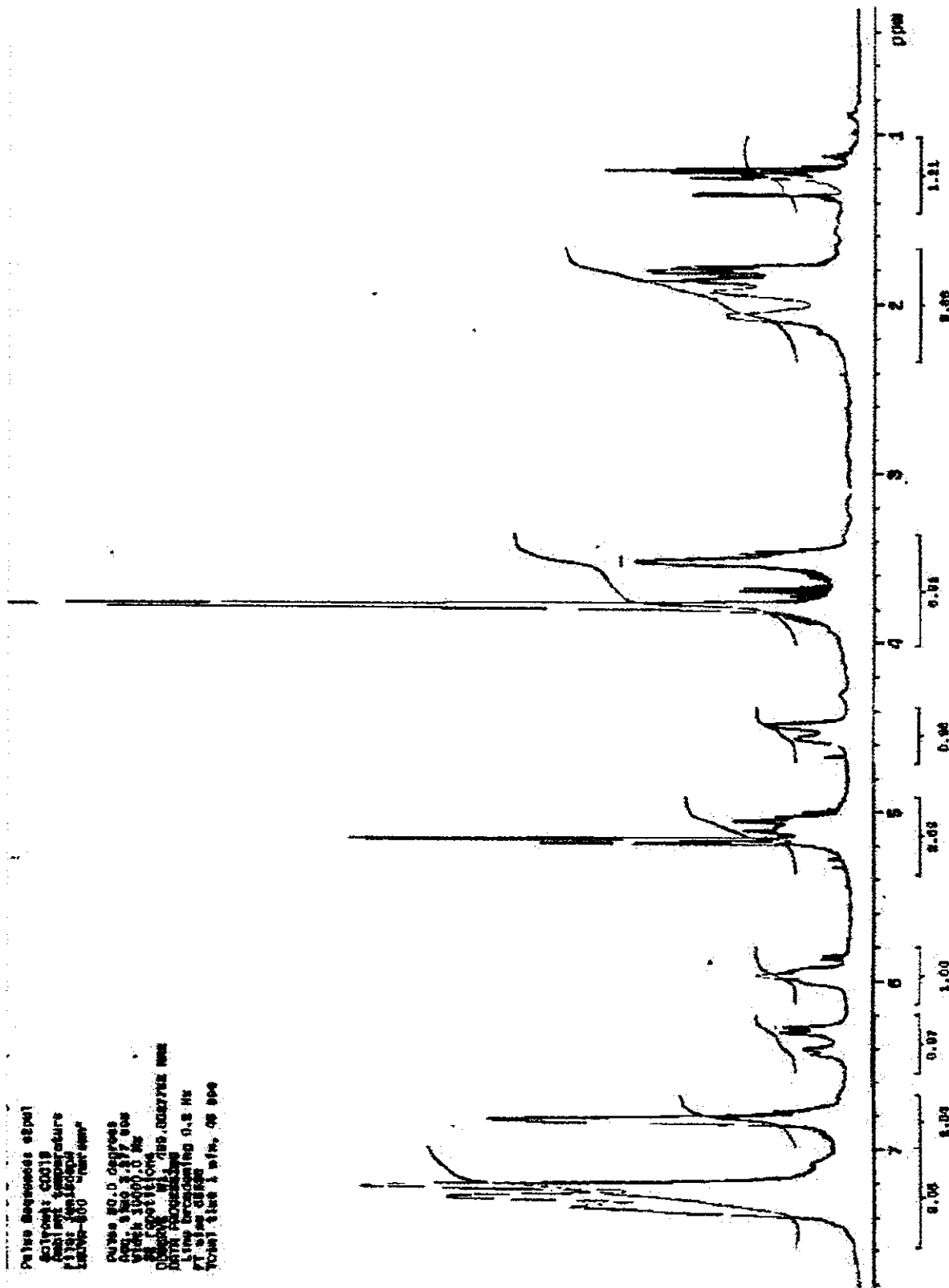
I.V. (filme cm⁻¹) 3059, 3028, 2931, 2862, 1701, 1651, 1620, 1601, 1450, 1415, 1261, 1215, 1180, 1018. **RMN H¹(CDCl₃, δ, ppm, 500 MHz, ta)** 7-45-7,00 (10H, m); 6,25-5,95 (3H, m); 5,20 (2H, m); 4,00-3,60 (1H, m); 2,90 (1H, m); 2,40-1,60 (4H, m). **RMN C¹³(CDCl₃, δ, ppm, 125 MHz, ta)** 25,2 (CH₂); 26,5 (CH₂); 42,0 (CH₂); 59,2 (CH); 67,2 (CH₂); 124,8 (CH); 126,3 (CH); 127,1 (CH); 127,4 (CH); 127,6 (CH); 127,8 (CH); 128,0 (CH); 128,4 (CH); 128,6 (CH); 129,0 (CH); 129,5 (CH); 130,7 (CH); 136,1 (C); 141,8 (C); 156,6 (C). **E.M. principais sinais** 307 (M⁺); 216 (100%); 91 (95%). **Espectrometria de Massa de Alta Resolução** Calculado: 307,15723; Obtido: 307,15706.



Espectro de infravermelho de 79c.



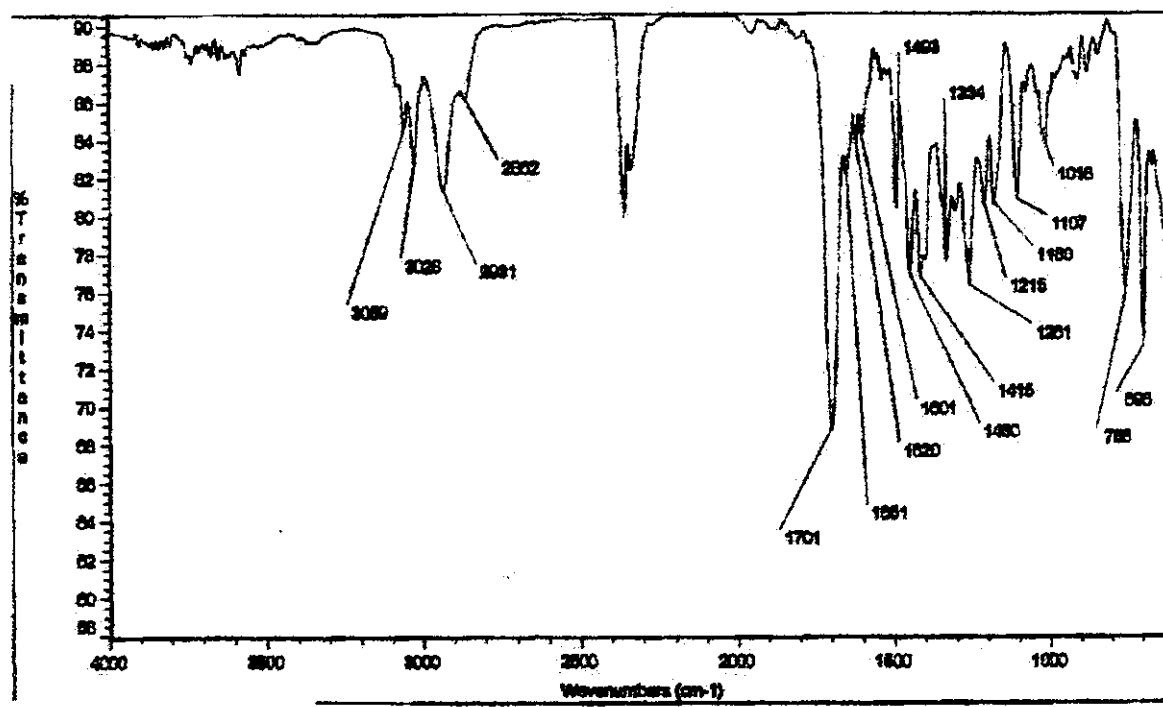
Espectro de massa de 79c.



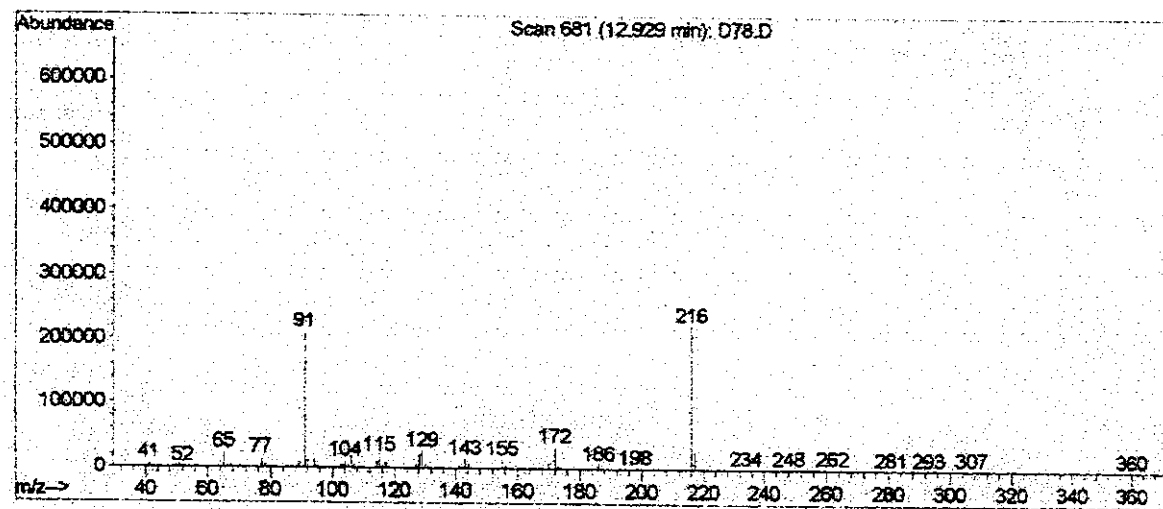
Espectro de RMN H¹(500MHz) em CDCl₃ de 79c.

Dados PDE 8010 Jemstec
pulse sequence: siqui
Number of scans: 1000
Integration time: 1.0 sec
Pulse width: 10.0 sec
Pulse interval: 1.0 sec
Pulse angle: 90°
Pulse sequence: siqui
Number of scans: 1000
Integration time: 1.0 sec
Pulse width: 10.0 sec
Pulse interval: 1.0 sec
Pulse angle: 90°

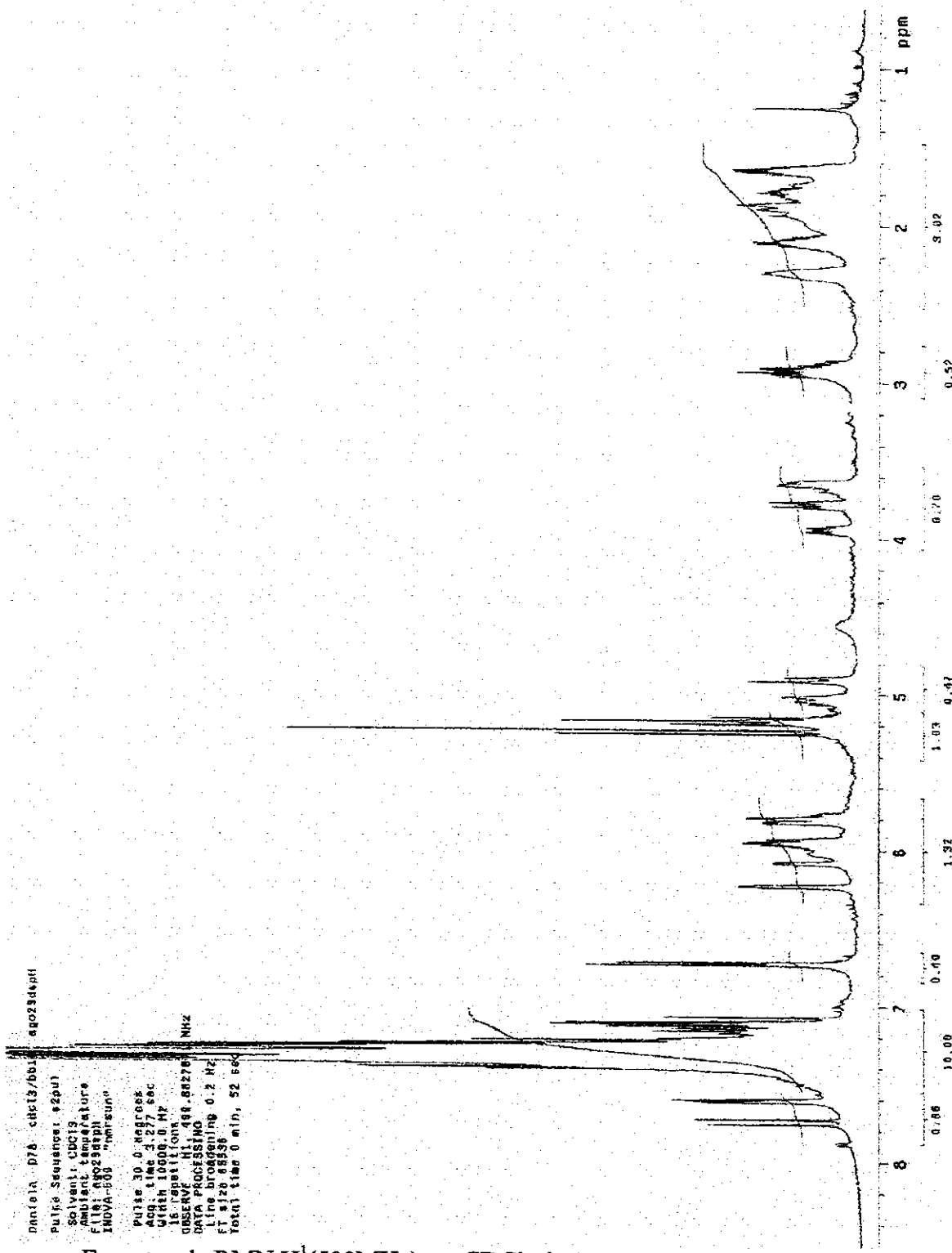
Espectro de RMN C¹³ (125MHz) em CDCl₃ de 79c.



Espectro de infravermelho de 81.



Espectro de massa de 81.



Daniela R. B78 cld13/bb10 - 14023tspc

Pulse Sequence: \$2pu1

Solvent: DDC13

Ambient temperature

User: 1-14-8

File: Agora3dic

INNOVA 500 "noverSun"

Relax delay 2.000 sec

Pulse 45.0 degrees

Acq time 1.020 sec

Grdth 31.005 Hz

1.000 FID's

1.000 T1's

1.000 T2's

1.000 T3's

1.000 T4's

1.000 T5's

1.000 T6's

1.000 T7's

1.000 T8's

1.000 T9's

1.000 T10's

1.000 T11's

1.000 T12's

1.000 T13's

1.000 T14's

1.000 T15's

1.000 T16's

1.000 T17's

1.000 T18's

1.000 T19's

1.000 T20's

1.000 T21's

1.000 T22's

1.000 T23's

1.000 T24's

1.000 T25's

1.000 T26's

1.000 T27's

1.000 T28's

1.000 T29's

1.000 T30's

1.000 T31's

1.000 T32's

1.000 T33's

1.000 T34's

1.000 T35's

1.000 T36's

1.000 T37's

1.000 T38's

1.000 T39's

1.000 T40's

1.000 T41's

1.000 T42's

1.000 T43's

1.000 T44's

1.000 T45's

1.000 T46's

1.000 T47's

1.000 T48's

1.000 T49's

1.000 T50's

1.000 T51's

1.000 T52's

1.000 T53's

1.000 T54's

1.000 T55's

1.000 T56's

1.000 T57's

1.000 T58's

1.000 T59's

Espectro de RMN C¹³ (125MHz) em CDCl₃ de 81.

Construção da curva de calibração.

Para construção da curva de calibração foram preparadas soluções de N-(metoxicarbonil)-2-(4-metoxifenil)-2,5-diidropirrolina **21b** contendo 0,15 mol.L⁻¹ de benzofenona para fornecer resultados diretos do rendimento da reação cobrindo de 0-100%.

As soluções foram injetadas em duplicata e as áreas obtidas no integrador (3395/3396 HP sérieIII-Hewlett^R Packard) foram utilizadas para obtenção da curva (tabela 35).

Tabela 35 – Dados utilizados para construção da curva de calibração.

Razão PE/PI (concentração)	Razão PE/PI da área
0,125	0,126
0,09	0,102
0,25	0,223
0,26	0,224
0,50	0,398
0,50	0,406
0,76	0,622
0,76	0,564
1,0	0,720
1,0	0,825

PE=Padrão Externo D20; PI= Padrão interno: benzofenona.

Apresentando-se todos os pontos dentro do intervalo de tolerância das razões área/massa, efetuou-se a regressão linear dos dados obtendo-se os seguintes coeficientes de regressão: ($Y=a+b*X$)

$$a=0,05778$$

$$b=4,60897$$

$$r=0,99437$$

a=coeficiente angular da reta; b=coeficiente linear; r=coeficiente de correlação.

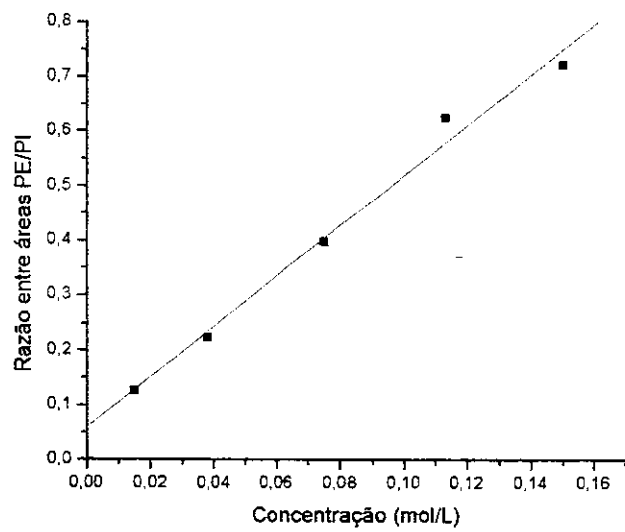


Figura 7

Estes coeficientes de regressão foram utilizados para fornecer os rendimentos da reação de arilação de Heck quando mencionado que o rendimento foi calculado por padrão interno.

REFERÊNCIAS

- 1- a) Negishi,E., *J. Organomet. Chem.*, **1999**, 576, xv. b) Shibasaki,M.; Vogl,E.M., *J. Organomet. Chem.*, **1999**, 576, 1. c) De Meijere,A.; Meyer,F.E., *Angew. Chem. Ed. Engl.*, **1994**, 33, 2379. d) Beletskaya,I.P.; Cheparov,A.V., *Chem. Rev.*, **2000**, 100, 3009. e) Gibson,S.E., Whitcombe,N.J., Hii,K.K., *Tetrahedron*, **2001**, 57, 7449.
- 2- Mizoroki,T.; Mori,K., Ozaki,A., *Bull. Chem. Soc. Jpn.*, **1971**, 44, 581.
- 3- a) Heck,R.F., *J. Am. Chem. Soc.*, **1968**, 90, 5518. b) Heck,R.F., *J. Am. Chem. Soc.*, **1968**, 90, 5526. c) Heck,R.F., *J. Am. Chem. Soc.*, **1968**, 90, 5531.
- 4- Heck,R.F.; Nolley,J.P., *J. Org. Chem.*, **1972**, 37, 230.
- 5- Heck,R.F.; Dieck,H.A., *J. Am. Chem. Soc.*, **1974**, 96, 1133.
- 6- Heck,R.F.; Schoenberg,A., Bartoletti,I., *J. Org. Chem.*, **1974**, 39, 3318.
- 7- Heck,R.F.; Dieck,H.A., *J. Organomet. Chem.*, **1975**, 93, 259.
- 8- Heck,R.F.; Narula,C.K., Mak,K.T., *J. Org. Chem.*, **1983**, 48, 2792.
- 9- a) Amatore,C.; Jutand,A., *J. Organomet. Chem.*, **1999**, 576, 254. b) Amatore,C.; Jutand,A., *Acc. Chem. Res.*, **2000**, 33, 314.
- 10- Amatore,C.; Jutand,A.; M'Barki,M.A., *Organomet.*, **1992**, 11, 3009.
- 11- Ozawa,F.; Kubo,A.; Hayashi,T., *Chem. Lett.*, **1992**, 11, 2177.
- 12- Amatore,C.; Carré,E.; Jutand,A., M'Barki,M.A., *Organomet.*, **1995**, 14, 1818.
- 13- Grushin,V.V., *J. Am. Chem. Soc.*, **1999**, 121, 5831.
- 14- Roffia,P.; Gregorio,G.; Conti,F.; Pregaglia,G.F., *J. Mol. Cat.*, **1977**, 2, 191.
- 15- Amatore,C.; Jutand,A.; Medeiros,M.J., *New J. Chem.*, **1996**, 20, 1143.
- 16- Jutand,A.; Mosleh,A., *Organomet.*, **1995**, 14, 1810.
- 17- Rappoport,Z., *Acc. Chem. Res.*, **1981**, 14, 7.
- 18- a) Ozawa,F.; Kubo,A.; Hayashi,T., *J. Am. Chem. Soc.*, **1991**, 113, 1417. b) Ozawa,F.; Kubo,A.; Hayashi,T., *Pure & Appl. Chem.*, **1992**, 64, 421. c) Ozawa,F.; Hayashi,T., *J. Organomet. Chem.*, **1992**, 428, 267.
- 19- a) Cabri,W.; Candiani,I.; DeBernardinis,S.; Francalanci,F.; Penco,S.; Santi,R., *J. Org. Chem.*, **1991**, 56, 5796. b) Cabri,W.; Candiani,I., *Acc. Chem. Res.*, **1995**, 28, 2.
- 20- Sato,Y.; Sodeoka,M.; Shibasaki,M., *Chem. Lett.*, **1990**, 10, 1953.
- 21- Kikukawa,K.; Matsuda,T., *Chem. Lett.*, **1977**, 159.

- 22- Yamashita,R.; Kikukawa,K.; Wada,F.; Matsuda,T., *J. Organomet. Chem.*, **1980**, 201, 463.
- 23- Kikukawa,K.; Nagira,K.; Wada,F.; Matsuda,T., *Tetrahedron*, **1981**, 37, 31.
- 24- Kondo,S.; Funakoshi,K.; Saeki,S.; Hamana,M., *Chem. Pharm. Bull.*, **1986**, 34, 7.
- 25- Kikukawa,K.; Nagira,K.; Wada,F.; Matsuda,T., *Bull. Chem. Soc. Jpn.*, **1979**, 52, 2609.
- 26- Oliveira,D.F.; Severino,E.A, Correia,C.R.D., *Tetrahedron Lett.*, **1999**, 40, 2083.
- 27- Severino,E.A, Correia,C.R.D., *Org. Lett.*, **2000**, 2, 3039.
- 28- Yong,W.; Yi,P.; Zhuangyu,Z.; Hongwen,H., *Synthesis*, **1991**, 967.
- 29- Brunner,H.; Le Coustuijer,N.; Genêt, J.P., *Tetrahedron Lett.*, **1999**, 40, 4815.
- 30-a) Kikukawa,K.; Maemura,K.;Nagira,K.; Wada,F.; Matsuda,T., *Chem. Lett.*, **1980**, 551.
b) Bhattacharya,S.; Majee,S.; Mukherjee,R.; Sengupta,S., *Synth. Commun.*, **1995**, 25, 651.
- 31- Darses,S.; Puchault,M.; Genêt, J.P., *Eur. J. Org. Chem.*, **2001**, 1121.
- 32- Beller,M.; Kühlein,K., *Synlett*, **1995**, 441.
- 33- Brunner,H.; Courcy,N.LL.C.; Genêt, J.P., *Synlett*, **2000**, 2, 201.
- 34- Desmazeau,P.; Legros,J.Y., Fiaud,J.C., *Tetrahedron Lett.*, **1998**, 39, 6707.
- 35- Priego,J.; Carretero,J.C., *Synlett*, **1999**, 10, 1603.
- 36- a) De Faria,A.R.; Matos,C.R.R.; Correia,C.R.D., *Tetrahedron Lett.*, **1993**, 34, 27. b) De Faria,A.R.; Salvador,E.L.; Correia,C.R.D., *J. Org. Chem.*, **2002**, 67, 3651.
- 37- Oliveira,D.F, *Tese de Doutorado*, **1998**, IQ-UNICAMP.
- 38- Carpes,M.J.; Correia, C.R.D, *Tetrahedron Lett.*, **2002**, 43, 741.
- 39- Nomura,Y.;Ogawa,K.;Takeuchi,y.;Tomoda,S., *Chem. Lett.* **1977**, 693.
- 40- Kraus,G.A; Neuenschwander,K., *J. Org. Chem.*, **1981**, 46, 4791.
- 41- Oliveira,D.F.; Miranda,P.C.L., Correia,C.R.D., *J. Org. Chem.*, **1999**, 64, 6646.
- 42- a) Flynn,D.L.; Zelle,R.E.; Grieco,P.A, *J. Org. Chem.*, **1983**, 48, 2424. b) Coudert,E.; Acher,F.; Azerad,R., *Synthesis*, **1997**, 863.
- 43- Dieter,R.K.; Sharma,R.R., *J. Org. Chem.*, **1996**, 61, 4180.
- 44- Roe,A., *Org. React.*, **1949**, 105, 193.
- 45- Ukey,T.; Kawazura,H.; Ishii,Y., *J. Organomet. Chem.*, **1974**, 65, 253.
- 46- Nilsson,K.; Hallberg,A., *J. Org. Chem.*, **1990**, 55, 2464.
- 47- Tietze,L.F.; Thede,K., *Synlett*, **2000**, 10, 1470.
- 48- Carpes, M.J.S.; Correia,C.R.D., *Synlett*, **2000**, 7, 1037.

- 49- Sengupta,S.; Bhattacharyya,S.; Sadhukhan,S.K., *J. Chem. Soc., Perkin Trans. I*, **1998**, 275.
- 50- Ikenaga,K.; Matsumoto,S.; Kikukawa,K.; Matsuda,T., *Chem. Lett.*, **1988**, 873.
- 51- Marais,W.; Holzapfel,C.W., *Synth. Commun.*, **1998**, 28, 3681.
- 52- Harkin,S.; Singh,O.; Thomas,E.J., *J. Chem. Soc., Perkin Trans I*, **1984**, 1489.
- 53- Ahman,J.; Somfai,P., *Tetrahedron*, **1992**, 48, 9537.
- 54- Loiseleur,O.; Hayashi,M.; Schmees,N.; Pfaltz,A., *Synthesis*, **1997**, 1338.
- 55-Larock,R.C.; Gong,W.H., *J. Org. Chem.*, **1990**, 55, 407.
- 56- a) Jeffery,T., *Tetrahedron*, **1996**, 52, 10113. b) Jeffery,T.; David,M., *Tetrahedron Lett.*, **1998**, 39, 5751.
- 57- Kang,S.K.; Yamaguchi,T.; Kim,J.S.; Choi,S.C.; Ahn,C., *Synth. Commun.*, **1997**, 27, 1105.
- 58- Kang,S.K.; Choi,S.C.; Ryu,H.C.; Yamaguchi,T., *J. Org. Chem.*, **1998**, 63, 5748.
- 59- De Oca,A.C.B.M., *Tese de Doutorado*, em desenvolvimento, IQ-UNICAMP.
- 60- Henessy,A.J.; Malone,Y.M.; Guiry,P.J., *Tetrahedron Lett.*, **1999**, 40, 9163.
- 61- Zhao,F.; Shirai,M.; Arai,M., *J. Mol. Cat. A Chem.*, **2000**, 54, 39.
- 62- Wassmundt,F.W.; Kiesman,W.F., *J. Org. Chem.*, **1997**, 62, 8304.
- 63- Lahoti,R.J.; Parameswaran,V.; Wagle,D.R., *Indian. J. Chem.*, **1981**, 767.
- 64- Mrkgraf,J.M.; Chang,R.; Cort,J.R.; Durant,J.L.; Finkelstein,M.; Gross,A.W.; Lavyne,M.H.; Moore,M.; Petersen,R.C.; Ross,S.D., *Tetrahedron Lett.*, **1997**, 53, 10009.
- 65- Becker,J.J.; Orden,L.J.V.; White,P.S.; Gagné,M.R., *Org. Lett.*, **2002**, 4, 727.
- 66- Handy,S.T.; Zhang,X., *Org. Lett.*, **2001**, 3, 233.
- 67- Xu,L.; Chen,W.; Ross,J.; Xiao,J., *Org. Lett.*, **2001**, 3, 295.
- 68- Rigotti,I.I.C.; Miranda,P.C.L.; Fontoura,L.A.M., *25º Reunião Anual da Sociedade Brasileira de Química*, **2002**, QO-130.
- 69- a) Wanner,K.; Kärtner,A., *Heterocycles*, **1987**, 4, 917. b) Sonesson,C.; Hallberg,A., *Tetrahedron Lett.*, **1995**, 36, 4505.
- 70- Gruber,A.S.; Zim,D.; Ebeling,G.; Monteiro,A.; Dupont,J., *Org. Lett.*, **2000**, 2, 1287.
- 71- Kanth,J.V.B.; Periasamy,M., *Tetrahedron*, **1993**, 49, 5127.
- 72- Yoshifuji,S.; Tanaka,K.I.; Kawai,T.; Nitia,Y., *Chem. Pharm. Bull.*, **1986**, 34, 3873.
- 73- Still, W.C., *J. Org. Chem.*, **1978**, 43, 2923.

74- Suffert,J., *J. Org. Chem.*, **1989**, 54, 509.

75- Sakai,N.; Ohfune,Y.J., *J. Am. Chem. Soc.*, **1992**, 114, 998.